



Hochschule für Angewandte Wissenschaften Hamburg
Hamburg University of Applied Sciences

Bachelorthesis

Martin Kusche

Aufbau und Inbetriebnahme eines Zyklersystems
für Batteriezellen mit ARM-Mikrocontroller

Martin Kusche

Aufbau und Inbetriebnahme eines Zyklersystems
für Batteriezellen mit ARM-Mikrocontroller

Bachelorthesis eingereicht im Rahmen der Bachelorprüfung
im Studiengang Informations- und Elektrotechnik
am Department Informations- und Elektrotechnik
der Fakultät Technik und Informatik
der Hochschule für Angewandte Wissenschaften Hamburg

Betreuender Prüfer : Prof. Dr. -Ing. Karl-Ragmar Riemschneider
Zweitgutachter : Prof. Dr. -Ing. Ralf Wendel

Abgegeben am 11. September 2014

Martin Kusche

Thema der Bachelorthesis

Aufbau und Inbetriebnahme eines Zykliersystems für Batteriezellen mit ARM-Mikrocontroller

Stichworte

ARM-Mikrocontroller, Batteriezellen, Batteriezyklen, Zyklierung, Instrumentenverstärker, Analog-Digital-Umsetzer, Ethernet, RS232, Temperaturschrank, E-Mobilität, Neuen Europäischen Fahrzyklus

Kurzzusammenfassung

Diese Arbeit beschäftigt sich mit einem Redesign der Anlogschaltung und einigen Verbesserung der Schnittstellen des Zykliersystem. Des weiteren wird ein Konzept zur Prüfung von Lithiumzellen, bezogen auf E-Mobilität, entwickelt.

Martin Kusche

Title of the paper

Construction and commissioning of a cycling system for battery cells with a ARM microcontroller

Keywords

ARM microcontroller, battery cells, battery cycles, cycling, analog-digital-converter, instrumentation amplifiers, ethernet, RS232, temperature chamber, e-mobility, new european driving cycle

Abstract

This report deals with a redesign of the analog circuit and some improvements of the interfaces of the cycling system. Additionally a concept is developed for the testing of lithium cells in relation to e-mobility.

Danksagung

Zunächst möchte ich mich an dieser Stelle bei all denjenigen bedanken, die mich während der Anfertigung dieser Bachelor-Arbeit unterstützt und motiviert haben. Ganz besonders gilt dieser Dank Herrn Prof. Dr. -Ing. Karl-Ragnar Riemschneider, der meine Arbeit und somit auch mich betreut hat. Nicht nur, dass er immer durch kritisches Hinterfragen wertvolle Hinweise gab, auch seine moralische Unterstützung und Motivation waren unschlagbar. Er hat mich dazu gebracht, über meine Grenzen hinaus zu denken. Vielen Dank für die Geduld und Mühen.

Auch möchte ich mich bei der gesamten BATSEN Gruppe bedanken, für das kritische Hinterfragen und die konstruktive Kritik während des Meetings. Besonders hervorzuheben aus der BATSEN Gruppe ist Herr Dipl. -Ing. Günter Müller und Herr Prof. Dr. -Ing. Jürgen Vollmer für die Erfahrungen, die sie mit mir geteilt haben im Aufbau analoger Schaltungen.

Daneben gilt mein Dank meinen Eltern, Schwiegereltern und meinen beiden Schwestern, die in zahlreichen Stunden Korrektur gelesen haben. Sie wiesen auf Schwächen hin und konnten als Fachfremde zeigen, wo noch Erklärungsbedarf bestand.

Ein besonderer Dank gilt meiner Frau, Claudia Kusche, die mir zuhause viel Last von den Schultern nahm und mich seelisch unterstützt hat.

Inhaltsverzeichnis

1	Einführung	9
1.1	Vorarbeiten	10
1.2	Zyklersystem	11
1.3	Motivation	13
2	Voruntersuchung und Analyse	15
2.1	Testverfahren von Lithiumzellen in der Automobilindustrie	15
2.1.1	NEFZ	18
2.2	ADC-Problematik	20
2.2.1	Besonderheiten und Charakteristik des ADC	20
2.2.2	Untersuchung der bestehenden ADC Schaltung	24
2.2.3	Fehlerursache	26
2.3	Schnittstellen und Dokumentation	27
3	Redesign der ADC-Schaltung	28
3.1	Schutzschaltung	29
3.1.1	Supressordiode	29
3.1.2	Externe Instrumentenverstärker	30
3.1.3	Interne Instrumentenverstärker	33
3.2	Messungen	34
3.2.1	Supressordiode	36
3.2.2	Instrumentenverstärker	37
3.3	Auswertung	41
3.4	ADC Schaltungsentwurf	42
3.4.1	Tiefpass	42
3.4.2	Netzteil	46
3.4.3	Galvanische Entkopplung	47
3.4.4	optionale Modifikationen	48
4	Ausarbeitung geeigneter Messkonzepte	49
4.1	Messkonzept nach dem Neuen Europäischen Fahrzyklus	50
4.1.1	Berechnung der benötigten Leistung während des NEFZ	51
4.1.2	Simulation der Batterie	55

4.1.3	Auswertung der Simulation	58
4.1.4	Messkonzept basierend auf NEFZ	60
4.2	Messkonzept zur Erstellung von Zellenprofilen	63
4.3	Ladevorgang	66
4.4	Messplan	69
5	Schnittstellen-Optimierung und Dokumentation	71
5.1	Inbetriebnahme der LAN-Schnittstelle an der HAW	71
5.2	Vorbereitung der RS232-Schnittstelle	72
5.3	Dokumentation	74
5.3.1	Das Auswechseln des ADCs	74
5.3.2	Kalibrierung	75
6	Erprobung	79
6.1	Schnittstellen	79
6.2	Genauigkeit der ADC Schutzschaltung	81
6.3	Messumgebung	82
6.4	Zyklisierung ausgewählter Zellen	82
7	Fazit	86
7.1	Zusammenfassung	86
7.2	Vorschläge zur Weiterentwicklung des Zyklersystems	88
7.3	Auswertung im Hinblick der E-Mobilität	89
	Tabellenverzeichnis	90
	Abbildungsverzeichnis	91
	Glossar	93
	Literaturverzeichnis	95
	Anhang	99
A.1	Aufgabenstellung	100
B.1	ADC Schutzschaltung - Schaltplan	102
B.2	ADC Schutzschaltung - Layout	103
B.3	ADC Schutzschaltung - Teileliste	104
C.1	MATLAB Code zum NEFZ Messkonzept - genNZ.m	105
C.2	MATLAB Code zum NEFZ Messkonzept - calcCar.m	106
D.1	Messplan	108
D.2	Zellkatalog	109
E.1	MATLAB Code zur linearen Kalibrierung - lineareKalibrierung.m	110

E.2	MATLAB Code zur quadratischen Kalibrierung - quadratischeKalibrierung.m	113
F.1	Kurzanleitung v3 Zyklrierprüfstand	118
G.1	Quellcode Zyklriersystem - clocktimer.h	139
G.2	Quellcode Zyklriersystem - clocktimer.c	140
G.3	Quellcode Zyklriersystem - config.h	151
G.4	Quellcode Zyklriersystem - config.c	153
G.5	Quellcode Zyklriersystem - control.h	175
G.6	Quellcode Zyklriersystem - control.c	176
G.7	Quellcode Zyklriersystem - discover.h	180
G.8	Quellcode Zyklriersystem - discover.c	181
G.9	Quellcode Zyklriersystem - display.h	184
G.10	Quellcode Zyklriersystem - display.c	186
G.11	Quellcode Zyklriersystem - ethernet.h	202
G.12	Quellcode Zyklriersystem - ethernet.c	203
G.13	Quellcode Zyklriersystem - led.h	207
G.14	Quellcode Zyklriersystem - led.c	208
G.15	Quellcode Zyklriersystem - lwipopts.h	209
G.16	Quellcode Zyklriersystem - main.c	217
G.17	Quellcode Zyklriersystem - myadc.h	224
G.18	Quellcode Zyklriersystem - myadc.c	225
G.19	Quellcode Zyklriersystem - mycmdline.h	233
G.20	Quellcode Zyklriersystem - mycmdline.c	236
G.21	Quellcode Zyklriersystem - mypwm.h	242
G.22	Quellcode Zyklriersystem - mypwm.c	243
G.23	Quellcode Zyklriersystem - mysdcard.h	245
G.24	Quellcode Zyklriersystem - mysdcard.c	247
G.25	Quellcode Zyklriersystem - myssi.h	276
G.26	Quellcode Zyklriersystem - myssi.c	277
G.27	Quellcode Zyklriersystem - myuart.h	280
G.28	Quellcode Zyklriersystem - myuart.c	281
G.29	Quellcode Zyklriersystem - relais.h	284
G.30	Quellcode Zyklriersystem - relais.c	285
G.31	Quellcode Zyklriersystem - rtc.h	293
G.32	Quellcode Zyklriersystem - rtc.c	294
G.33	Quellcode Zyklriersystem - startup_ccs.c	299
G.34	Quellcode Zyklriersystem - temperature.h	304
G.35	Quellcode Zyklriersystem - temperature.c	305
G.36	Quellcode Zyklriersystem - watchdog.h	309
G.37	Quellcode Zyklriersystem - watchdog.c	310

Selbständigkeitserklärung

312

1 Einführung

Das „BATSEN - Drahtlose Zellensensoren für Fahrzeugbatterien“ Forschungsprojekt der HAW Hamburg ist ambitioniert, mehr über das Verhalten von derzeit verwendeten Fahrzeugbatterien zu erfahren. Deshalb wird ein Zykliersystem gebraucht, viele Eigenschaften einer Batteriezelle offenbaren sich nach mehrmaligen Laden und Entladen. Aus den gewonnenen Informationen einiger Zyklierungen kann beispielsweise auf die Lebensdauer, das Alter und der Kapazität geschlossen werden.

Aus thematischer Sicht besteht die Thesis aus zwei Teilen. Der erste Teil setzt sich mit der Verbesserung des Zykliersystems auseinander. Dazu gehört die Verbesserung des störanfälligen ADCs sowie die Inbetriebnahme der Schnittstellen für eine einfachere Handhabung. Der zweite Teil der Thesis beschäftigt sich damit, eine Laborumgebung zu schaffen, die der wirklichen Umgebung einer Lithium-Ionen-Batterie für Fahrzeuge mit Hybrid- oder Elektroantrieb nahe kommt. Dazu steht ein Temperaturschrank, eine elektronische Last und ein Netzteil zu Verfügung.

Des weiteren soll am Ende der Thesis eine Dokumentation erstellt werden, die allen Mitgliedern des BATSEN Forschungsprojekts einen Einstieg in die Bedienung des Zykliersystems verschafft.

1.1 Vorarbeiten

Die Thesis knüpft an vorhandene Thesen an, da bereits ein Zykliersystem im BATSEN Forschungsprojekt entwickelt wurde. Herr Wisniewski hat im Sommersemester 2013 seine Thesis [1] eingereicht. Im Laufe dieser Thesis entwickelte er den Prototypen eines Zykliersystems. Dabei orientierte er sich bei der Dimensionierung an gewonnene Messwerte von Starterbatterien auf LiFePO_4 Basis. Diese Messwerte sind das Ergebnis zweier Thesen von Lars Hillermann [2] und Rico Loschwitz [3]. Des Weiteren übernahm Herr Wisniewski den Debugger für den LM3S9B92 [4], μC von Texas Instrument, aus der Thesis von Herrn Schlüter [5] sowie die LwIP Schnittstelle, eine abgespeckte Version des TCP/IP Protokolls, aus Herrn Steinmanns [6] Thesis.

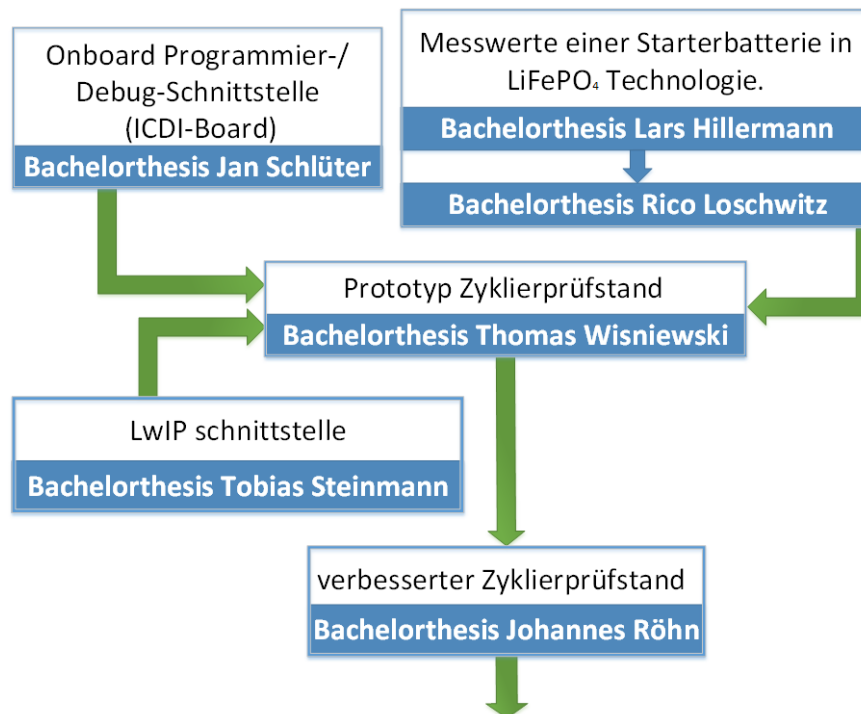


Abbildung 1.1: Das Fundament meiner Thesis

Bei Arbeiten mit dem Prototyp wurden Schwächen in der Strombegrenzung des Lade- und Entlade Vorgangs festgestellt. Aus diesem Grund bekam Herr Röhn die Aufgabe, sich in seiner Thesis [7] mit der Verbesserung des Zykliersystems auseinander zu setzen. Er entwickelte ein neues Zykliersystem auf der Grundlage des Prototypen, das Lade- und Entladeströme von bis zu 500A zulässt. Des Weiteren löste er noch Probleme in der Bedienung und der Laufzeit einer Messung. Auf diesem Fundament, Abbildung 1.1, werde ich meine Thesis errichten.

1.2 Zyklersystem

Abbildung 1.2 ist ein Auszug aus der aktuellen Kurzanleitung zur Bedienung des Zyklersystems [8, S.6]. Es zeigt einen schematischen Aufbau des Systems, das im Laufe mehrerer Bachelorthesen entwickelt wurde.

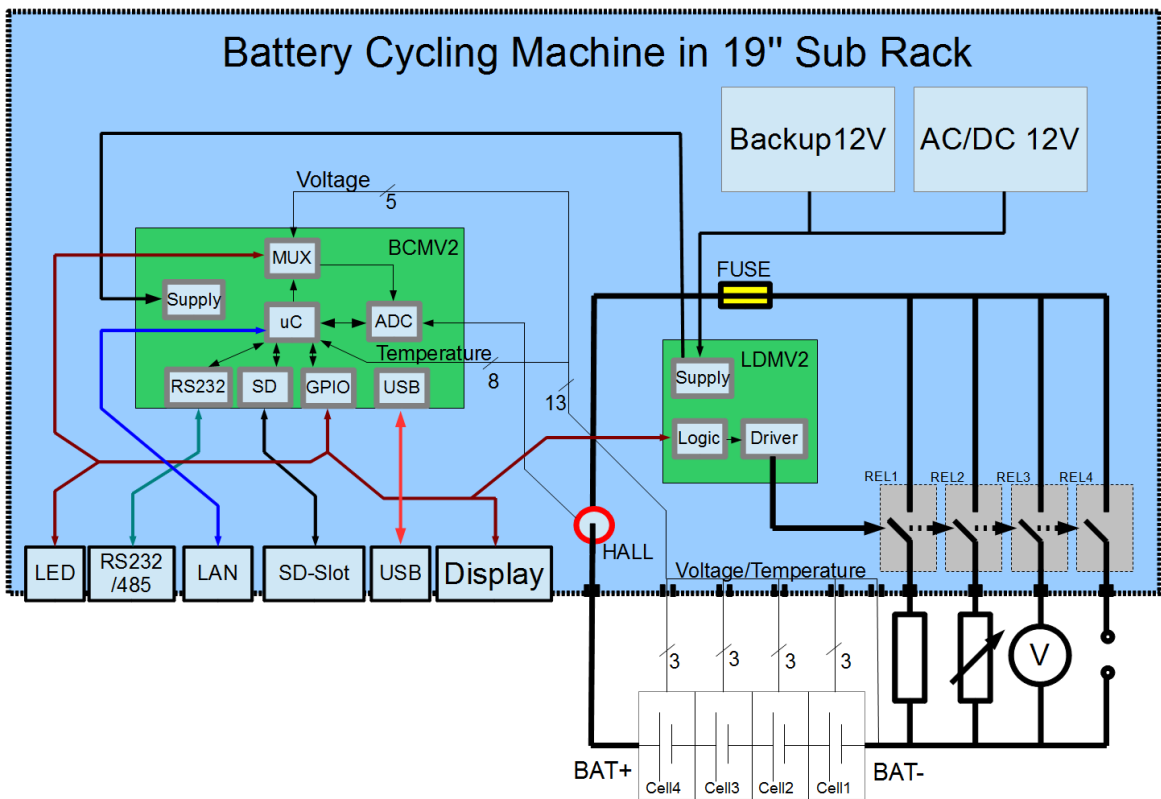


Abbildung 1.2: Schematischer Aufbau einer Zyklierung

Ausgangsfunktionen im Überblick:

- Bis zu 12 Zellen lassen sich gleichzeitig zyklieren, dabei kann von jeder einzelnen Zelle die Spannung und Temperatur bestimmt werden.
- Der Gesamtstrom der Batterie wird über eine HALL-Sonde bestimmt.
- Bis zu 4 Geräte wie z.B. Spannungsmessgeräte, Verbraucher und Netzteile lassen sich automatisch über Relais auf die Gesamtbatterie aufschalten.
- Ein Relais kann bis zu 500A, schalten die anderen 3 bis zu 30A.
- Sicherheitsabschaltung bei zu viel Strom oder einer zu hohen Spannung.

- Integrierter Debugger zum einfachen Programmieren über die USB-Schnittstelle.
- UART-Kommunikation über die USB-Schnittstelle.
- Speicherung aller Messwerte auf SD-Karte.
- LEDs und DOTMATRIX LED-Display zur Statusanzeige.
- 3 entprellte Buttons als Bedienung.

Die Einstellungen einer Zyklisierung befinden sich auf der SD-Karte in der Konfigurationsdatei. Sie wird beim Start des Gerätes geladen. Die Konfigurationsdatei enthält Angaben zur Anzahl der zu messenden Zellen, ADC Kalibrierungswerte, IP-Adresse, Dauer der Messung und die Zeitumschaltpunkte für die Relais. Den Start einer Messung kann durch die Buttons und das Display veranlassen oder über die UART-Kommunikation. Eine Messdatenreihe wird aufgenommen, in dem REED-Relais Zelle für Zelle der Batterie auf den differentiellen ADC-Eingang schalten und der ADC bei jeder Zelle die Spannung ermittelt. Anschließend wird über eine HALL-Sonde und dem zweiten Eingang des ADCs der Strom der Batterie gemessen. Am Ende wird die Temperatur aus den Temperatursensoren gelesen. Der fertige Datensatz wird auf die SD-Karte geschrieben und per UART ausgegeben. Während der Zyklisierung wird ca. jede Sekunde ein Datensatz erstellt. Die Auswertung dieser Daten erfolgt mit MATLAB.

1.3 Motivation

Auszug aus einer Kienbaum-Studie [9]:

„Gummersbach, 14. März 2014 Im Jahr 2025 wird mehr als jeder vierte Neuwagen in Deutschland ein Elektroauto sein. ... Dies belegt eine Studie der Managementberatung Kienbaum, für die mehr als 350 Topmanager, Branchenexperten und Wissenschaftler in Europa, Nordamerika und Asien interviewt wurden. Im Jahr 2020 werden rund 800.000 Elektroautos über Deutschlands Straßen rollen, prognostiziert die Kienbaum-Studie.“

Diese Studie basiert auf den aktuellen Erkenntnissen einer sorgfältig durchgeführten Marktanalyse. Obwohl man das Gefühl hat, dass sich die Automobilindustrie nicht genügend für die E-Mobilität einsetzt und weltweit immer mehr Erdölreserven entdeckt werden, wird in den nächsten Jahren der Trend zur E-Mobilität gehen.

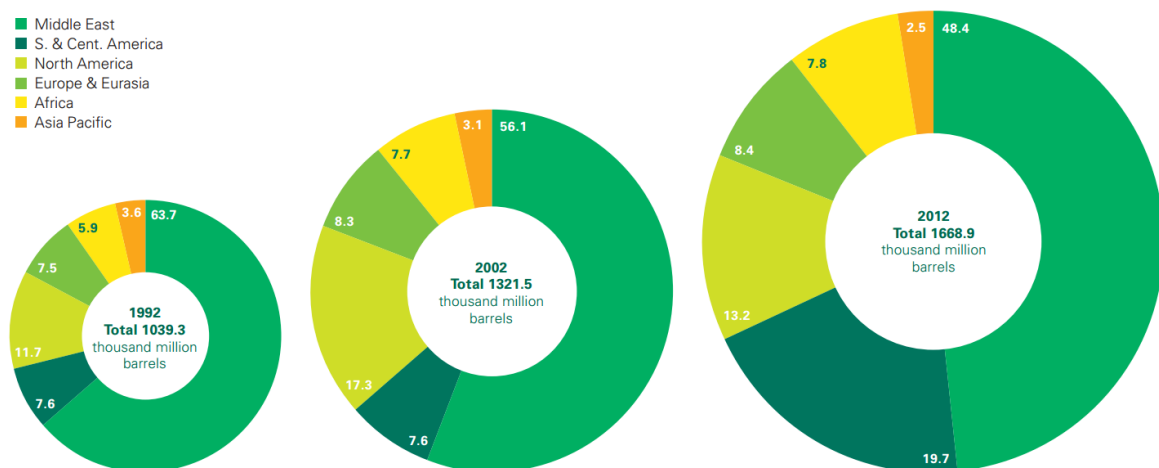


Abbildung 1.3: Entwicklung der gesicherten Erdölreserven

Abbildung 1.3 ist ein Auszug aus „Statistical Review of World Energy June 2013“ von BP [10, S.7]. Es zeigt die Entwicklung der gesicherten Erdölreserven. Die Reichweite der Erdölreserven beträgt nach Schätzungen 40 Jahre, dieser Wert blieb seit 20 Jahren unverändert da die steigende Nachfrage durch die neu entdeckten Reserven kompensiert wurde. Warum soll man sich um die E-Mobilität bemühen, wenn das Ende des Erdöl in weite Ferne rückt. Wie kann die Kienbaum-Studie zu diesem Schluss kommen?

Der Grund hierfür ist der steigende Preis des Erdöls. Die neu erschlossenen Erdölquellen sind nur schwer erreichbar, dadurch steigt der Preis für die Förderung. Dies verschafft der E-Mobilität den nötigen Platz auf dem Markt. Zurzeit hält sich die Automobilindustrie zurück, da es noch zu viele Vorurteile gegenüber der E-Mobilität gibt. Es gibt noch Probleme mit

der Reichweite, der Sicherheit und der Ladedauer. Die Kienbaum-Studie besagt, dass es in Zukunft der Forschung und Entwicklung gelingt, diese Probleme zu lösen.

Dieses Jahr hat zum Beispiel die Firma „StoreDot“ aus Tel Aviv einen Akku für Mobilgeräte entwickelt, dass sie „Speed-Charger“ nennen, da er innerhalb von 30 Sekunden aufgeladen wird. Es soll der erste Akku sein, der Bioorganische-Komponenten enthält. Die Elektrode wird mit Peptiden beschichtet. Das sind natürliche Nanopartikel, die ursprünglich aus der Medizin kommen und bekannt sind, in kürzester Zeit viel Energie aufzunehmen. Spätestens 2016 will „StoreDot“ die ersten Hochleistungsbatterien für die E-Mobility-Branche auf den Markt bringen.

Da es auf dem Markt immer neue Batterietypen durch Forschung und Entwicklung geben wird, ist ein Zyklersystem unabdingbar. Das BATSEN Forschungsprojekt geht mit der Entwicklung des Zyklersystem einen Schritt in die Zukunft, weil in naher Zukunft das Interesse der Automobilindustrie für Zyklersysteme wachsen wird.

2 Voruntersuchung und Analyse

Zunächst wird sich ein Überblick über bereits existierende Messverfahren in der E-Mobilität Branche verschafft, speziell über die Überprüfung der Batterien. Des Weiteren werden beim bereits bestehenden Zyklersystem die Kommunikationsschnittstellen und die ADC-Schaltung untersucht. Diese Voruntersuchung ist die Grundlage für die spätere Entwicklung und ist entscheidend für den weiteren Verlauf der Thesis.

2.1 Testverfahren von Lithiumzellen in der Automobilindustrie

Die meisten Hersteller von Elektroautos beziehen ihre Lithiumbatterien aus Japan und China von Firmen wie Sanyo, NEC-AESC und Sony. Diese Batteriehersteller sind verpflichtet, gewisse Normen einzuhalten um sie sicher zu transportieren und um eine sichere Benutzung zu gewährleisten. In Europa gelten Lithiumbatterien als Gefahrgut Klasse 9. Deshalb müssen die Hersteller die Norm UN 3480 einhalten. Diese Norm bezieht sich nur auf den Transport und die Lagerung der Zellen. Für die Benutzung von Lithiumzellen gibt es zwar internationale Normen von „UL - Underwriters Laboratories“ und „IEC - International Electrotechnical Commission“, diese sind aber nicht verbindlich. Somit gibt es keine genauen Richtlinien für die Anwendung von Lithiumzellen.

Hersteller	Zulieferer	Batterietyp
Audi	Sanvo (Japan)	Lithium-Ionen
BMW	Conti (D), Johnson Controls-SAFT (F), Cobasvs (US)	Lithium-Ionen, Nickel-Metallhydrid
BMW-Mini	AC Propulsion (US)	Lithium-Ionen
Bosch	Samsung SB LiMotive (Korea)	Lithium-Ionen
Continental	Enax (Japan)	Lithium-Ionen
GM	Conti (D),/A123 (US), LG (Korea)/Chem (US), Cobasvs (US)	Lithium-Ionen, Nickel-Metallhydrid
Honda	Sony, Yuasa (Japan)	Lithium-Ionen
Mercedes-Benz	Conti (D), Johnson Controls-SAFT (F), Hitachi (Japan), LiTec (D), Cobasvs (US)	Lithium-Ionen, Nickel-Metallhydrid
Mercedes-Smart	AC Propulsion (US), LiTec (D)	Natrium-Nickelchlorid, Lithium-Ionen
Mitsubishi	Yuasa (Japan)	Lithium-Ionen
Nissan	NEC-AESC (Japan)	Lithium-Ionen
PSA	Yuasa (Japan)	Lithium-Ionen
Renault	NEC-AESC (Japan)	Lithium-Ionen
Tesla	AC Propulsion (US)	Lithium-Ionen
Toyota	Panasonic (Japan)	Nickel-Metallhydrid, Lithium-Ionen
Volkswagen	Sanvo, Toshiba (Japan)	Lithium-Ionen

Tabelle 2.1: Kooperationen zwischen Autohersteller und Batteriehersteller, stand 2009

Tabelle 2.1 zeigt die bestehenden Kooperationen zwischen Batterieherstellern und den Automobilherstellern. Es zeigt einen Auszug aus einem Artikel von „Auto Motor und Sport“ [11]. Über die Testverfahren der Zulieferer der Automobilindustrie ist wenig bekannt.

Außer den Automobilherstellern und deren Zulieferern gibt es noch die externen Dienstleistungsunternehmen. Das sind Firmen wie Intertek, TÜV NORD zusammen mit CETECOM, TÜV SÜD und SGS Germany GmbH. Drei dieser Firmen haben erst vor Kurzem in ein neues Batterieprüflabor investiert. Aus deren Werbung ist ersichtlich, welche Tests sie an Batterien durchführen.

Leistung	Beschreibung
Lebensdauerprüfung	<ul style="list-style-type: none"> • zyklische Alterung • kalendarische Alterung • Alterung von Batterien unter wechselnden Umwelteinflüssen
Abuse-Prüfungen Beschreibung: Simulation extremer Umwelteinflüsse die bis an die Grenzen der Belastbarkeit gehen	<ul style="list-style-type: none"> • Nageltest • Elektrische Tests, z.B. Überladung bzw. Tiefentladung • Kurzschluss tests • Thermische Belastungstests • Zyklische Belastungstests ohne aktive Kühlung • Fallprüfungen • Brandtests (Kraftstofffeuer) • Immersionstests • Sicherheitstests mit Gasanalyse • Höhenlage • Vibration
Leistungsprüfung	<ul style="list-style-type: none"> • Erstellen der Datenblätter • Belastungsgrenzen ermitteln • Nennwerte bestimmen
Umweltprüfungen/mechanische Belastungsprüfungen	<ul style="list-style-type: none"> • EMV Prüfungen • Schwingungs-, Stoß- und Temperaturwechselprüfungen • Beständigkeit gegen Korrosion, Staub, Salz und Feuchtigkeit
Crashtest für die Elektromobilität Beschreibung: Simulation realer Unfallszenarien	<ul style="list-style-type: none"> • Stoßkörper wird mit Hilfe eines Trägerfahrzeugs gegen die starr befestigte Hochvolt-Batterie gefahren • Batterie wird mit Hilfe eines Trägerfahrzeugs gegen den starr befestigten Stoßkörper gefahren • Quetschversuche am Prüfling • Batterie wird auf eine Schlittenanlage montiert und gegen eine Barriere gecrasht • Impaktor wird mit Hilfe eines Fallturms(10m) auf die Batterie gestoßen
Benutzungs- und Transport- Prüfungen nach internationalen Normen	<ul style="list-style-type: none"> • BATS0 01 • ECE R100 • DOE/ID-11069 • DOE/ID-11173 • IEC 1725 • IEC 61508 • IEC 62660-1/2 • IEC 62133 • IEEE 1625 • ISO 12405-1/2 • ISO 26262 • JIS D5305 • SAE J2464 • SAE J2929 • SAND 2005-3123 • SBA S1101 • UL 1642 • UL 2054 • UN 38.3 • QC/T 743

Tabelle 2.2: Dienstleistungen der Batterie-Prüflabore

Tabelle 2.2 zeigt eine Zusammenfassung aller durchgeführten Test von TÜV SÜD [12] und SGS Germany GmbH [13]. Viele dieser Tests sind irreversibel und bedeuten das Ende der Zelle.

2.1.1 NEFZ

Der „NEFZ - Neuer Europäische Fahrzyklus“ dient in Europa zur Ermittlung des Kraftstoffverbrauchs und der CO₂-Emission. Er besteht seit 1992, als die Richtlinie 70/220/EWG, durch die Richtlinie 91/441/EWG [14] ergänzt wurde. Diesen Richtlinien unterliegen alle PKWs in Europa, unabhängig vom Antrieb (Verbrennungsmotor, Elektromotor, Hybrid).

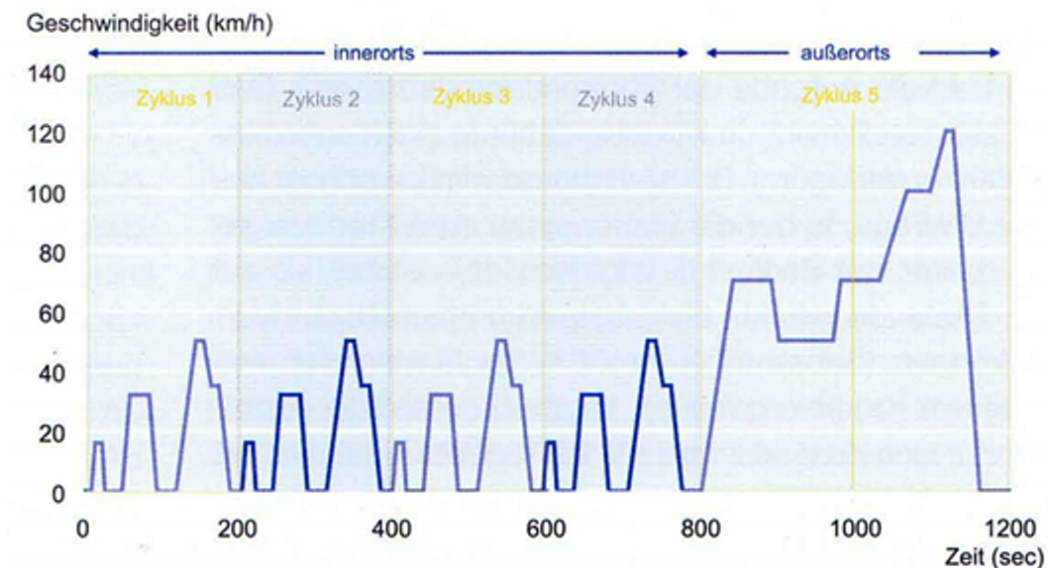


Abbildung 2.1: der Neue Europäische Fahrzyklus

In Abbildung 2.1 ist der NEFZ abgebildet. Er besteht aus vier Zyklen innerorts und einem Zyklus außerorts. Die Richtlinie 70/220/EWG wird ständig ergänzt und angepasst. Sie enthält nicht nur den Fahrzyklus, sondern auch die Prüfungsbedingungen und die Berechnungsvorschriften für die zu ermittelnden Werte. Diese Prüfung dürfen nur zertifizierte EG-Prüflaboratorien durchführen. Die Richtlinie lässt der Automobilindustrie einen gewissen Spielraum in der Durchführung der Messung zu. Eine Studie von T&E [15] hat dazu einige Nachforschungen angestellt.

Kritische Punkte bei der Messung nach der Studie von T&E:

- Anpassung der Motorsteuerung
- Abzug der 4%igen Toleranz von den Messwerten
- Verwendung des minimalen Fahrzeuggewichtes
- Abkleben von Kanten
- höherer Reifenluftdruck

Die Kraftstoffverbrauchs- und die CO₂-Emissions Werte sind beim Autoverkauf in Europa mit anzugeben. Unternehmen wie die „DAT - Deutsche Automobil Treuhand GmbH“ sammeln diese Werte und veröffentlichen sie regelmäßig, beispielsweise im „DAT-Leitfaden“ [16].

Modell	Leistung	Kraftstoff	Fahrzeug- masse	Kraftstoff- Stromverbrauch			CO ₂ -Emission	CO ₂ - Effizienz
	[kW]			innerorts	außerorts	kombiniert	kombiniert	
			[kg]	[l/100km] oder [kg/100km] nach (EG) Nr. 715/2007 oder [kWh/100 km]			[g/km]	
Strom								
Renault Twizy 45	4	E	548			5,8	0	A+
Renault Twizy	13	E	562			6,3	0	A+
VW e-up!	60	E	1214			11,7	0	A+
Citroen C-Zero	49	E	1140			12,6	0	A+
Peugeot iOn	49	E	1140			12,6	0	A+
Volkswagen e-Golf	85	E	1585			12,7	0	A+
BMW i3	75	E	1270			12,9	0	A+
Mitsubishi Electric Vehicle (I-MiEV)	49	E	1185			13,5	0	A+
Renault Fluence Z.E.	70	E	1605			14,0	0	A+
Renault Zoe	65	E	1503			14,6	0	A+
Nissan NEW LEAF	80	E	1505			15,0	0	A+

Tabelle 2.3: Auszug aus dem „DAT-Leitfaden“

Tabelle 2.3 ist ein Auszug aus dem aktuellen „DAT-Leitfaden“. Es zeigt alle aufgelisteten Elektroautos, wie man sieht haben sie keine CO₂-Emission. Der „Kraftstoffverbrauch“ wird immer in kWh/100km angegeben. Diesen Verbrauchsangaben wurden mithilfe des NEFZ ermittelt.

2.2 ADC-Problematik

Beim Umgang mit dem Zykliersystem hat sich heraus gestellt, dass der ADC eine Schwachstelle ist. Die Problematik ist hierbei, über einen großen Messbereich genaue Messungen im Millivoltbereich durchzuführen und gleichzeitig den ADC gegen Überspannung, HF-Signale und NF-Signale zu schützen. Bei jeder Reparatur eines defekten ADC leidet das Board und es geht viel Zeit verloren.

2.2.1 Besonderheiten und Charakteristik des ADC

Der verwendete ADC ist ein AD7798 von „Analog Devices“. Er arbeitet nach dem Delta-Sigma Verfahren mit einer Auflösung von 16 Bit und einer maximalen Update Rate von 470 Hz. Bei Delta-Sigma ADCs sind Auflösungen von 12 bis 24 Bit und Update Raten von 2Hz bis 80kHz üblich, somit liegt er im Mittelfeld was Schnelligkeit und Auflösung angeht. Das besondere an diesem IC ist die Peripherie.

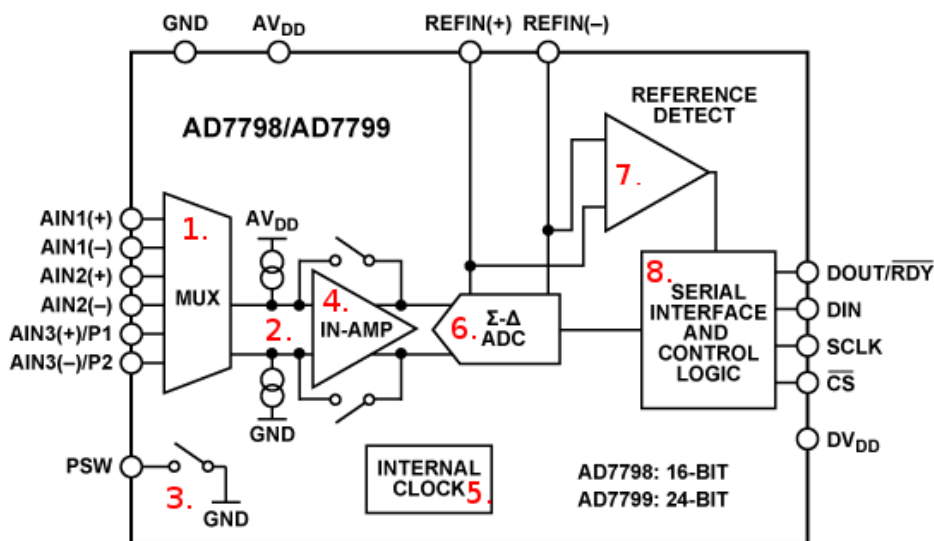


Abbildung 2.2: Funktionsblockschaltbild des AD7798

Abbildung 2.2 zeigt das Blockschaftbild aus dem Datenblatt [17]. An diesem Blockschaftbild kann man gut die Funktionen des ADCs erkennen.

Die Peripherie des AD7798:

1. **Multiplexer** - Er ermöglicht das Messen von drei differentiellen Eingängen, wobei der dritte Eingang auch als Digitalausgang P1 und P2 verwendet werden kann.
2. **zwei 100nA Stromquellen** - Damit lässt sich feststellen ob sich ein Sensor am Eingang des ADCs befindet. Angenommen die Stromquellen werden aktiviert und der ADC führt eine Messung durch. Ergibt sich nun ein Vollausschlag, ist die Leitung offen.
3. **Power Schalter** - Wird GND vom Sensor mit dem Schalter verbunden, so lässt sich die Stromzufuhr zum Sensor durch den Schalter unterbrechen. Damit lässt sich in der Zeit, in der nicht gemessen wird, Strom sparen.
4. **Instrumentenverstärker** - Zur Verstärkung der analogen Eingangsspannung und der Verringerung des Eingangsstroms durch einen höheren Eingangswiderstand.
5. **Interner Oszillator** - Dient als Takt für die digitalen Bauteile. Ein externer Oszillator wird somit überflüssig.
6. **Digitales Filter** - Im Delta-Sigma ADC ist ein digitales Filter enthalten, der zur Rauschunterdrückung dient.
7. **Referenzspannung Detektor** - Um sicher zu stellen, dass eine geeignete Referenzspannung anliegt, wird im Sekundentakt überprüft ob REFIN(+) und REFIN(-) größer ist als 0,3V.
8. **Serielle Schnittstelle** - Zur Kommunikation zwischen μC und ADC. Diese Schnittstelle verfügt über eine eigene Spannungsversorgung (DV_{DD}).

Der Multiplexer, der Power Schalter, der Referenzspannung Detektor und die zwei 100nA Stromquellen lassen sich ohne Einschränkungen benutzen. Sie werden durch die Register einfach ein- und ausgeschaltet. Der interne Oszillator und die serielle Schnittstelle sind ständig im Betrieb. Lediglich der Instrumentenverstärker und das digitale Filter haben ihre Besonderheiten.

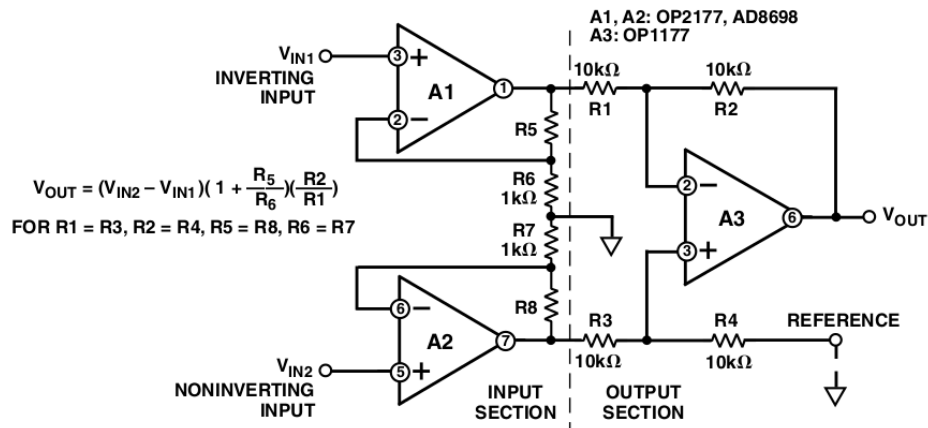


Abbildung 2.3: Allgemeiner Aufbau des internen Instrumentenverstärkers

Im Datenblatt des ADCs erhält man keine Informationen über den Aufbau des Instrumentenverstärkers. Aber im „Designers Guide to Instrumentation Amplifiers - Chapter II“ [18] von Analog Devices erhält man allgemeine Informationen zum Aufbau. Abbildung 2.3 ist ein Auszug aus der genannten „Applikation Note“. Die „INPUT SECTION“ ist der sogenannte Buffer bestehend aus A1 (invertierter Eingang) und A2 (nicht invertierter Eingang). Die „OUTPUT SECTION“ ist ein Subtrahierer, bestehend aus A3. Zusammen bilden sie den Instrumentenverstärker. Mit den Widerständen R5, R6, R7 und R8 lassen sich die Verstärkung einstellen. Der Instrumentenverstärker im AD7798 hat eine programmierbare Verstärkung von 1, 2, 4, 8, 16, 32, 64 oder 128. Bei einer Verstärkung von 1 oder 2 ist die „OUTPUT SECTION“ abgeschaltet. Das heißt, es kann bei einer Verstärkung von 1 oder 2 nur der Buffer ein- oder ausschalten werden. Bei einer Verstärkung von 4 oder höher schaltet sich der gesamte Instrumentenverstärker automatisch ein. Im Funktionsblockschaltbild Abbildung 2.2 kommt man schnell zum Trugschluss, dass sich der Instrumentenverstärker beliebig ein- oder ausschalten lässt.

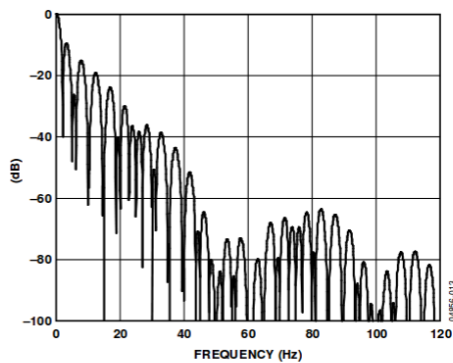


Figure 12. Filter Profile with Update Rate = 4.17 Hz

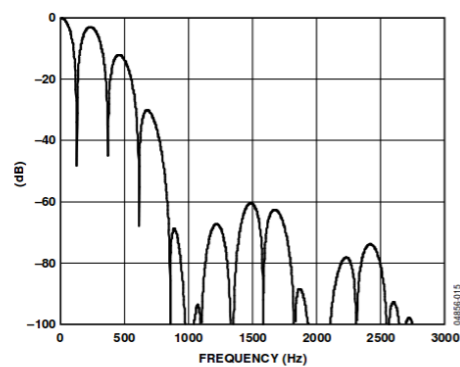


Figure 14. Filter Profile with Update Rate = 242 Hz

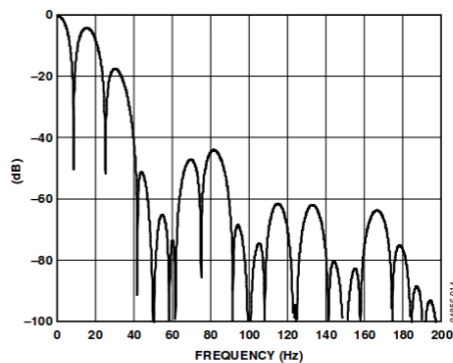


Figure 13. Filter Profile with Update Rate = 16.7 Hz

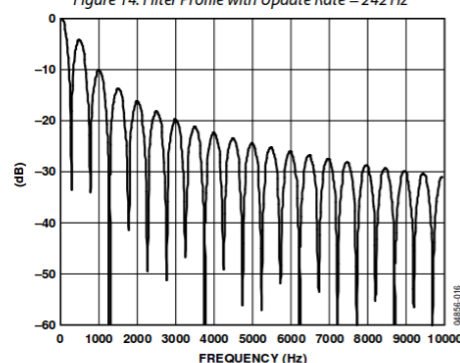


Figure 15. Filter Response with Update Rate = 470 Hz

Abbildung 2.4: Zusammenhang zwischen der „Update Rate“ und dem Amplitudengang des digitalen Filters

Beim ADC kann man zwischen 15 unterschiedlichen Update Raten gewählt werden, von minimal 4,17Hz bis maximal 470Hz. Jede dieser 15 Update Raten hat einen eigenen Amplitudengang. Abbildung 2.4 ist ein Auszug aus dem Datenblatt des ADCs [17] und zeigt für vier Update Raten den dazugehörigen Amplitudengang. Bei den niedrigen Update Raten unterdrückt man zusätzlich das Netzbrummen, beispielsweise hat man bei einer Update Rate von 16,7Hz eine 80dB Unterdrückung bei 50Hz.

2.2.2 Untersuchung der bestehenden ADC Schaltung

Der verwendete ADC ist ein AD7798 mit drei differentiellen Eingängen, die durch einen internen Multiplexer ausgewählt werden können. Der zweite und dritte Eingang wird benutzt, um den Strom der Batterie über eine Hall Sonde zu messen. Dies funktioniert reibungslos. Der erste Eingang misst die Spannung der einzelnen Zellen.

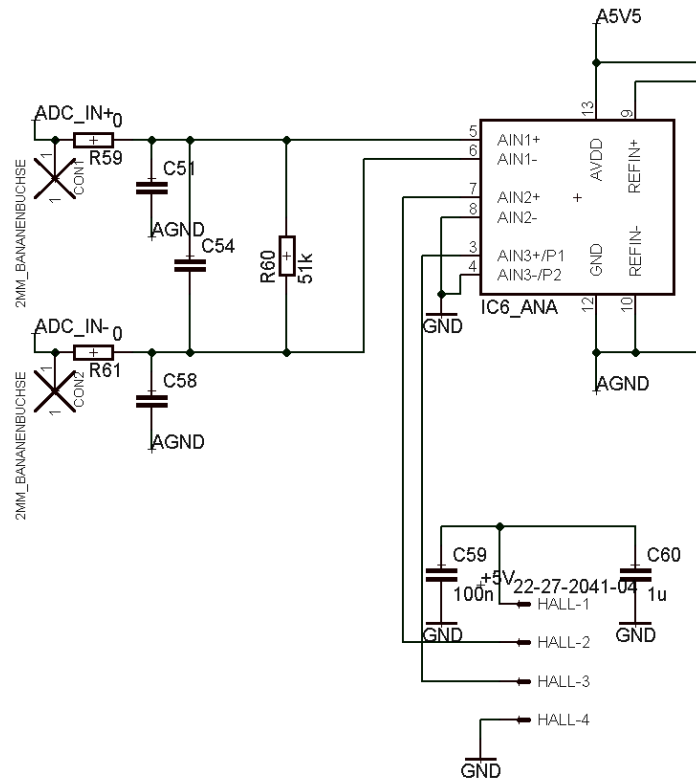


Abbildung 2.5: Auszug aus dem EAGLE Schaltplan - ADC Eingänge

Vergleicht man den Schaltplan von EAGLE, in Abbildung 2.5, mit der bestehenden Platine, dann fällt auf, dass die Kondensatoren C51, C54 und C58 am Eingang 1 fehlen. Wahrscheinlich handelt es sich hierbei um einen optionalen analogen Tiefpass. Da er nicht gebraucht wird, sind die Kondensatoren entfernt worden und die Widerstände R59 und R61 überbrückt.

Um die verwendeten Einstellungen der bestehenden ADC Schaltung zu finden, werden die Register und deren Konfiguration untersucht.

RS2	RS1	RS0	Register	Register Size
0	0	0	Communication register during a write operation	8 bits
0	0	0	Status register during a read operation	8 bits
0	0	1	Mode register	16 bits
0	1	0	Configuration register	16 bits
0	1	1	Data register	16 bits (AD7798)/24 bits (AD7799)
1	0	0	ID register	8 bits
1	0	1	IO register	8 bits
1	1	0	Offset register	16 bits (AD7798)/24 bits (AD7799)
1	1	1	Full-scale register	16 bits (AD7798)/24 bits (AD7799)

Tabelle 2.4: Registertabelle des ADCs

Tabelle 2.4 ist ein Auszug aus dem Datenblatt des AD7798 [17, S.13]. Diese Tabelle bietet eine Übersicht über alle verfügbaren Register. Zur Einstellung einer Messung sind nur das Mode- und Konfigurationsregister von Interesse. Bei den anderen sieben Registern wird nur kurz deren Aufgabe erklärt:

- **Kommunikationsregister** - dient zur Ansteuerung der einzelnen Register.
- **Statusregister** - gibt den Status des ADCs an, z.B. welcher der drei Eingänge gewandelt wird oder ob ein Fehler vorliegt.
- **Datenregister** - enthält die Daten einer Messung.
- **ID Register** - enthält die Seriennummer des ADCs.
- **IO Register** - Eingang 3 lässt sich als digitaler Ausgang verwenden.
- **Offset und Full-Scale Register** - dient zur Kalibrierung des ADCs.

Mit dem Moderegister lässt sich die Update Rate und der Arbeitsmodus einstellen und der „Power Schalter“ schalten. Als Arbeitsmodi existieren die kontinuierliche Umwandlung, die einzelne Umwandlung, ein Idle Modus, ein Energiesparmodus und drei weitere Kalibrierungsmodi. Die Ausgangseinstellung benutzen als Modus die einzelne Umwandlung von analogen Werten bei einer Update Rate von 123 Hz.

Im Konfigurationsregister lässt sich der „buffered mode“, die zwei Stromquellen und der Referenzspannungsdetektor ein- und ausschalten. Des Weiteren kann vom Unipolarbetrieb in den Bipolarbetrieb gewechselt werden, die Verstärkung bestimmt werden und der Multiplexer geschaltet werden. In unserem Fall arbeiten wir im Unipolarbetrieb mit einer Verstärkung von eins im „unbuffered mode“. Die zwei Stromquellen und der Referenzspannungsdetektor werden nicht benutzt.

Zusammenfassung:

Es wird im Einzel-Umwandlungsmodus mit einer Update Rate von 123Hz gearbeitet. Das bedeutet, dass alle 8,13 ms eine neue Umwandlung stattfindet. Die analogen Werte werden mit einer Verstärkung von eins ohne Buffer oder Instrumentenverstärker auf den Delta-Sigma Wandler gegeben. Funktion wie die zwei Stromquellen und der Referenzspannung Detektor sind ausgeschaltet. Die Anforderungen an das analoge Eingangssignal sind durch den Unipolarbetrieb und AV_{DD} festgelegt. Es muss eine Spannung von -30mV und 5,43V anliegen.

2.2.3 Fehlerursache

Der häufige Ausfall des ADCs muss Ursachen haben. Diesen gilt es auf den Grund zu gehen. Zwei mögliche Ursachen werden vorgestellt.

1. **Instabile Referenzspannung** - Der ADC erhält seine Referenzspannung über den ADR4550 [19]. Dies ist eine hoch präzise Referenzspannungsreglung mit einer Ausgangsspannung von 5V. Als Eingangsspannung benötigt er die 5V + die „Dropout Voltage“ von 300mV. Das heißt, dass die Eingangsspannung immer größer als 5,3V sein muss. Der Referenzspannungsregler wird in unserem Fall mit gemessenen 5,4V versorgt. Wenn nun kurzzeitig viel Strom benötigt wird, wie zum Beispiel von den Lastrelais, dann bricht die Spannung kurz ein und hat zur Folge, dass die Referenzspannung ebenfalls davon beeinflusst wird.
2. **Überspannung** - Der ADC hat eine klar definierte Spannungsgrenze von 5,43V. Durch das überschreiten des Wertes zerstört man den ADC. Der Grund dafür kann eine defekte Zelle sein, falsch angeschlossene Zellen oder auch eine zu hoch eingestellte Ladespannung.

2.3 Schnittstellen und Dokumentation

Ein Teil dieser Thesis beschäftigt sich mit den Schnittstellen des Zyklersystems und der Aufbereitung der Dokumentation. Da es vor dieser Arbeit schon zwei Thesen gab, die sich mit dem Zyklersystem beschäftigten, wird eine schlichte Bestandsaufnahme durchgeführt.

Eine umfangreiche Dokumentation zum Zyklersystem existiert bereits in Form von zwei Bachelorthesen von Herrn Wisniewski [1] und Herrn Röhn [7]. Diese sind aber sehr umfangreich und bieten keine schnelle Hilfe. Zudem gibt es eine Kurzanleitung zur Bedienung des Zyklersystems [8].

Die LAN Schnittstelle ist in einem einfachen privaten lokalen Netzwerk einsatzbereit, nachdem man manuell dem Gerät eine IP-Adresse zugewiesen hat. Doch im lokalen HAW-Netzwerk funktioniert das Gerät mit DHCP noch nicht. Das muss untersucht werden.

Die RS232 Schnittstelle wurde noch nie benutzt und deshalb wurde sie in der Programmierung auch noch nie berücksichtigt. Sie wurde durch das Entfernen des Jumpers für die Stromversorgung des Leitungstreibers deaktiviert. Des Weiteren birgt sie die Gefahr, die galvanische Trennung des Zyklersystems aufzuheben, da Host und Device der Schnittstelle eine gemeinsame Masse haben.

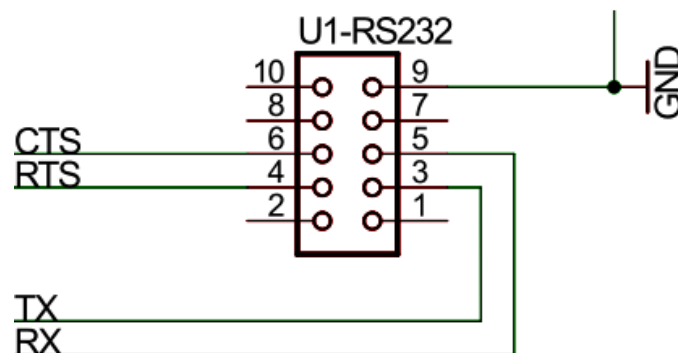


Abbildung 2.6: Auszug aus dem EAGLE Schaltplan - RS232

Die Pinbelegung des 10-Pin-Wannenstecker entspricht nicht der RS232 Norm, siehe Abbildung 2.6. Die zwei existierenden Pinbelegung für die RS232 Norm sind DTE für die Host Seite und DCE für die Device Seite. Dabei liegen TX/RX immer auf Pin 2 und 3 , GND auf 5 und CTS/RTS auf Pin 7 und 8.

3 Redesign der ADC-Schaltung

Da die Ursachen des häufigen Ausfalls des ADCs aus Kapitel [2.2.3](#) bekannt sind, können diese behoben werden. Es wird eine separate Platine entworfen, auf der der ADC mit Präzisionsspannungsregler und die ADC-Schutzschaltung Platz finden. Diese Platine wird durch ein 10 poliges Flachbandkabel mit der Hauptplatine verbunden. Sie löst die bestehende ADC Schaltung auf der Hauptplatine ab. Die neue Schaltung soll die gefundenen Ursachen beheben, einen leichten Austausch des ADCs ermöglichen und Messungen, mit einer Genauigkeit von 1mV erlauben.

Der Ablauf sieht so aus, dass zunächst verschiedene Schutzschaltungen auf einem Testboard ausprobiert und anschließend auf ihre Genauigkeit hin überprüft werden. Am Ende dieser Versuche soll die optimale Schutzschaltung gefunden sein und es geht mit der Platinenentwicklung weiter.

3.1 Schutzschaltung

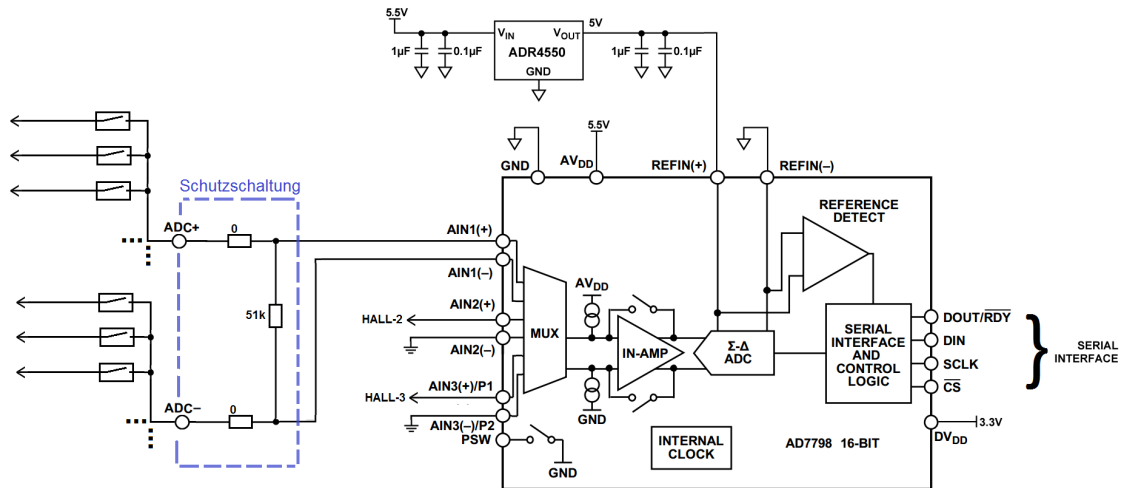


Abbildung 3.1: Blockschaltbild der ADC-Ausgangsschaltung

Abbildung 3.1 zeigt die bestehende ADC-Schaltung. Das gestrichelte Kästchen deutet den zukünftigen Platz der ADC-Schutzschaltung an. An dieser Stelle werden jetzt verschiedene Schutzschaltungen ausprobiert.

3.1.1 Supressordiode

Supressordioden werden zum Abfangen von Spannungsimpulsen eingesetzt. Sie beginnen bei einer bestimmten Schwelle leitend zu werden bis sie schmelzen und einen Kurzschluss herbeiführen. Für unsere Schaltung benötigen wir eine unipolare Supressordiode, die ab 5V anfängt, leitend zu werden. Die Entscheidung fiel hier auf die „SA5.0A“ [20] von Littelfuse. Sie kann bis zu 500W aufnehmen, bevor sie irreversibel schmilzt.

Des Weiteren wird R60, der $51\text{k}\Omega$ Widerstand, der den Eingangswiderstand des ADC mindert, entfernt. Hinzu kommen zwei 56Ω Eingangswiderstände, die im Falle eines Kurzschlusses durch die Supressordiode den Strom begrenzen. Diese zwei Widerstände verursachen nur einen kleinen Offset-Fehler, den man durch die Kalibrierung ausgleichen kann.

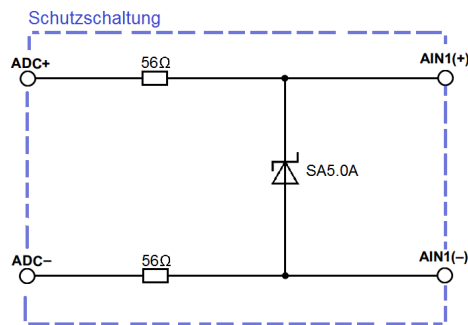


Abbildung 3.2: Schutzschaltung mit einer Supressordiode

In Abbildung 3.2 ist die beschriebene Schutzschaltung dargestellt. Sie besitzt einen Überspannungsschutz und sie hat einen höheren Eingangswiderstand, der den Einfluss der Messleitung minimiert.

3.1.2 Externe Instrumentenverstärker

Instrumentenverstärker werden auch als In-Amp bezeichnet, da sie im Englischen „Instrumentation Amplifier“ genannt werden. Die Supressordiode bietet keinen vollständigen Überspannungsschutz, da in Sperrichtung die Durchbruchspannung bei 0,5V liegt und in Durchlassrichtung die Begrenzungsspannung „clamping voltage“ 9,2V beträgt. Das bedeutet, der analoge ADC Eingang kann Werte von -0,5V bis 9,2V annehmen. Zur genauen Begrenzung von 0V bis 5V ist ein Instrumentenverstärker ideal, da er hohe Spannungen am Eingang auf +VS und -VS begrenzt. Zur Erklärung +VS und -VS sind die positive und negative Versorgungsspannung des Instrumentenverstärker. Da der Eingangswiderstand des Instrumentenverstärkers im $G\Omega$ Bereich liegt, fließt ein sehr geringer Strom. Dieser wird durch äußere Störungen schnell verfälscht, da wir oft einen langen Weg zwischen der Zelle und dem Instrumentenverstärker haben. Deshalb wird vor dem Eingang des Instrumentenverstärker ein $4M\Omega$ Widerstand geschaltet. Bei den Instrumentenverstärker fiel meine Wahl auf den AD623, AD8226 und den AD624 von „Analog Devices“.

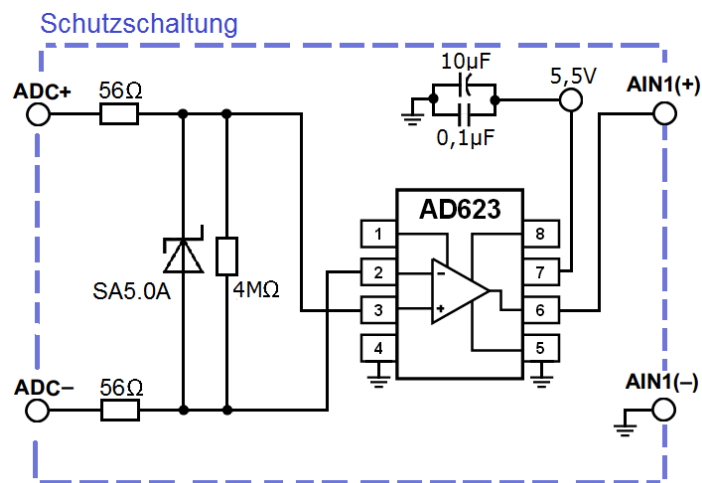


Abbildung 3.3: Schutzschaltung mit dem AD623

Abbildung 3.3 zeigt die Schutzschaltung mit dem AD623 [21]. Hierbei handelt es sich um ein Low Cost In-Amp. Er besitzt eine Bandbreite von 700 kHz und eine Gleichtaktunterdrückung (CMRR) von 70dB.

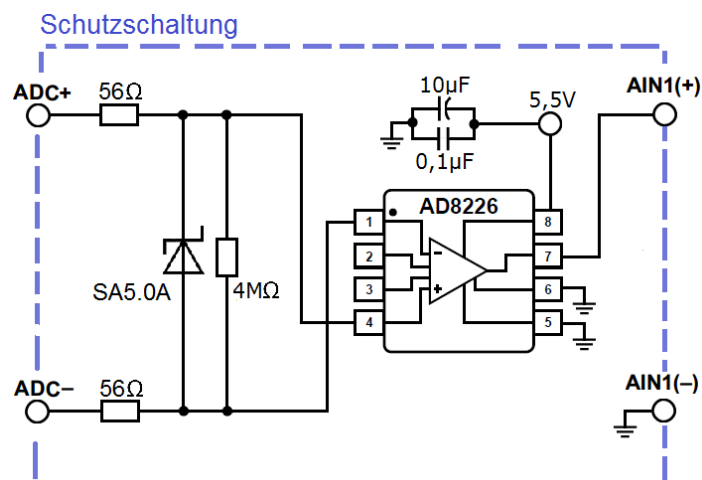


Abbildung 3.4: Schutzschaltung mit dem AD8226

Die aufgebaute Schutzschaltung mit dem AD8226 [22] ist in Abbildung 3.4 dargestellt. Es ist ein weiterer Low Cost In-Amp. Im Gegensatz zum AD623 besitzt der AD8226 eine um 20dB höhere Gleichtaktunterdrückung (CMRR) und sowie eine um 700kHz höhere Bandbreite. Zusätzlich sind die Eingänge vom AD8226 gegen elektrostatische Aufladungen (ESD) und Überspannung geschützt.

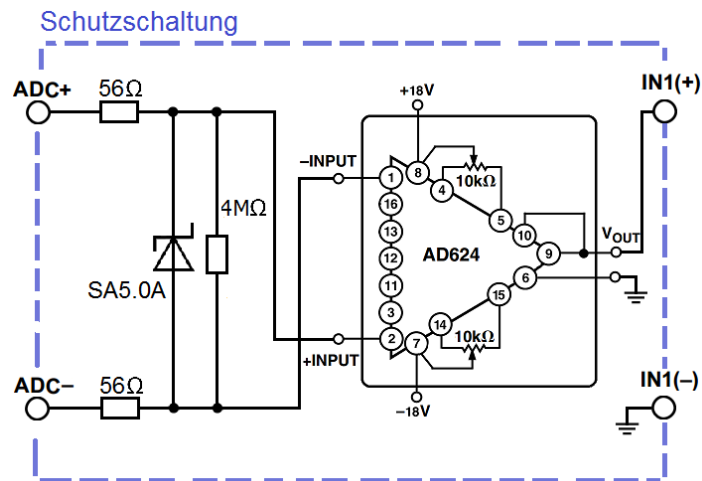


Abbildung 3.5: Schutzschaltung mit dem AD624

In Abbildung 3.5 ist die Schutzschaltung mit dem AD624 [23] dargestellt. Hierbei handelt es sich um einen teuren hoch präzisen In-Amp. Er unterscheidet sich von den preiswerten Instrumentenverstärkern durch sein geringes Rauschen und seiner exakt linearen Übertragungsfunktion.

3.1.3 Interne Instrumentenverstärker

Da der interne Instrumentenverstärker erst ab einer Verstärkung von vier aktivierbar ist, wird die Spannung am Eingang des ADCs durch einen Spannungsteiler reduziert. Dass sich die Spannung durch thermischen Einfluss verändert, ist nicht zu erwarten. Da das Verhältnis der Widerstände immer gleich bleibt, ist auch ein Drift nicht zu befürchten. Aber durch das Teilen der Spannung und anschließender Verstärkung geht die Genauigkeit verloren. Die Frage die sich stellt ist, ob der interne Instrumentenverstärker trotzdem besser auf den ADC abgestimmt ist und dadurch bessere Ergebnisse liefert.

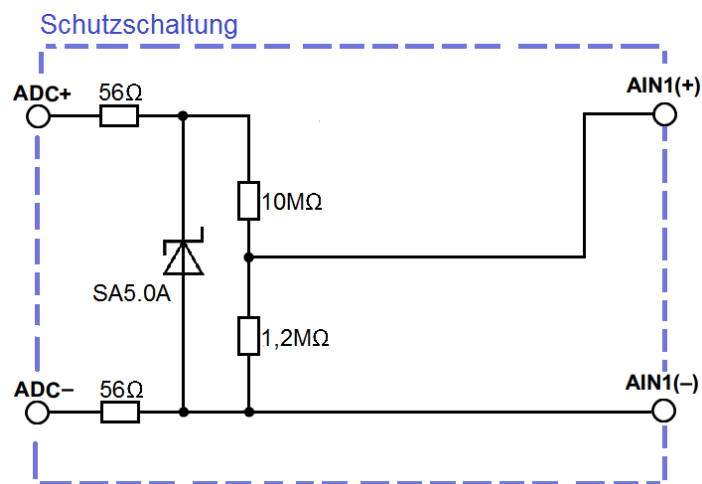


Abbildung 3.6: Schutzschaltung mit einem Spannungsteiler

Abbildung 3.6 zeigt die verwendete Schutzschaltung. Das Verhältnis der Widerstände von einem $10\text{M}\Omega$ zu einem $1,2\text{M}\Omega$ beträgt:

$$U_{AIN1} = U_{ADC} \cdot \frac{1,2}{11,2} = 0,107 \cdot U_{ADC} \quad (3.1a)$$

Wird das Verhältnis mit 4 verstärkt erhält man:

$$U_{AIN1} = 4 \cdot 0,107 \cdot U_{ADC} = 0,429 \cdot U_{ADC} \quad (3.1b)$$

3.2 Messungen

Das Wichtigste bei den Schutzschaltungen ist, dass nach deren Integration die Genauigkeit von 1mV nicht verloren geht. Deshalb werden die verschiedenen Schutzschaltungen getestet. Zum Verifizieren werden zwei verschiedene Messungen durchgeführt.

Die Aufnahme der Übertragungskennlinie erfolgt mithilfe einer Spannungsquelle, ROHDE & SCHWARZ - NGT 20. Sie nimmt den Platz der Batteriezelle ein.

Die erste Messung ist eine stochastische Messung, die dazu dient, das Rauschen zu erfassen. Bei einem festen Spannungswert von 3,5V und einem festen $f_{ADC}=16,7\text{Hz}$ werden 1000 Werte vom ADC aufgenommen.

Bei der zweiten Messung handelt es sich um das Ermitteln der Übertragungsfunktion. Am Eingang wird die Spannungsquelle in 250mV Schritten im Bereich von 0V bis 4V durchlaufen. Bei jedem dieser Schritte führt der ADC 20 Messungen durch und gibt diese über den UART aus. Diese 20 Messungen werden gemittelt und zu einem Wert zusammengefasst, um das mögliche Rauschen zu minimieren.

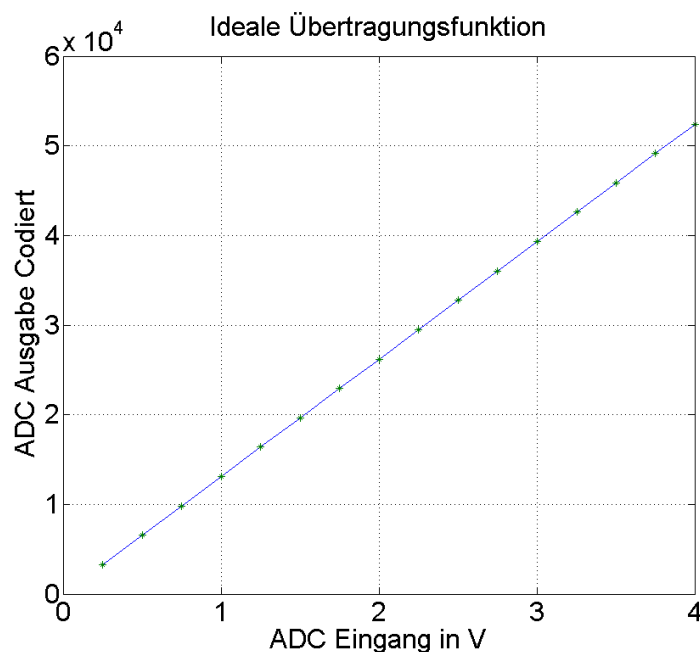


Abbildung 3.7: eine ideale Übertragungsfunktion

Abbildung 3.7 zeigt eine ideale Übertragungskennlinie. Auf der X-Achse ist die Eingangsspannung der Spannungsquelle abgebildet. Die Y-Achse ist die gemittelte UART Ausgabe

des ADCs. Diese ist codiert, die Umrechnung in eine Spannung ist wie folgt:

$$U_{AIN} = Code \cdot V_{REF} \cdot 2^{-Bit} \quad (3.2a)$$

Da wir den AD7798 mit 16 Bit verwenden und ihn mit einer 5V Referenzspannung versorgen ergibt sich:

$$U_{AIN} = Code \cdot 5V \cdot 2^{-16} = Code \cdot 76,29 \cdot \mu V \quad (3.2b)$$

Um aus der ermittelten Übertragungskennlinie auf die resultierende Abweichung zu kommen, muss die aufgenommene Kennlinie quadratisch oder linear kalibriert werden. Anschließend wird der Fehler durch die Differenz der idealen Kennlinie und der kalibrierten Kennlinie ermittelt.

3.2.1 Supressordiode

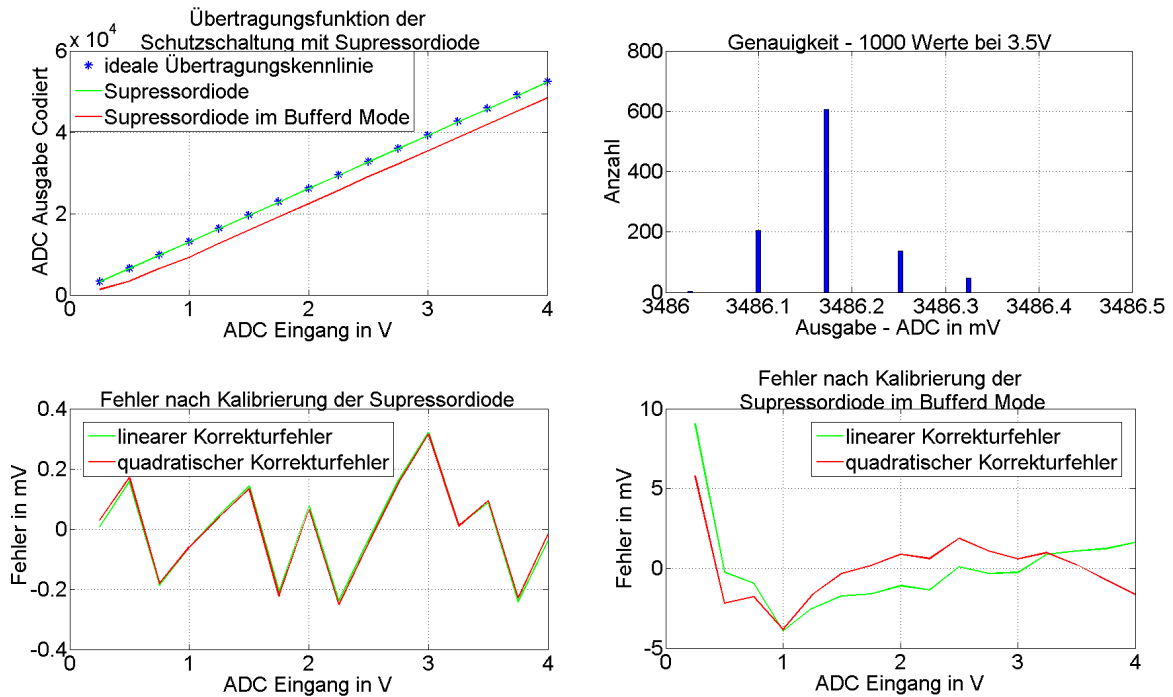


Abbildung 3.8: aufgenommene Messungen der Schutzschaltung mit der Supressordiode

In Abbildung 3.8 sind die Messungen der Schutzschaltung mit der Supressordiode dargestellt. Um den Eingangswiderstand des ADCs zu erhöhen, wurde der „buffered mode“ getestet. Bei der Ermittlung der Übertragungskennlinie und deren Korrektur fällt auf, dass der „buffered mode“ einen zu großen Fehler aufweist. Deshalb ist eine stochastische Auswertung unnötig. Die einfache Supressordiode ohne den „buffered mode“ rauscht nur gering und hat eine nahezu lineare Übertragungskennlinie.

3.2.2 Instrumentenverstärker

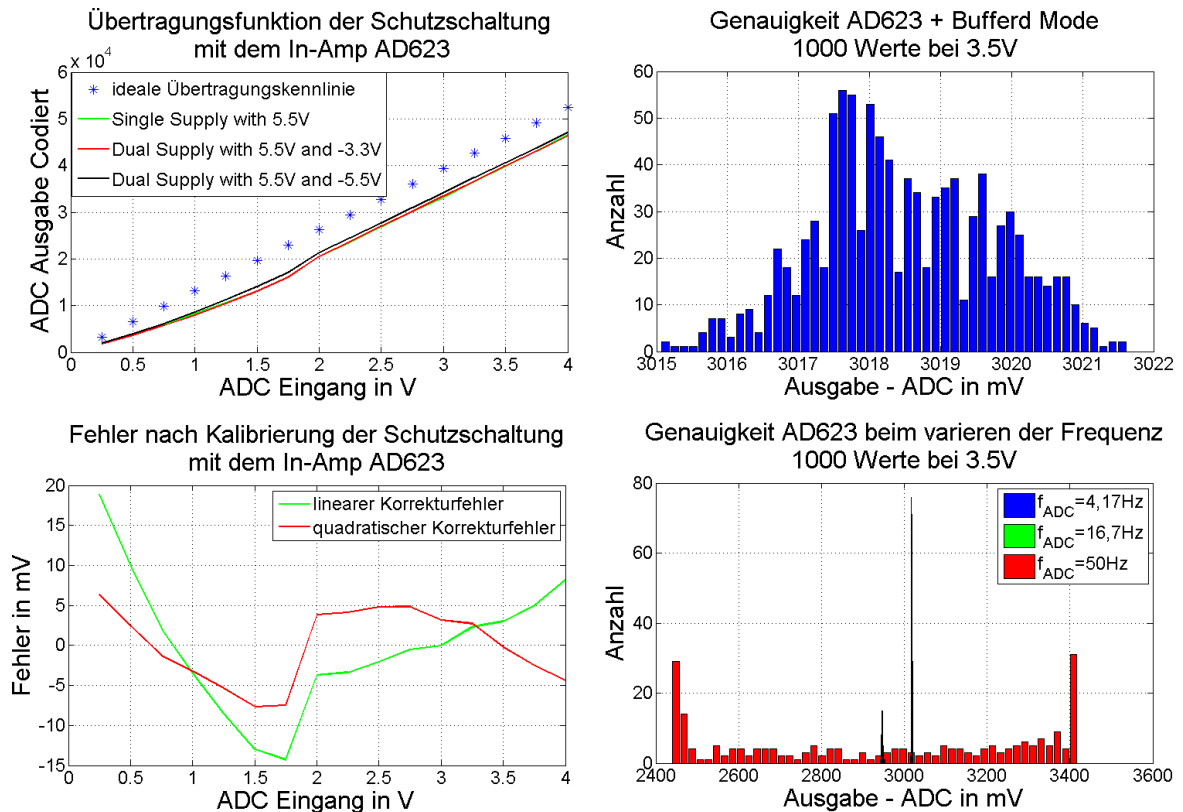


Abbildung 3.9: aufgenommene Messungen der Schutzschaltung mit dem AD623

Der erste externe In-Amp der überprüft wird, ist der AD623. Die Ergebnisse der Messung sind in Abbildung 3.9. Der AD623 kann mit einer Spannung versorgt werden, sprich „Single Supply“, bzw. zwei Spannungen, „Dual Supply“. Nach den Messungen wird klar, dass dies keine genaueren Ergebnisse liefert. Die Kennlinie sowie das Rauschen bleiben unverändert. Die Übertragungskennlinie ist weder linear noch quadratisch kalibriert brauchbar.

Bei den stochastischen Messungen wurde der „buffered mode“ geprüft. Die Messung beweist erneut das der „buffered mode“ ungeeignet ist, da die Messung um 7mV streut. Des Weiteren wurde die Genauigkeit bei veränderter f_{ADC} geprüft. Diese Messung wird kurz erläutert. Die Genauigkeitsmessung bei 4,17Hz (blau) ist der höchste Peak, sie ist um 4mV genau. Der linke schmale Peak ist die Messung bei einer Frequenz von 16,7Hz (grün) mit einer Genauigkeit von 6mV. Die dominante Messung mit 50Hz (rot) hat eine Genauigkeit von 977mV. Diese extreme Ungenauigkeit bei $f_{ADC}=50\text{Hz}$, entsteht, weil das digitale Filter fehlt.

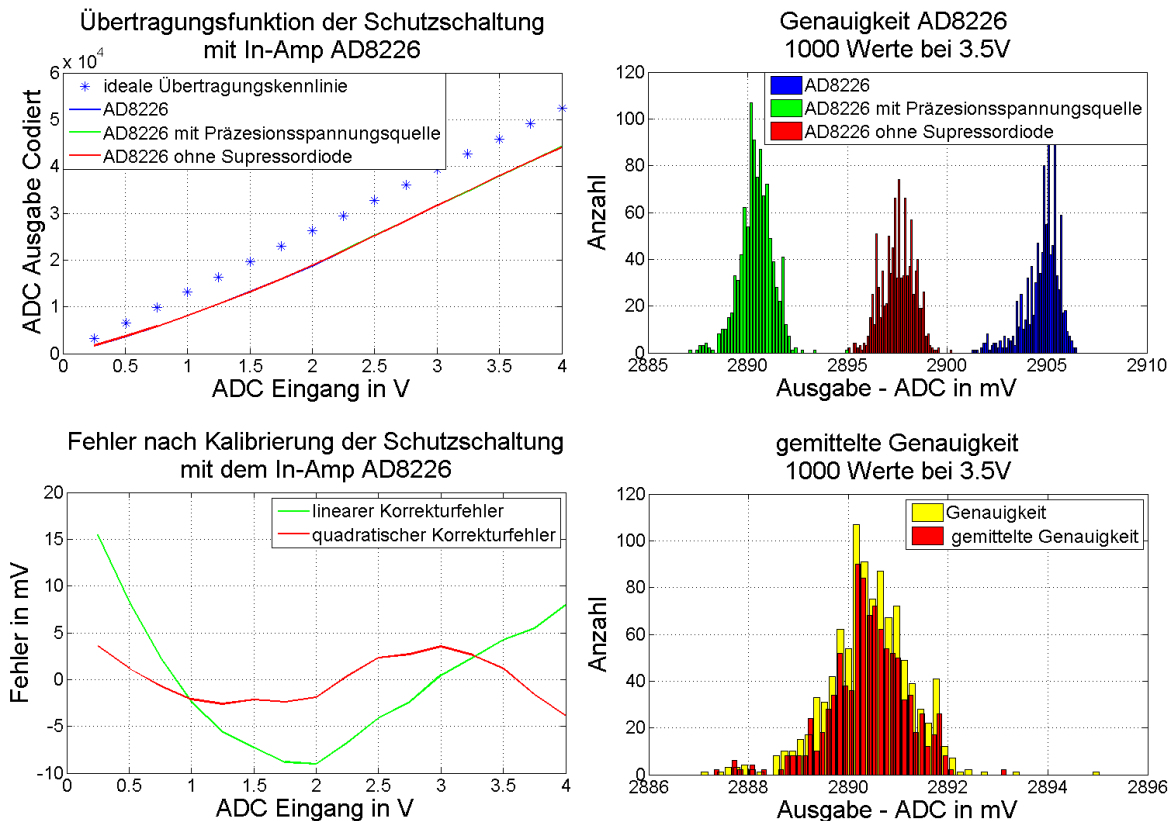


Abbildung 3.10: aufgenommene Messungen der Schutzschaltung mit dem AD8226

Abbildung 3.10 zeigt die Messung mit dem In-Amp AD8226. Bei diesen Messungen gibt es drei Varianten. Die erste Messung ist nur der AD8226 aktiv, bei der zweiten Messung wird der AD8226 mit einer Präzisionsspannungsquelle versorgt und bei der dritten Messung wurde auf die Supressordiode verzichtet.

Bei der Übertragungskennlinie ist zwischen den drei verschiedenen Messungen keine erwähnenswerte Veränderung zu erkennen. Diese Kennlinie lässt sich gut quadratisch kalibrieren. Die beste Genauigkeit wird bei der Messung mit der Präzisionsspannungsquelle erzielt. Diese hat um den Messwert die höchsten Ausschläge. Unten rechts wird versucht, die Genauigkeit durch eine numerische Mittlung zu erhöhen. Das Resultat ist eher ernüchternd. Das Positive an dieser Methode ist, dass die extremen Fehlmessungen verringert werden. Nachteilig ist, dass auch die bereits richtigen Messungen verringert werden.

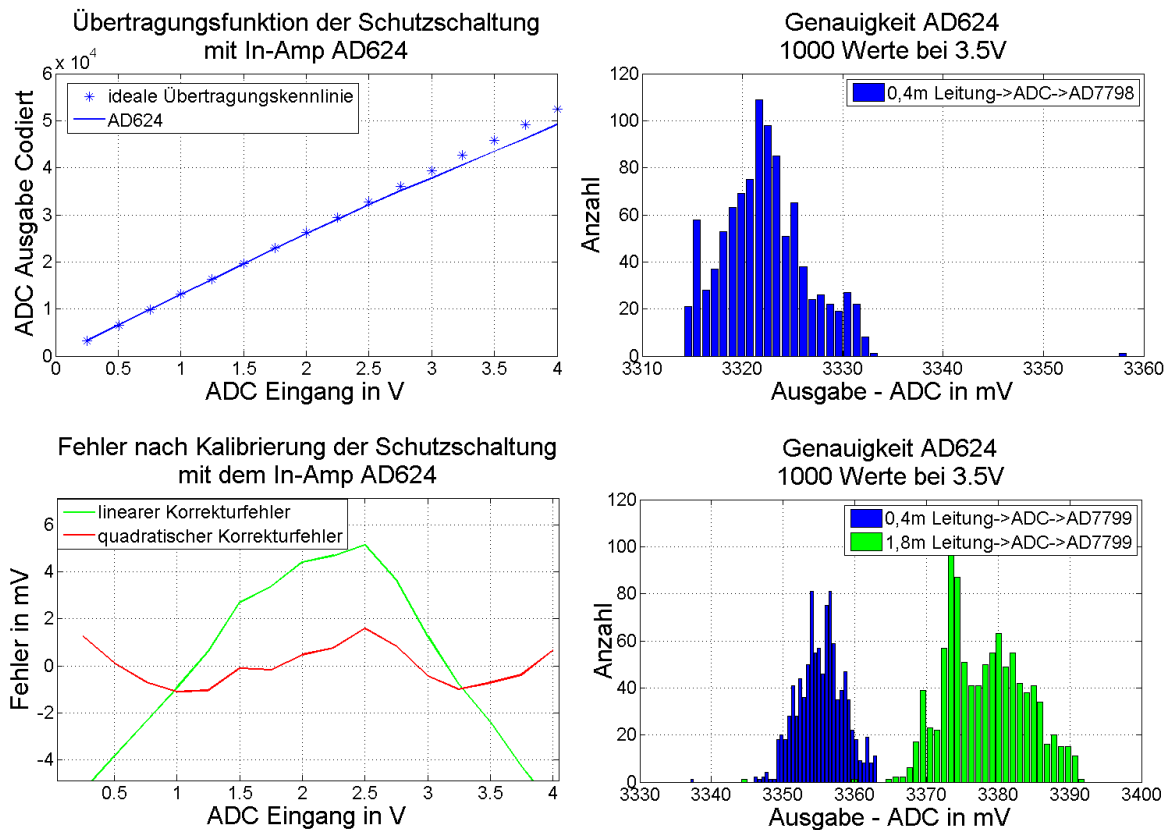


Abbildung 3.11: aufgenommene Messungen der Schutzschaltung mit dem AD624

Der letzte externe In-Amp, der geprüft wird, ist der AD624. Die Messung ist in Abbildung 3.11 dargestellt. Die Besonderheit ist bei diesem In-Amp, dass er über vier 9V-Blöcke seine eigene Stromversorgung hat. Da er ein eigenes Gehäuse besitzt, wird er über vier Messleitungen in die Schaltung integriert.

Die Übertragungsfunktion ist nahezu linear, nur im oberen Bereich hat diese eine leichte Steigungsänderung. Die Genauigkeit auf 1000 gemessenen Werten liegt bei 15mV. Des Weiteren wurde die Genauigkeit mit dem AD7799 verglichen. Er hat eine höhere Auflösung, 24 Bit anstatt 16 Bit. Das Variieren des ADCs ist nicht bahnbrechend. Gut zu erkennen ist, der Einfluss von der Länge der Messleitungen auf die Genauigkeit. Bei Verwendung von kurzen Messleitungen gibt es eine Genauigkeit von 10mV.

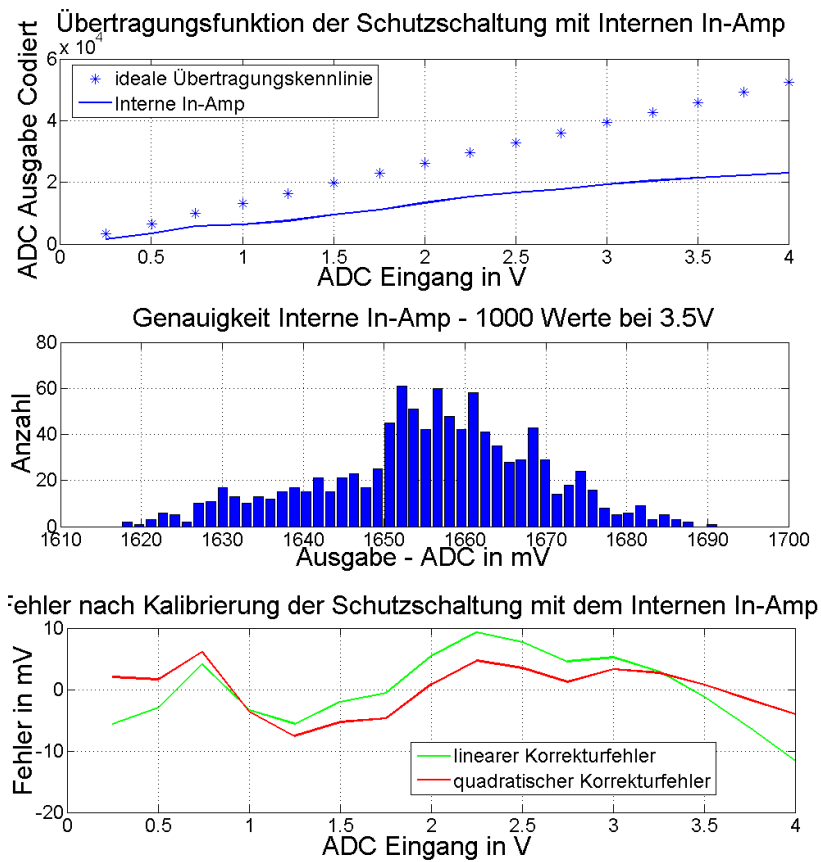


Abbildung 3.12: aufgenommene Messungen der Schutzschaltung mit dem internen In-Amp

Bei den Messergebnissen in [Abbildung 3.12](#) handelt es sich um die des internen Instrumentenverstärkers des AD7798. Diese sind sehr unbefriedigend, da die Genauigkeit und die Übertragungskennlinie sehr schlecht sind.

3.3 Auswertung

Nun wird sich ein Überblick über die Messungen verschafft. Um den Gesamtfehler einer Messung zu erfassen, reicht es nicht aus, den Kalibrierfehler und die Genauigkeitsfehler zu addieren, da die Genauigkeitsfehler schon ein Teil des Kalibrierfehlers sind. Beim Aufzeichnen der Übertragungsfunktion ist die Ungenauigkeit der Messung ein ständiger Begleiter.

Messungen	Genauigkeitsfehler	Kalibrierfehler
Supressordiode	0,3 mV	0,3 mV
In-Amp - AD623	4mV	7mV
In-Amp - AD8226	4mV	4mV
In-Amp - AD624	17mV	1mV
In-Amp - Intern	60mV	7mV

Tabelle 3.1: Zusammenfassung der aufgenommenen Messwerte

In Tabelle 3.1 sind die verschiedenen Messungen mit den geringsten Fehlern dargestellt. Die Supressordiode ist nicht bedenklich und ist die beste Wahl. Alle weiteren Komponenten sind messtechnisch nicht mit der Genauigkeitsvorgabe, von einem Millivolt Auflösung, vereinbar. Bei den Instrumentenverstärkern erweist sich der AD8226, der mit einer Präzisionsspannungsquelle versorgt wird, als der Beste, da er einen relativ geringen Genauigkeitsfehler und Kalibrierfehler hat.

Der „buffered mode“ hat in allen Messungen schlechte Ergebnisse hervorgebracht. Das Variieren von f_{ADC} hingegen ist entscheidend für die Genauigkeit. Da bei hohen Frequenzen der digitale Filter im ADC deaktiviert wird, kann bei den Messfehlern auf äußere Störeinflüsse schließen. Es ist nicht auszuschließen, dass das Schaltnetzteil des Zyklersystem hochfrequente Störungen verursacht. Auch lange Leitungen sind zu vermeiden, da sie wie Antennen wirken.

Da das Ergebnis vom InAmp AD8226 nicht ausreichend genau ist, muss über eine Alternative nachgedacht werden. Auf der zu entwickelten Schutzschaltung muss der In-Amp optional verfügbar sein.

3.4 ADC Schaltungsentwurf

Basierend auf den gewonnenen Messergebnissen der aufgebauten Schutzschaltungen wird jetzt die ADC Schutzschaltung entworfen. Um hochfrequente Störungen durch das Schalt-
netzteil zu vermeiden, erhält die Schutzschaltung ein eigenes lineares Netzteil. Die Schutz-
schaltung soll zwei Betriebsmodi haben. Eine mit externen In-Amp, die andere ohne In-Amp.
Die Supressordiode soll in beiden Modi enthalten sein. Um die große Bandbreite des In-Amp
zu schmälern, kommt vor dem In-Amp noch ein analoger Tiefpass. Um weniger Störungen
von der bereits existierenden Schaltung zu bekommen, wird die Schutzschaltung von dem
Rest des Zyklersystems galvanisch getrennt.

Da in diesem Kapitel nur ausgewählte Teile der Schaltung behandelt werden, wird auf den
Anhang [B.1](#), [B.2](#) und [B.3](#) verwiesen. Dieser enthält den Schaltplan, das Layout und die Teile-
liste. Ansonsten sind die Eagle Projekt Dateien auch auf der CD zu finden.

3.4.1 Tiefpass

Um den Tiefpass korrekt zu dimensionieren wird eine Simulation durchgeführt. Dazu wird die
Software „Qucs“ benutzt. Es ist eine freie Software die einfache und kleine Simulationen er-
möglicht. Das Ziel ist eine Grenzfrequenz unter 50Hz zu erhalten, um mögliche Störeinflüsse
durch das Netzbrummen zu filtern. Trotzdem sollen die Schaltungen noch auf schnelle Span-
nungssprünge reagieren können. Deshalb wird nach der Simulation das Bode-Diagramm
und die Sprungantwort untersucht.

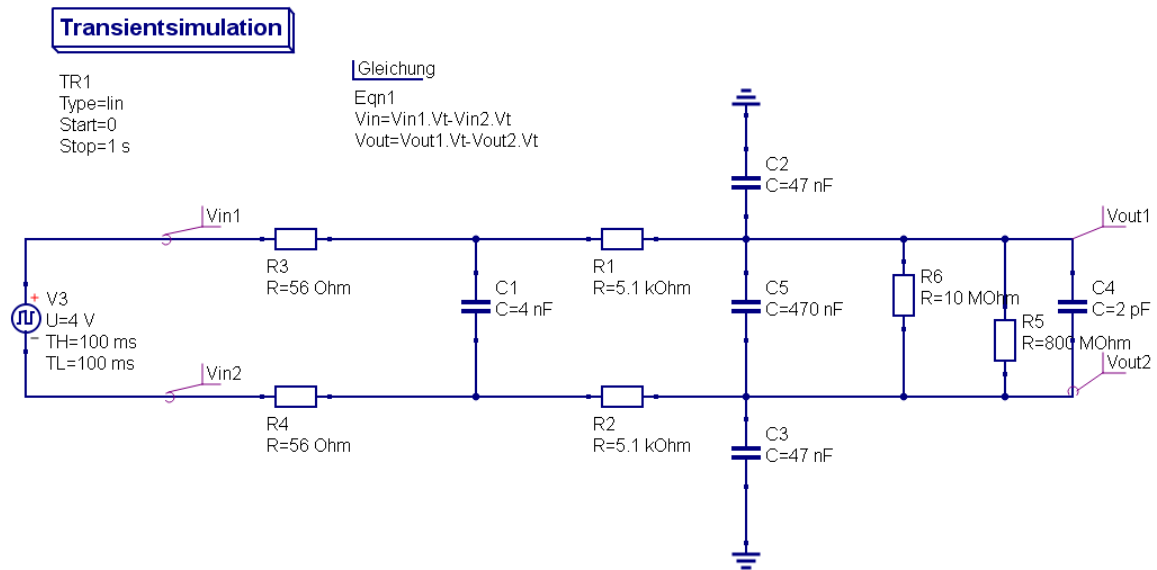


Abbildung 3.13: Tiefpass Simulation

Abbildung 3.13 zeigt die aufgebaute Simulation für die Sprungantworten. Um die Grenzfrequenz des Tiefpasses zu bestimmen wird ein Bodediagramm erstellt. Bei der Simulation für das Bodediagramm wird der Rechteckgenerator durch eine sinusförmige Spannungsquelle ausgetauscht und anschließend ein sweep über die Frequenz durchgeführt. Die Supressordiode hat große kapazitive Eigenschaften, deshalb wird sie als Kapazität C1 dargestellt. R1, R2, C2, C3 und C5 stellen den analogen Tiefpass dar. R5 und C4 bilden den Eingang des In-Amps nach. Da dieser viel zu hochohmig ist, wird parallel am Eingang ein $10\text{M}\Omega$ Widerstand platziert.

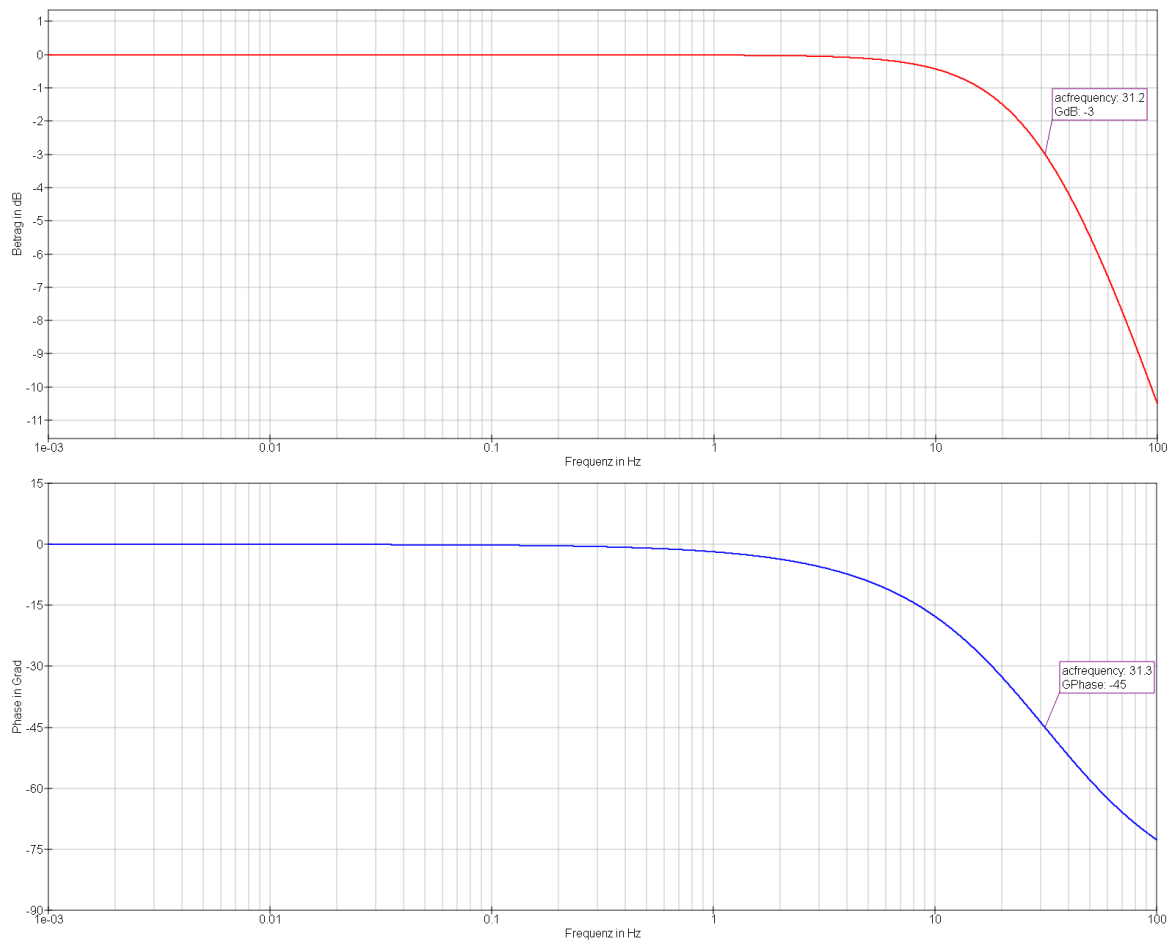


Abbildung 3.14: Tiefpass Simulation - Bode Diagramm

Abbildung 3.14 zeigt das Simulationsergebnis für das Bode-Diagramm. Man sieht ein typisches Tiefpassverhalten in der Amplitude und Phase. Die 3dB Grenzfrequenz liegt bei 31,2Hz.

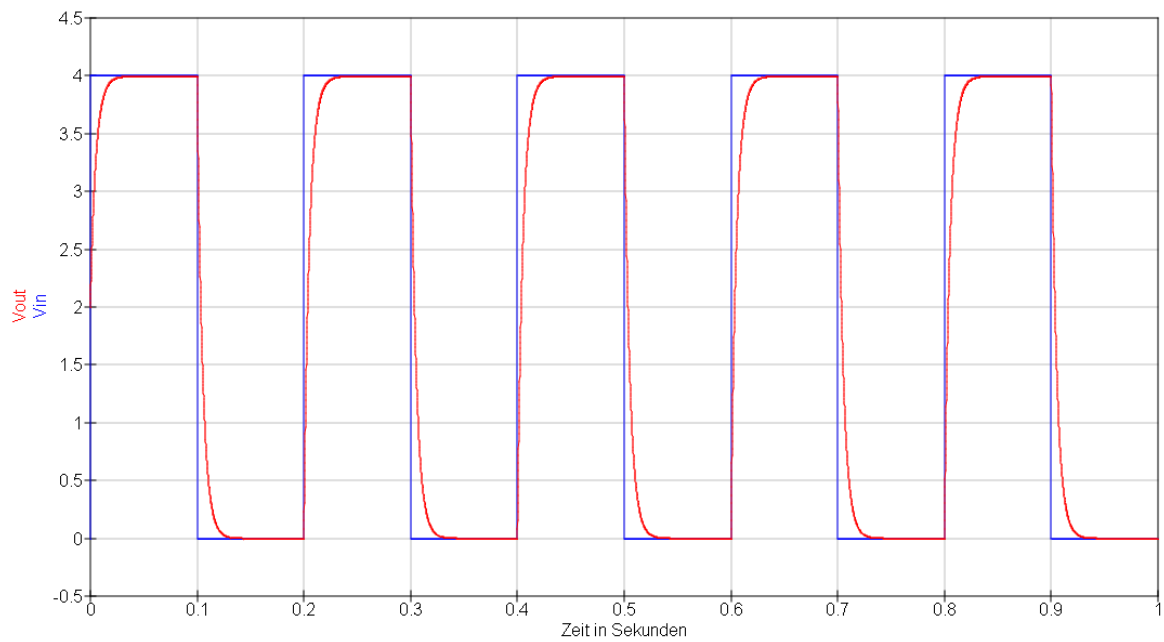


Abbildung 3.15: Tiefpass Simulation - Sprungantwort

Abbildung 3.15 zeigt die Sprungantwort der Simulation. Blau ist die ideale rechteckförmige Eingangsspannung und rot ist die Ausgangsspannung am Instrumentenverstärker. Wichtig ist hierbei, dass der Sprung innerhalb von 50ms seinen stationären Zustand erreicht, damit anschließend die Spannung korrekt am ADC verarbeitet werden kann.

3.4.2 Netzteil

Beim Netzteil fällt die Wahl auf eine „Doppelte Mittelpunktschaltung“, weil sich mit wenig Aufwand eine negative Spannung erzeugen lässt. Die Grundlagen für diese Schaltung sowie die Formel für die Dimensionierung der Siebkondensatoren findet man im Buch „Halbleiter-Schaltungstechnik“ von Tietze & Schenk [24, S.898].

$U_{Br,ss}$: Brummspannung, I_a : maximale Strom des Netzteils, C_L : Siebkondensatoren, f_N : Frequenz der Wechselspannung, R_i : Innenwiderstand des Transformators, R_v : Lastwiderstand

$$U_{Br,ss} = \frac{I_a}{2C_L f_N} \left(1 - \sqrt[4]{\frac{R_i}{2R_v}} \right) \quad (3.3a)$$

Da die verwendeten 9V Festspannungsregler eine Dropout Voltage von 2V haben, bedeutet dass die Brummspannung nicht unter 11V sinken darf. Der Transformator liefert eine 18V Spannung. Diese ergibt ideal gleichgerichtet $\frac{18V}{\sqrt{2}} = 12,73V$. Wird davon zwei mal 0,7V für die Dioden im Gleichrichter abgezogen, erhält man eine maximale Brummspannung von 11,33V. Der maximale Strom, den das Netzteil liefern kann, soll $70mA = I_a$ betragen.

$$U_{Br,ss} = 11,33V - 11V = 330mV \quad (3.4a)$$

Stellt man die Formel 3.3a nach dem Siebkondensator um, erhält man:

$$C_L = \frac{I_a}{2U_{Br,ss} f_N} \left(1 - \sqrt[4]{\frac{R_i}{2R_v}} \right) \quad (3.4b)$$

$$C_L = \frac{0,07A}{2 \cdot 0,33V \cdot 50Hz} \left(1 - \sqrt[4]{\frac{0,2\Omega}{2 \cdot 600\Omega}} \right) \quad (3.4c)$$

$$C_L = \frac{0,07A}{2 \cdot 0,33V \cdot 50Hz} \cdot 0,89 = 1888\mu F \quad (3.4d)$$

Da dies die Mindestkapazität für die Siebkondensatoren ist, wird die Kapazität der Kondensator um 10% erhöht. Der nächst mögliche erhältliche Elektrolyt-Kondensator hat $2200\mu F$.

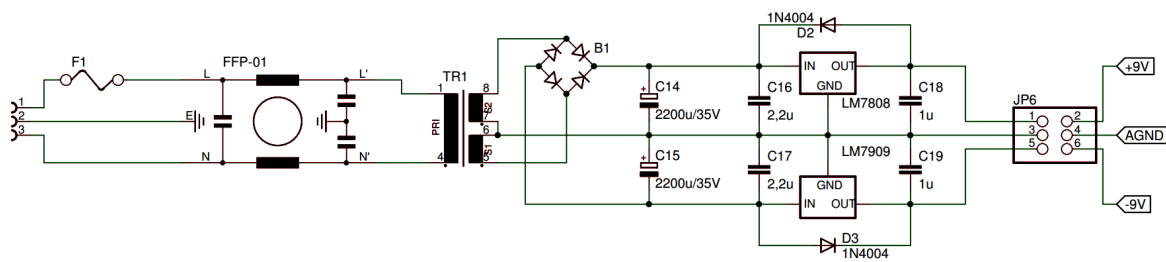


Abbildung 3.16: Netzteil - Aufbau und Dimensionierung

Abbildung 3.16 zeigt den Schaltplan des Netzteils. Außer den üblichen Komponenten eines Netzteils wie Gleichrichter, Transformator und Festspannungsregler verfügt das Netzteil über zusätzliche Elemente. Dazu gehören eine Sicherung F1 als Strombegrenzung, ein Netzfilter FFP-01 gegen Störungen auf der Netzseite und zwei Dioden als Schutz vor Verpolung.

3.4.3 Galvanische Entkopplung

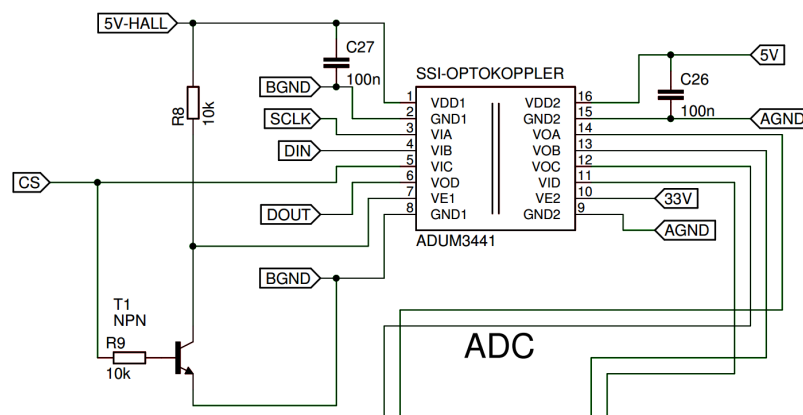


Abbildung 3.17: Optokoppler für die serielle Schnittstelle

Durch das eigene Netzteil mit Transformator ist die ADC Schutzschaltung, außer der SPI Schnittstelle, galvanisch getrennt. Um die galvanische Trennung zu vervollständigen, wird die SPI Schnittstelle durch einen Optokoppler getrennt. Dies ist in Abbildung 3.17 dargestellt. Da beim SPI-Bus die Teilnehmer, die nicht mit dem Host kommunizieren DOUT hochohmig werden lassen, muss dies der Optokoppler ebenso nachahmen. Dazu wird Pin7 des Optokopplers benutzt. Wenn ein High auf diesem Pin anliegt, werden die Ausgänge hochohmig. Dies ist invers zum „CS - Chip Select“ der SPI-Schnittstelle. Mithilfe eines Inverters am CS wird der Optokoppler zur richtigen Zeit hochohmig.

3.4.4 optionale Modifikationen

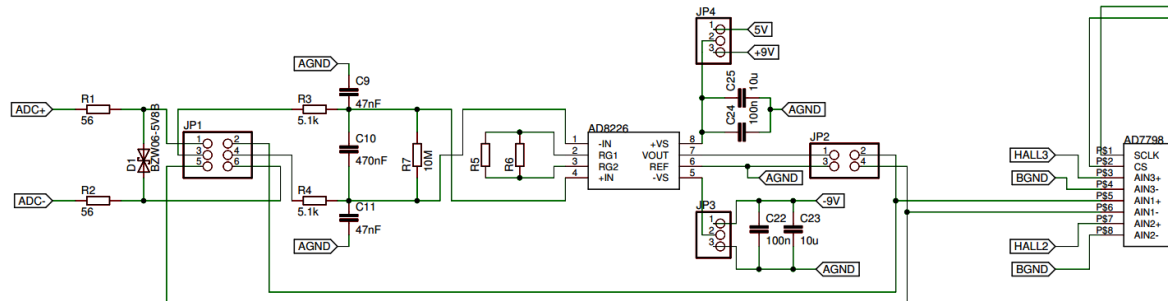


Abbildung 3.18: Einstellmöglichkeiten durch Jumper

Zum Einstellen der verschiedenen Betriebsmöglichkeiten sind „Pin Header“ vorgesehen, die sich mit Jumper konfigurieren lassen. In [Abbildung 3.18](#) sind alle wesentliche Jumper Möglichkeiten zu sehen. „Pin Header“ JP1 und JP2 sind zum Umgehen des In-Amp AD8226. Soll der In-Amp benutzt werden brückt man JP1 1/3 und 4/6, an JP2 ist 1/2 und 3/4 zu brücken.

„Pin Header“ JP3 und JP4 dienen zum Einstellen der Versorgungsspannung des Instrumentenverstärkers. Ist JP3 auf AGND gebrückt, kann der In-Amp im „Single Supply“ betrieben werden. Mit JP4 stellt man die gewünschte Betriebsspannung von 5V oder 9V ein. Soll im „Dual Supply“ gearbeitet werden, sind JP3 auf +9V und JP4 auf -9V zu brücken.

4 Ausarbeitung geeigneter Messkonzepte

Um über das Verhalten der Batteriezelle möglichst viel in Erfahrung zu bringen, ist es wichtig, eine Systematik zu entwickeln. Die Zellen müssen katalogisiert und regelmäßig nach einem streng festgelegten Messplan untersucht werden. Dadurch ist es möglich, für ausgewählte Zellen Daten über einen langen Zeitraum zu gewinnen und zu analysieren.

In diesem Kapitel werden die genauen Messkonzepte, sowie der dazu gehörige Messplan ausgearbeitet.

4.1 Messkonzept nach dem Neuen Europäischen Fahrzyklus

Dieses Messkonzept basiert auf den Herstellerangaben führender Automobilhersteller, sowie dem NEFZ. Der Ansatz basiert auf physikalischen Gesetzen, die benötigte Leistung während eines NEFZ zu berechnen. Da diese errechnete Leistung auf die gesamte Batterie bezogen ist, wird eine Simulation dieser Batterie durchgeführt. Der kleinste Bestandteil dieser Batterie ist ein Batteriemodell der verwendeten Zelle. Somit ist bekannt, welche Ströme während des NEFZ auf eine einzelne Zelle wirken. Damit nun eine Messkonzept nach dem NEFZ entsteht, muss nun mit dem Zykliersystem die Belastung so gut wie möglich nachvollzogen werden.

Weil die Automobilhersteller nur wenig über ihre Antriebstechnologie preisgeben, sind die Berechnungen und Simulationen eine Annäherung an die Realität. Deshalb lohnt es sich nicht, dies extrem detailliert und genau zu machen. Das Ziel ist, dass am Ende dieser Berechnungen die Verbrauchswerte auf 100km übereinstimmen mit den Werten aus dem „DAT-Leitfaden“ [16].

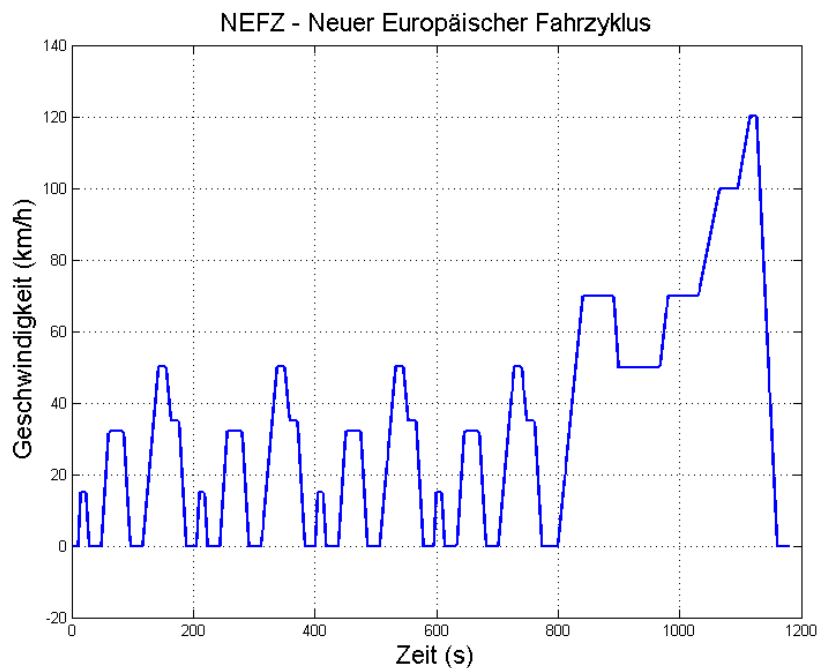


Abbildung 4.1: der NEFZ aus den Europäischen Richtlinien

Zunächst wird der NEFZ aus der Richtlinie 70/220/EWG in MATLAB übernommen. Dieser ist in Abbildung 4.1 dargestellt.

4.1.1 Berechnung der benötigten Leistung während des NEFZ

Zur Berechnung der benötigten Leistung während des NEFZ wird der Rollwiderstand, der Luftwiderstand und die benötigte kinetische Energie zur Beschleunigung berücksichtigt. Um auch den Wirkungsgrad des Akkus und Motors mit einzubeziehen, wird der Verlustfaktor V_F eingeführt.

Rollwiderstand:

F_{Roll} : Rollwiderstand in N, C_r : Rollwiderstandskoeffizient, m : Masse in kg,
 g : Erdbeschleunigung ($9,81 \frac{m}{sec^2}$)

$$F_{Roll} = C_r \cdot m \cdot g \quad (4.1a)$$

Luftwiderstand:

F_{Luft} : Luftwiderstand in N, A : Stirnfläche des Fahrzeugs in m^2 , C_w : Luftwiderstandsbeiwert
 D : Dichte der Luft ($1,29 \frac{kg}{m^3}$), v : gefahrene Geschwindigkeit in $\frac{m}{sec}$

$$F_{Luft} = \frac{A}{2} \cdot C_w \cdot D \cdot v^2 \quad (4.1b)$$

kinetische Energie:

E_{kin} : kinetische Energie, m : Masse in kg, v : gefahrene Geschwindigkeit in $\frac{m}{sec}$

$$E_{kin} = \frac{1}{2} \cdot m \cdot v^2 \quad (4.1c)$$

Daraus lässt sich ableiten, was über das Auto bekannt sein muss. Es wird der Rollwiderstandskoeffizient C_r , der Luftwiderstandsbeiwert C_w , die Masse m und die Stirnfläche A des Fahrzeugs benötigt. Die Masse und die Abmaße zur Berechnung der Stirnfläche sind für jedes Fahrzeug angegeben. VW ist einer der wenigen Autohersteller die den Luftwiderstandsbeiwert offen darlegen. Dieser beträgt beim „VW e-up!“ $0,308=C_w$. Der Rollwiderstandskoeffizient hängt eher von der Fahrbahn ab. Dieser beträgt bei einem Pkw auf Asphalt $C_r=0,013$.

Um nun die Leistung während des NEFZ zu erhalten, muss noch eine Umrechnung stattfinden und der Verlustfaktor V_F einbezogen werden. Da Leistung gleich Kraft mal Geschwindigkeit ist, ergibt sich für den Rollwiderstand und Luftwiderstand Folgendes.

Leistung des Rollwiderstands nach Gleichung 4.1a:

P_{Roll} : Leistung des Rollwiderstands in W, v : gefahrene Geschwindigkeit in $\frac{m}{sec}$
 V_F : Verlustfaktor

$$P_{Roll} = C_r \cdot m \cdot g \cdot v \cdot V_F \quad (4.2a)$$

Leistung des Luftwiderstands nach Gleichung 4.1b:

P_{Luft} : Leistung des Luftwiderstands in W, V_F : Verlustfaktor

$$P_{Luft} = \frac{A}{2} \cdot C_w \cdot D \cdot v^3 \cdot V_F \quad (4.2b)$$

Um aus der kinetischen Energie die Leistung zu gewinnen, muss die kinetische Energie abgeleitet werden.

P_{kin} : kinetische Leistung in W

$$P_{kin}(t) = \frac{dE_{kin}(t)}{dt} \quad (4.3a)$$

Da die vorliegenden Werte in MATLAB zeitdiskret sind, ergibt sich mit der Simulationsschrittweite ts :

$$P_{kin} = \frac{\Delta E_{kin}}{\Delta t} = \frac{\Delta E_{kin}}{ts} \quad (4.3b)$$

Wird die Gleichung 4.1c eingesetzt und der Verlustfaktor V_F berücksichtigt, ergibt sich für P_{kin} :

$$P_{kin} = \frac{0.5 \cdot m \cdot v_2^2 - 0.5 \cdot m \cdot v_1^2}{ts} \cdot V_F = \frac{m \cdot (v_2^2 - v_1^2)}{2 \cdot ts} \cdot V_F \quad (4.3c)$$

Da die Berechnung für die Leistung bekannt ist, wird mit einer typischen Fallunterscheidung der NEFZ durchlaufen. Dabei unterteilt die Fallunterscheidung den NEFZ in vier Bereiche:

1. **stehen** - Wenn das Auto steht, wird keine Leistung benötigt.
2. **beschleunigen** - Beim Beschleunigen setzt sich die Leistung aus P_{Roll} , P_{Luft} und P_{kin} zusammen. Sofern das Fahrzeug in Bewegung gerät wirkt der Roll- und Luftwiderstand. Die kinetische Leistung wird aufgrund der Geschwindigkeitsänderung addiert, da $(v_2^2 - v_1^2) > 0$ ist.
3. **bremsen** - Der Bremsvorgang besteht nur aus P_{Roll} und P_{Luft} . Da die kinetische Leistung $(v_2^2 - v_1^2) < 0$ ist, würde das Fahrzeug beim Bremsen Leistung erhalten, sprich Rekuperation. Dieser Fall wird in dieser Simulation nicht berücksichtigt.
4. **konstant** - Bei konstanter Geschwindigkeit wird nur gegen den Roll- und Luftwiderstand gearbeitet. Deshalb besteht er ebenfalls aus P_{Roll} und P_{Luft} .

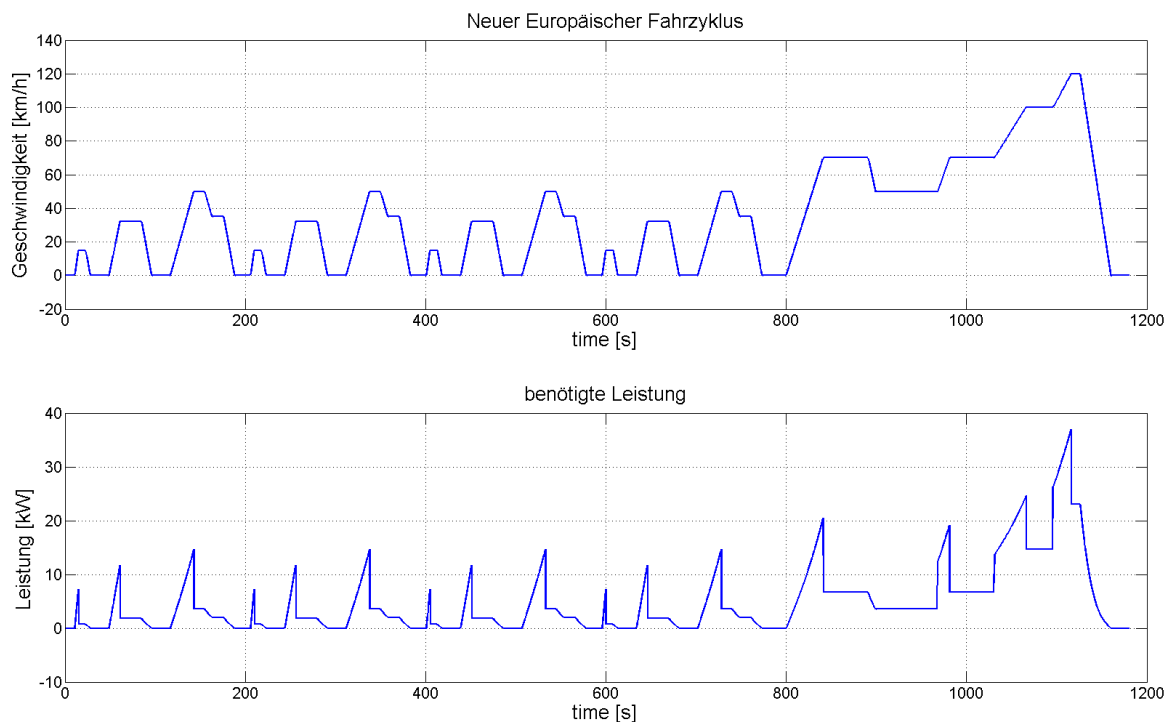


Abbildung 4.2: der geschätzte Leistungsverbrauch eines „VW e-up!“ während des NEFZ

Das Ergebnis ist in Abbildung 4.2 dargestellt. Es ist gut zu erkennen, dass der Beschleunigungsvorgang durch die benötigte kinetische Energie die höchste Leistung benötigt. Des

Weiteren ist bei hohen Geschwindigkeiten, wie beim außerorts Zyklus, der kubische Einfluss des Luftwiderstandes zu sehen. Bei niedrigen Geschwindigkeiten ist eher der lineare Rollwiderstand dominant.

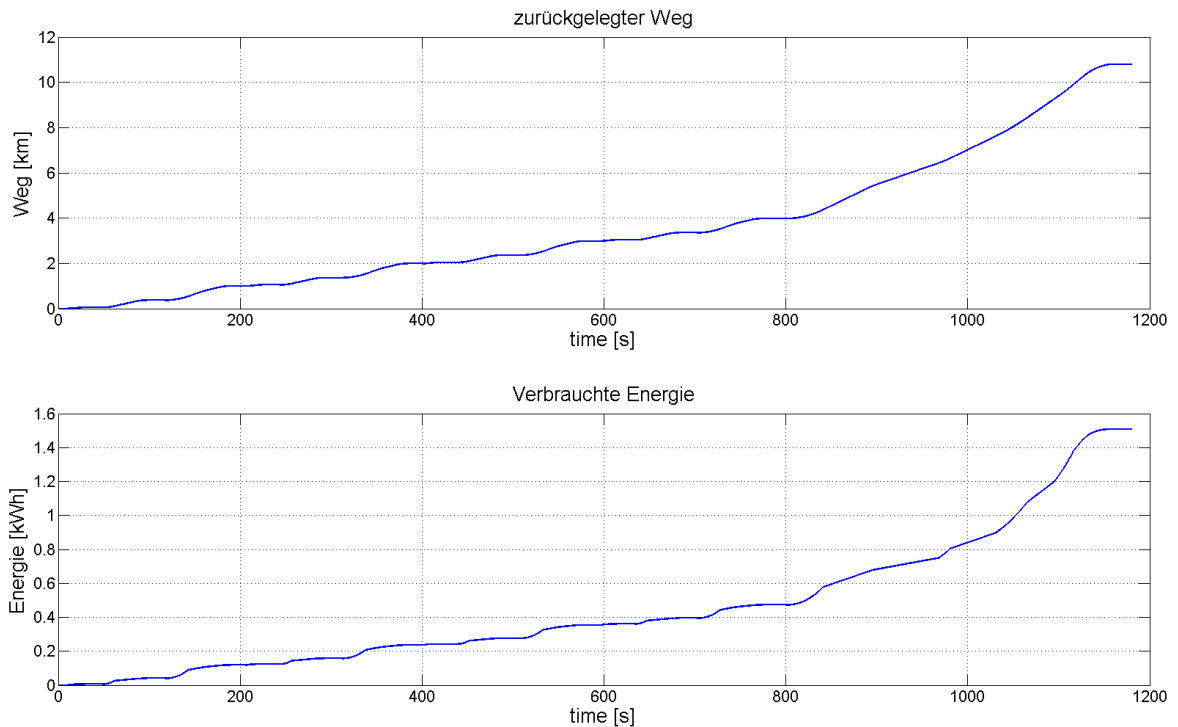


Abbildung 4.3: die Integration der Leistung und Geschwindigkeit ergibt Energie und Weg

Wird die Geschwindigkeit und die Leistung über die Zeit auf integriert, ergibt sich der zurückgelegte Weg und die verbrauchte Energie. In [Abbildung 4.3](#) ist die Integration zu sehen. Aus den Endwerten der Integration lässt sich die benötigte Energie auf 100km berechnen.

Fahrzeugbezeichnung	Verbrauch in $\frac{\text{kWh}}{100\text{km}}$ laut Berechnung	Verbrauch in $\frac{\text{kWh}}{100\text{km}}$ laut „DAT-Leitfaden“
Renault Twizy 45	6,54	5,8
VW e-up!	13,97	11,7
Citroen C-Zero	12,57	12,6

Tabelle 4.1: Vergleich des Verbrauchs auf 100km zwischen der MATLAB Berechnung und dem „DAT-Leitfaden“

Der Vergleich der Verbrauchswerte auf 100km zwischen der Berechnung und den öffentlich bekannten Werten zeigt beim „VW e-up!“ starke Unterschiede. Das liegt daran, dass der „VW

e-up!“ rekuperieren kann, d.h. er kann Energie im Bremsvorgang zurückgewinnen. Dies wurde in den Berechnungen nicht berücksichtigt. Kleinere Abweichungen sind durch die simple Berechnung, sowie unbekanntem C_r und C_w Koeffizienten zu erklären. Die MATLAB Skripte befinden sich im Anhang C.1 und C.2 sowie auf DVD.

4.1.2 Simulation der Batterie

Die Simulation der Autobatterie findet mit der Toolbox „Simulink“ in MATLAB statt. Dabei werden hauptsächlich die fertigen Modelle aus „Simscape“ benutzt. „Simscape“ ist eine umfangreiche Modellbibliothek zur Simulation von physikalischen Systemen. Als Grundlage der Simulation dienen die Angaben der Automobilhersteller zur Autobatterie, sowie das Batteriemodell der Bibliothek „Simscape“.

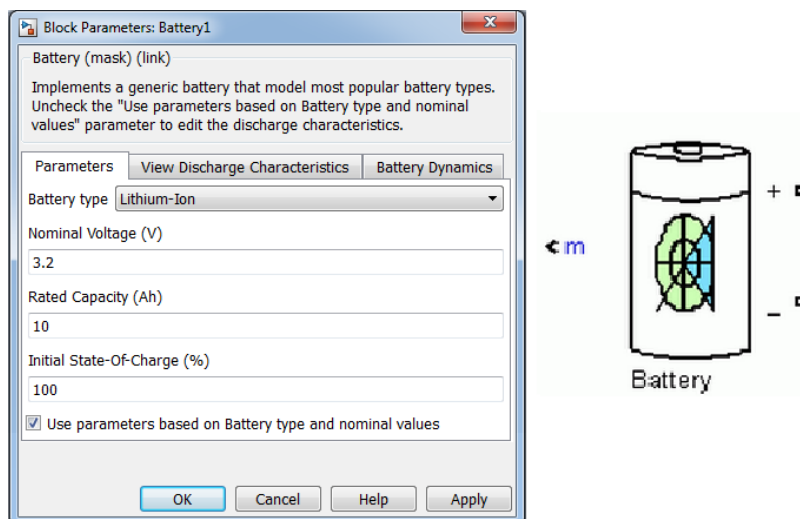


Abbildung 4.4: Das Batteriemodell aus Simscape

Abbildung 4.4 stellt das dynamische Batteriemodell dar. Es wurde nach dem Datenblatt der Lithium-Zellen konfiguriert, die während der Erprobung zum Einsatz kommen. Es wurde speziell für die E-Mobilität entwickelt. Die Grundlage bildet das „Shepherd“ Batteriemodell. Olivier Tremblay und Louis-A. Dessaint veröffentlichten 2009 ein Bericht [25] zu diesem Modell.

Da vom „VW e-up!“ die meisten Details über den Aufbau der Batterie bekannt sind, würde die Simulation auf deren Fakten basieren. Aus dem Informationsmaterial von VW [26] wurden die Eckdaten der Batterie extrahiert.

Eckdaten der Batterie:

- Nennspannung: 374V
- Module: 17
- Zellen: 204
- Zellpaare: 102
- Kapazität: 18,7 kWh

Im „BATSEN“ Projekt stehen uns Lithium-Eisenphosphat-Zelle, kurz LiFePO₄, zur Verfügung. Sie sind von der Firma Headway. Die genaue Bezeichnung lautet „40152SE“. Sie besitzen eine Kapazität von 15 Ah bei einer Nennspannung von 3,3V.

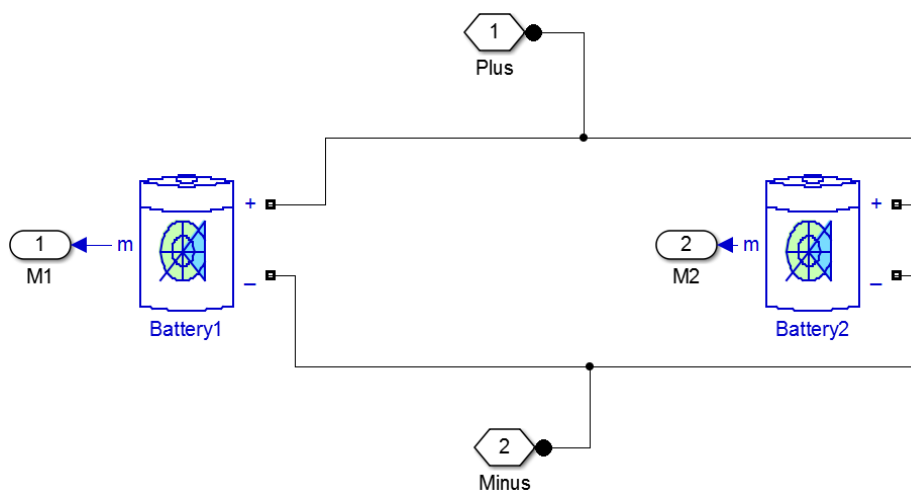


Abbildung 4.5: Die Lithium-Ionen Autobatterie auf der 1. Ebene der Simulationen

Um mit den Lithium-Zellen aus dem „BATSEN“ Projekt die verwendeten Zellen von VW nachzubilden, müssen zwei Zellen parallel geschaltet werden, da ansonsten die Kapazität nur halb so groß wie in der Realität wäre. Abbildung 4.5 zeigt die unterste Ebene der Simulation. Sie dient ausschließlich dem Nachbilden der VW Zellen.

4.1.3 Auswertung der Simulation

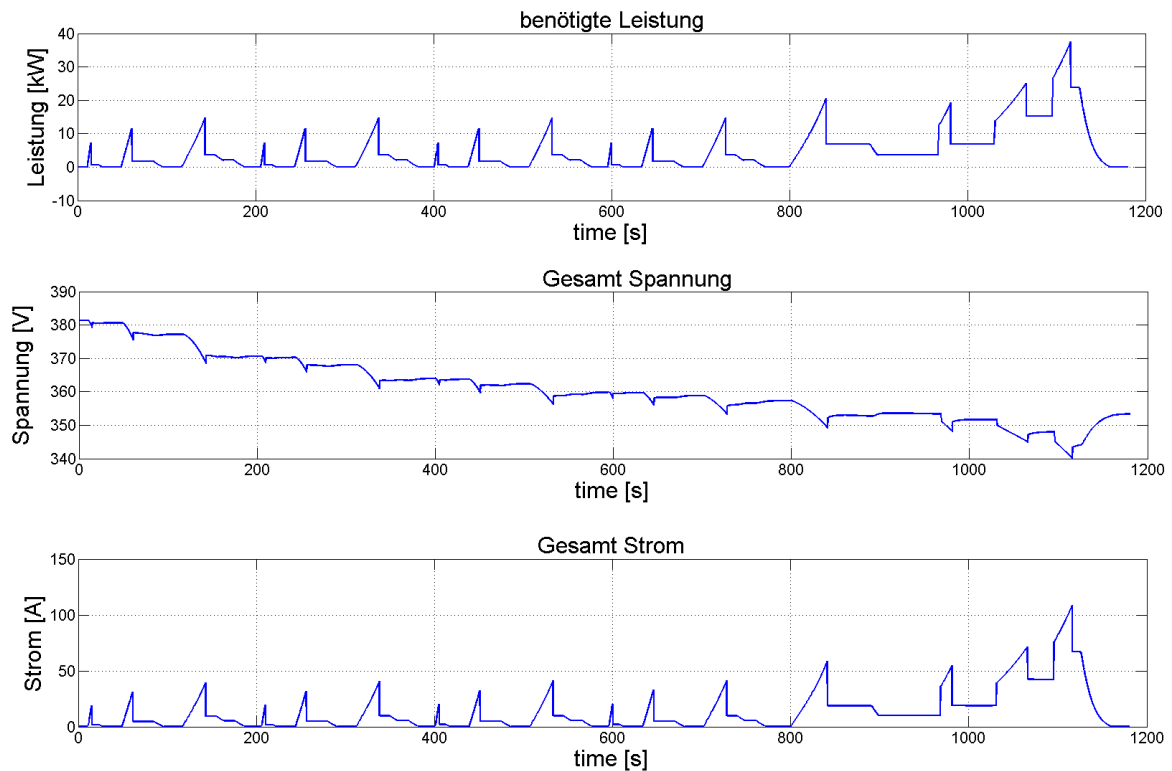


Abbildung 4.8: Simulationsergebnisse der Lithium-Ionen Autobatterie

Abbildung 4.8 zeigt die gewonnenen Simulationsergebnisse der Gesamtbatterie. Es ist deutlich erkennbar, dass die Spannung während einer großen Belastung einbricht. Am Ende der Simulation ist die Spannung der unbelasteten Batterie um 25V gesunken. Der Spitzenwert des Stroms liegt während der Geschwindigkeit von $120 \frac{km}{h}$ bei 100A.

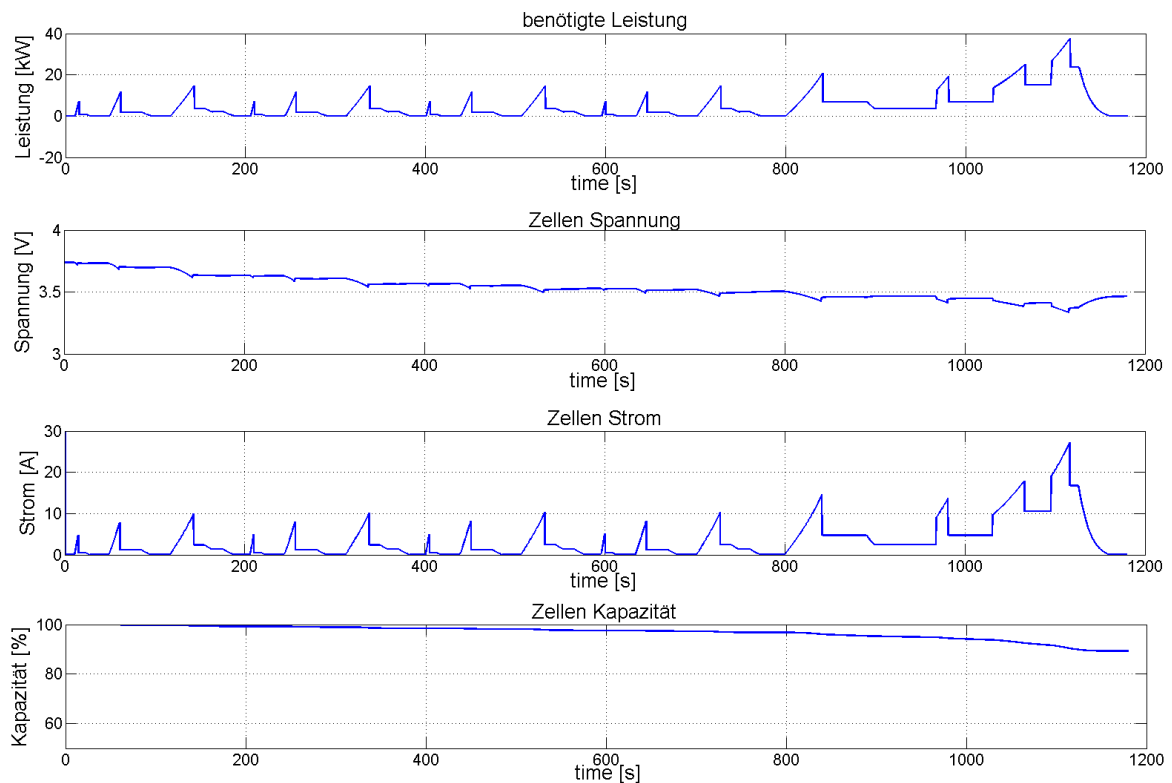


Abbildung 4.9: Simulationsergebnisse der einzelnen Zelle

In Abbildung 4.9 sind die Verläufe für Spannung, Strom und Kapazität einer einzelnen Zelle zu sehen. Der Verlauf ist ähnlich wie bei der Gesamtbatterie, jedoch bei der Spannung um den Faktor 102 und beim Strom um den Faktor 4 kleiner. Da jeweils in jedem Modul 6 Zellenpaare in Reihe geschaltet sind, ergibt das bei 17 Modulen 102 Zellenpaare in Reihe. Somit ist der Faktor 102 bei der Spannung plausibel. Beim Strom ist der Faktor 4 dadurch zu erklären, dass ein Zellenpaar aus insgesamt vier parallel geschalteten Zellen des „BATSEN“ Projekts besteht. Die höchste Belastung findet während des Zyklus außerorts statt, bei $120 \frac{km}{h}$. Dort wird die Zelle mit 1,7C entladen. Selbst bei einer dauerhaften Belastung von 1,7C ist das kein Problem für eine Lithium-Zelle.

4.1.4 Messkonzept basierend auf NEFZ

Basierend auf den Simulationsergebnissen, wird nun das Messkonzept ausgearbeitet. Aus den ermittelten Strom- und Spannungswerten während des NEFZ wird mittels des ohmschen Gesetzes der dynamische Widerstand berechnet. Diesen Widerstand gilt es, bestmöglich nachzubilden. Dazu stehen dem „BATSEN“ Projekt drei Hochleistungspotentiometer zu Verfügung, die einen maximalen Strom von 20 Ampere zulassen. Da das Zykliersystem vier schaltbare Relais besitzt, werden drei Relais mit den Potentiometer beschaltet, während das vierte Relais zum Laden der Zelle dient.

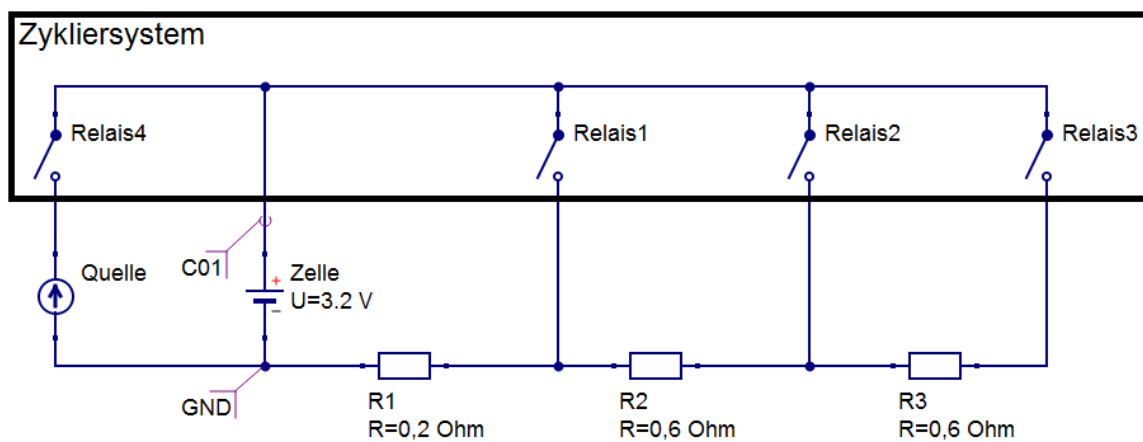


Abbildung 4.10: Messaufbau des NEFZ Messkonzepts

Abbildung 4.10 zeigt den Aufbau zum NEFZ Messkonzept. Da die Widerstände einen maximalen Widerstand von $0,66\Omega$ haben, werden sie in Reihe geschaltet. Dadurch sind auch größere Widerstände möglich. Durch das Schalten der einzelnen Relais ergibt sich folgender Gesamtwiderstand:

- **Relais1** = $R_1 = 0,2\Omega$
- **Relais2** = $R_1 + R_2 = 0,8\Omega$
- **Relais3** = $R_1 + R_2 + R_3 = 1,4\Omega$

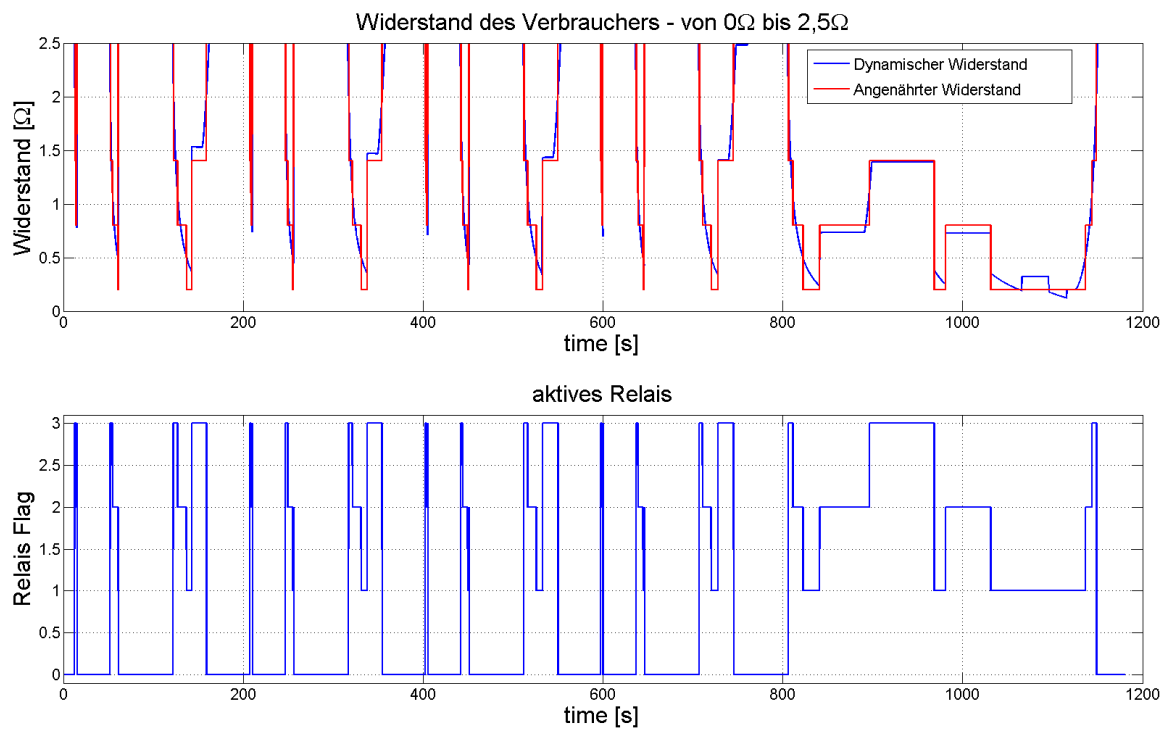


Abbildung 4.11: Nachbildung der dynamischen Last mit drei Leistungswiderständen

Abbildung 4.11 besteht aus zwei Plots. Der Obere zeigt die Annäherung des dynamischen Widerstands (blau) mit den drei Hochleistungspotentiometer (rot). Treppenförmig passen sich die Widerstände an die tatsächliche Last an. Der Untere stellt die zu schaltenden Relais während des NEFZ dar.

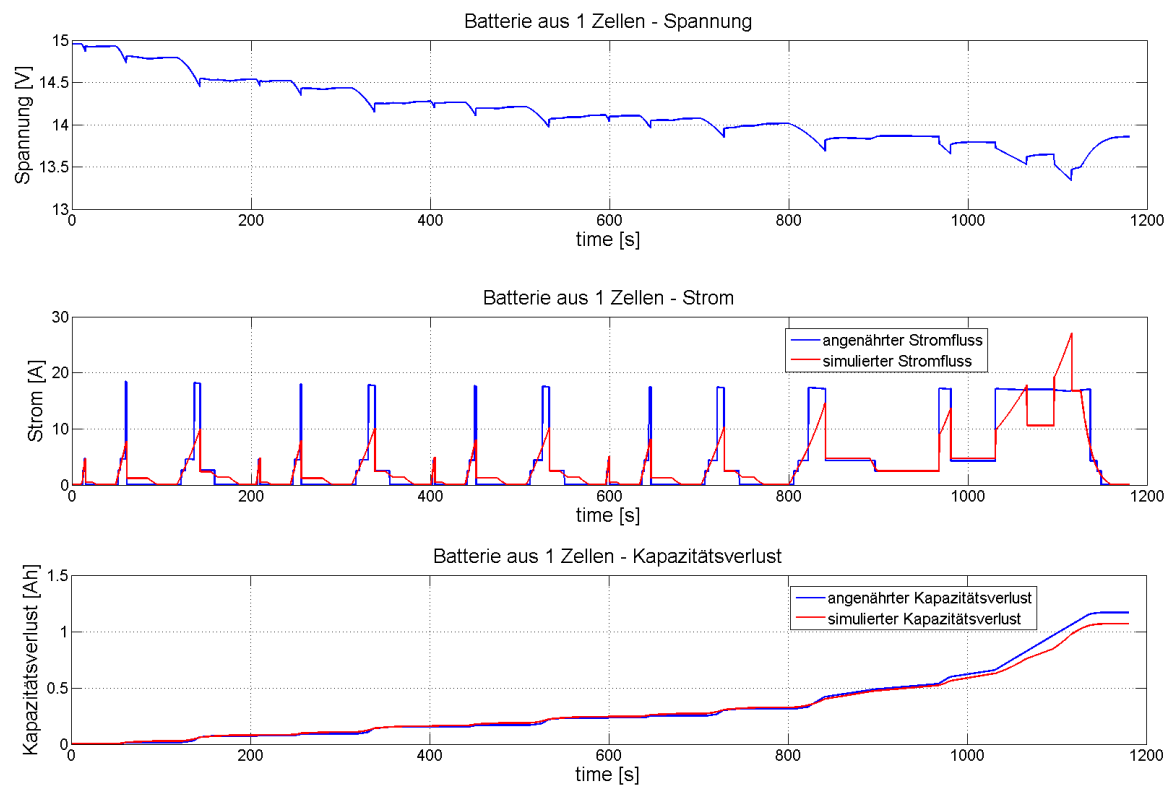


Abbildung 4.12: Simulationsergebnisse der Nachbildung

Durch das treppenförmige Nachbilden der Last verändert sich hauptsächlich der Stromfluss. Dieser ist in Abbildung 4.12, mittlerer Plot, dargestellt. Der Strom erhält ebenso einen stufenförmige Charakteristik. Ansonsten verhält sich die Annäherung mit den drei Widerständen genauso wie die Simulation. Selbst die verbrauchte Energie ist am Ende des NEFZ nahezu identisch.

4.2 Messkonzept zur Erstellung von Zellenprofilen

Der Schwerpunkt dieses Konzeptes liegt in der Untersuchung der Kapazität unter Berücksichtigung der Temperatur während des Alterungsvorgangs. Die gewonnenen Daten liefern Informationen über den Zelltyp und ermöglichen eine genaue Schätzung über den SOC „State of Charge“ und den SOH „State of Health“.

Eine Messdatenreihe stellt das Profil einer Zelle dar. Diese Messdatenreihe besteht aus neun einzelnen Messungen. Jede Messung beginnt mit dem Aufladen der Batterie bei 20°C. Nach einer dreistündigen Ruhephase nach dem Laden, wird bei drei unterschiedlichen Temperaturen die Batterie entladen. Bei jeder Temperatur wird wiederum mit drei unterschiedlichen Entladeströmen gearbeitet.

Messung	Temperatur	Entladestrom
1	10°C	1/3 C
2	10°C	2/3 C
3	10°C	3/3 C
4	20°C	1/3 C
5	20°C	2/3 C
6	20°C	3/3 C
7	30°C	1/3 C
8	30°C	2/3 C
9	30°C	3/3 C

Tabelle 4.2: alle neun Messungen einer Messdatenreihe

In Tabelle 4.2 sind die Werte zu den Temperaturen und den Entladeströmen explizit angegeben. Zur Erläuterung, der C-Faktor, der beim Laden und Entladen angegeben wird, ist eine Normierung auf der Kapazität der Zelle. Als Beispiel gehen wir davon aus, dass eine Zelle mit 20Ah mit 0,5C entladen werden soll. Das bedeutet, die Zelle wird mit 10A entladen.

No.	Dauer [min]	Relais	Beschreibung	Config-Befehl	Temperatur [°C]
01	1	0	warten	relsel [No.] wait 1 0	20
02	x	1	laden bis zur „LSS-Ladeschlussspannung“	relsel [No.] charge_cellIV [LSS] 1	
03	180	0	warten – Ruhephase nach dem Laden	relsel [No.] wait 180 0	10
04	x	2	entladen mit 1/3C	relsel [No.] discharge_cellIV [1/3C] 2	
05	180	0	warten – Ruhephase nach dem Entladen	relsel [No.] wait 180 0	20
06	x	1	laden bis zur „LSS-Ladeschlussspannung“	relsel [No.] charge_cellIV [LSS] 1	
07	180	0	warten – Ruhephase nach dem Laden	relsel [No.] wait 180 0	
08	x	2	entladen mit 1/3C	relsel [No.] discharge_cellIV [1/3C] 2	
09	180	0	warten – Ruhephase nach dem Entladen	relsel [No.] wait 180 0	30
10	x	1	laden bis zur „LSS-Ladeschlussspannung“	relsel [No.] charge_cellIV [LSS] 1	
11	180	0	warten – Ruhephase nach dem Laden	relsel [No.] wait 180 0	20
12	x	2	entladen mit 1/3C	relsel [No.] discharge_cellIV [1/3C] 2	
13	180	0	warten – Ruhephase nach dem Entladen	relsel [No.] wait 180 0	10
14	x	1	laden bis zur „LSS-Ladeschlussspannung“	relsel [No.] charge_cellIV [LSS] 1	
15	180	0	warten – Ruhephase nach dem Laden	relsel [No.] wait 180 0	20
16	x	2	entladen mit 2/3C	relsel [No.] discharge_cellIV [2/3C] 2	
17	180	0	warten – Ruhephase nach dem Entladen	relsel [No.] wait 180 0	30
18	x	1	laden bis zur „LSS-Ladeschlussspannung“	relsel [No.] charge_cellIV [LSS] 1	
19	180	0	warten – Ruhephase nach dem Laden	relsel [No.] wait 180 0	20
20	x	2	entladen mit 2/3C	relsel [No.] discharge_cellIV [2/3C] 2	
21	180	0	warten – Ruhephase nach dem Entladen	relsel [No.] wait 180 0	10
22	x	1	laden bis zur „LSS-Ladeschlussspannung“	relsel [No.] charge_cellIV [LSS] 1	
23	180	0	warten – Ruhephase nach dem Laden	relsel [No.] wait 180 0	30
24	x	2	entladen mit 2/3C	relsel [No.] discharge_cellIV [2/3C] 2	
25	180	0	warten – Ruhephase nach dem Entladen	relsel [No.] wait 180 0	20
26	x	1	laden bis zur „LSS-Ladeschlussspannung“	relsel [No.] charge_cellIV [LSS] 1	
27	180	0	warten – Ruhephase nach dem Laden	relsel [No.] wait 180 0	10
28	x	2	entladen mit 3/3C	relsel [No.] discharge_cellIV [3/3C] 2	
29	180	0	warten – Ruhephase nach dem Entladen	relsel [No.] wait 180 0	20
30	x	1	laden bis zur „LSS-Ladeschlussspannung“	relsel [No.] charge_cellIV [LSS] 1	
31	180	0	warten – Ruhephase nach dem Laden	relsel [No.] wait 180 0	30
32	x	2	entladen mit 3/3C	relsel [No.] discharge_cellIV [3/3C] 2	
33	180	0	warten – Ruhephase nach dem Entladen	relsel [No.] wait 180 0	20
34	x	1	laden bis zur „LSS-Ladeschlussspannung“	relsel [No.] charge_cellIV [LSS] 1	
35	180	0	warten – Ruhephase nach dem Laden	relsel [No.] wait 180 0	30
36	x	2	entladen mit 3/3C	relsel [No.] discharge_cellIV [3/3C] 2	
37	180	0	warten – Ruhephase nach dem Entladen	relsel [No.] wait 180 0	20

Tabelle 4.3: allgemeines Messkonzept zur Erstellung von Zellenprofilen

Tabelle 4.3 zeigt das allgemeine Messkonzept zur Zellenprofilerstellung. Um die Messung sicherer zu machen, werden beim Laden und Entladen spannungsabhängige Schaltmomente benutzt. Da dieses Messkonzept allgemein gültig für alle Batterietypen anwendbar bleiben soll, wurden die gelben Zeilen eingefügt. Die gelben Zeilen (No. 02, 14 und 26) sind Aufladevorgänge, die je nach Zelltyp durch separate Zellaufladungen ausgetauscht werden müssen. Das bedeutet, wenn die Zellen untereinander durch schlechte Verarbeitung stark voneinander abweichen, gerät die Batterie schnell aus der Balance. Wenn das der Fall ist, muss bei den gelben Zeilen jede Zelle der Batterie separat aufgeladen werden, damit die Batterie in Balance kommt. Darauf wird im folgenden Kapitel 4.3 näher eingegangen. Da durch die spannungsabhängige Schaltmomente die Dauer der Lade- und Entladevorgänge schlecht

ein schätzbar ist, müssen ,solange der Temperaturschrank nicht vom Zyklersystem gesteuert werden kann, die 37 Schritte aufteilt werden.

Beim dargestellten Messkonzept wird davon ausgegangen, dass auf Relais 1 die Spannungsquelle liegt, die auf die Ladeschlussspannung eingestellt ist. Dabei ist die Strombegrenzung auf 1,5C. Auf Relais 2 liegt die elektronische Last, die je nach gewünschten Entladung eingestellt wird. Die Strombegrenzung ist ebenfalls auf 1,5C gestellt.

4.3 Ladevorgang

Das Laden sollte bei einheitlichen 20°C mit kleinen Strömen die $0,5\text{C}$ nicht überschreiten, statt finden, da ansonsten Werte wie der Restladegrad verfälscht werden. Je nach Zellentyp müssen die einzelnen Zellen erst auf ein gemeinsames Kapazitätslevel gebracht werden bevor sie gemeinsam zyklert werden. Ansonsten besteht die Gefahr einzelne Zellen in der Batterie zu überladen, da das Zykliersystem über keinen Laderegler verfügt. Bei Blei-Säure Akkus ist das kein Problem, solange der Batterie regelmäßig Wasser zugeführt wird. Nickel-Cadmium Akkus hingegen laufen aus und werden unbrauchbar. Der gefährlichste Effekt ist bei Lithium-Ionen Akkus zu beobachten. Sie überhitzen und brennen ab. Dieser Effekt wird auch als „thermal runaway“ bezeichnet. Zur Veranschaulichung dieser Problematik ist im folgenden Verlauf eine Simulation zum Laden von ungleichmäßig geladen Lithium-Ionen Zellen und eine Auswertung einer bereits existierenden Zyklierung einiger Lithium-Ionen Zellen dargestellt.

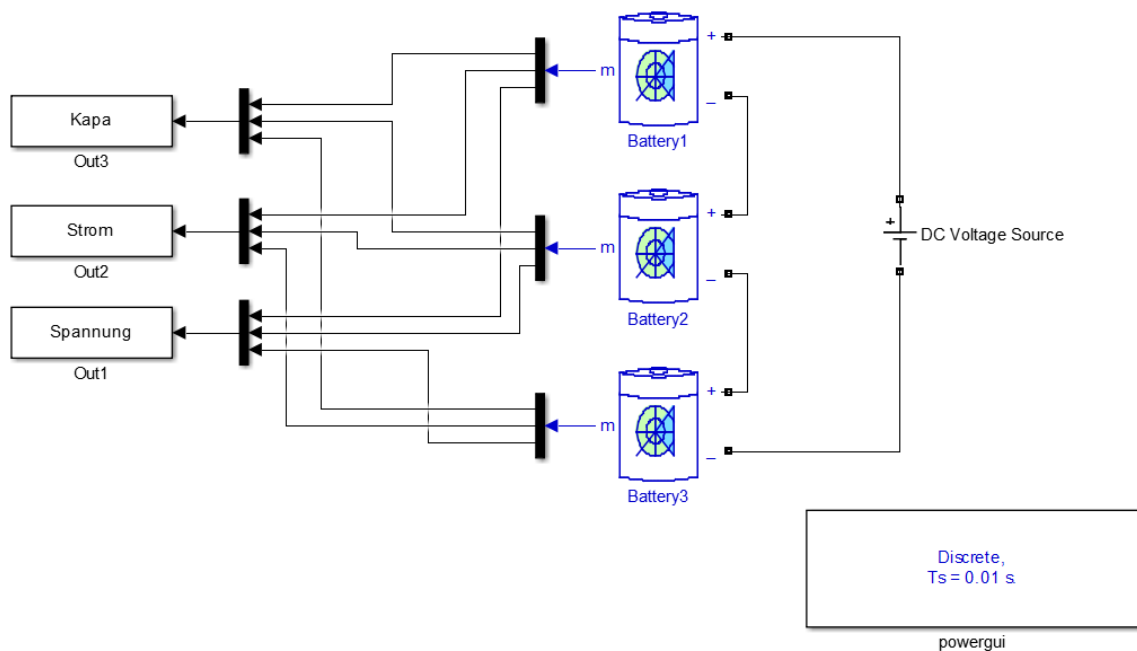


Abbildung 4.13: Simulation von drei in Reihe geschalteten Lithium-Ionen Zellen mit unterschiedlichem Ladezustand

Die Abbildung 4.13 zeigt eine Simulation bei der drei Lithium-Ionen Zellen mit unterschiedlichen Ladezustand in Reihe geladen werden. Dabei wurde auf das schon bekannte Batteriemodell aus der „MATLAB Simulink Simscape“ Bibliothek zurückgegriffen. Von allen drei Zellen werden Spannung, Strom und Kapazität aufgezeichnet.

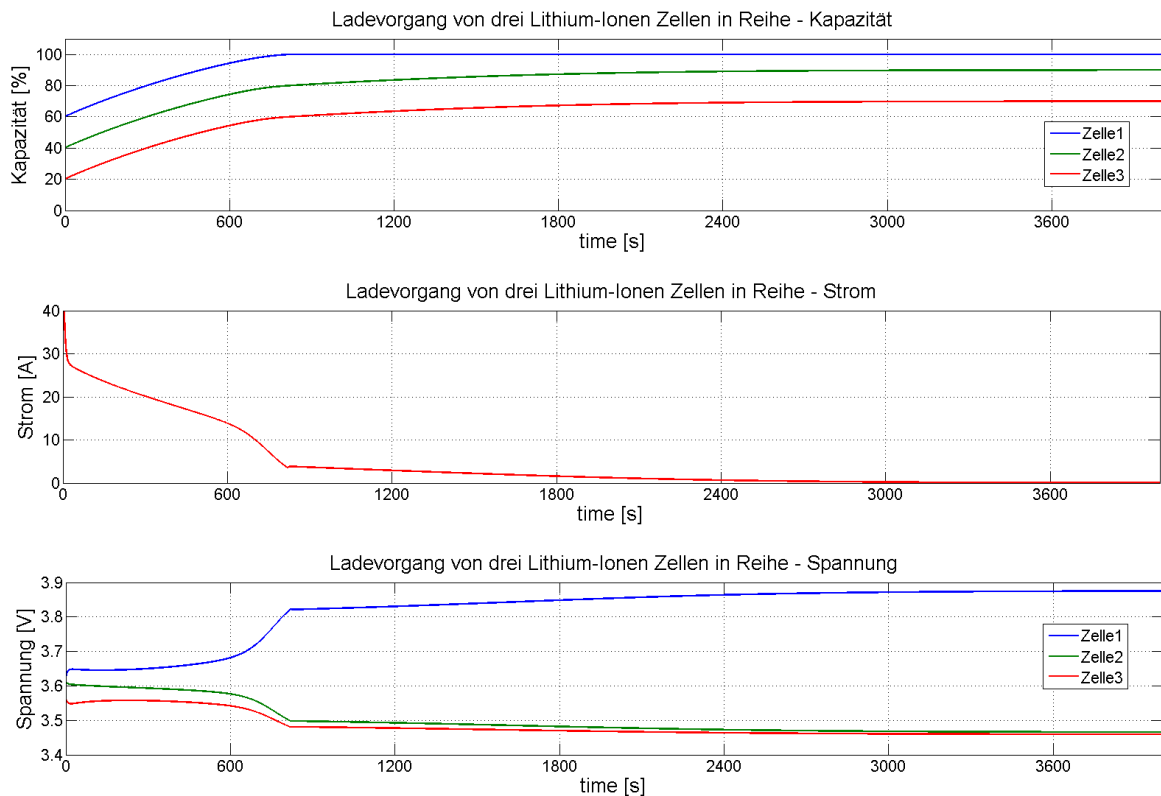


Abbildung 4.14: Simulationsergebnisse für den Ladevorgang von drei in Reihe geschalteten Lithium-Ionen Zellen

Lithium-Ionen Zellen haben über einen weiten Bereich eine gleichbleibende Spannung, deshalb ist es auch schwer, von der Spannung auf die Kapazität zu schließen. Nur am Anfang und Ende der Kapazität verändert sich die Spannung stark. Dies ist auch gut bei Zelle 1 (blau) zu sehen. Ab einer Kapazität von 85% steigt die Spannung an der Zelle stark an. Zum gleichen Zeitpunkt sinkt die Spannung an Zelle 2 und Zelle 3. Da die Gesamtspannung der Batterie annähernd gleich der Ladespannung ist, verringert sich der Strom. Als Ergebnis ist festzustellen, dass eine Zelle längst voll ist und immer mit Strom durchflossen wird und zwei Zellen die nie voll geladen sein werden. Es findet ganz klar eine Überbeanspruchung der Zelle 1 statt.

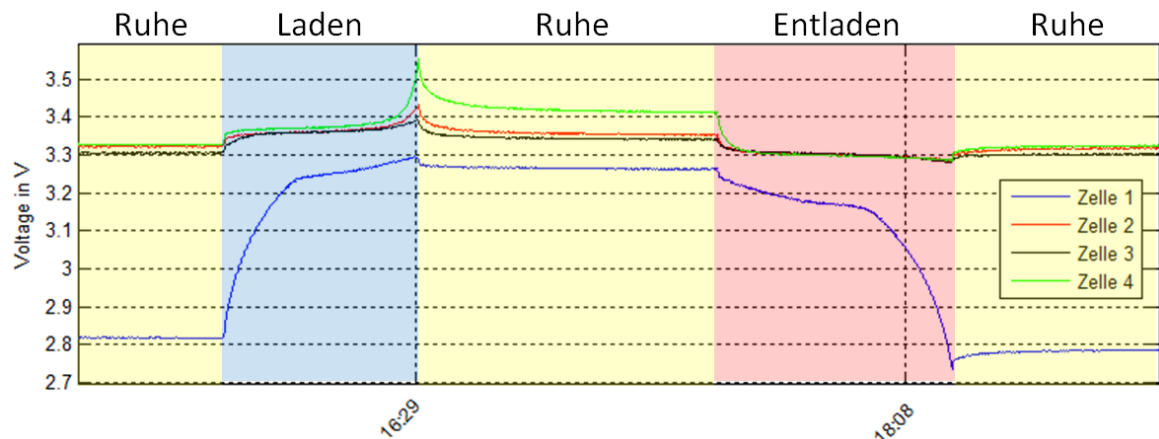


Abbildung 4.15: Messung eines 4 Zellen Lithium-Ionen Akkupack

Johannes Röhn hat in seiner Thesis [7, S.95] einige Zyklierungen mit einem 4-Zellen-Lithium-Ionen Akkupack durchgeführt. Abbildung 4.15 zeigt einen aufbereiteten Ausschnitt aus dieser Zyklierung. Zelle 1 (blau) hat den geringsten Ladestand, Zelle 2 (gelb) den höchsten. Beim Laden des Akkus beendet die Zelle mit der höchsten Kapazität den Ladevorgang. Die Zelle mit der geringsten Kapazität beendet den Entladevorgang. Zelle 2 (rot) und Zelle 3 (schwarz) werden weder voll geladen, noch leer entladen. Es findet bei der Zyklierung eine einseitige Belastung auf Zelle 1 und Zelle 2 statt. Ohne die festgelegten spannungsabhängigen Schaltmomente des Zyklersystems würde der Lithium-Ionen Akkupack kaputt gehen.

Aus diesem Grund ist beim Zyklieren von Lithium-Ionen Batterien nur mit spannungsabhängigen Schaltmomenten zu arbeiten. Dass die Zellen die gleiche Kapazität haben, ist nur von kurzer Dauer, da durch mehrmaliges Zyklieren die Zellen langsam aus dem Gleichgewicht kommen.

4.4 Messplan

Um die Zellen systematisch über einen langen Zeitraum zu messen, wird ein Messplan erstellt. Dieser Messplan beinhaltet zunächst die zwei Messungen der eben vorgestellten Messkonzepte. Die bereits gesammelten Erfahrungen mit den Messkonzepten zeigt, dass für eine Zellprofilmessung eine ganze Woche benötigt wird. Bei der NEFZ-Messung sind drei pro Woche möglich. Zum Messplan gehören zwei Teile, zum einen ein Zellkatalog, in dem alle Zellen, die in den Messplan verwendet werden, aufgeführt sind. Der zweite Teil ist der Messplan mit einer wöchentlichen Auflösung. Beide Teile sind in einer Excel-Tabelle enthalten und miteinander verknüpft. Alle Zellen, die im Zellenkatalog eingetragen sind, erscheinen auch im Messplan mit ihrer Identifikationsbezeichnung.

Identität	Hersteller	Bezeichnung	Typ	Kapazität	Nominale Spannung	Ladeschluss Spannung	Dauer Entladestrom	max. Ladestrom
Lin1	Headway	40152SE	LiFePO4	15Ah	3,2V	3,65V	5C	4C
Lin2	Headway	40152SE	LiFePO4	15Ah	3,2V	3,65V	5C	4C
Lin3	Headway	40152SE	LiFePO4	15Ah	3,2V	3,65V	5C	4C
Lin4	Headway	40152SE	LiFePO4	15Ah	3,2V	3,65V	5C	4C

Abbildung 4.16: Zellkatalog

Abbildung 4.16 zeigt diesen Zellkatalog. Er enthält alle wichtigen Eckdaten zu jeder aufgeführten Zelle. Das erleichtert das Einstellen der Messumgebung und es wird immer mit den gleichen Spezifikationen gearbeitet. Der Zellkatalog ist ebenfalls im Anhang D.2 abgebildet.

Jahr	2014																
Quartal	4. Quartal																
Monat	September				Oktober				November				Dezember				
KW	36	37	38	39	40	41	42	43	44	45	46	47	48	49	50	51	52
Lin1	rot				blau		blau		blau	blau		blau			rot		
Lin2		rot			blau		blau		blau	blau		blau				rot	
Lin3			rot		blau		blau		blau	blau		blau					rot
Lin4				rot	blau		blau		blau	blau		blau					

Legende:

blau - NEFZ Messung

rot - Zellprofilmessung

Abbildung 4.17: Ausschnitt des Messplans

In Abbildung 4.17 ist ein Ausschnitt aus dem diesjährigen Messplan zu sehen. Von den roten Feldern, die die Zellprofilmessung repräsentieren, befinden sich pro Kalenderwoche nur ein Eintrag. Von den blauen Feldern sind in einer Kalenderwoche 3 eingetragen. Sie stehen für die Messung nach dem NEFZ-Messkonzept. Die Anzahl der Messungen an einer Zelle pro Jahr richtet sich nach der Anzahl der Zellen, die im Messplan berücksichtigt werden. Das liegt daran, dass mit dem vorhandenen Equipment sind nicht mehr Messungen zu realisieren.

Die Hoffnung ist, dass nach langer Nutzung der Zellen durch das NEFZ-Messkonzept eine Veränderung der Zellen festgestellt werden kann. Dieser Alterungsprozess soll durch die Zellprofilmessung erfasst werden. Aus diesen Messungen sind Rückschlüsse auf die Lebensdauer der Batterien in der E-Mobility Branche möglich. Im Anhang D.1 ist der Gesamtmessplan abgebildet.

5 Schnittstellen-Optimierung und Dokumentation

Basierend auf den Voruntersuchungen aus Kapitel 2.3 werden jetzt die Schnittstellen und die Dokumentation optimiert. Beide Optimierungen sollen die Handhabung des Zyklersystems vereinfachen. Hinzu kommen die Überwachungsmöglichkeiten, die ein Fernzugriff über die LAN-Schnittstelle gestatten.

5.1 Inbetriebnahme der LAN-Schnittstelle an der HAW

Wie bereits festgestellt wurde, funktioniert die Einbindung des Zyklersystems im HAW-Netzwerk nicht. Nach einem längeren Schriftverkehr mit der Administration der HAW liegt der Schluss nahe, dass das Gerät vom DHCP-Server abgewiesen wird, da seine MAC-Adresse dem Server nicht bekannt ist. Da es sich bei dem Zyklersystem um zwei existierende Prototypen handelt, ist es überstürzt, sich beim IEEE „Institute of Electrical and Electronics Engineers“ einen neuen MAC-Adressraum zu kaufen. Der preiswerteste kostet derzeit 625\$. Deshalb wird sich für die Alternative entschieden, die MAC-Adresse aus einer alten Netzwerkkarte auszulesen und sie anschließend zu vernichten.

Beide Zyklersysteme besitzen derzeit die gleiche MAC-Adresse. Deshalb ist es nicht ratsam sie gleichzeitig im HAW-Netzwerk einzubinden. Herr Peter Berner ist zuständig für die Vergabe von IP-Adressen im HAW-Netzwerk. Durch die Mitteilung der MAC-Adresse an die Administration bekommt das Zyklersystem eine feste IP-Adresse vom DHCP-Server. Mit dieser IP-Adresse und dem richtigen Port ist das Zyklersystem im HAW-Netzwerk ansprechbar.

HAW-Netzwerkinformation im Überblick:

MAC-Adresse: 00:10:A7:18:0E:F5

IP-Adresse: 141.22.14.199

TCP-Port: 56936

5.2 Vorbereitung der RS232-Schnittstelle

Um nicht die bestehende galvanische Trennung zwischen dem Zyklersystem und dem Hausnetz aufzuheben, muss die RS232 über einen Optokoppler nach außen geführt werden, da bei einer 9-poligen RS232 Schnittstelle GND über Pin5 verbunden wird. Der verwendete Optokoppler ist in Abbildung 5.1, unter der Bezeichnung „ROLINE RS232 Optokoppler“, zu sehen.



Abbildung 5.1: ROLINE RS232 Optokoppler

Der Optokoppler hat zwei RS232 Anschlüsse. Die eine Seite ist die Device Seite und hat eine DCE Pinbelegung, die andere Seite ist die Host Seite mit einer DTE Pinbelegung. Die Stromversorgung erhält der Optokoppler durch den Host. Weil das Bauteil in das Gehäuse des Zyklersystems montiert werden soll und auch von dort seine Stromversorgung erhält, wird das Zyklersystem automatisch zum Host. Die Geräte, die an das Zykliergerät angeschlossen werden, sind somit das Device.

Auf der Device Seite ist die Lösung einfach. Da der Device Ausgang eine DCE Pinbelegung ist und viele Geräte, wie beispielsweise die Kühlkammer DCE Anschlüsse besitzen, ist hier ein einfaches Null Modem Kabel, das DCE mit DCE Anschlüsse verbindet, anzuwenden.

Auf der Host Seite ist die Lösung komplizierter, da die Pinbelegung auf dem Mainboard weder DCE noch DTE entspricht. Um eine Verbindung vom Mainboard zur Host Seite des Optokopplers zu bekommen, muss ein Kabel angefertigt werden.

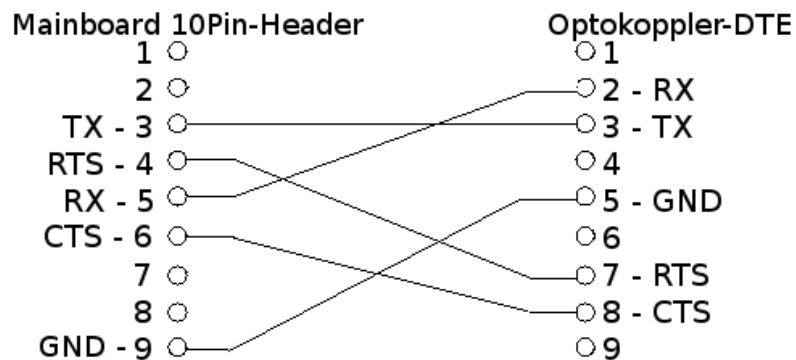


Abbildung 5.2: Pinbelegung des Kabels zwischen Mainboard und RS232 Optokoppler

Mit dem Kabel, das in [Abbildung 5.2](#) dargestellt ist, lässt sich eine Verbindung zum Optokoppler herstellen. Die Stromversorgung wird direkt vom Schaltnetzteil hinter dem Ein-/ Aus-schalter abgegriffen. Des Weiteren ist zu beachten, dass auf dem Mainboard JP7 überbrückt ist. JP7 schließt die Stromversorgung für den Leitungstreiber IC des RS232 Ports.

Jetzt ist der RS232 Port galvanisch getrennt und kann somit programmiert werden. In der bestehenden Programmierung wurde er noch nicht benutzt.

5.3 Dokumentation

Die aktuellste Dokumentation ist die „Kurzanleitung für den Batterie Zyklierprüfstand“ [8]. Sie wurde von Herr Wisniewski erstellt und von Herrn Röhn zuletzt bearbeitet. Nun muss diese Kurzanleitung durch die Modifikationen am Zykliersystem angepasst und erweitert werden. Die bereits existierende schlanke Kurzanleitung soll weiterhin übersichtlich und somit schnell von jedermann zu benutzen sein. Da das Auswechseln und Kalibrieren viel Zeit in Anspruch nimmt, werden diese Themen im folgenden Kapitel behandelt.

5.3.1 Das Auswechseln des ADCs

Beim Auswechseln des ADCs auf der Schutzschaltung ist auf die korrekte Einbaulage zu achten, da es ansonsten zur sofortigen Zerstörung des ADCs kommt.

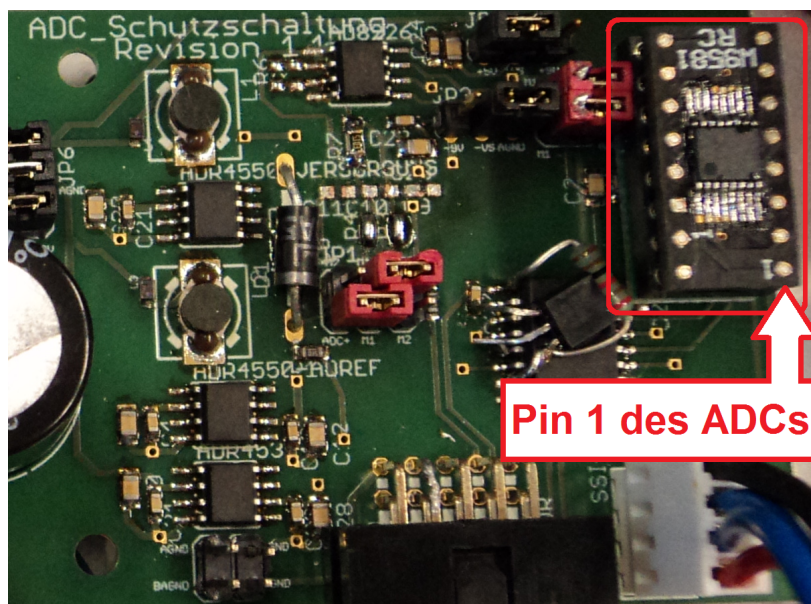


Abbildung 5.3: Einbaurichtung des ADCs in der Schutzschaltung

Abbildung 5.3 zeigt die korrekte Einbaulage. Wenn die ADC Schutzschaltungsplatine lesbar ausgerichtet ist, muss Pin 1 des ADCs sich unten rechts befinden. Durch den Sockel, auf dem sich der ADC befindet, ist ein Austausch einfach und unproblematisch.

5.3.2 Kalibrierung

Nach dem Auswechseln gewisser Bauteile wie z.B. ADC, Sicherung oder Relais, muss eine Kalibrierung durchgeführt werden. Zur Zeit existieren zwei Arten der Kalibrierung, die Lineare und die Quadratische. Die lineare Kalibrierung braucht zwei Messpunkte und die quadratische Kalibrierung braucht drei Messpunkte. Gewählt werden Messpunkte in den Spannungsbereichen, in denen Später häufig gemessen werden soll, dann ist die Genauigkeit nach der Kalibrierung am höchsten. Nickel-Cadmium Zellen und Nickel-Metallhydrid Zellen haben eine Nennspannung von 1,2V, während Blei-Säure Zellen eine Nennspannung von 2V und Lithium-Ionen Zellen eine Nennspannung von 3,2V haben.

Die Kalibrierung ist in drei Schritte unterteilt:

1. Aufnahme der Messpunkte
2. Berechnung der Koeffizienten
3. Einbetten der neuen Koeffizienten

1. Die Aufnahme der Messpunkte

Zur Kalibrierung wird das „FLUKE 45“ Multimeter eingesetzt, da es eine Genauigkeit von $1\mu\text{V}$ besitzt. Als Spannungsquelle dient das „ROHDE & SCHWARZ NGT35“. Mit der Funktion `adc_calibrate()` werden nun 20 Werte pro Messpunkt aufgenommen, d.h. bei der linearen Kalibrierung werden 20 Messwerte bei 1,2V und 20 Messwerte bei 3,2V aufgenommen. Bei der quadratischen Kalibrierung sind das bei 1,2V, 2V und bei 3,2V jeweils 20 Messwerte. Dies wird für jeden der 12 Kanäle durchgeführt. Aus allen 20 Messwerten pro Messpunkt wird der arithmetische Mittelwert gebildet. Am Ende existiert zu jedem Messpunkt ein Messwert. Die aufgenommenen Messwerte sind die direkte codierte Ausgabe des ADCs, diese Werte besitzen keine Einheit.

2.A Die Berechnung der Koeffizienten für die lineare Kalibrierung

Bei einem Angleich zwischen den idealen Messpunkten und den codierten Messwerten des ADCs ergibt sich folgende lineare Funktion:

Code: codierten Messwerten des ADCs, U_{MP} : idealer Messpunkt,
Gain: Verstärkungsfaktor, *Offset*: Verschiebungsfaktor

$$U_{MP} = Gain \cdot Code + Offset \quad (5.1a)$$

Da der μC intern den Messpunkt in μV berechnet, muss dies berücksichtigt werden.

$$U_{MP} \cdot 10^6 = Gain \cdot Code + Offset \quad (5.1b)$$

Da der *Gain* und *Offset* unbekannt sind, müssen zwei Gleichungen aufgestellt werden, dazu werden die zwei Messpunkte benutzt.

$$U_{MP1} \cdot 10^6 = Gain \cdot Code_1 + Offset \quad (5.1c)$$

$$U_{MP2} \cdot 10^6 = Gain \cdot Code_2 + Offset \quad (5.1d)$$

Wenn nun das Gleichungssystem in eine Matrizen- und Vektorschreibweise überführt wird, lässt es sich einfach mit MATLAB lösen. Des Weiteren ist diese Methode leicht übertragbar auf Kalibrierungen mit mehr als zwei Messpunkten.

$$\begin{pmatrix} U_{MP1} \cdot 10^6 \\ U_{MP2} \cdot 10^6 \end{pmatrix} = \begin{pmatrix} Code_1 & 1 \\ Code_2 & 1 \end{pmatrix} \cdot \begin{pmatrix} Gain \\ Offset \end{pmatrix} \quad (5.1e)$$

Die Lösung des Gleichungssystems lautet:

$$\begin{pmatrix} Gain \\ Offset \end{pmatrix} = \begin{pmatrix} Code_1 & 1 \\ Code_2 & 1 \end{pmatrix}^{-1} \cdot \begin{pmatrix} U_{MP1} \cdot 10^6 \\ U_{MP2} \cdot 10^6 \end{pmatrix} \quad (5.1f)$$

Diese Berechnung wird für alle 12 Kanäle durchgeführt.

2.B Die Berechnung der Koeffizienten für quadratische Kalibrierung

Bei der quadratischen Kalibrierung gibt es insgesamt drei Koeffizienten. Deshalb werden drei Messpunkte gebraucht, mit deren Hilfe können drei Gleichungen aufgestellt werden. Ansonsten ist die Berechnungsmethode der Koeffizienten ähnlich der linearen Kalibrierung.

Code: codierte Messwerte des ADCs, U_{MP} : idealer Messpunkt,
A: erster Koeffizient, *B*: zweiter Koeffizient, *C*: dritter Koeffizient

$$U_{MP} = A \cdot Code^2 + B \cdot Code + C \quad (5.2a)$$

Da der μC intern den Messpunkt in μV berechnet, muss dies berücksichtigt werden.

$$U_{MP} \cdot 10^6 = A \cdot Code^2 + B \cdot Code + C \quad (5.2b)$$

Mit den drei Messpunkten werden jetzt drei Gleichungen gebildet.

$$U_{MP1} \cdot 10^6 = A \cdot Code_1^2 + B \cdot Code_1 + C \quad (5.2c)$$

$$U_{MP2} \cdot 10^6 = A \cdot Code_2^2 + B \cdot Code_2 + C \quad (5.2d)$$

$$U_{MP3} \cdot 10^6 = A \cdot Code_3^2 + B \cdot Code_3 + C \quad (5.2e)$$

Überführung in eine Matrizen- und Vektorschreibweise.

$$\begin{pmatrix} U_{MP1} \cdot 10^6 \\ U_{MP2} \cdot 10^6 \\ U_{MP3} \cdot 10^6 \end{pmatrix} = \begin{pmatrix} Code_1^2 & Code_1 & 1 \\ Code_2^2 & Code_2 & 1 \\ Code_3^2 & Code_3 & 1 \end{pmatrix} \cdot \begin{pmatrix} A \\ B \\ C \end{pmatrix} \quad (5.2f)$$

Die Lösung des Gleichungssystems lautet:

$$\begin{pmatrix} A \\ B \\ C \end{pmatrix} = \begin{pmatrix} Code_1^2 & Code_1 & 1 \\ Code_2^2 & Code_2 & 1 \\ Code_3^2 & Code_3 & 1 \end{pmatrix}^{-1} \cdot \begin{pmatrix} U_{MP1} \cdot 10^6 \\ U_{MP2} \cdot 10^6 \\ U_{MP3} \cdot 10^6 \end{pmatrix} \quad (5.2g)$$

Diese Berechnung wird für alle 12 Kanäle durchgeführt.

3. Das Einbetten der neuen Koeffizienten

Die neu berechneten Koeffizienten müssen in der Struktur config in der „config.c“ zugewiesen werden. Dabei ist darauf zu achten, dass es sich hierbei immer um positive Integer handelt. Sollte ein Gleitkommakoeffizient existieren, muss dieser mit einem Faktor multipliziert werden, der diesen Koeffizient in einen Integer umwandelt. Der Kehrwert des Faktors ist anschließend in der Kalibrierung zu berücksichtigen. Diese befindet sich in der Funktion „*adc_get_voltage(unsigned int choose)*“ in der Datei „myadc.c“. Des Weiteren sind die Koeffizienten auch in der Konfigurationsdatei „config.txt“ einzubetten.

6 Erprobung

Am Ende der Thesis wird die Funktionalität des Zyklersystems erprobt. Dazu werden ausgewählte Zellen zyklert und die ADC Schutzschaltung auf eine ausreichende Genauigkeit hin geprüft. Die RS232 und LAN Schnittstelle werden mit der Terminal Software „RealTerm“ und dem Terminal von „Code Composer Studio 5.5“ getestet. Auftretende Probleme während der Erprobung werden ebenfalls dargestellt.

6.1 Schnittstellen

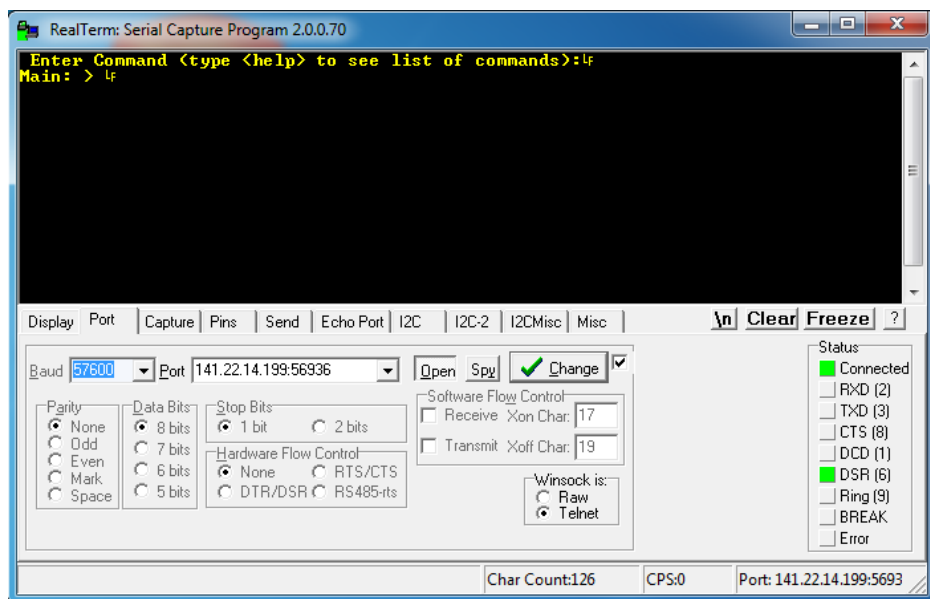


Abbildung 6.1: Verbindung zum Zyklersystem über die Ethernet-Schnittstelle im HAW-Netzwerk

Abbildung 6.1 zeigt die aufgebaute Verbindung zum Zyklersystem über das Ethernet im HAW-Netzwerk. Auch die Nutzung über eine VPN Verbindung ins HAW-Netzwerk verlief problemlos. Die Anleitung zum Verbindungsaufbau befindet sich in der aktuellen „Kurzanleitung für den Batterie-Zyklertest“, Anhang F.1.

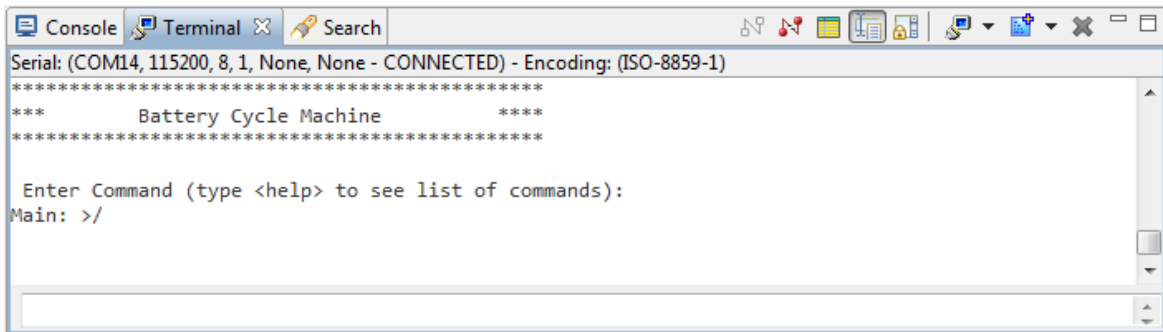


Abbildung 6.2: Verbindung zum Zyklersystem über die RS232-Schnittstelle

Um die RS232 Schnittstelle zu verifizieren, wird die UART-Ausgabe von UART0 auf UART2 umgeleitet. Üblicherweise kommuniziert UART0 des μC über den FTDI-Chip „FT232D“ und der USB Schnittstelle mit dem PC, er liegt auf dem COM-Port 11. UART2 des μC läuft über einen Leitungstreiber, den neu implementierten Optokoppler und der RS232 Schnittstelle zum PC, dieser liegt am COM-Port 14. Abbildung 6.1 zeigt das Terminal von „Code Composer Studio 5.5“, dass gerade eine Verbindung über den COM-Port 14 (UART2) aufgebaut hat.

Die LAN und die RS232 Schnittstelle wurden erfolgreich getestet, sie stehen nun zur weiteren Verwendung zur Verfügung.

6.2 Genauigkeit der ADC Schutzschaltung

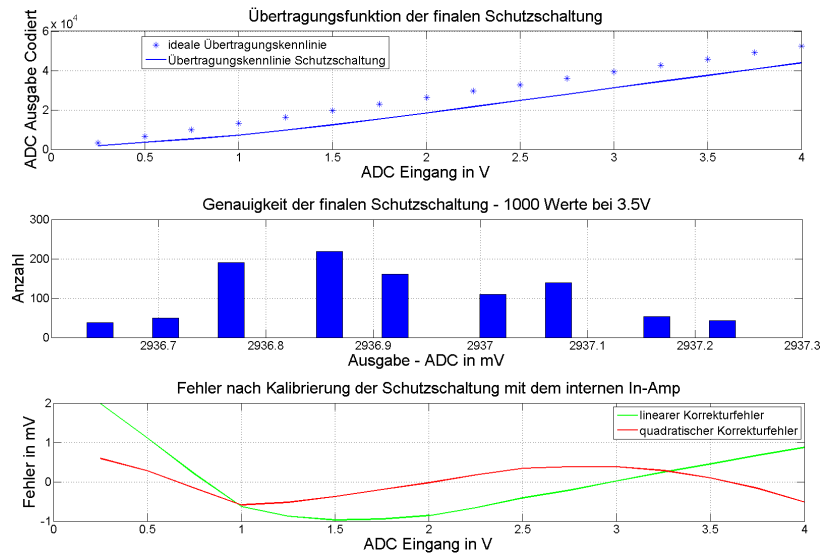


Abbildung 6.3: Genauigkeitsüberprüfung der finalen ADC Schutzschaltung

Wie schon beim Verifizieren der verschiedenen Schutzschaltungen in Kapitel 3.2 wird auch bei der finalen Schutzschaltung die Genauigkeit überprüft. Bei der überprüften Schutzschaltung handelt es sich um die, mit dem externen Instrumentenverstärker „AD8226“. Die Ergebnisse dieser Messung sind in Abbildung 6.3 dargestellt.

Die Genauigkeit liegt bei 1mV und hat sich damit um den Faktor 4 seit der Entwicklung der Schutzschaltung verbessert. Dies liegt an der eigenen Stromversorgung und der galvanischen Trennung der Schutzschaltung. Trotzdem kommt der ADC ohne Instrumentenverstärker auf eine höhere Genauigkeit. Ohne diesen, nur mit der Suppressordiode, besitzt der ADC mit der vereinfachten Schutzschaltung eine Genauigkeit von 0,2mV.

6.3 Messumgebung

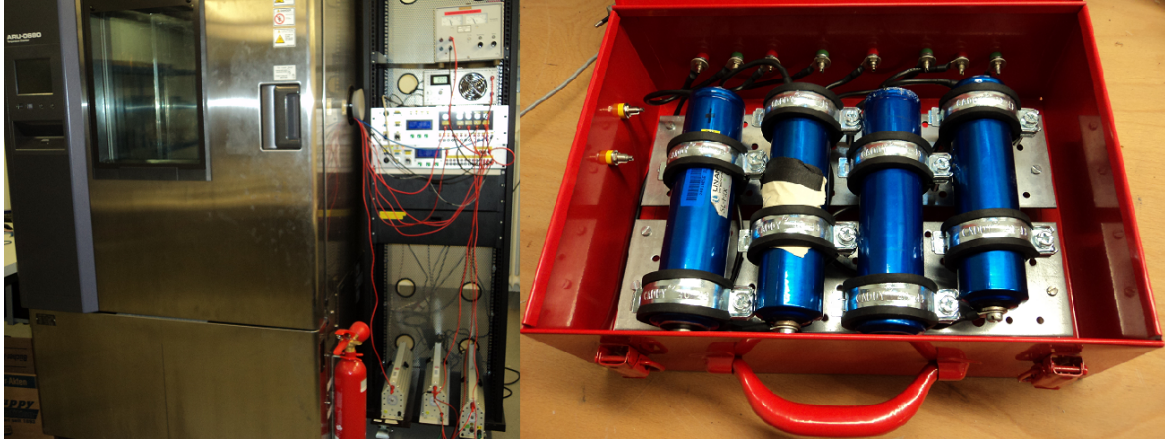


Abbildung 6.4: links: Laboraufbau während den Zyklierungen
rechts: Messkoffer mit vier Lithium-Ionen Zellen

Da die Zyklierung mit Lithium-Ionen Zellen stattfindet, bei denen stets die Gefahr eines „thermal runaway“ existiert, muss für eine sichere Messumgebung gesorgt werden. Für diesen Fall wird ein Messkoffer gebaut, der vier Zellen aufnehmen kann. Bei allen vier Zellen wird der Plus und Minus Pol der Zellen nach außen geführt. Mit kurzen Laborkabeln können sie in Reihe geschaltet werden. Der Messkoffer ist in Abbildung 6.4 rechts zu sehen.

Links in Abbildung 6.4 ist die komplette Messumgebung zu sehen. Zu weiteren Sicherheit befindet sich in unmittelbarer Nähe ein Feuerlöscher. Für die Messung steht ein Temperaturschrank, eine elektronische Last, eine Stromquelle und drei einstellbare Hochleistungswiderstände zur Verfügung.

6.4 Zyklierung ausgewählter Zellen

Nun wird das NEFZ-Messkonzept mit dem Zykliersystem erprobt. Dafür werden Lithium-Ionen Zellen der Firma „Headway“ ausgewählt. Da zurzeit das Zykliersystem nur minütlich die Relais schalten kann, ist eine Vereinfachung des NEFZ-Messkonzepts nötig. Dazu wurden zwei unterschiedliche Vereinfachungen untersucht.

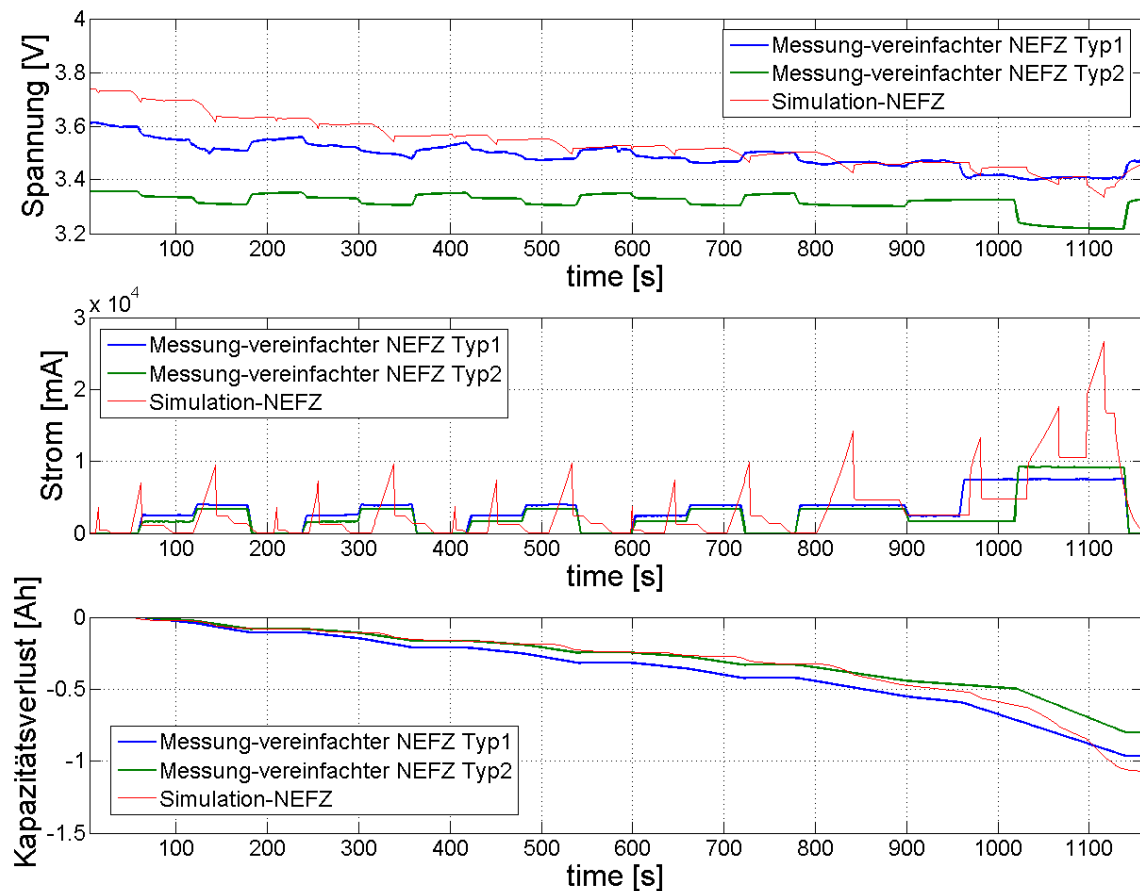


Abbildung 6.5: Messergebnisse zweier NEFZ-Annäherungen

In Abbildung 6.5 sind beide vereinfachten NEFZ-Messungen dargestellt. Sie wurden mit dem Zykliersystem aufgezeichnet und mit dem eigentlichen NEFZ-Messkonzept zum Vergleich dargestellt.

Werden beide vereinfachte NEFZ-Messkonzepte verglichen, fällt auf, dass beim Spannungsverlauf kaum ein Unterschied zwischen beiden zu sehen ist. Die Differenz der Spannungspegel lässt sich durch den unterschiedlichen Ladezustand erklären. Beim Strom hingegen ist eine Veränderung im Zyklus außerorts zu erkennen. Beide Varianten nähern sich vom Energieverbrauch der Simulation an.

Bei den weiteren Zyklisierungen wird Typ2 benutzt, da er mehr Strom im Zyklus außerorts benötigt und dies den NEFZ am besten annähert. Mit dieser Variante wird nun bei drei verschiedenen Temperaturen die Zyklisierung vollzogen.

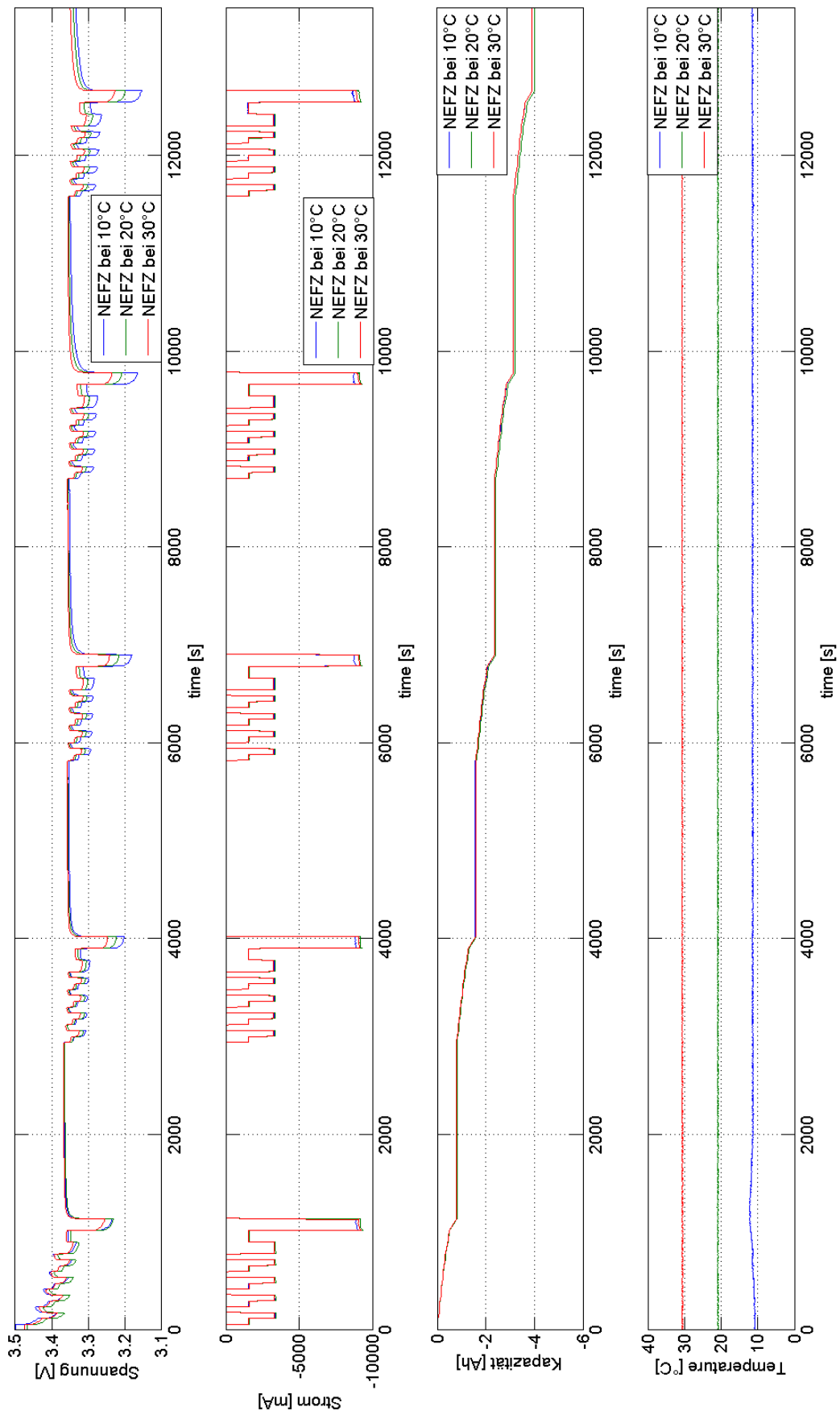


Abbildung 6.6: NEFZ bei verschiedenen Temperaturen

In Abbildung 6.6 sind die Messergebnisse des Zyklersystems dargestellt. Bei drei verschiedenen Temperaturen wurde mit der gleichen Zelle nach einer Aufladung bei 20°C fünfmal hintereinander der NEFZ durchlaufen. Zwischen jedem NEFZ gibt es eine halbe Stunde Pause. Bei jedem NEFZ sind deutlich die vier Zyklen innerorts und der Zyklus außerorts zu erkennen.

Wird der Spannungsverlauf betrachtet, so ist festzustellen, dass bei niedrigen Temperaturen die Spannung bei Belastung deutlich tiefer einbricht. Dieser Effekt ist besonders gut bei den Zyklen außerorts zu erkennen. Des Weiteren ist auch der rapide Abfall der Spannung nach dem ersten NEFZ erkennen, das ist typisch für eine Lithium-Ionen Zelle. Am Anfang und am Ende seiner Kapazität verändert sich die Spannung am meisten. Deshalb kann bei einer Lithium-Ionen Zelle aus der Spannung nur schwer auf ihre Kapazität geschlossen werden.

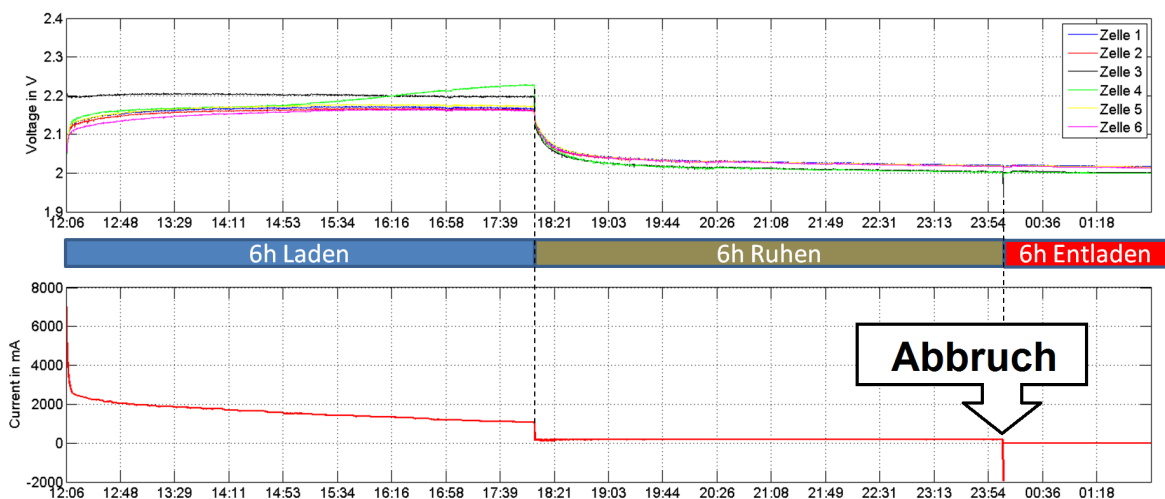


Abbildung 6.7: Abbruch der Zyklierung durch das Messen im Umschaltmoment

Bei der Zyklierung einer Blei-Säure Batterie, bestehend aus sechs Zellen, kam es bei der Erprobung zum vorzeitigen Abbruch. Dieser Fall ist in Abbildung 6.7 dargestellt. Nach einer sechsständigen Ruhephase soll die Batterie entladen werden. Direkt beim Schalten des Relais wird nun gemessen. Da die Spannung kurz einschwingt, befindet sie sich außerhalb der eingestellten zulässigen Spannungsgrenzen und führt zum Abbruch der Messung. Dieses Problem tritt nur sporadisch auf, da der Schaltmoment des Relais ständig variiert.

7 Fazit

Abschließend wird nun die Aufgabenstellung aus Anhang [A.1](#) mit der Bachelorarbeit verglichen. Dazu wird zusammenfassend über jede erledigte Aufgabe der Aufgabenstellung berichtet. Anschließend findet eine Auswertung im Hinblick der E-Mobilität statt. Das Ende dieser Arbeit bildet eine Reihe von Vorschlägen zur Weiterentwicklung des Zykliersystems.

7.1 Zusammenfassung

Laut Aufgabenstellung gibt es vier Hauptaufgaben, die zu erledigen waren. Diese werden nun auf die Umsetzung hin überprüft.

1. Entwicklung einer Schutzschaltung

Nach der Analyse möglicher Fehlermöglichkeiten in der ADC-Schaltung wurden fünf verschiedene Schutzschaltungen aufgebaut und diese anschließend bewertet. Basierend auf dieser Bewertung wurde eine Schutzschaltung entwickelt. Sie ist vom Zykliersystem galvanisch getrennt und bietet diverse Einstellmöglichkeiten. Es kann ein externer Instrumentenverstärker in die Messung einbezogen werden, bei dem die Versorgungsspannung frei wählbar ist. Des Weiteren lässt sich die galvanische Trennung optional aufheben. Die Benutzung des externen In-Amps verschafft zusätzliche Sicherheit, wobei allerdings Genauigkeit eingebüßt wird. Mit dem In-Amp wird eine Genauigkeit von 1mV erreicht, ohne ihn beträgt sie 0,2mV. Die Erprobung der Schutzschaltung mit dem externen In-Amp verlief problemlos.

2. Verbesserung der Kommunikationsschnittstellen

Bei der Prüfung der RS232 Schnittstelle fiel auf, dass die Pinbelegung nicht der RS232 Norm entspricht. Hinzu kommt, dass diese Schnittstelle galvanisch getrennt werden muss, bevor sie verwendet werden kann. Um sie für die Kopplung mit der Kühlkammer vorzubereiten, wurde ein Kabel angefertigt, das das Problem mit der Pinbelegung löst. Für die galvanische Trennung wurde ein Optokoppler benutzt. Um die LAN-Schnittstelle im HAW-Netzwerk zu benutzen, musste die MAC-Adresse vom Zykliersystem angemeldet werden. Dabei erhielt das Zykliersystem die MAC-Adresse von einer ausrangierten Netzwerkkarte.

3. Planen und Durchführen von Batterieuntersuchungen

Es wurden zwei verschiedene Messkonzepte zur Batterieuntersuchung entwickelt, sowie ein Messplan erstellt. Das Messkonzept nach dem NEFZ ist stark an die E-Mobilität angelehnt. Um die Belastung einer Zelle während des NEFZ zu ermitteln, wurden umfangreiche Simulationen durchgeführt. Darauf basierend existiert nun ein vereinfachtes Messverfahren, das wurde auch bei verschiedenen Temperaturen erfolgreich getestet. Das zweite Messkonzept ist zur Erstellung eines Zellenprofils entwickelt worden. Es basiert auf Erfahrungen von bereits durchgeführten Zyklierungen. Des Weiteren wurde ein Messplan erstellt, der die beiden Messkonzepte beinhaltet.

4. Erstellen einer ausführlichen Dokumentation

Die erstellte Dokumentation befindet sich an zwei Stellen dieser Arbeit. Zum einen gibt es eine ausführliche Beschreibung zum Auswechseln des ADCs, sowie das Kalibrieren in Kapitel 5.3. Die Anleitung zum Verbindungsaufbau über VPN und Ethernet, sowie Beispiele zum korrekten Messen wurden der bereits vorhandenen „Kurzanleitung für den Batterie-Zyklierprüfstand“ angehängt. Diese Kurzanleitung befindet sich im Anhang F.1.

7.2 Vorschläge zur Weiterentwicklung des Zyklersystems

Die hier erwähnten Vorschläge sind während der Durchführung der Arbeit entstanden. Sie dienen als Anhaltspunkte für die Weiterentwicklung des Zyklersystems. Die Vorschläge sind mit hoher und niedriger Priorität unterteilt.

Vorschläge - mit hoher Priorität:

- **Anbindung des Temperaturschranks über RS232**
Nach der galvanischen Trennung der RS232-Schnittstelle ist eine Routine zu erstellen, die den Temperaturschrank steuert. Derzeit ist es sehr umständlich eine Zellenprofilmessung durchzuführen, da die Temperatur manuell am Temperaturschrank eingestellt werden muss.
- **Sekundengenaues Schalten der Relais**
Um beim NEFZ-Messkonzept eine bessere Annäherung an die Simulation zu erhalten, müssen die Relais in der Lage sein, die Widerstände sekundlich umzuschalten.
- **Widerstandsmatrix für das NEFZ-Messkonzept**
Zurzeit sind drei verschiedene Widerstände schaltbar. Das liegt daran, dass ein Relais zum Laden der Batterie benutzt wird. Die übrigen drei Relais bleiben zum Schalten der Widerstände. Derzeit sind die Relais nur einzeln schaltbar, d.h. das gleichzeitige Schalten von zwei Relais wird nicht unterstützt. Mit einer gut überlegten Widerstandsmatrix und der Unterstützung gleichzeitig schaltender Relais, könnte wiederum eine bessere Annäherung an der Simulation vom NEFZ-Messkonzepts erreicht werden.
- **Auskunft des aktuellen „cycle step“ über Ethernet**
Ob die Zyklisierung noch läuft ist derzeit über einen Fernzugriff mit dem Befehl „alive“ erkennbar, aber leider nicht wo sie sich gerade befindet. Ein zusätzlicher Befehl zur Abfrage des aktuellen „cycle step“ wäre hilfreich.
- **Optional einschaltbare Laderegler**
Bisher war ein Laderegler nicht erforderlich, da fast ausschließlich Blei-Säure Batterien zyklisiert wurden. Wenn jedoch Lithium-Ionen Zellen zyklisiert werden, ist der Einsatz eines Ladereglers sinnvoll. Diese Problematik ist in Kapitel 4.3 genauer erläutert.
- **Komplettes Redesign der Hauptplatine**
Das letzte erstellte Platinenlayout liegt nun ein Jahr zurück. Seitdem haben die Thesis von Herrn Röhn und auch diese Thesis Veränderungen an der Hauptplatine bewirkt, die durch ein Redesign berücksichtigt werden müssen. Zudem können die externen Optokoppler für USB und RS232 auf der Hauptplatine integriert werden.

Vorschläge - mit niedriger Priorität:**• Wechsel des ADCs**

Da sich der ADC „AD7798“ als sehr empfindlich herausgestellt hat und der interne Instrumentenverstärker, sowie der „buffered mode“ unbrauchbar sind, liegt die Entscheidung nahe, einen anderen ADC mit integrierten Überspannungsschutz zu benutzen.

• Entwicklung eines Rütteltisch

Oft wird in den Batterieprüflabore ein Rütteltisch während der Zyklierungen benutzt. Das soll die Autobewegung während einer Fahrt nachahmen. Dies ist auch für unsere Zyklierungen denkbar.

• Automatische Erkennung der angeschlossenen Zellen

Durch die zwei 100nA Stromquellen im ADC besteht die Möglichkeit, am Eingang eine angeschlossene Batteriezelle zu erkennen. Damit lässt sich eine Aussage treffen, wie viele Kanäle von den 12 möglichen belegt sind.

7.3 Auswertung im Hinblick der E-Mobilität

Wie schon in der Einführung 1.3 erwähnt schreitet die E-Mobilität stetig voran. Viele neue Batterieprüflabore wurden in den letzten zwei Jahren von Firmen, wie TÜV SÜD und SGS Germany GmbH aufgebaut. Somit ist das „BATSEN“ Projekt für die Zukunft ausgezeichnet aufgestellt. Werden derzeitige Prüfmethode der Batterieprüflabore in Deutschland mit den uns zur Verfügung stehenden Mitteln verglichen fällt auf, dass die Kapazitäten fehlen, um die selben Prüfungen vorzunehmen. Im Hinblick auf die E-Mobilität hat das „BATSEN“ Projekt allerdings eine forschende und beratende Rolle. Deshalb ist es für das „BATSEN“ Projekt wichtig, sich von den bestehenden Batterieprüflaboren abzugrenzen.

Mit dem entwickelten NEFZ-Messkonzept ist dies auch gelungen, da solch ein Konzept noch nicht existiert. Auch der Ausbau des Zyklersystems ist unter diesen Gesichtspunkten ein Fortschritt, da es eine Eigenentwicklung innerhalb des „BATSEN“ Projekts darstellt.

Tabellenverzeichnis

2.1	Kooperationen zwischen Autohersteller und Batteriehersteller, stand 2009 . . .	16
2.2	Dienstleistungen der Batterie-Prüflabore	17
2.3	Auszug aus dem „DAT-Leitfaden“	19
2.4	Registertabelle des ADCs	25
3.1	Zusammenfassung der aufgenommenen Messwerte	41
4.1	Vergleich des Verbrauchs auf 100km zwischen der MATLAB Berechnung und dem „DAT-Leitfaden“	54
4.2	alle neun Messungen einer Messdatenreihe	63
4.3	allgemeines Messkonzept zur Erstellung von Zellenprofilen	64

Abbildungsverzeichnis

1.1	Das Fundament meiner Thesis	10
1.2	Schematischer Aufbau einer Zyklisierung	11
1.3	Entwicklung der gesicherten Erdölreserven	13
2.1	der Neue Europäische Fahrzyklus	18
2.2	Funktionsblockschaltbild des AD7798	20
2.3	Allgemeiner Aufbau des internen Instrumentenverstärkers	22
2.4	Zusammenhang zwischen der „Update Rate“ und dem Amplitudengang des digitalen Filters	23
2.5	Auszug aus dem EAGLE Schaltplan - ADC Eingänge	24
2.6	Auszug aus dem EAGLE Schaltplan - RS232	27
3.1	Blockschaltbild der ADC-Ausgangsschaltung	29
3.2	Schutzschaltung mit einer Supressordiode	30
3.3	Schutzschaltung mit dem AD623	31
3.4	Schutzschaltung mit dem AD8226	31
3.5	Schutzschaltung mit dem AD624	32
3.6	Schutzschaltung mit einem Spannungsteiler	33
3.7	eine ideale Übertragungsfunktion	34
3.8	aufgenommene Messungen der Schutzschaltung mit der Supressordiode	36
3.9	aufgenommene Messungen der Schutzschaltung mit dem AD623	37
3.10	aufgenommene Messungen der Schutzschaltung mit dem AD8226	38
3.11	aufgenommene Messungen der Schutzschaltung mit dem AD624	39
3.12	aufgenommene Messungen der Schutzschaltung mit dem internen In-Amp	40
3.13	Tiefpass Simulation	43
3.14	Tiefpass Simulation - Bode Diagramm	44
3.15	Tiefpass Simulation - Sprungantwort	45
3.16	Netzteil - Aufbau und Dimensionierung	47
3.17	Optokoppler für die serielle Schnittstelle	47
3.18	Einstellmöglichkeiten durch Jumper	48
4.1	der NEFZ aus den Europäischen Richtlinien	50
4.2	der geschätzte Leistungsverbrauch eines „VW e-up!“ während des NEFZ	53

4.3	die Integration der Leistung und Geschwindigkeit ergibt Energie und Weg . . .	54
4.4	Das Batteriemodel aus Simscape	55
4.5	Die Lithium-Ionen Autobatterie auf der 1. Ebene der Simulationen	56
4.6	Die Lithium-Ionen Autobatterie auf der 2. Ebene der Simulationen	57
4.7	Die Lithium-Ionen Autobatterie auf der 3. Ebene der Simulationen	57
4.8	Simulationsergebnisse der Lithium-Ionen Autobatterie	58
4.9	Simulationsergebnisse der einzelnen Zelle	59
4.10	Messaufbau des NEFZ Messkonzepts	60
4.11	Nachbildung der dynamischen Last mit drei Leistungswiderständen	61
4.12	Simulationsergebnisse der Nachbildung	62
4.13	Simulation von drei in Reihe geschalteten Lithium-Ionen Zellen mit unterschiedlichem Ladezustand	66
4.14	Simulationsergebnisse für den Ladevorgang von drei in Reihe geschalteten Lithium-Ionen Zellen	67
4.15	Messung eines 4 Zellen Lithium-Ionen Akkuspack	68
4.16	Zellkatalog	69
4.17	Ausschnitt des Messplans	70
5.1	ROLINE RS232 Optokoppler	72
5.2	Pinbelegung des Kabels zwischen Mainboard und RS232 Optokoppler	73
5.3	Einbaurichtung des ADCs in der Schutzschaltung	74
6.1	Verbindung zum Zyklersystem über die Ethernet-Schnittstelle im HAW-Netzwerk	79
6.2	Verbindung zum Zyklersystem über die RS232-Schnittstelle	80
6.3	Genauigkeitsüberprüfung der finalen ADC Schutzschaltung	81
6.4	links:Laboraufbau während den Zyklierungen rechts: Messkoffer mit vier Lithium-Ionen Zellen	82
6.5	Messergebnisse zweier NEFZ-Annäherungen	83
6.6	NEFZ bei verschiedenen Temperaturen	84
6.7	Abbruch der Zyklierung durch das Messen im Umschaltmoment	85

Glossar

μC Mikrocontroller

ADC Analog to Digital Converter

BATSEN Drahtlose Zellsensoren für Fahrzeugbatterien

CMRR Common-Mode Rejection Ratio

CS Chip select

CTS Clear to Send

DAT Deutsche Automobil Treuhand GmbH

DCE Data Communication Equipment

DHCP Dynamic Host Configuration Protocol

DTE Data Terminal Equipment

ESD electrostatic discharge

EWG Europäischen Wirtschaftsgemeinschaft

GLS Gleichungssystem

HAW Hamburg Hochschule für Angewandte Wissenschaften Hamburg

IEC International Electrotechnical Commission

IEEE Institute of Electrical and Electronics Engineers

In-Amp Instrumentation Amplifier

LAN Local Area Network

LI-ION Lithium-Ionen

LiFePO4 Lithium-Eisenphosphat

lwIP Lightweight TCP/IP stack

NEFZ Neuer Europäischer Fahrzyklus

Qucs Quite Universal Circuit Simulator

RS232 Recommended Standard 232

RTS Ready to Send

SMD Surface-Mounted Device

SOC State of Charge

SOH State of Health

SPI Serial Peripheral Interface

TCP Transmission Control Protocol

TI Texas Instruments

UART Universal Asynchronous Receiver Transmitter

UL Underwriters Laboratories

USB Universal Serial Bus

Literaturverzeichnis

- [1] WISNIEWSKI, Thomas: *Zyklischer Prüfstand für Batteriezellen mit Steuerung durch einen ARM-Controller sowie Messdatenverwaltung und Netzwerkanbindung*. Hamburg, Hochschule für Angewandte Wissenschaften, Bachelorarbeit, 2013
- [2] HILLERMANN, Lars: *Starterbatterie in Lithium-Eisen-Phosphat-Technologie parallele Zellenmodule mit Überwachungs- und Leistungselektronik*. Hamburg, Hochschule für Angewandte Wissenschaften, Diplomarbeit, 2012
- [3] LOSCHWITZ, Rico: *Überwachungs-, Zellenbalancierungs- und Leistungselektronik für eine Starterbatterie in Lithium-Eisen-Phosphat-Technologie*. Hamburg, Hochschule für Angewandte Wissenschaften, Bachelorarbeit, 2013
- [4] TEXAS INSTRUMENTS (Hrsg.): *Stellaris® LM3S9D92 Microcontroller DATA SHEET*. TI: TEXAS INSTRUMENTS, Version: 2012. <http://www.ti.com/lit/ds/symlink/lm3s9d92.pdf>. – Abruf: 02.06.2013
- [5] SCHLÜTER, Jan: *Entwurf und Realisierung eines modular aufgebauten Experimentierboards für Mikrocontroller*. Hamburg, Hochschule für Angewandte Wissenschaften, Bachelorarbeit, 2013
- [6] STEINMANN, Tobias: *Hard- und Softwareentwicklung für einen Controller-gesteuerten, vernetzten Zellspannungsgenerator*. Hamburg, Hochschule für Angewandte Wissenschaften, Bachelorarbeit, 2012
- [7] RÖHN, Johannes: *Batteriezellen-Zyklischer Prüfstand mit ARM-Mikrocontroller Software sowie Mess- und Leistungsschaltung*. Hamburg, Hochschule für Angewandte Wissenschaften, Bachelorarbeit, 2014
- [8] BATSEN (Hrsg.): *Kurzanleitung Batteriezellen-Zyklischer Prüfstand*. : BATSEN, Version: 2014
- [9] KIENBAUM CONSULTANTS INTERNATIONAL GMBH (Hrsg.): *Kienbaum-Studie widerlegt Abgesang auf die Elektromobilität*. : Kienbaum Consultants International GmbH, Version: 2014. http://www.kienbaum.de/desktopdefault.aspx/tabid-83/154_read-607/153_read-237/. – Abruf: 05.07.2014

- [10] BP (Hrsg.): *Statistical Review of World Energy 2013*. : BP, Version: 2013. http://www.bp.com/content/dam/bp/pdf/statistical-review/statistical_review_of_world_energy_2013.pdf. – Abruf: 05.07.2014
- [11] AUTO MOTOR UND SPORT (Hrsg.): *VW und Byd planen Elektro-Kooperation*. : AUTO MOTOR UND SPORT, Version: 2009. <http://www.auto-motor-und-sport.de/eco/lithium-ionen-batterien-von-byd-vw-und-byd-planen-elektro-kooperation-1268301.html>. – Abruf: 17.07.14
- [12] TÜV SÜD (Hrsg.): *Batterieprüfungen*. : TÜV SÜD, Version: 2014. <http://www.tuev-sued.de/home-de/fokus-themen/das-potential-der-elektromobilitaet/batteriepruefungen>. – Abruf: 17.07.14
- [13] SGS (Hrsg.): *PRÜF- UND ZULASSUNGSSERVICES FÜR LITHIUM-IONEN-BATTERIEN*. : SGS, Version: 2012. <http://www.sgsgroup.de/~media/Local/Germany/Documents/Brochures/Auto/sgs-cqe-batterytesthouse-db-a4-de-0312.pdf>. – Abruf: 17.07.14
- [14] EWG (Hrsg.): *91/441/EWG*. : EWG, Version: 1991. <http://eur-lex.europa.eu/legal-content/DE/TXT/PDF/?uri=CELEX:31991L0441&from=DE>. – Abruf: 22.07.14
- [15] T&E (Hrsg.): *Mind the Gap! Why official car fuel economy figures don't match up to reality*. : T&E, Version: 2013. http://www.transportenvironment.org/sites/te/files/publications/Real%20World%20Fuel%20Consumption%20v15_final.pdf. – Abruf: 22.07.14
- [16] DEUTSCHE AUTOMOBIL TREUHAND GMBH (Hrsg.): *Leitfaden über den Kraftstoffverbrauch, die CO₂-Emissionen und den Stromverbrauch*. : Deutsche Automobil Treuhand GmbH, Version: 2014. <http://www.dat.de/uploads/media/LeitfadenCO2.pdf>. – Abruf: 22.07.14
- [17] ANALOG DEVICES (Hrsg.): *AD7798/7799*. AD: ANALOG DEVICES, Version: 2013. http://www.analog.com/static/imported-files/data_sheets/AD7798_7799.pdf. – Abruf: 23.07.2014
- [18] ANALOG DEVICES (Hrsg.): *Chapter II - Inside an Instrumentation Amplifier*. : Analog Devices, Version: 2006. http://www.analog.com/static/imported-files/design_handbooks/5816856680166219537Chapter_II.pdf. – Abruf: 26.07.14
- [19] ANALOG DEVICES (Hrsg.): *ADR45X0*. AD: ANALOG DEVICES, Version: 2012. http://www.analog.com/static/imported-files/data_sheets/ADR4520_4525_4530_4533_4540_4550.pdf. – Abruf: 02.08.2014

- [20] LITTELFUSE (Hrsg.): SA5.0A. : Littelfuse, Version: 2009. http://www.littelfuse.com/data/en/data_sheets/littelfuse_tvs-diode_sa.pdf. – Abruf: 04.08.2014
- [21] ANALOG DEVICES (Hrsg.): AD623. : Analog Devices, Version: 2008. http://www.analog.com/static/imported-files/data_sheets/AD623.pdf. – Abruf: 06.08.2014
- [22] ANALOG DEVICES (Hrsg.): AD8226. : Analog Devices, Version: 2012. http://www.analog.com/static/imported-files/data_sheets/AD8226.pdf. – Abruf: 06.08.2014
- [23] ANALOG DEVICES (Hrsg.): AD624. : Analog Devices, Version: 2013. http://www.analog.com/static/imported-files/data_sheets/AD624.pdf. – Abruf: 06.08.2014
- [24] TIETZE, U. ; SCHENK, Ch.: *Halbleiter-Schaltungstechnik*. Springer Verlag, 2009. – ISBN 978–3642016219
- [25] TREMBLAY, Olivier ; DESSAINT, Louis-A.: *Experimental Validation of a Battery Dynamic Model for EV*. World Electric Vehicle Journal, 2009. ISSN 2032–6653
- [26] VW (Hrsg.): *ELEKTROMOBILITÄT Der e-up! made by Volkswagen*. : VW, Version: 2013. http://www.volkswagenag.com/content/vwcorp/info_center/de/publications/2013/09/VIAVISION7.bin.html/binarystorageitem/file/VIAVISION_D.pdf. – Abruf: 22.08.2014
- [27] THEUERKAUF, Judith: *Schreiben im Ingenieurstudium*. Schöningh, 2012. – ISBN 978–3–8252–3644–1
- [28] ESPEC CORP. (Hrsg.): *Environmental Stress Chamber AR Series - Communication Function*. TI: ESPEC CORP., Version: 2009
- [29] WEYDANZ, Wolfgang ; JOSSEN, Andreas: *Moderne Akkumulatoren richtig einsetzen*. Reichardt Verlag, 2006. – ISBN 978–3–939359–11–1
- [30] ERDÖL-VEREINIGUNG / UNION PÉTROLIÈRE (Hrsg.): *Erdöl-Energieverbrauch und Reserven*. : Erdöl-Vereinigung / Union Pétrolière, Version: 2007. http://www.erdoel-vereinigung.ch/UserContent/Shop/EV07_Energieverbrauch_d_RZ.pdf. – Abruf: 05.07.2014
- [31] HOCHSCHULE REUTLINGEN (Hrsg.): *Die Batterie als Schlüsseltechnologie für die Elektromobilität der Zukunft*. : Hochschule Reutlingen, Version: 2012. http://www.esb-business-school.de/fileadmin/_research/dokumente/Diskussionsbeitraege/2012-3-Reutlinger-

[Diskussionsbeitraege-Mark-Mngmt-E-Mobility-Batterie.pdf](#). –
Abruf: 05.07.2014

- [32] VDE PRÜF- UND ZERTIFIZIERUNGSINSTITUT GMBH (Hrsg.): *Prüfanforderungen an Li-Batterien für Elektrofahrzeuge*. : VDE Prüf- und Zertifizierungsinstitut GmbH, Version: 2012. <http://www.vde.com/de/Technik/e-energy/Testing/Documents/VDE-Pr%C3%BCfanforderungen%20an%20Li-Batterien%20f%C3%BCr%20Elektrofahrzeuge.pdf>. – Abruf: 17.07.14

Anhang



Hochschule für Angewandte Wissenschaften Hamburg
Hamburg University of Applied Sciences

Hochschule für Angewandte Wissenschaften Hamburg
Department Informations- und Elektrotechnik
Prof. Dr.-Ing. Karl-Ragnar Riemschneider

17. Juni 2014

Bachelorarbeit: Martin Kusche

Aufbau und Inbetriebnahme eines Zyklersystems für Batteriezellen mit ARM-Mikrocontroller

Motivation

Das Forschungsprojekt "Drahtlose Zellsensoren für Fahrzeugbatterien - BATSEN" an der HAW Hamburg untersucht verschiedene Batterietypen. Um das Batterieverhalten modellieren zu können, ist es zuvor notwendig, eine Reihe von Lade- und Entladevorgänge durchzuführen und dabei möglichst viele Messwerte, wie z.B. Zellspannung, Strom und Temperatur, aufzuzeichnen.

Diese zeitaufwändige Zyklisierung wird durch ein spezielles Zyklersystem aus zwei Vorarbeiten automatisiert. Im praktischen Erprobungsbetrieb sind mehrere Probleme erkannt worden, zu nennen ist insbesondere ist die hohe Empfindlichkeit des verwendeten ADC gegen Überspannungen oder fehlerhaften Masseführungen.

Aufgabe

Herr Kusche erhält die Aufgabe, die o.g. Probleme systematisch zu untersuchen und Verbesserungsmöglichkeiten zu entwickeln. Die Lösungen - wie z.B. Schutzschaltungen - sollen in beiden Batteriezykliegeräte eingesetzt werden. Die praktische Nutzung ist umfassend zu erproben und mit neuen Teillösungen zu unterstützen (Einbindung in das HAW-Netz, Fernsteuerung, Kopplung mit Temperaturschrank). Im Zusammenhang mit der Erprobung sind Kurzanleitungen für wichtige Teilarbeiten mit dem Zyklersystem zu erstellen.

Der Schwerpunkt der Arbeit liegt darüber hinaus bei der Erprobung von großen Lithiumzellen unter verschiedenen Betriebsszenarien. Dabei sollen typische Fahr Situationen aus E-Fahrzeugen herangezogen werden, wie z.B. der Neue Europäische Fahrzyklus für Elektrofahrzeuge. Hierbei ist der Aspekt des Temperatureinflusses auf die Batterien zu betrachten.

Gliederung

Die Aufgabe der Bachelorarbeit gliedert sich wie folgt:

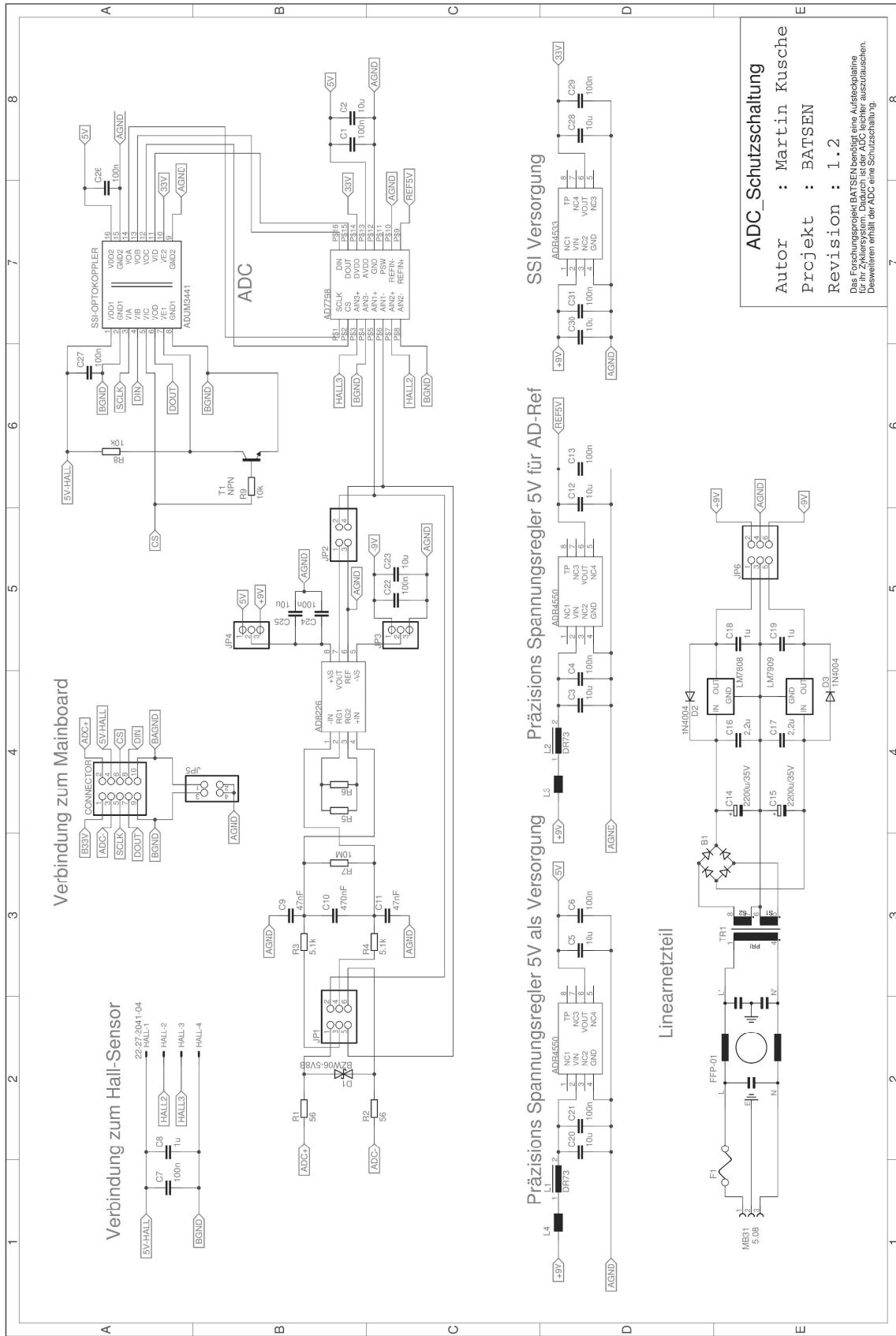
1) Analyse der Rahmenbedingungen und Vorarbeiten

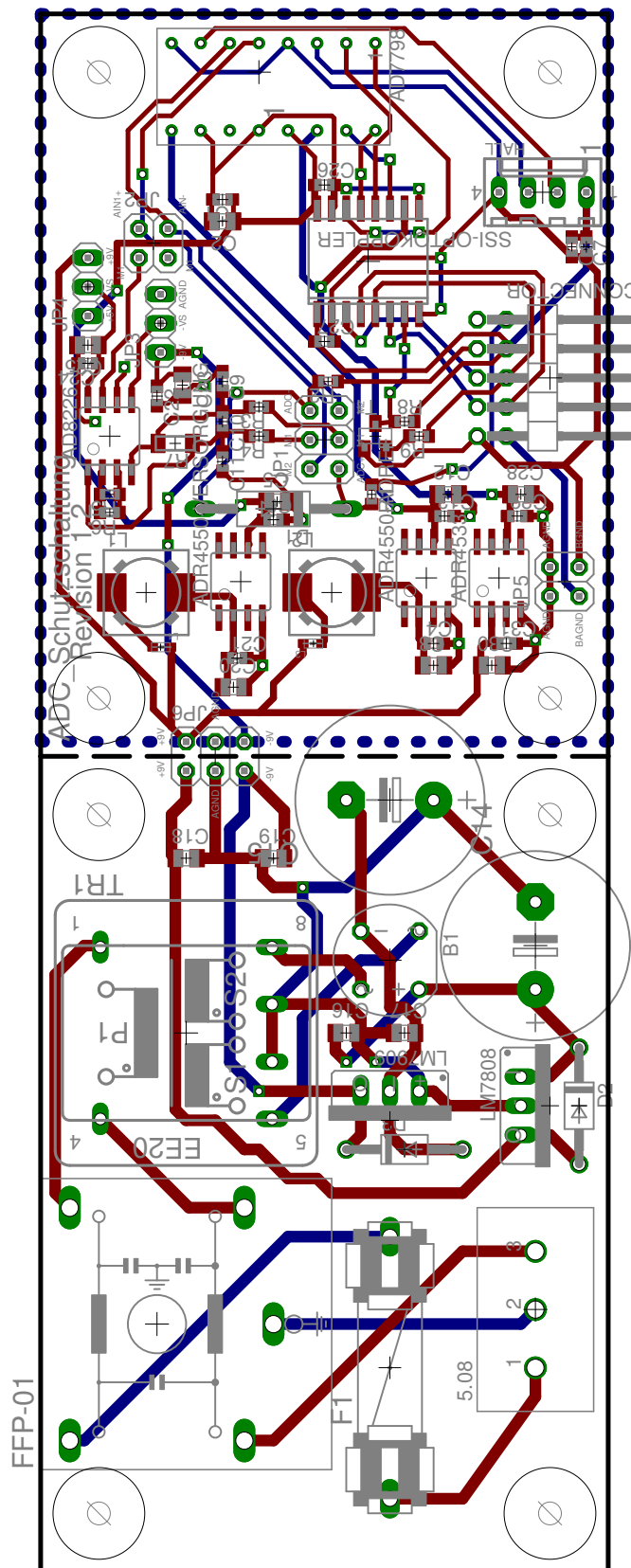
- Einarbeitung durch Recherche und Literatur
- Einarbeitung in die Hard- und Software der Vorarbeiten
- Recherche von Batterieuntersuchungen und -Testverfahren für das Anwendungsgebiet E-Mobilität
- Analyse von Verbesserungs- und Erweiterungs-Möglichkeiten

- 2) **Entwicklung von Schutzschaltungen für die Hardware des Gerätes**
 - Analyse bestehender Fehlermöglichkeiten und Empfindlichkeiten
 - galvanische Trennung der Daten-Schnittstellen
 - Korrektur der ADC-Schaltung, Entwurf und Untersuchung von Zusatzmodulen (Aufsetzplatine), Anpassung von Kalibrierungen an die neue ADC-Schaltung
- 3) **Kommunikationsschnittstellen - Inbetriebnahme und Verbesserung**
 - Fernbedienung für das Zykliersystem im HAW-Netzwerk
 - Kopplung von Kühlkammer und Zykliergerät prüfen und vorbereiten
- 4) **Ausführliche Dokumentation über die Benutzung**
 - Anleitung zum Kalibrieren
 - Anleitung zum Verbindungsaufbau
 - Beschreibung von Default-Werten und der Konfigurationsdatei
 - Beschreibung von Beispielen
- 5) **Planung und Durchführung von Batterieuntersuchungen**
 - Messkonzept nach dem Neuen Europäischen Fahrzyklus (NEFZ)
 - Messkonzept zur Erstellung von Zellenprofilen (Zellencharakterisierung)
 - Aufbau einer Messumgebung (u.a. eine Batteriebox im Metallkoffer)
 - Aufstellung eines Messplans
 - Zyklierung ausgewählter Zellen
 - Auswertung der Messreihen und Aufbereitung
- 6) **Auswertung und Bewertung**
 - Diskussion und Bewertung der Messreihen
 - Bewertung erzielten Ergebnisse im Hinblick auf das Anwendungsgebiet der E-Mobilität
 - Vorschläge zur Weiterentwicklung des Zykliersystems und der Messplanung

Dokumentation

Die Vorarbeiten und die kommerziellen Unterlagen sind zielgerichtet zu recherchieren. Die gewählte Lösung und die Funktionsweise sind gut nachvollziehbar zu dokumentieren. Die gesetzten Rahmenbedingungen, die Grundkonzeption, auftretende Probleme und wesentliche Entwurfsentscheidungen sollen beschrieben werden. Die Ergebnisse sind systematisch zu erfassen und auszuwerten.





Teileliste der ADC Schutzschaltung 1.2

Netzteil						
Bezeichnung	Händler	Artikelnummer	Anzahl	Einzelpreis	Gesamtpreis	Bemerkung
B1	Reichelt	B380C1500RUND	1	0,17 €	0,17 €	0,17 € Rund-Gleichrichter
C14,C15	Reichelt	RAD FR 2.200/35	2	1,10 €	2,20 €	Eiko radial, 35V, 2200µF
C16,C17	Reichelt	X7R-G0805 2,2/25	2	0,09 €	0,18 €	SMD-Vielschichtkondensator G0805 - 2,2µF 25V
C18,C19	Reichelt	X7R-G0805 1,0/25	2	0,05 €	0,10 €	SMD-Vielschichtkondensator G0805 - 1,0µF 25V
D2,D3		vom BATSEN Projekt	2	0 €	0,00 €	1N4004 - Freilaufdiode
JP6		vom BATSEN Projekt	1	0 €	0,00 €	2x3 Pinhead 2,54mm
LM 7809		vom BATSEN Projekt	1	0 €	0,00 €	9V Festspannungsregler pos.
LM 7909		vom BATSEN Projekt	1	0 €	0,00 €	9V Festspannungsregler neg.
MB31 5.08		vom BATSEN Projekt	1	0 €	0,00 €	230V Anschlussklemme 3polig
F1	Reichelt	PL 112100	1	0,21 €	0,21 €	Sicherungshalter
F1	Reichelt	K-FLINK 0,05A	1	0,59 €	0,59 €	Sicherung
FFP-01	Reichelt	FFP-01 55002000	1	3,85 €	3,85 €	AC Filter für PCB Montage, 0,6A
TR1	Reichelt	EE 20/10 209	1	3,25 €	3,25 €	Trafo 0,5VA, 2x 9V, 2x 28mA
Gesamtpreis					10,55 €	
ADC Schutzschaltung						
Bezeichnung	Händler	Artikelnummer	Anzahl	Einzelpreis	Gesamtpreis	Bemerkung
AD7798		sample von Analog Devices	1	0 €	0,00 €	ADC
AD8226		sample von Analog Devices	1	0 €	0,00 €	Instrumentenverstärker
ADR4550		sample von Analog Devices	2	0 €	0,00 €	Präzisions Spannungsregler 5V
ADR4533		sample von Analog Devices	1	0 €	0,00 €	Präzisions Spannungsregler 3,3V
ADUM3441		sample von Analog Devices	1	0 €	0,00 €	Optokoppler
C9, C11		vom BATSEN Projekt	2	0 €	0,00 €	Kondensator Tiefpass 47nF
C10		vom BATSEN Projekt	1	0 €	0,00 €	Kondensator Tiefpass 470nF
C1, C4, C6, C7, C13, C21, C22, C24, C26, C27, C29, C31		vom BATSEN Projekt	12	0 €	0,00 €	Keramikcondensatoren 100nF Blockkondensatoren
C2, C3, C5, C12, C20, C23, C25, C28, C30		vom BATSEN Projekt	9	0 €	0,00 €	Keramikcondensatoren 10uF Blockkondensatoren
D1		vom BATSEN Projekt	1	0 €	0,00 €	Supressordiode BZW06-5V8B
JP1		vom BATSEN Projekt	1	0 €	0,00 €	2x3 Pinhead 2,54mm
JP2, JP5		vom BATSEN Projekt	2	0 €	0,00 €	2x2 Pinhead 2,54mm
JP3, JP4		vom BATSEN Projekt	2	0 €	0,00 €	1x3 Pinhead 2,54mm
HALL-Connector		vom BATSEN Projekt	1	0 €	0,00 €	4 Pin - Connector
L1, L2		vom BATSEN Projekt	2	0 €	0,00 €	Drosseln
L3, L4		vom BATSEN Projekt	2	0 €	0,00 €	Drosseln
R1, R2		vom BATSEN Projekt	2	0 €	0,00 €	Vorwiderstand ADC 56Ohm
R3, R4		vom BATSEN Projekt	2	0 €	0,00 €	Vorwiderstand Tiefpass 5,1kOhm
R8, R9		vom BATSEN Projekt	2	0 €	0,00 €	Widerstand Inverter 10kOhm
T1		vom BATSEN Projekt	1	0 €	0,00 €	NPN-SMD Transistor Inverter
Jumper		vom BATSEN Projekt	11	0 €	0,00 €	zum Einstellen
Gesamtpreis					0,00 €	


```
1  function [NEFZ,time] = genNZ
2  % diese Funktion erstellt die den Neuen Europäischen Normzyklus (NEFZ)
3  % der NEFZ besteht aus 4 Grundstadtfahrzyklen und 1 Außerstädtischer Fahrzyklus
4  % nach Richtlinie 91/441/EG
5  Zyklus1=genSFZ();
6  Zyklus2=genSFZ();
7  Zyklus3=genSFZ();
8  Zyklus4=genSFZ();
9  Zyklus5=genAFZ();
10 NEFZ=[Zyklus1 Zyklus2 Zyklus3 Zyklus4 Zyklus5];
11 time=0:0.001:(size(NEFZ,2)/1000)-0.001;
12
13 % time=0:0.001:9-0.001;      % Zeit in ms Auflösung
14 % NEFZ=zeros(size(time));
15 % for i=3000 : 6000-0.001 ; NEFZ(i)=50; end
16
17 end
18
19 function velocity = genSFZ()
20 % diese Funktion erstellt den Grundstadtfahrzyklus
21 % nach Richtlinie 91/441/EG
22 time=0:0.001:195-0.001;      % Zeit in ms Auflösung
23 velocity=zeros(size(time)); % Geschwindigkeitsvektor anlegen
24 % nun folgen die einzelnen Betriebszustände
25 for i=11000 : 15000-0.001 ; velocity(i)=velocity(i-1)+15/4000; end
26 for i=15000 : 23000-0.001 ; velocity(i)=velocity(i-1); end
27 for i=23000 : 28000-0.001 ; velocity(i)=velocity(i-1)-15/5000; end
28 for i=49000 : 61000-0.001 ; velocity(i)=velocity(i-1)+32/12000; end
29 for i=61000 : 85000-0.001 ; velocity(i)=velocity(i-1); end
30 for i=85000 : 96000-0.001 ; velocity(i)=velocity(i-1)-32/11000; end
31 for i=117000:143000-0.001 ; velocity(i)=velocity(i-1)+50/26000; end
32 for i=143000:155000-0.001 ; velocity(i)=velocity(i-1); end
33 for i=155000:163000-0.001 ; velocity(i)=velocity(i-1)-15/8000; end
34 for i=163000:176000-0.001 ; velocity(i)=velocity(i-1); end
35 for i=176000:188000-0.001 ; velocity(i)=velocity(i-1)-35/12000; end
36 end
37
38 function velocity = genAFZ()
39 % diese Funktion erstellt den Außerstädtischen Fahrzyklus
40 % nach Richtlinie 91/441/EG
41 time=0:0.001:400-0.001;      % Zeit in ms Auflösung
42 velocity=zeros(size(time)); % Geschwindigkeitsvektor anlegen
43 % nun folgen die einzelnen Betriebszustände
44 for i=20000 : 61000-0.001 ; velocity(i)=velocity(i-1)+70/41000; end
45 for i=61000 :111000-0.001 ; velocity(i)=velocity(i-1); end
46 for i=111000:119000-0.001 ; velocity(i)=velocity(i-1)-20/8000; end
47 for i=119000:188000-0.001 ; velocity(i)=velocity(i-1); end
48 for i=188000:201000-0.001 ; velocity(i)=velocity(i-1)+20/13000; end
49 for i=201000:251000-0.001 ; velocity(i)=velocity(i-1); end
50 for i=251000:286000-0.001 ; velocity(i)=velocity(i-1)+30/35000; end
51 for i=286000:316000-0.001 ; velocity(i)=velocity(i-1); end
52 for i=316000:336000-0.001 ; velocity(i)=velocity(i-1)+20/20000; end
53 for i=336000:346000-0.001 ; velocity(i)=velocity(i-1); end
54 for i=346000:380000-0.001 ; velocity(i)=velocity(i-1)-120/34000; end
55 end
```

```

1  %% Automodelle
2  %-----
3  %Twizy 45
4  Masse=548;      % Fahrzeuggewicht
5  Breite=1.228;  % in m
6  Hoehe =1.451;  % in m
7  CR=0.011;     % Rollwiderstandskoeffizient
8  CW=0.21;      % Luftwiderstandsbeiwert
9  WM=0.9;       % Wirkungsgrad Motor
10 WA=0.9;       % Wirkungsgrad Akku
11 %-----
12 %VW e-up!
13 %204 Zellen in 17 Module (Batteriespannung 296V bis 418V)
14 Masse=1214;   % Fahrzeuggewicht
15 Breite=1.645; % in m
16 Hoehe =1.477; % in m
17 CR=0.011;    % Rollwiderstandskoeffizient
18 CW=0.308;    % Luftwiderstandsbeiwert (aus Datenblatt)
19 WM=0.9;      % Wirkungsgrad Motor
20 WA=0.9;      % Wirkungsgrad Akku
21 %-----
22 %Citroen C-Zero
23 Masse=1140;   % Fahrzeuggewicht
24 Breite=1.475; % in m
25 Hoehe =1.608; % in m
26 CR=0.011;    % Rollwiderstandskoeffizient
27 CW=0.26;     % Luftwiderstandsbeiwert
28 WM=0.9;      % Wirkungsgrad Motor
29 WA=0.9;      % Wirkungsgrad Akku
30 %-----
31
32 %% Verbrauchsberechnungen
33 %-----
34 %VW e-up!
35 %204 Zellen in 17 Module (Batteriespannung 296V bis 418V)
36 Masse=1214;   % Fahrzeuggewicht
37 Breite=1.645; % in m
38 Hoehe =1.477; % in m
39 CR=0.011;    % Rollwiderstandskoeffizient
40 CW=0.308;    % Luftwiderstandsbeiwert (aus Datenblatt)
41 WM=0.9;      % Wirkungsgrad Motor
42 WA=0.9;      % Wirkungsgrad Akku
43 %-----
44 %initialisierung
45 [NEFZ, time] = genNZ;           % NEFZ Verlauf
46 VektorSize   = size(NEFZ);     % Datensatzgrösse
47 Energie      = zeros(VektorSize); % Init Energie Datensatz
48 Leistung     = zeros(VektorSize); % Init Leistung Datensatz
49 RecuFlag     = zeros(VektorSize); % Init Rekuperationsphase Datensatz
50 StopFlag     = zeros(VektorSize); % Init Stopphase Datensatz
51
52 % Berechnung Fahrzeug spezifische Variablen
53 A=0.8*Breite*Hoehe; % Stirnfläche in m²
54 VF=1/(WM*WA);      % Verlust Faktor (Mehrverbrauchs faktor)
55
56
57 %Leistungs Berechnung in kW
58 for i=1 : size(NEFZ,2)-1;      % Durchlauf des NEFZ Datensatz
59     v1=NEFZ(i).*1000/3600;     % aktueller Punkt aus NEFZ Datensatz (in m/s)

```

```

60     v2=NEFZ(i+1).*1000/3600;           % nächster Punkt aus NEFZ Datensatz (in m/s)
61     PRW=CR*Masse*9.81*v1*0.001*VF;     % Leistung durch den Rollwiderstand (in kW)
62     PLW=CW*A*1.29*0.5*v1^3*0.001*VF;  % Leistung durch den Luftwiderstand (in kW)
63     PKI=0.5*Masse*(v2^2 - v1^2)*VF;   % Leistung zur Beschleunigung (Kinetische
    Energie in kW)
64     % Energieberechnung
65     if v1 < v2                         % FALL1: Beschleunigung
66         Leistung(i)= PRW + PLW + PKI;
67     elseif v1 == v2 && v1 ~= 0         % FALL2: konstante Geschwindigkeit
68         Leistung(i)= PRW + PLW;
69     elseif v1 == v2 && v1 == 0         % FALL3: Stopp
70         StopFlag(i)=1;
71     elseif v1 > v2                     % Fall4: Bremsvorgang
72         Leistung(i) = PRW + PLW;
73         RecuFlag(i)=1;
74     end
75 end
76
77 % Berechnung der Strecke (Zeit in ms, Strecke in km)
78 WegVektor = cumtrapz(NEFZ)./3600000;
79 WegGesamt = WegVektor(end);
80
81 % aus Leistung zur Energie in kWh
82 Energie=cumtrapz(Leistung)./(1000.*3600);
83 EnergieGesamt=Energie(end);
84
85 % Ausgabe
86 fprintf('Verbrauch auf 100 Km = %.2f kW\n',EnergieGesamt*(100/WegGesamt));
87
88 % Plot
89 figure;
90 %hold on;
91 % Figure1
92 subplot(4,1,1);
93 plot(time,NEFZ);
94 title('Neuer Europäischer Fahrzyklus');
95 xlabel('time [s]');
96 ylabel('Geschwindigkeit [km/h]');
97 grid on;
98 % Figure2
99 subplot(4,1,2);
100
101 plot(time,Leistung);
102 title('benötigte Leistung');
103 xlabel('time [s]');
104 ylabel('Leistung [kW]');
105 grid on;
106
107 % Figure3
108 subplot(4,1,3);
109 plot(time,Energie);
110 title('Verbrauchte Energie');
111 xlabel('time [s]');
112 ylabel('Energie [kWh]');
113 grid on;
114
115 % Figure4
116 subplot(4,1,4);
117 plot(time,WegVektor);

```


Identität	Hersteller	Bezeichnung	Typ	Kapazität	Nominale Spannung	Ladeschluss-Spannung	Dauer Entladestrom	max. Ladestrom
Lin1	Headway	40152SE	LiFePO4	15Ah	3,2V	3,65V	5C	4C
Lin2	Headway	40152SE	LiFePO4	15Ah	3,2V	3,65V	5C	4C
Lin3	Headway	40152SE	LiFePO4	15Ah	3,2V	3,65V	5C	4C
Lin4	Headway	40152SE	LiFePO4	15Ah	3,2V	3,65V	5C	4C

```
1 %% lineare Kalibrierung
2
3 Fluke_LOW = 1.20115; % in V
4 Fluke_HIGH = 3.2010; % in V
5 ADC_VRef = 5;
6 ADC_Bit = 16;
7 ADC_GAIN = 1;
8
9 %Berechnung aus Datenblatt des ADCs entnommen (Seite 23)
10 Fluke_LOW_Binaer = (2^ADC_Bit * Fluke_LOW * ADC_GAIN)/ADC_VRef;
11 Fluke_HIGH_Binaer = (2^ADC_Bit * Fluke_HIGH * ADC_GAIN)/ADC_VRef;
12
13 %Gemessene Werte mit dem ADC in Binärdaten
14 CELL1_LOW = [9046 9041 9041 9043 9043 9041 9040 9044 9046 9045 9048 9048 9045 9045
9047 9046 9045 9046 9049 9049 9045];
15 CELL1_HIGH = [38824 38823 38823 38825 38825 38825 38826 38827 38826 38827 38827 38830
38831 38822 38824 38823 38820 38826 38829 38829 38828];
16 CELL_L_MEAN(1) = mean(CELL1_LOW);
17 CELL_H_MEAN(1) = mean(CELL1_HIGH);
18 LOW_Falure(1) = max(CELL1_LOW) - min(CELL1_LOW);
19 High_Falure(1) = max(CELL1_HIGH) - min(CELL1_HIGH);
20
21 CELL2_LOW = [3611 3611 3612 3611 3612 3612 3611 3611 3611 3611 3611 3611 3611 3611
3611 3611 3610 3611 3611 3611 3611];
22 CELL2_HIGH = [40376 40376 40373 40371 40371 40372 40373 40375 40376 40375 40373 40371
40372 40373 40375 40376 40375 40373 40372 40372 40372];
23 CELL_L_MEAN(2) = mean(CELL2_LOW);
24 CELL_H_MEAN(2) = mean(CELL2_HIGH);
25 LOW_Falure(2) = max(CELL2_LOW) - min(CELL2_LOW);
26 High_Falure(2) = max(CELL2_HIGH) - min(CELL2_HIGH);
27
28 CELL3_LOW = [3611 3611 3610 3611 3611 3611 3611 3612 3611 3611 3610 3611 3611 3611
3611 3611 3610 3611 3610 3611 3611];
29 CELL3_HIGH = [40376 40374 40372 40371 40374 40375 40376 40377 40376 40374 40373 40373
40372 40376 40376 40376 40374 40373 40373 40372 40372];
30 CELL_L_MEAN(3) = mean(CELL3_LOW);
31 CELL_H_MEAN(3) = mean(CELL3_HIGH);
32 LOW_Falure(3) = max(CELL3_LOW) - min(CELL3_LOW);
33 High_Falure(3) = max(CELL3_HIGH) - min(CELL3_HIGH);
34
35 CELL4_LOW = [3609 3609 3609 3609 3609 3608 3609 3609 3609 3609 3609 3609 3609 3609
3609 3609 3609 3609 3609 3609];
36 CELL4_HIGH = [40373 40371 40371 40369 40369 40369 40372 40372 40372 40372 40370 40370
40370 40372 40373 40374 40372 40369 40369 40369 40369];
37 CELL_L_MEAN(4) = mean(CELL4_LOW);
38 CELL_H_MEAN(4) = mean(CELL4_HIGH);
39 LOW_Falure(4) = max(CELL4_LOW) - min(CELL4_LOW);
40 High_Falure(4) = max(CELL4_HIGH) - min(CELL4_HIGH);
41
42 CELL5_LOW = [3609 3609 3609 3609 3609 3609 3609 3609 3609 3609 3609 3609 3609 3608
3609 3609 3609 3609 3609 3609];
43 CELL5_HIGH = [40375 40375 40374 40372 40371 40371 40374 40375 40374 40374 40373 40370
40372 40372 40373 40374 40374 40372 40371 40371];
44 CELL_L_MEAN(5) = mean(CELL5_LOW);
45 CELL_H_MEAN(5) = mean(CELL5_HIGH);
46 LOW_Falure(5) = max(CELL5_LOW) - min(CELL5_LOW);
47 High_Falure(5) = max(CELL5_HIGH) - min(CELL5_HIGH);
48
49 CELL6_LOW = [3609 3609 3610 3610 3609 3610 3610 3610 3609 3610 3610 3610 3609 3610
```

```
3610 3609 3609 3609 3609 3610 3610];
50 CELL6_HIGH =[40370 40372 40373 40373 40373 40372 40371 40371 40372 40374 40373 40375
40372 40370 40369 40370 40373 40374 40374 40374];
51 CELL_L_MEAN(6) = mean(CELL6_LOW);
52 CELL_H_MEAN(6) = mean(CELL6_HIGH);
53 LOW_Falure(6) = max(CELL6_LOW) - min(CELL6_LOW);
54 High_Falure(6) = max(CELL6_HIGH) - min(CELL6_HIGH);
55
56 CELL7_LOW =[3610 3610 3609 3609 3609 3609 3609 3609 3609 3610 3610 3609 3609 3610
3609 3609 3609 3609 3609 3610 3610];
57 CELL7_HIGH =[40371 40372 40373 40375 40376 40376 40375 40372 40373 40372 40374 40374
40376 40374 40375 40373 40371 40372 40373 40376];
58 CELL_L_MEAN(7) = mean(CELL7_LOW);
59 CELL_H_MEAN(7) = mean(CELL7_HIGH);
60 LOW_Falure(7) = max(CELL7_LOW) - min(CELL7_LOW);
61 High_Falure(7) = max(CELL7_HIGH) - min(CELL7_HIGH);
62
63 CELL8_LOW =[3611 3611 3610 3610 3610 3610 3610 3611 3610 3610 3611 3610 3609 3609
3609 3610 3610 3610 3609];
64 CELL8_HIGH =[40375 40374 40373 40371 40372 40373 40376 40375 40374 40373 40370 40372
40371 40373 40374 40375 40374 40372 40371 40371];
65 CELL_L_MEAN(8) = mean(CELL8_LOW);
66 CELL_H_MEAN(8) = mean(CELL8_HIGH);
67 LOW_Falure(8) = max(CELL8_LOW) - min(CELL8_LOW);
68 High_Falure(8) = max(CELL8_HIGH) - min(CELL8_HIGH);
69
70 CELL9_LOW =[3610 3610 3610 3610 3610 3610 3609 3610 3610 3611 3610 3610 3610 3611
3610 3611 3610 3610 3610 3611];
71 CELL9_HIGH =[40375 40376 40377 40375 40373 40372 40370 40374 40375 40375 40375 40373
40372 40371 40372 40374 40375 40375 40375 40374 40374];
72 CELL_L_MEAN(9) = mean(CELL9_LOW);
73 CELL_H_MEAN(9) = mean(CELL9_HIGH);
74 LOW_Falure(9) = max(CELL9_LOW) - min(CELL9_LOW);
75 High_Falure(9) = max(CELL9_HIGH) - min(CELL9_HIGH);
76
77 CELL10_LOW =[3610 3611 3610 3610 3611 3610 3610 3610 3610 3610 3610 3610 3610 3611
3611 3610 3609 3610 3610 3610 3610];
78 CELL10_HIGH =[40371 40372 40373 40374 40375 40374 40373 40372 40370 40371 40374 40374
40375 40373 40373 40371 40371 40373 40373 40373 40373];
79 CELL_L_MEAN(10) = mean(CELL10_LOW);
80 CELL_H_MEAN(10) = mean(CELL10_HIGH);
81 LOW_Falure(10) = max(CELL10_LOW) - min(CELL10_LOW);
82 High_Falure(10) = max(CELL10_HIGH) - min(CELL10_HIGH);
83
84 CELL11_LOW =[3609 3610 3610 3609 3610 3610 3610 3609 3609 3610 3610 3609 3608 3609
3609 3609 3609 3609 3609 3609 3609];
85 CELL11_HIGH =[40374 40372 40370 40369 40370 40372 40374 40374 40374 40370 40371 40371
40372 40374 40376 40374 40372 40372 40369 40371 40371];
86 CELL_L_MEAN(11) = mean(CELL11_LOW);
87 CELL_H_MEAN(11) = mean(CELL11_HIGH);
88 LOW_Falure(11) = max(CELL11_LOW) - min(CELL11_LOW);
89 High_Falure(11) = max(CELL11_HIGH) - min(CELL11_HIGH);
90
91 CELL12_LOW =[3608 3610 3608 3609 3608 3608 3609 3609 3608 3609 3609 3609 3609 3609
3608 3609 3609 3609 3609 3608 3608];
92 CELL12_HIGH =[40374 40374 40373 40370 40370 40371 40373 40373 40376 40374 40373 40371
40372 40370 40373 40373 40375 40373 40371 40370 40370];
93 CELL_L_MEAN(12) = mean(CELL12_LOW);
94 CELL_H_MEAN(12) = mean(CELL12_HIGH);
```

```
95 LOW_Falure(12) = max(CELL12_LOW) - min(CELL12_LOW);
96 High_Falure(12) = max(CELL12_HIGH) - min(CELL12_HIGH);
97
98 %%Calculation of gain and offset
99 Diff = Fluke_HIGH_Binaer - Fluke_LOW_Binaer;
100 Multiplikator = 5/2^ADC_Bit * 1000000;
101
102 for i= 1:12
103     Gain(i)=Diff/(CELL_H_MEAN(i)-CELL_L_MEAN(i));
104     Offset(i)=Fluke_LOW_Binaer-CELL_L_MEAN(i)*Gain(i);
105     fprintf('Gain%d:%d      Offset%d:%d      LowAbweichung:%d      HighAbweichung:%d\n',i,
106         round(Gain(i)*1000*Multiplikator),i,round(Offset(i)*Multiplikator),LOW_Falure(i),
107         High_Falure(i));
108 end
109
110 %% Überprüfung
111 % Übernahme der Ausgegebenen Daten
112 % alle Werte werden positiv angegeben
113 Gain      = 80589;
114 Offset    = 471845;
115
116 Spannung = [0.25039 0.50027 0.74883 1.0025 1.2507 1.5006 1.7522 2.0028 2.2513 2.5019
117             2.75 3.0026 3.251 3.5 3.75 4]; % in V
118 ADC_CODE = [1728 3490 5202 7058 9620 12408 15366 18400 21557 24800 27941 31196 34375
119             37548 40739 43917]; % zur Spannung gehörender ADC Code
120 Input     = [0.25 0.5 0.75 1 1.25 1.5 1.75 2 2.25 2.5 2.75 3 3.255 3.5 3.75 4]; %
121           ideale Kennlinie in V
122
123 % implementierte Kalibriergleichung
124 AusgabeKorekt = ADC_CODE .* Gain ./ 1000 + Offset;
125
126 subplot(2,1,1); % Kalibrierte Übertragungsfunktion
127 plot(Input,Input,'*',Spannung,AusgabeKorekt./1000000,'r');
128 title('Ergebniss Kalibrierung');
129 legend('ideale Übertragungskennlinie','kalibrierte Kennlinie');
130 xlabel('ADC Eingang in V');
131 ylabel('ADC Ausgabe Codiert');
132 grid on;
133 subplot(2,1,2); % Fehler nach Kalibrierung
134 plot(Spannung,(Spannung-(AusgabeKorekt./1000000))*1000,'g');
135 title('Fehler nach Kalibrierung');
136 legend('quadratischer Korrekturfehler');
137 xlabel('ADC Eingang in V');
138 ylabel('Fehler in mV');
139 grid on;
```



```
1  %% quadratische Kalibrierung
2
3  Fluke_LOW    = 1.2002;  % in V
4  FLUKE_MIDDLE = 2.0005;  % in V
5  Fluke_HIGH   = 3.2019;  % in V
6  ADC_VRef     = 5;
7  ADC_Bit      = 16;
8  ADC_GAIN     = 1;
9
10 %Berechnung aus Datenblatt des ADCs entnommen (Seite 23)
11 Fluke_LOW_Binaer = (2^ADC_Bit * Fluke_LOW * ADC_GAIN)/ADC_VRef;
12 Fluke_MID_Binaer = (2^ADC_Bit * FLUKE_MIDDLE * ADC_GAIN)/ADC_VRef;
13 Fluke_HIGH_Binaer = (2^ADC_Bit * Fluke_HIGH * ADC_GAIN)/ADC_VRef;
14
15 %Gemessene Werte mit dem ADC in Binärdaten
16 CELL1_LOW    = [9051 9059 9052 9056 9056 9060 9064 9059 9060 9064 9067 9060 9061 9062
    9060 9065 9054 9061 9058 9059 9056 9053 9050 9050 9052 9057 9056 9052 9053 9058
    9058 9055 9058 9055 9056 9053 9051];
17 CELL1_MIDDLE = [23497 23501 23504 23502 23502 23504 23500 23505 23502 23504 23507
    23505 23508 23508 23508 23505 23512 23514 23508 23509 23510 23505 23501 23499 23501
    23503 23502 23496 23497 23500 23496 23500 23501 23500 23504 23503 23499 23501 23495
    23495];
18 CELL1_HIGH   = [38826 38833 38833 38827 38837 38838 38841 38835 38841 38845 38841
    38841 38846 38847 38846 38838 38845 38847 38844 38846 38847 38847 38847 38847 38847
    38847 38848 38850 38849 38856 38859 38855 38851 38851 38853 38857 38856 38862 38855
    38855];
19 CELL_L_MEAN(1) = mean(CELL1_LOW);
20 CELL_M_MEAN(1) = mean(CELL1_MIDDLE);
21 CELL_H_MEAN(1) = mean(CELL1_HIGH);
22 LOW_Falure(1)  = max(CELL1_LOW) - min(CELL1_LOW);
23 MID_Falure(1)  = max(CELL1_MIDDLE) - min(CELL1_MIDDLE);
24 High_Falure(1) = max(CELL1_HIGH) - min(CELL1_HIGH);
25
26 CELL2_LOW    = [9048 9045 9043 9044 9050 9043 9045 9046 9003 9050 9050 9046 9046 9048
    9049 9049 9050 9052 9057 9050 9056 9051 9052 9056 9050 9055 9055 9055 9054 9055 9057
    9052 9055 9057 9061 9059 9061 9056 9056];
27 CELL2_MIDDLE = [23510 23512 23510 23517 23512 23512 23516 23517 23514 23515 23514
    23515 23521 23519 23519 23520 23523 23519 23523 23527 23526 23522 23517 23527 23522
    23519 23519 23525 23521 23520 23523 23525 23527 23525 23524 23522 23524 23521 23523
    23523];
28 CELL2_HIGH   = [38856 38853 38850 38851 38856 38854 38850 38854 38852 38854 38852
    38853 38853 38851 38855 38851 38849 38852 38849 38851 38850 38846 38849 38849 38849
    38858 38855 38849 38856 38856 38854 38852 38854 38851 38852 38855 38849 38851 38854
    38854];
29 CELL_L_MEAN(2) = mean(CELL2_LOW);
30 CELL_M_MEAN(2) = mean(CELL2_MIDDLE);
31 CELL_H_MEAN(2) = mean(CELL2_HIGH);
32 LOW_Falure(2)  = max(CELL2_LOW) - min(CELL2_LOW);
33 MID_Falure(2)  = max(CELL2_MIDDLE) - min(CELL2_MIDDLE);
34 High_Falure(2) = max(CELL2_HIGH) - min(CELL2_HIGH);
35
36 CELL3_LOW    = [9067 9063 9059 9058 9061 9063 9062 9063 9062 9058 9064 9065 9067 9068
    9065 9070 9067 9069 9072 9066 9068 9073 9072 9071 9055 9050 9050 9051 9047 9043 9045
    9050 9040 9040 9043 9046 9046 9044 9037];
37 CELL3_MIDDLE = [23509 23511 23511 23509 23510 23514 23513 23513 23515 23513 23513
    23504 23498 23498 23507 23504 23508 23498 23505 23505 23506 23503 23505 23506 23504
    23504 23509 23507 23505 23504 23509 23507 23513 23509 23510 23510 23509 23507 23513
    23513];
38 CELL3_HIGH   = [38853 38853 38858 38857 38856 38861 38856 38858 38858 38859 38859
```

```
38858 38862 38862 38856 38860 38857 38860 38858 38861 38862 38863 38860 38862 38863
38863 38871 38869 38867 38867 38862 38869 38866 38862 38863 38865 38868 38866 38866
38866];
39 CELL_L_MEAN(3) = mean(CELL3_LOW);
40 CELL_M_MEAN(3) = mean(CELL3_MIDDLE);
41 CELL_H_MEAN(3) = mean(CELL3_HIGH);
42 LOW_Falure(3) = max(CELL3_LOW) - min(CELL3_LOW);
43 MID_Falure(3) = max(CELL3_MIDDLE) - min(CELL3_MIDDLE);
44 High_Falure(3) = max(CELL3_HIGH) - min(CELL3_HIGH);
45
46 CELL4_LOW = [9111 9106 9109 9112 9111 9105 9114 9110 9111 9109 9107 9111 9107 9111
9106 9103 9105 9106 9105 9107 9107 9100 9104 9102 9110 9100 9097 9095 9092 9096 9092
9093 9094 9094 9089 9086 9089 9094 9093 9093];
47 CELL4_MIDDLE = [23503 23501 23500 23502 23502 23502 23505 23499 23502 23505 23515
23515 23522 23517 23515 23510 23513 23512 23512 23511 23509 23512 23508 23509 23512
23513 23516 23519 23515 23514 23513 23513 23510 23514 23516 23513 23514 23516 23515
23515];
48 CELL4_HIGH = [38848 38852 38858 38859 38855 38858 38858 38858 38861 38860 38859
38860 38860 38859 38862 38861 38869 38868 38864 38869 38872 38874 38868 38870 38870
38868 38867 38869 38874 38874 38874 38873 38868 38865 38866 38867 38863 38864 38866
38866];
49 CELL_L_MEAN(4) = mean(CELL4_LOW);
50 CELL_M_MEAN(4) = mean(CELL4_MIDDLE);
51 CELL_H_MEAN(4) = mean(CELL4_HIGH);
52 LOW_Falure(4) = max(CELL4_LOW) - min(CELL4_LOW);
53 MID_Falure(4) = max(CELL4_MIDDLE) - min(CELL4_MIDDLE);
54 High_Falure(4) = max(CELL4_HIGH) - min(CELL4_HIGH);
55
56 CELL5_LOW = [9071 9070 9072 9070 9065 9066 9068 9070 9067 9067 9067 9066 9062 9063
9064 9067 9063 9059 9056 9060 9061 9061 9064 9065 9062 9063 9070 9078 9087 9085 9086
9089 9090 9100 9099 9099 9103 9101 9098 9098];
57 CELL5_MIDDLE = [23492 23492 23490 23495 23492 23491 23492 23490 23485 23487 23491
23487 23486 23490 23490 23489 23486 23486 23488 23489 23486 23487 23494 23485 23487
23490 23489 23484 23487 23490 23488 23484 23486 23488 23488 23492 23491 23491 23491
23491];
58 CELL5_HIGH = [38835 38839 38840 38846 38842 38842 38844 38849 38849 38842 38844
38847 38847 38846 38844 38845 38850 38854 38855 38853 38855 38847 38850 38850 38852
38852 38848 38849 38845 38848 38848 38849 38846 38847 38852 38846 38850 38848 38855
38855];
59 CELL_L_MEAN(5) = mean(CELL5_LOW);
60 CELL_M_MEAN(5) = mean(CELL5_MIDDLE);
61 CELL_H_MEAN(5) = mean(CELL5_HIGH);
62 LOW_Falure(5) = max(CELL5_LOW) - min(CELL5_LOW);
63 MID_Falure(5) = max(CELL5_MIDDLE) - min(CELL5_MIDDLE);
64 High_Falure(5) = max(CELL5_HIGH) - min(CELL5_HIGH);
65
66 CELL6_LOW = [9066 9064 9065 9070 9066 9068 9062 9061 9063 9066 9064 9063 9061 9055
9057 9058 9058 9060 9059 9060 9058 9056 9061 9070 9070 9061 9064 9066 9065 9063 9064
9065 9061 9067 9069 9069 9069 9069 9065 9065];
67 CELL6_MIDDLE = [23515 23518 23519 23521 23520 23519 23516 23515 23515 23514 23515
23502 23506 23503 23501 23499 23499 23499 23499 23501 23504 23503 23499 23497 23500
23500 23504 23505 23504 23503 23509 23506 23509 23514 23513 23515 23513 23516 23513
23513];
68 CELL6_HIGH = [38844 38841 38841 38840 38840 38842 38842 38837 38842 38841 38835
38839 38838 38844 38843 38845 38841 38843 38842 38842 38841 38846 38849 38852 38852
38853 38848 38852 38851 38853 38855 38855 38858 38851 38855 38855 38853 38856 38854
38854];
69 CELL_L_MEAN(6) = mean(CELL6_LOW);
70 CELL_M_MEAN(6) = mean(CELL6_MIDDLE);
```

```
71 CELL_H_MEAN(6) = mean(CELL6_HIGH);
72 LOW_Falure(6) = max(CELL6_LOW) - min(CELL6_LOW);
73 MID_Falure(6) = max(CELL6_MIDDLE) - min(CELL6_MIDDLE);
74 High_Falure(6) = max(CELL6_HIGH) - min(CELL6_HIGH);
75
76 CELL7_LOW = [9059 9058 9058 9059 9061 9059 9061 9061 9063 9057 9059 9058 9057 9059
9061 9063 9059 9060 9060 9065 9066 9065 9060 9062 9064 9060 9059 9065 9062 9061 9066
9068 9064 9063 9060 9062 9068 9069 9067 9067];
77 CELL7_MIDDLE = [23517 23515 23520 23522 23524 23515 23519 23520 23522 23519 23521
23522 23524 23528 23527 23528 23528 23523 23519 23518 23515 23511 23511 23506 23507
23512 23508 23512 23513 23514 23520 23516 23517 23516 23517 23521 23522 23523 23525
23525];
78 CELL7_HIGH = [38869 38870 38865 38866 38867 38865 38860 38860 38860 38861 38859
38853 38854 38854 38852 38855 38854 38853 38854 38856 38851 38852 38851 38853 38854
38847 38852 38854 38856 38856 38850 38852 38850 38851 38852 38851 38850 38849 38851
38851];
79 CELL_L_MEAN(7) = mean(CELL7_LOW);
80 CELL_M_MEAN(7) = mean(CELL7_MIDDLE);
81 CELL_H_MEAN(7) = mean(CELL7_HIGH);
82 LOW_Falure(7) = max(CELL7_LOW) - min(CELL7_LOW);
83 MID_Falure(7) = max(CELL7_MIDDLE) - min(CELL7_MIDDLE);
84 High_Falure(7) = max(CELL7_HIGH) - min(CELL7_HIGH);
85
86 CELL8_LOW = [9051 9061 9057 9057 9055 9053 9055 9058 9062 9057 9063 9064 9064 9063
9066 9066 9065 9067 9064 9061 9065 9056 9062 9062 9062 9057 9061 9059 9065 9058 9058
9054 9055 9054 9052 9055 9055 9058 9059 9059];
87 CELL8_MIDDLE = [23525 23522 23524 23525 23522 23524 23523 23520 23531 23530 23529
23527 23529 23526 23521 23512 23508 23509 23503 23497 23500 23503 23499 23500 23502
23505 23504 23502 23505 23505 23499 23502 23506 23507 23507 23506 23507 23506 23505
23505];
88 CELL8_HIGH = [38881 38880 38876 38873 38875 38874 38867 38866 38867 38872 38871
38866 38864 38864 38861 38864 38860 38863 38864 38863 38863 38860 38863 38859 38862
38861 38859 38860 38863 38860 38861 38864 38867 38867 38864 38868 38865 38864 38861
38861];
89 CELL_L_MEAN(8) = mean(CELL8_LOW);
90 CELL_M_MEAN(8) = mean(CELL8_MIDDLE);
91 CELL_H_MEAN(8) = mean(CELL8_HIGH);
92 LOW_Falure(8) = max(CELL8_LOW) - min(CELL8_LOW);
93 MID_Falure(8) = max(CELL8_MIDDLE) - min(CELL8_MIDDLE);
94 High_Falure(8) = max(CELL8_HIGH) - min(CELL8_HIGH);
95
96 CELL9_LOW = [9035 9040 9039 9036 9036 9037 9039 9039 9040 9045 9040 9041 9043 9037
9041 9040 9040 9040 9039 9041 9044 9040 9040 9038 9040 9039 9043 9043 9047 9042 9043
9046 9050 9050 9054 9047 9052 9050 9055 9055];
97 CELL9_MIDDLE = [23532 23532 23532 23532 23533 23529 23530 23529 23529 23529 23530
23531 23533 23530 23529 23533 23530 23529 23529 23533 23532 23525 23526 23529 23528
23528 23525 23519 23522 23523 23521 23522 23519 23522 23522 23517 23519 23523 23522
23522];
98 CELL9_HIGH = [38869 38864 38861 38861 38863 38863 38860 38861 38857 38862 38861
38861 38861 38863 38862 38858 38855 38857 38857 38858 38856 38852 38852 38854 38855
38854 38853 38854 38857 38855 38858 38856 38857 38853 38854 38859 38864 38862 38859
38859];
99 CELL_L_MEAN(9) = mean(CELL9_LOW);
100 CELL_M_MEAN(9) = mean(CELL9_MIDDLE);
101 CELL_H_MEAN(9) = mean(CELL9_HIGH);
102 LOW_Falure(9) = max(CELL9_LOW) - min(CELL9_LOW);
103 MID_Falure(9) = max(CELL9_MIDDLE) - min(CELL9_MIDDLE);
104 High_Falure(9) = max(CELL9_HIGH) - min(CELL9_HIGH);
105
```

```
106 CELL10_LOW = [9082 9084 9082 9083 9086 9087 9088 9085 9086 9086 9084 9087 9088
9090 9089 9090 9089 9088 9087 9087 9090 9092 9090 9091 9091 9091 9092 9090 9090 9092
9087 9091 9090 9092 9086 9084 9086 9083 9085 9085];
107 CELL10_MIDDLE = [23514 23521 23516 23514 23516 23519 23525 23517 23518 23519 23526
23523 23521 23525 23528 23527 23523 23523 23528 23536 23533 23530 23532 23535 23535
23531 23526 23531 23532 23529 23529 23530 23530 23527 23531 23528 23531 23526 23532
23532];
108 CELL10_HIGH = [38849 38855 38859 38857 38860 38857 38853 38856 38854 38856 38856
38853 38851 38853 38850 38852 38854 38854 38850 38849 38853 38852 38852 38851 38854
38855 38857 38857 38852 38854 38853 38854 38858 38855 38854 38854 38854 38854 38860];
109 CELL_L_MEAN(10) = mean(CELL10_LOW);
110 CELL_M_MEAN(10) = mean(CELL10_MIDDLE);
111 CELL_H_MEAN(10) = mean(CELL10_HIGH);
112 LOW_Falure(10) = max(CELL10_LOW) - min(CELL10_LOW);
113 MID_Falure(10) = max(CELL10_MIDDLE) - min(CELL10_MIDDLE);
114 High_Falure(10) = max(CELL10_HIGH) - min(CELL10_HIGH);
115
116 CELL11_LOW = [9083 9084 9085 9088 9085 9083 9075 9075 9073 9076 9074 9073 9078
9077 9081 9083 9082 9088 9087 9090 9088 9090 9083 9079 9077 9078 9082 9083 9085 9087
9085 9082 9085 9085 9085 9083 9088 9088 9089 9089];
117 CELL11_MIDDLE = [23499 23501 23505 23509 23510 23508 23512 23511 23508 23514 23511
23509 23513 23515 23510 23509 23508 23511 23510 23509 23512 23506 23508 23515 23510
23507 23516 23516 23517 23520 23524 23523 23522 23518 23523 23517 23519 23520 23519
23519];
118 CELL11_HIGH = [38839 38840 38839 38841 38843 38846 38849 38847 38846 38842 38840
38839 38843 38839 38837 38834 38839 38840 38843 38842 38844 38838 38840 38838 38845
38843 38843 38840 38839 38840 38838 38843 38844 38847 38846 38843 38837 38840 38840
38840];
119 CELL_L_MEAN(11) = mean(CELL11_LOW);
120 CELL_M_MEAN(11) = mean(CELL11_MIDDLE);
121 CELL_H_MEAN(11) = mean(CELL11_HIGH);
122 LOW_Falure(11) = max(CELL11_LOW) - min(CELL11_LOW);
123 MID_Falure(11) = max(CELL11_MIDDLE) - min(CELL11_MIDDLE);
124 High_Falure(11) = max(CELL11_HIGH) - min(CELL11_HIGH);
125
126 CELL12_LOW = [9067 9065 9065 9065 9060 9059 9059 9061 9066 9061 9059 9060 9062
9057 9064 9062 9065 9060 9064 9065 9064 9062 9062 9062 9060 9061 9061 9057 9058
9057 9060 9057 9062 9056 9060 9055 9052 9054 9054];
127 CELL12_MIDDLE = [23522 23518 23516 23511 23515 23513 23508 23508 23508 23513 23512
23512 23514 23514 23512 23514 23511 23510 23501 23493 23496 23496 23497 23496 23498
23493 23497 23496 23495 23495 23491 23494 23490 23494 23492 23489 23493 23488 23490];
128 CELL12_HIGH = [38849 38847 38848 38848 38854 38851 38850 38849 38855 38856 38854
38854 38854 38855 38853 38847 38849 38849 38849 38847 38846 38843 38845 38847 38848
38847 38846 38843 38848 38847 38849 38844 38844 38847 38845 38843 38846 38844 38842];
129 CELL_L_MEAN(12) = mean(CELL12_LOW);
130 CELL_M_MEAN(12) = mean(CELL12_MIDDLE);
131 CELL_H_MEAN(12) = mean(CELL12_HIGH);
132 LOW_Falure(12) = max(CELL12_LOW) - min(CELL12_LOW);
133 MID_Falure(12) = max(CELL12_MIDDLE) - min(CELL12_MIDDLE);
134 High_Falure(12) = max(CELL12_HIGH) - min(CELL12_HIGH);
135
136 Multiplikator = 5/2^ADC_Bit * 1000000;
137 Y = [Fluke_LOW_Binaer ;Fluke_MID_Binaer; Fluke_HIGH_Binaer];
138
139 for i= 1:12
140 A = [CELL_L_MEAN(i)*CELL_L_MEAN(i), CELL_L_MEAN(i), 1; CELL_M_MEAN(i)*CELL_M_MEAN(i)
),CELL_M_MEAN(i),1;CELL_H_MEAN(i)*CELL_H_MEAN(i),CELL_H_MEAN(i),1 ];
141 X = inv(A)*Y;
```

```
142 Faktor1 = X(1)*Multiplikator*1000000;
143 Faktor2 = X(2)*Multiplikator*1000;
144 Faktor3 = X(3)*Multiplikator;
145 fprintf('%dA:%d      %dB:%d %dC:%d LowAbweichung:%d MidAbweichung:%d
HighAbweichung:%d\n',i,round(Faktor1),i,round(Faktor2),i,round(Faktor3),LOW_Falure(
i),MID_Falure(i),High_Falure(i));
146 end
147
148 %% Überprüfung
149 % Übernahme der Ausgegebenen Daten
150 % alle Werte werden positiv angegeben
151 A      = 151;
152 B      = 87834;
153 C      = 418673;
154 Spannung = [0.25039 0.50027 0.74883 1.0025 1.2507 1.5006 1.7522 2.0028 2.2513 2.5019
2.75 3.0026 3.251 3.5 3.75 4]; % in V
155 ADC_CODE = [1728 3490 5202 7058 9620 12408 15366 18400 21557 24800 27941 31196 34375
37548 40739 43917]; % zur Spannung gehörender ADC Code
156 Input     = [0.25 0.5 0.75 1 1.25 1.5 1.75 2 2.25 2.5 2.75 3 3.255 3.5 3.75 4]; %
ideale Kennlinie in V
157
158 % implementierte Kalibrierungsgleichung
159 AusgabeKorekt = (ADC_CODE.*B - ADC_CODE.*ADC_CODE/1000*A)/1000 + C;
160
161 subplot(2,1,1); % Kalibrierte Übertragungsfunktion
162 plot(Input,Input,'*',Spannung,AusgabeKorekt./1000000,'r');
163 title('Ergebniss Kalibrierung');
164 legend('ideale Übertragungskennlinie','kalibrierte Kennlinie');
165 xlabel('ADC Eingang in V');
166 ylabel('ADC Ausgabe Codiert');
167 grid on;
168 subplot(2,1,2); % Fehler nach Kalibrierung
169 plot(Spannung,(Spannung-(AusgabeKorekt./1000000))*1000,'g');
170 title('Fehler nach Kalibrierung');
171 legend('quadratischer Korrekturfehler');
172 xlabel('ADC Eingang in V');
173 ylabel('Fehler in mV');
174 grid on;
```

KURZANLEITUNG V3

FÜR DEN

BATTERIE ZYKLIERPRÜFSTAND

INHALT

1 Übersicht über die Bedienoberfläche	3
2 Anschlussvorgaben für den Batterieprüfling	6
3 Anbindung über USB und Ethernet	7
3.1. USB bzw. virtuelle UART Schnittstelle über hTerm	7
3.2. Ethernet Schnittstelle über VPN Ansprechen	10
3.3. Ethernet Schnittstelle über RealTerm.....	11
3.4. Ethernet Schnittstelle über MatLab	13
4 Konfigurationsdatei.....	14
5 LCD-Display und Inbetriebnahme.....	16
6 Beispielmessungen.....	18
Beispielmessung A.....	18
Beispielmessung B.....	20

1 ÜBERSICHT ÜBER DIE BEDIENOBERVERFLÄCHE

- 1.) Das Frontpanel bietet mehrere Bedienschnittstellen und Anschlussmöglichkeiten. Das Frontpanel ist in der Abb. 1 abgebildet:

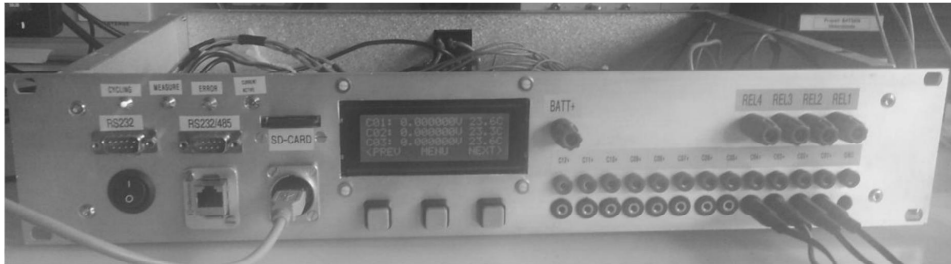


Abbildung 1: Ansicht Frontpanel

- 2.) Über den Ein-/Ausschalter (Abb. 2) lässt sich der Zyklrierprüfstand in Betrieb nehmen. Die Stromversorgung wird der Elektronik zugeschaltet. An der Rückseite befindet sich ein zusätzlicher Schalter für die Netzspannung.



Abbildung 2: Linker Teil des Frontpanels

- 3.) Im SD-Karten Slot befindet sich eine SD-Karte, auf der die Konfigurationsdatei (Kap. 4) abgelegt sein muss. Die Messdaten werden auf diese SD-Karte gespeichert. Die maximale Größe der SD-Karte ist auf 4 GB beschränkt und SDHC Karten werden nicht unterstützt. Die Speicherkarte muss im FAT16 oder FAT32 formatiert sein.

4.) Die vier LEDs am Panel signalisieren den aktuellen Status des Zyklrierprüfstandes (Tab. 1):

Tabelle 1: LEDs am Frontpanel

LED	Funktion
Cycling	Aktuell im Zyklrierbetrieb (blinkend)
Measure	Signalisierung Aktion Messdatenaufnahme
ERROR	Fehler in der Software
Current Active	Lastkreis treibt Strom

5.) Tritt ein Fehler in der Software auf, so werden alle Lasten getrennt und die Messung aus sicherheitstechnischen Gründen gestoppt. Der Fehler wird mit der LED ERROR am Panel signalisiert.

6.) Die Anschlüsse RS232 & RS232/485 sind in der Software nicht aktiviert.

7.) Über ein USB-Kabel kann die Kommunikation über UART mit einem PC stattfinden (Kap. 3.1).

8.) Über ein ETHERNET-Anschluss kann über LAN eine Verbindung aufgebaut werden (Kap. 3.2).



Abbildung 3: Mittlerer Teil des Frontpanels

9.) Über das LC-Display (Abb. 3) erfolgt eine Informationsausgabe. Das Display kann über drei Taster bedient werden (Kap. 5).



Abbildung 4: Rechter Teil des Frontpanels

- 10.) Im rechten Teil des Frontpanels befinden sich die Anschlüsse für den Batterieprüfling. Es sind die Anschlussvorgaben zu beachten (Kap. 2).

2 ANSCHLUSSVORGABEN FÜR DEN BATTERIEPRÜFLING

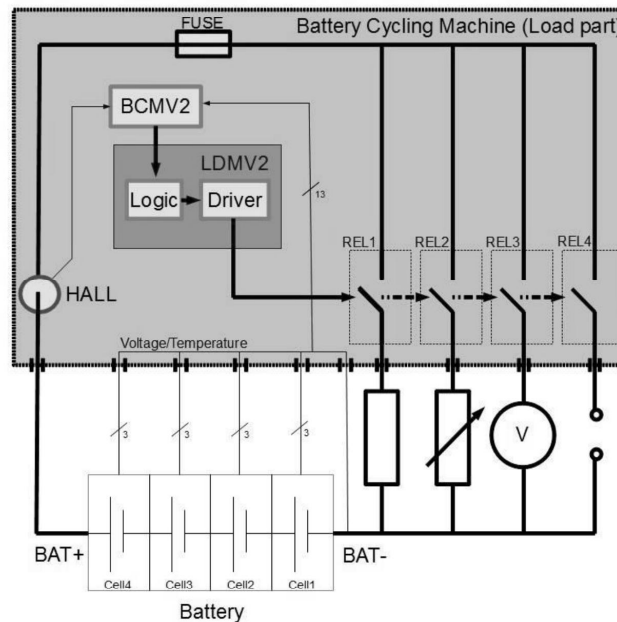


Abbildung 5: Interne Beschaltung der Lastrelais am Bsp. mit 4 Zellen

- 1.) Der Batterieprüfling wird zellenweise an die Messkontakte des Zyklrierprüfstandes (rote Buchsen C01+ - C12+) angeschlossen. Ein Beispiel zeigt Abb. 5.
- 2.) Die Aufzählung der Zellen (1- 12) geht von der Masse der Batterie aus. Die Masse des Batterieprüflings wird als Null-Potential am GND-Messkontakt (schwarzen Buchse GND) angeschlossen. Es sind maximal 5 V Zellspannung erlaubt.
- 3.) Der Pluspol der gesamten Batterie wird an den Leistungsanschluss "BATT+" des Zyklrierprüfplatzes angeschlossen.
- 4.) Externe Geräte (Ladegerät, Entladegerät, etc.) werden an die Lastrelaisanschlüsse (REL1 - REL4) wahlweise mit dem positiven Pol angeschlossen.
- 5.) Masse des Batterieprüflings und externer Geräte werden außerhalb des Zyklrierprüfplatzes zusammengeschaltet. Der Zyklrierprüfplatz schaltet mit den Lastrelais das obere Spannungspotential auf eines der Geräte, wodurch der Stromfluss möglich wird.
- 6.) Der interne Lastkreis des Prüfstandes ist auf max. 30 A ausgelegt. Eine 30 A Sicherung ist im internen Lastkreis verbaut. Die neue größere Version kann an Relais 1 bis zu 500 A schalten. Hierfür ist ebenfalls eine Sicherung verbaut.
- 7.) Die NTC-Temperatur Sensoren werden über einen 3,5 mm Mono-Klinkenanschluss je Zelle angeschlossen und direkt an die jeweilige Batteriezelle montiert.

3 ANBINDUNG ÜBER USB UND ETHERNET

3.1. USB BZW. VIRTUELLE UART SCHNITTSTELLE ÜBER hTERM

- 1.) Über die virtuelle UART-Schnittstelle lässt sich mit einem Terminal Programm wie z.B. hTerm über Befehle der Zyklrierprüfplatz steuern. Dabei muss das Terminal mit folgenden Einstellungen (Tab. 2) versehen werden:

Tabelle 2: Einstellungen UART-Schnittstelle

Baudrate	115200
Data	8 bit
Stop	1 bit
Parity	None
Newline	CR & LF
Option	DTR

- 2.) Es werden USB-Treiber für den Zyklrierprüfstand benötigt. Die Treiber können auf der Homepage von FTDI gefunden werden. Es wird der FTDI-Treiber in der Version 2.06.00 benötigt.
- 3.) Am Anfang befindet sich der Zyklrierprüfstand im Menü "Main" (Abb. 6). Über den Befehl "help" kann eine Auflistung der verfügbaren Befehle aufgerufen werden.

```

*****
***      Battery Cycle Machine      ****
*****

Enter Command (type <help> to see list of commands):
Main: > help
Available commands
-----
help   : Display list of commands
h      : alias for help
?      : alias for help
browser: SD-Card browser
config : Configuration
start  : Start measurement cycling
stop   : Stop measurement cycling

```

Abbildung 6: Terminalausgabe im Menü 'Main'

4.) Tab. 3 listet den Befehlssatz im Menü "Main" auf.

Tabelle 3: Befehlssatz im Kontextmenü 'Main'

Befehl	Beschreibung
help	Listet alle möglichen Befehle auf
h	Abkürzung für 'help'
?	Abkürzung für 'help'
browser	Aufrufen des Kontextmenü SD-Karten Browser (Tab. 4)
config	Aufrufen des Konfigurationsmenüs (Tab. 5)
alive	Abfrage, ob Zyklusmessung aktiv
start	Start der Zyklusmessung
stop	Manueller Stop der Zyklusmessung

5.) Über den Befehl "start" kann eine zyklische Messdatenerfassung gestartet werden. Die Messung läuft über die in der Konfigurationsdatei eingestellte Gesamtdauer "Measuretime"

6.) Über den Befehl "stop" kann eine zyklische Messdatenerfassung abgebrochen werden.

7.) Tab. 4 listet den Befehlssatz im Menü "SD-Card" auf.

Tabelle 4: Befehlssatz im Kontextmenü 'SD-Card'

Befehl	Beschreibung
help	Listet alle möglichen Befehle auf
h	Abkürzung für 'help'
?	Abkürzung für 'help'
reinit	Re-Initialisierung der SD-Karte
ls	Auflistung der auf SD-Karte vorhandenen Dateien
chdir	Wechsel des Verzeichnisses auf der SD-Karte
cd	Abkürzung für 'chdir'
pwd	Wiedergabe des aktuellen Verzeichnisses
cat	Aufzeigen des Inhalts einer Datei (nur im Idle Mode)
cre	Erzeuge eine Datei
del	Lösche eine Datei
exit	Zurück zum Kontextmenü 'Main'

8.) Tab. 5 listet den Befehlssatz im Menü "Config" auf.

Tabelle 5: Befehlssatz im Kontextmenü 'Config'

Befehl	Beschreibung
help	Listet alle möglichen Befehle auf
h	Abkürzung für 'help'
?	Abkürzung für 'help'
print	Wiedergabe der aktuellen Konfiguration
quantity	Setze die Anzahl der zu messenden Zellen (1 - 12)
cyclestep	Setze Zeitabstand zwischen zyklischer Messung in Sekunden (0-85)
gain	Setze kanalabhängig Verstärkungsfaktor für ADC (z.B. 'gain 1 76273500')
offset	Setze kanalabhängig Offset für ADC (z.B. 'offset 1 120')
calibrate	Null-Punkt Kalibrierung der Strommessung
ip	Setze IP-Adresse ('192.168.000.128')
relais	Manuel Lastrelais aktivieren (z.B. 'relais 1')
relsel	Wähle für die Ablaufsteuerung an entsprechender Stelle und Zeitpunkt ein Lastrelais (z.B. 'relsel 1 wait 120 3')
relqua	Setze die Anzahl der Lastrelaisumschaltzeiten (1 - 99)
meastime	Setze Laufzeit der gesamten Messung in Minuten (0-99999)
save	Speichere aktuelle Konfiguration auf die SD-Karte (überschreibt config.txt)
clock	Setze die aktuelle Systemzeit und Datum (z.B. clock 10.12.2013 13:45)
vlmitis	Setze die obere und untere Zellspannungsgrenze in mV (z.B. vllimits 2500 3500)
maxcurr	Setze die maximal erlaubte Stromstärke in mA (z.B. maxcurr 1500)
maxcycletime	Setze die maximale Zyklrierdauer in Minuten (z.B. maxcycletime 1000)
maxtemp	Setze die maximale Zelltemperatur in °C (z.B. maxtemp 50)
maxcharge	Setze die maximale Ladungsmenge in mAh (z.B. maxcharge 500)
load	Lade die Konfiguration von der SD-Karte
exit	Zurück zum Kontextmenü 'Main'

9.) Über den Befehl *relsel* können verschiedene Zyklrierschritte konfiguriert werden. Auf diese Weise können zeit- und auch spannungsabhängige Schaltereignisse vorgegeben werden. Eine Liste der möglichen Schritttypen, welche an die 2. Stelle des *relsel* Befehls geschrieben werden, ist nachfolgend dargestellt.

Zyklrierschritt	Beschreibung
<i>wait</i>	Relative Wartezeit in Minuten
<i>charge_cellV</i>	Warten, bis eine der Zellen die angegebene Zellspannung erreicht hat
<i>discharge_cellV</i>	Warten, bis eine der Zellen die angegebene Zellspannung unterschritten hat
<i>charge_batV</i>	Warten, bis die Batterie die angegebene Gesamtspannung überschritten hat
<i>discharge_batV</i>	Warten, bis die Batterie die angegebene Gesamtspannung unterschritten hat

→ Beispiel: `relsel 3 charge_cellV 3000 1` → 3.Zyklrierschritt: Zellspannungsladung bis 3 V und Relais 1 wird geschaltet.

10.) Über die Befehle geänderten Konfigurationsparameter werden nicht automatisch auf der SD-Karte gespeichert. Eine über das Menü geänderte Konfiguration kann über den Befehl "save" auf der SD-Karte gespeichert werden. Die alte "config.txt" wird dabei überschrieben oder falls nicht vorhanden, neu erstellt.

3.2. ETHERNET SCHNITTSTELLE ÜBER VPN ANSPRECHEN

- 1.) Zunächst muss unter <https://connect.haw-hamburg.de> der VPN Client „Cisco AnyConnect Secure Mobility Client“ heruntergeladen werden.
- 2.) Nach der Installation wird der VPN Client gestartet. Der einzutragende VPN Server lautet: „connect.haw-hamburg.de“

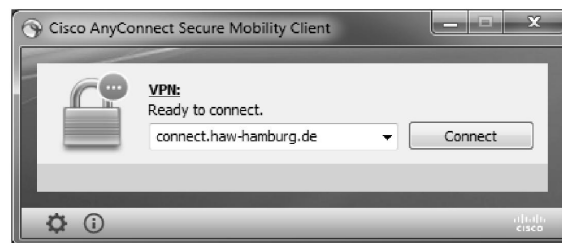


Abbildung 7: Start des VPN-Clients

- 3.) Zum Schluss findet die Authentifizierung mit dem HAW-Account statt.



Abbildung 8: Authentifizierung mit dem HAW-Account

- 4.) Nun ist eine VPN Verbindung zum HAW-Netzwerk aufgebaut. Es kann jetzt wie in Kapitel „3.3. Ethernet Schnittstelle über RealTerm“ verfahren werden.

3.3. ETHERNET SCHNITTSTELLE ÜBER REALTERM

- 1.) Unter <http://realterm.sourceforge.net/> befindet sich die open source Software „RealTerm“. Es ist ein Serial/TCP Terminal Programm.
- 2.) Nach der Installation von „RealTerm“ wird es gestartet. Als erstes wird die „Display“ Einstellung vorgenommen. Dabei ist wichtig bei „newLine mode“ ein Häkchen zu setzen.

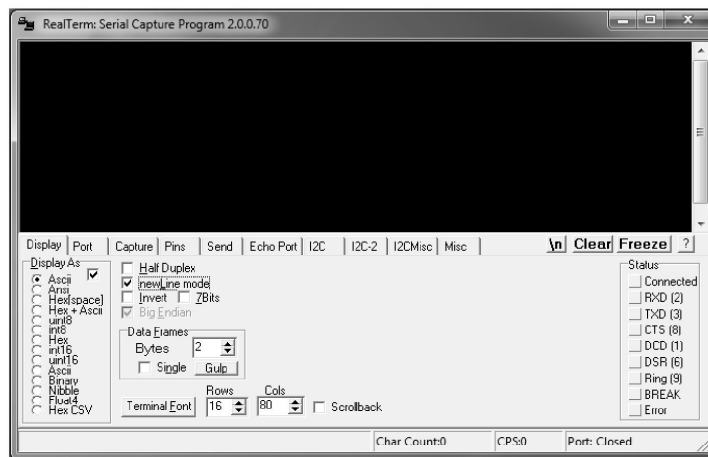


Abbildung 9: Display-Einstellungen von RealTerm

- 3.) Jetzt wird unter den Port-Einstellungen eine Verbindung aufgebaut. Als Port wird nun die IP-Adresse gefolgt vom Port eingetragen (141.22.14.199:56936). Mit dem Button „Change“ wird die Einstellung übernommen und die Verbindung aufgebaut. Sollte dies nicht sofort geschehen, Wmuss der Button „open“ durch zweifaches betätigen deaktiviert und wieder aktiviert werden.

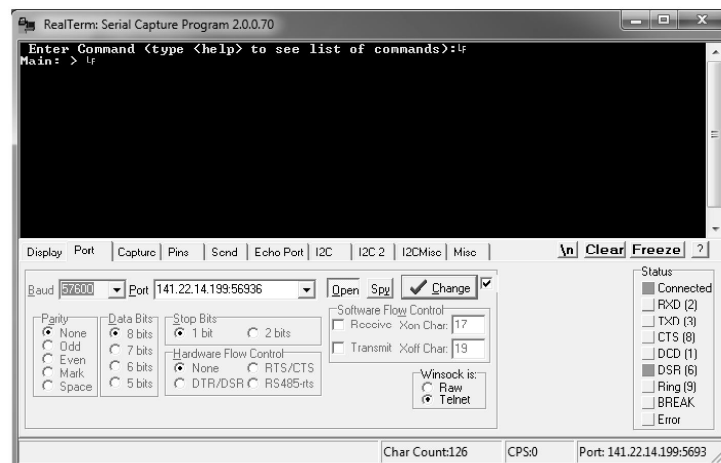


Abbildung 10: Port-Einstellungen von RealTerm

- 4.) Um nun einen Befehl über Ethernet zu übertragen muss zum Karteireiter „Send“ gewechselt werden. Dort sollten alle Häkchen, außer bei „+crc“, unter EOL (End of Line) gesetzt werden. Nun können Befehle eingetragen werden und mit dem Button „Send ASCII“ übertragen werden.

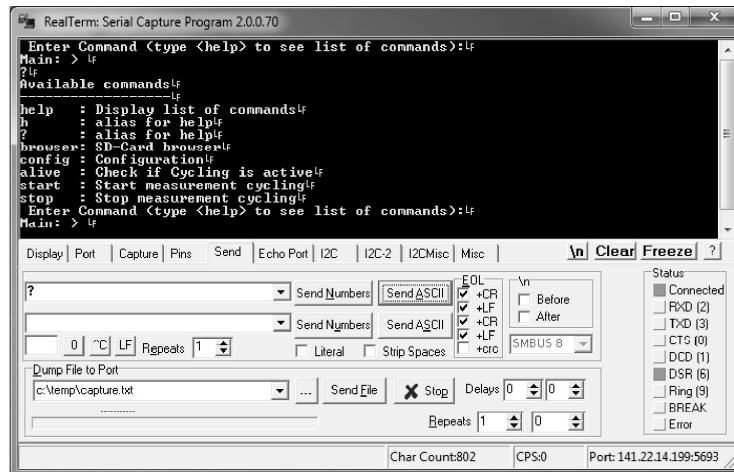


Abbildung 11: Übertragen eines Befehles über Ethernet mit RealTerm

3.4. ETHERNET SCHNITTSTELLE ÜBER MATLAB

- 1.) Über einen PC mit MatLab kann eine lokale TCP/IP Verbindung mit Zyklrierprüfstand aufgebaut werden. Hierzu werden die entsprechenden MatLab Sourcefiles benötigt.
- 2.) Über den Befehl "connect(ip)" kann mit Übergabe der Konfigurierten IP-Adresse des Zyklrierprüfplatzes eine Verbindung in MatLab aufgebaut werden.
- 3.) Die Standard IP-Adresse lautet 141.22.14.199
- 4.) Der zu verwendende Port ist: 56936
- 5.) Folgende MatLab-Dateien werden benötigt, die während der Projektarbeit des Zyklrierprüfstandes entstanden sind:
 1. main.m
 2. send_cmd.m
 3. receive_cmd.m
 4. connect.m
- 6.) Über MatLab und der Funktion "send_cmd(cons; sprintf("cmd\n"))" können Befehle (cmd) an die Zyklriermaschine über Ethernet geschickt werden. Dabei können dieselben Befehle verwendet werden wie über UART (Kap. 3.1).
- 7.) In der Konsole von MatLab erfolgt die gleiche Ausgabe wie über ein Terminalprogram (z.B hTerm).
- 8.) Das Terminierungszeichen der Verbindung wurde auf 'LF' festgesetzt.
- 9.) Die Unterstützung über Terminals wie Telnet ist nicht gewährleistet und nicht erprobt. Die Verwendung von MatLab wird empfohlen.

4 KONFIGURATIONSDATEI

- 1.) Über eine Konfigurationsdatei kann der Ablauf einer Zyklriermessung ebenfalls konfiguriert werden. Die Datei muss den Dateinamen "config.txt" besitzen und im ROOT-Verzeichnis der SD-Karte abgelegt sein.
- 2.) Ist keine Konfigurationsdatei vorhanden oder kann diese nicht geöffnet werden, so werden für alle Parameter Standardwerte in die Konfigurationsdatei geladen. Diese besteht aus einer Zyklrierung mit nur einem Zyklrierschritt, bei der keines der Relais geschaltet wird. Die Sicherheitsparameter werden auf die maximalen Werte gelegt und alle 12 Zellen werden periodisch im Abstand von fünf Sekunden gemessen.
- 3.) Folgende Werte können in der Konfigurationsdatei eingestellt werden:
 1. Die Anzahl der zu messenden Zellen
 2. Zeitabstand zwischen den Messvorgängen in Sekunden
 3. ADC Verstärkungsfaktor je Kanal
 4. ADC Offsetwert je Kanal
 5. Die IP-Adresse für die Ethernet Schnittstelle
 6. Die gesamte Dauer der Messung in Minuten
 7. Sicherheitsparameter der Zyklrierung: Dauer, Zellspannung, Zelltemperatur und maximale Stromstärke
 8. Zu schaltende Lastrelais zu den jeweiligen Umschaltzeitpunkten
- 4.) Die Formatierung der Konfigurationsdatei erfolgt auf Grundlage der Terminalbefehle aus Tabelle 5. Sie werden Zeile für Zeile in die Konfigurationsdatei geschrieben und es ist möglich Kommentarzeilen mit zwei Querstrichen beginnend (//...) einzufügen.
- 5.) Liegt keine Konfigurationsdatei auf der SD-Karte vor, kann vom Zyklrierprüfplatz eine neue, blanken Konfigurationsdatei erzeugt werden (z.B. über Bedienoberfläche UART, Kap. 3). Darauf gilt es die Konfigurationsdatei durch Ersetzen der 0-Werte anzupassen.
- 6.) Für das Editieren der Konfigurationsdatei wird notepad++ empfohlen. Anwendungen wie Wordpad oder der Editor von Windows bieten keine geeignete Darstellung der Datei und machen die Datei nach dem Abspeichern unbrauchbar für den Zyklrierprüfstand.
- 7.) Die Werte der SD-Karte werden beim Einschalten des Zyklrierprüfplatzes eingelesen und ins Programm geladen. Eine nachträgliche Änderung ist über UART oder Ethernet möglich.

Auf der folgenden Seite ist ein Beispiel der Konfigurationsdatei abgebildet.

```
//*****  
// Konfigurationsdatei config.txt  
//           Beispiel  
//*****  
  
//6 Zellen, 1 sek Messperiode  
quantity 6  
cyclestep 1  
  
//Kalibrierwerte  
gain 01 78060963  
gain 02 78206692  
gain 03 77986939  
gain 04 78092611  
gain 05 77817476  
gain 06 77995647  
  
offset 01 103  
offset 02 128  
offset 03 076  
offset 04 094  
offset 05 071  
offset 06 085  
  
//IP-Adresse  
ip 141.22.14.199  
  
//Zeitgrenzen  
meastime 4740  
maxcycletime 4140  
  
//Grenzwerte zur Sicherheit  
vlimits 1750 2350  
maxcurr 20000  
maxtemp 50  
maxcharge 110000  
  
//Zyklrierablauf  
//20 Grad  
relsel 1 wait 60 0  
relsel 2 wait 60 2  
relsel 3 wait 120 0  
relsel 4 wait 60 1  
relsel 5 wait 180 0  
  
//0 Grad  
relsel 6 wait 60 2  
relsel 7 wait 120 0  
relsel 8 wait 60 1  
relsel 9 wait 180 0  
...
```

Kommentarzeile

vorhandene Terminalbefehle zur Konfiguration

Abbildung 12: Beispiel einer Konfigurationsdatei config.txt

5 LCD-DISPLAY UND INBETRIEBNAHME

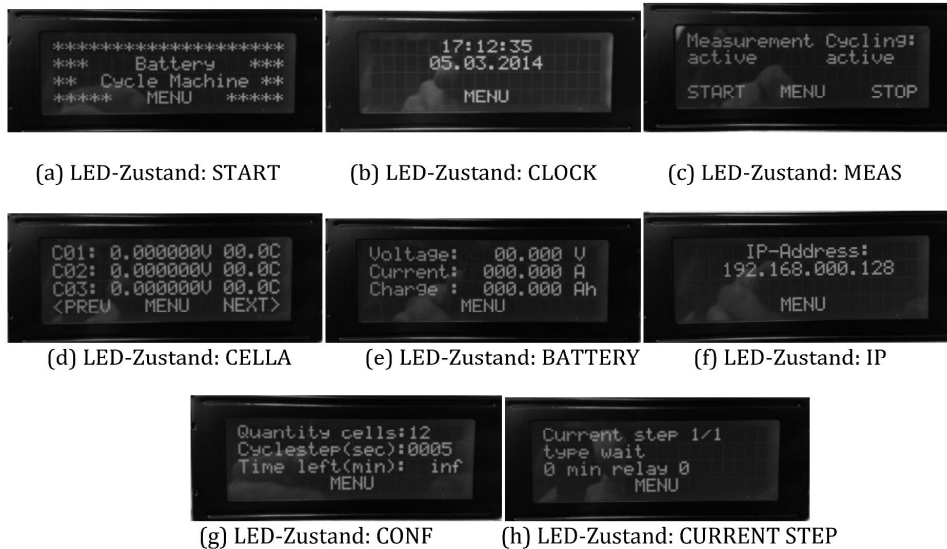


Abbildung 13: Display MENU

- 1.) Über das LC-Display des Zyklprüfstandes können Informationen über die Messwerte und die aktuellen Zyklparameter abgerufen werden.
- 2.) Die Funktion der Taster wird dabei in der untersten Zeile des Display dargestellt.
- 3.) Mit dem mittleren Taster kann durch die einzelnen Anzeigen Abb. 8a – 8h geschaltet werden. Der Zustand h kann nur während einer Zyklisierung erreicht werden.
- 4.) Im Menü 'Measurement Cycling' (Abb. 8c) kann über den linken Taster "START" die zyklische Messdatenerfassung direkt gestartet werden. Ebenfalls kann dies über den Terminalbefehl „start“ erfolgen. Danach wird die konfigurierte Zyklisierung abgearbeitet und die Messwerte werden im konfigurierten Abstand aufgezeichnet und auf der SD-Karte gespeichert. Ebenfalls können die Messdaten über die Schnittstellen UART und Ethernet während der Zyklisierung betrachtet werden. Ebenso kann über den rechten Taster "STOP" die zyklische Messdatenerfassung gestoppt werden. Die Eingabe "STOP" muss darauf mit "YES" bestätigt werden.
- 6.) In der Anzeige der aktuellen Zellenspannungen und -temperaturen (Abb. 8d) kann über den linken und rechten Taster zwischen den Zellen geblättert werden. Im Abschnitt „BATTERY“ (Abb. 8e) können die Parameter Batteriespannung, Stromstärke und geflossene Ladungsmenge betrachtet werden.

- 7.) Bei Überschreitung einer der Sicherheitsparameter wird die Zyklisierung direkt beendet und es wird eine Warnmeldung auf dem Display ausgegeben. Nachfolgend sind drei der Warnmeldungen beim Überschreiten der Spannung, der Ladungsmenge oder der Temperatur dargestellt.

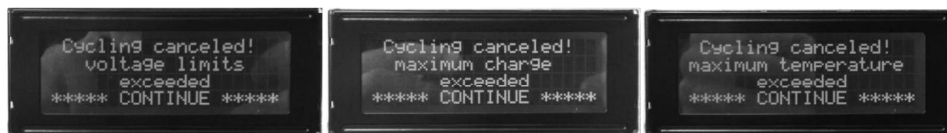


Abbildung 14: Warnmeldungen bei Überschreitung einer der Grenzwerte

6 BEISPIELMESSUNGEN

BEISPIELMESSUNG A

- 1.) Zunächst muss die Batterie in den Temperaturschrank und das Zyklertestsystem in den 19“ Datenschränk gestellt werden. Nun wird sich vergewissert, dass außer einer Stromversorgung und dem LAN-Kabel nichts an das Zyklertestsystem angeschlossen ist.
- 2.) Das Zyklertestsystem kann jetzt eingeschaltet werden und die Batterie kann wie in „Abbildung 15: Verkabelung einer Blei-Säure Batterie“, angeschlossen werden.

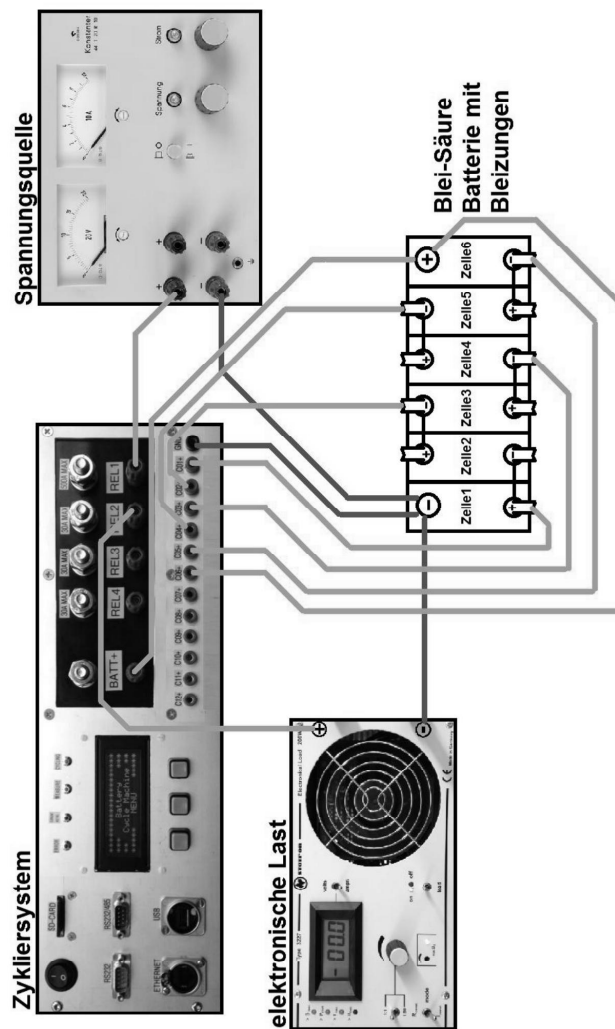


Abbildung 15: Verkabelung einer Blei-Säure Batterie

- 3.) Nun muss die Konfigurationsdatei „config.txt“ auf der SD-Karte richtig eingestellt werden. Es soll zunächst 6 Stunden geladen werden und anschließend nach einer 6 stündigen Pause die Batterie 6 Stunden entladen werden.

```
//*****  
//Konfigurationsdatei  
//Erstellungsdatum: 15.08.2014  
//*****  
quantity 6  
cyclestep 1  
  
//Zeitgrenzen  
meastime 1900  
maxcycletime 1900  
  
//Grenzwerte zur Sicherheit  
vlimits 1750 2350  
maxcurr 10000  
maxtemp 40  
maxcharge 100000  
  
//Zyklertestablauf  
reisel 01 wait 1 0  
reisel 02 wait 360 1  
reisel 03 wait 360 0  
reisel 04 wait 360 2  
reisel 05 wait 360 0
```

Abbildung 16: Einstellung einer Konfigurationsdatei „config.txt“ für eine Blei-Säure Batterie

- 4.) Jetzt kann die Messung gestartet werden. Nach einer Minute sollte der Ladevorgang beginnen.

BEISPIELMESSUNG B

- 1.) Zunächst muss die Batterie in den Temperaturschrank und das Zyklertestsystem in den 19“ Datenschrank gestellt werden. Nun wird sich vergewissert, dass außer einer Stromversorgung und dem LAN-Kabel nichts an das Zyklertestsystem angeschlossen ist.
- 2.) Das Zyklertestsystem kann jetzt eingeschaltet werden und die Batterie kann wie in „Abbildung 17: Verkabelung nach dem NEFZ-Messkonzept“ angeschlossen werden.

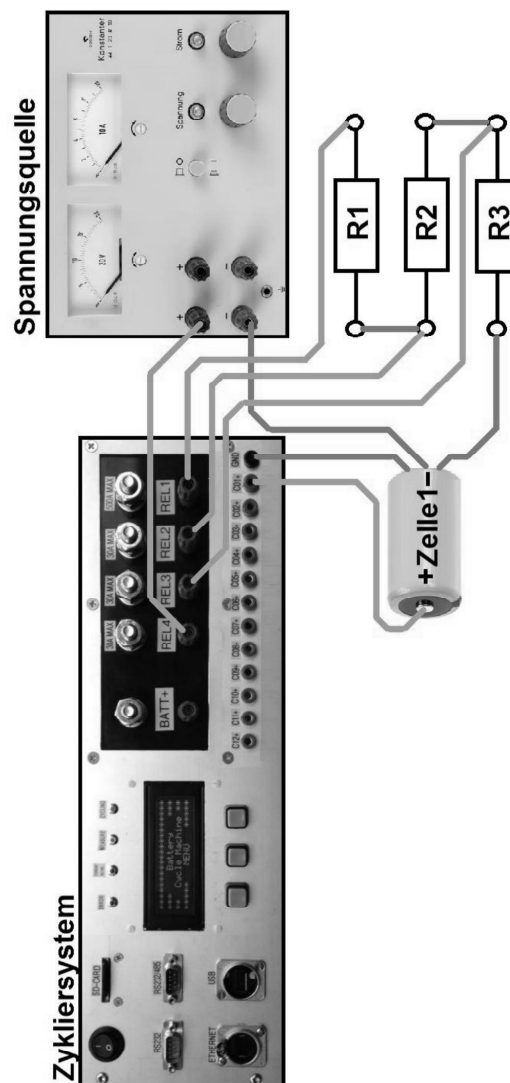


Abbildung 17: Verkabelung nach dem NEFZ-Messkonzept^

3.) Nun muss die Konfigurationsdatei „config.txt“ auf der SD-Karte richtig eingestellt werden.

```
//Konfigurationsdatei
quantity 1
cyclestep 1
meastime 420
maxcycletime 420
vlimits 2700 3600
maxcurr 20000
maxtemp 40
maxcharge 10000
reusel 01 wait 1 0
reusel 02 charge_cellV 3600 4
reusel 03 wait 30 0
reusel 04 wait 1 3
reusel 05 wait 1 2
reusel 06 wait 1 0
reusel 07 wait 1 3
reusel 08 wait 1 2
reusel 09 wait 1 0
reusel 10 wait 1 3
reusel 11 wait 1 2
reusel 12 wait 1 0
reusel 13 wait 1 3
reusel 14 wait 1 2
reusel 15 wait 1 0
reusel 16 wait 2 2
reusel 17 wait 2 3
reusel 18 wait 2 1
reusel 19 wait 30 0
reusel 20 wait 1 3
reusel 21 wait 1 2
reusel 22 wait 1 0
reusel 23 wait 1 3
reusel 24 wait 1 2
reusel 25 wait 1 0
reusel 26 wait 1 3
reusel 27 wait 1 2
reusel 28 wait 1 0
reusel 29 wait 1 3
reusel 30 wait 1 2
reusel 31 wait 1 0
reusel 32 wait 2 2
reusel 33 wait 2 3
reusel 34 wait 2 1
reusel 35 wait 30 0
```

Abbildung 18: Einstellung einer Konfigurationsdatei „config.txt“ für das NEFZ-Messkonzept

4.) Jetzt kann die Messung gestartet werden. Nach einer Minute sollte der Ladevorgang beginnen.

```
1  /*
2   * clocktimer.h
3   *
4   * Created on: 04.03.2013
5   * Author: Thomas W., Johannes R.
6   * modified 13.01.2014
7   */
8
9  #ifndef TIMER_H_
10 #define TIMER_H_
11
12 /*****
13  *
14  * Function Declarations
15  *
16  *****/
17 void init_clock_timer(void);
18 void TimerClock(void);
19 void reinit_timer0(void);
20 void stop_cycling(void);
21
22 int Cmd_start(int argc, char *argv[]);
23 int Cmd_stop(int argc, char *argv[]);
24
25 #endif /* TIMER_H_ */
26
```

```
1  /*
2  Project:                battery_cycling_sw_v4
3  File:                  clocktimer.c
4
5  Auhtor:               Thomas Wisnewski
6  Credits:              Matthias Schneider
7                      Tobias Steinmann
8                      Fabian Schwartau
9                      Johannes Roehn
10                     Stellaris Ware
11
12  last modified:        2014/01/13
13
14  Project Status       Under Construction
15  Status:              running
16
17  CCS:                 5.5.1.00031
18  Stellarisware:       8555
19
20  Hardware:            Stellaris EKS-LM3S9B92 on Extension Board with
21                     16 Bit ADC AD7798, SD-Card, Reed-Relais Matrix,
22                     NTC-Connectors, MAX3232 and Suplly Circuits
23
24  Description:         Source File for Timer
25
26  */
27
28  /*****
29  *
30  * Includings
31  *
32  *****/
33  #include <string.h>
34  #include "driverlib/rom.h"
35  #include "third_party/fatfs/src/ff.h"
36  #include "third_party/fatfs/src/diskio.h"
37  #include "inc/hw_ints.h"
38  #include "inc/hw_memmap.h"
39  #include "inc/hw_types.h"
40  #include "driverlib/debug.h"
41  #include "driverlib/gpio.h"
42  #include "driverlib/interrupt.h"
43  #include "driverlib/pin_map.h"
44  #include "driverlib/rom.h"
45  #include "driverlib/sysctl.h"
46  #include "driverlib/timer.h"
47  #include <stdio.h>
48
49  /*****
50  *
51  * Own Includings
52  *
53  *****/
54  #include "utils/uartstdio.h"
55  #include "header/mysdcard.h"
56  #include "header/config.h"
57  #include "header/clocktimer.h"
58  #include "header/myadc.h"
59  #include "header/temperature.h"
```

```
60 #include "header/ethernet.h"
61 #include "header/control.h"
62 #include "header/relais.h"
63 #include "header/display.h"
64
65
66 // Global variables for systemclock data
67 volatile unsigned long clock_msec = 00;
68 volatile unsigned long clock_sec = 00;
69 volatile unsigned long clock_min = 00;
70 volatile unsigned long clock_hour = 18;
71 volatile unsigned long clock_day = 06;
72 volatile unsigned long clock_month = 03;
73 volatile unsigned long clock_year = 2013;
74
75 // Global variables for loadrelay timing control
76 volatile unsigned long timer2minute = 0;
77 volatile unsigned int power_relay_active = 0;
78 volatile unsigned int cycle_active = false;
79 volatile unsigned int measurement_active = false;
80
81 // Global variable for cycle control
82 volatile unsigned int current_cycle_step = 1;
83 volatile unsigned int wait_start_time = 0;
84 //Minute counter for maximum cycle time
85 volatile int max_time_counter = 0;
86 //global variable for battery charge
87 volatile int gBat_charge = 0;
88
89
90 //*****external variables*****
91
92 // TCP-Socket für die aktuelle Steuerungs-Verbindung
93 extern struct tcp_pcb* control_connection;
94
95 //Feed watchdog variable
96 extern volatile tBoolean g_bFeedWatchdog;
97
98 //defines the string variables for cycling types
99 extern const char *cycle_types[];
100
101 //Variable for the current
102 extern volatile unsigned int g_iCurrent;
103 //global variable for the current cell voltages
104 extern volatile unsigned int g_iCellVoltages[12];
105 //global variable for the current cell voltages
106 extern volatile int g_iCellTemperature[12];
107
108 //Flag for Display ReINIT
109 extern volatile int g_bDispInit;
110
111 //*****
112 //Extern variable for name of file for measurment saving
113 //*****
114 extern char MEAS_FILE[128];
115
116
117 //*****
118 // Set up and enable the timers. Configure a timer
```

```
119 // for the measure interrupt handler.
120 // Additionally set up Timer for display refreshment at 15Hz.
121 // and minute counter.
122 //*****
123 void init_clock_timer(){
124
125     UARTprintf("Initializing Timer...");
126
127     //
128     // Enable the peripherals used by this example.
129     //
130     //Timer for Measurment-Interrupt
131     SysCtlPeripheralEnable(SYSCTL_PERIPH_TIMER0);
132     //Timer for LED-Display refreshment
133     SysCtlPeripheralEnable(SYSCTL_PERIPH_TIMER1);
134     //Timer for loadrelay timing control
135     SysCtlPeripheralEnable(SYSCTL_PERIPH_TIMER2);
136     //Timer for toggle cycle active LED
137     SysCtlPeripheralEnable(SYSCTL_PERIPH_TIMER3);
138
139     //
140     // Configure the 32-bit periodic timers.
141     //
142     //Configure Timer0A for defined time "Cyclestep" from config
143     TimerConfigure(TIMER0_BASE, TIMER_CFG_PERIODIC);
144     TimerLoadSet(TIMER0_BASE, TIMER_A, SysCtlClockGet() * config.cyclestep);
145
146     //Configure Timer1A at 15 Hz
147     TimerConfigure(TIMER1_BASE, TIMER_CFG_PERIODIC);
148     TimerLoadSet(TIMER1_BASE, TIMER_A, SysCtlClockGet()/15);
149
150     //configure Timer2A interrupt for every minute
151     TimerConfigure(TIMER2_BASE, TIMER_CFG_PERIODIC);
152     TimerLoadSet(TIMER2_BASE, TIMER_A, SysCtlClockGet()*60);
153
154
155     //configure Timer3A as 32 Bit Timer for LED toggling every 500ms
156     TimerConfigure(TIMER3_BASE, TIMER_CFG_PERIODIC);
157     TimerLoadSet(TIMER3_BASE, TIMER_A, SysCtlClockGet()/2);
158
159
160
161     //
162     // Enables Trigger for internal ADCs
163     //
164     TimerControlTrigger(TIMER0_BASE, TIMER_A, true);
165
166     //
167     // Setup the interrupt for the timer timeout.
168     //
169     IntEnable(INT_TIMER0A);
170     TimerIntEnable(TIMER0_BASE, TIMER_TIMA_TIMEOUT);
171
172     IntEnable(INT_TIMER1A);
173     TimerIntEnable(TIMER1_BASE, TIMER_TIMA_TIMEOUT);
174
175     IntEnable(INT_TIMER2A);
176     TimerIntEnable(TIMER2_BASE, TIMER_TIMA_TIMEOUT);
177
```

```

178         IntEnable(INT_TIMER3A);
179         TimerIntEnable(TIMER3_BASE, TIMER_TIMA_TIMEOUT);
180
181         UARTprintf("done\n");
182     }
183
184     //*****
185     // Function to reinitialize the Timer0A when variable "Cyclestep" reconfigured
186     //*****
187     void reinit_timer0(void){
188         TimerLoadSet(TIMER0_BASE, TIMER_A, SysCtlClockGet() * config.cyclestep);
189     }
190
191
192     //*****
193     //
194     // The interrupt handler for the periodical measurement. Called depended on
195     // configured "Cyclestep".
196     //
197     //*****
198     void Timer0IntHandler(void)
199     {
200
201         //
202         // Clear the timer interrupt.
203         //
204         TimerIntClear(TIMER0_BASE, TIMER_TIMA_TIMEOUT);
205
206         // Do the measurement
207         do_measure();
208     }
209
210     //*****
211     //
212     // The interrupt handler for switching power relays and automatic stop of measurement.
213     // Called every minute.
214     //
215     //*****
216     void Timer2IntHandler(void)
217     {
218         int i;
219         //
220         // Clear the timer interrupt.
221         //
222         TimerIntClear(TIMER2_BASE, TIMER_TIMA_TIMEOUT);
223
224         //Increment minute counter
225         timer2minute++;
226
227         if(timer2minute == config.measuretime)//Stop measurment and cycling if
measuretime reached, If measuretime = 0 INFINITE MEASUREMENT
228             Cmd_stop(0, NULL);
229
230         if(cycle_active){//follow cycle steps if cycling is active
231
232             //CYCLING STATEMACHINE
233             switch(config.cycle_steps[current_cycle_step].type){
234
235                 case WAIT:{

```

```
236
237     if(timer2minute == (wait_start_time + config.cycle_steps[
238     current_cycle_step].param)){//check if relative waiting time reached
239     current_cycle_step++;//next step
240     if(current_cycle_step == (config.step_quantity + 1))//if step
241     quantity exceeded stop cycling
242     stop_cycling();
243     else{//SWITCH POWERRELAY for the next step
244     power_relay_active = switch_power_relais(config.cycle_steps[
245     current_cycle_step].relay);
246     wait_start_time = timer2minute;//set the waiting start time
247     for the wait step
248     }
249     }
250     break;
251 }
252 case CHARGE_CELLV:{
253
254     for(i = 0; i < config.quantity_cells; i++){//check if one of the
255     cells has reached charge end voltage
256     if(g_iCellVoltages[i] >= (config.cycle_steps[current_cycle_step].
257     param * 1000)){//µV
258     current_cycle_step++;
259     if(current_cycle_step == (config.step_quantity + 1))//if
260     step quantity exceeded stop cycling
261     stop_cycling();
262     else{//SWITCH POWERRELAY for the next step
263     power_relay_active = switch_power_relais(config.
264     cycle_steps[current_cycle_step].relay);
265     wait_start_time = timer2minute;//set the waiting start
266     time for the wait step
267     }
268     }
269     break;
270 }
271 }
272 break;
273 }
274 case DISCHARGE_CELLV:{
275
276     for(i = 0; i < config.quantity_cells; i++){//check if one of the
277     cells has reached min voltage
278     if(g_iCellVoltages[i] <= (config.cycle_steps[current_cycle_step].
279     param * 1000)){//µV
280     current_cycle_step++;
281     if(current_cycle_step == (config.step_quantity + 1))//if
282     step quantity exceeded stop cycling
283     stop_cycling();
284     else{//SWITCH POWERRELAY for the next step
285     power_relay_active = switch_power_relais(config.
286     cycle_steps[current_cycle_step].relay);
287     wait_start_time = timer2minute;//set the waiting start time
288     for the wait step
289     }
290     }
291     break;
292 }
293 }
294 break;
295 }
296 case CHARGE_BATV:{
```



```

281
282     int bat_voltage = 0;
283     for(i = 0; i < config.quantity_cells; i++)//calculate battery voltage
284         bat_voltage += g_iCellVoltages[i];
285     //check if battery voltage has reached charge end voltage
286     if(bat_voltage >= (config.cycle_steps[current_cycle_step].param *
287                        1000)){//µV
288         current_cycle_step++;
289         if(current_cycle_step == (config.step_quantity + 1))//if step
290             quantity exceeded stop cycling
291             stop_cycling();
292         else{//SWITCH POWERRELAY for the next step
293             power_relay_active = switch_power_relais(config.cycle_steps[
294                 current_cycle_step].relay);
295             wait_start_time = timer2minute;//set the waiting start time
296             for the wait step
297         }
298     }
299     break;
300 }
301 case DISCHARGE_BATV:{
302
303     int bat_voltage = 0;
304     for(i = 0; i < config.quantity_cells; i++)//calculate battery voltage
305         bat_voltage += g_iCellVoltages[i];
306     //check if battery voltage has reached discharge end voltage
307     if(bat_voltage <= (config.cycle_steps[current_cycle_step].param *
308                        1000)){//µV
309         current_cycle_step++;
310         if(current_cycle_step == config.step_quantity)//if step quantity
311             exceeded stop cycling
312             stop_cycling();
313         else{//SWITCH POWERRELAY for the next step
314             power_relay_active = switch_power_relais(config.cycle_steps[
315                 current_cycle_step].relay);
316             wait_start_time = timer2minute;//set the waiting start time
317             for the wait step
318         }
319     }
320     break;
321 }
322 default://{default statement
323     stop_cycling();//safety turn off
324 }
325 }
326 }
327 }
328 }
329 }
330 }
331 }
332
333 //*****
334 // The interrupt handler for the LED toggling if cycling is active
335 //*****
336 void Timer3IntHandler(void){
337     //
338     // Clear the timer interrupt.
339     //
340     TimerIntClear(TIMER3_BASE, TIMER_TIMA_TIMEOUT);
341
342     if(cycle_active)
343         //Toggle cycle acitve LED

```

```
332     GPIOPinWrite(GPIO_PORTJ_BASE, GPIO_PIN_4, ~GPIOPinRead(GPIO_PORTJ_BASE,
333     GPIO_PIN_4));
334     else
335     GPIOPinWrite(GPIO_PORTJ_BASE, GPIO_PIN_4, 0);
336 }
337
338
339 //*****
340 // Update the Systemclock and toggle cycle LED + check of maximum cycle time
341 //*****
342 void TimerClock(void)
343 {
344     clock_msec += 10;
345     if(clock_msec == 1000){
346         clock_msec = 0;
347         clock_sec++;
348     }
349
350     if (clock_sec == 60){
351         clock_sec = 0;
352         clock_min++;
353
354         if(cycle_active){
355             max_time_counter++;
356             if(max_time_counter == config.max_cycle_time){//If absolute maximum
357                 measurement time reached shut down relays and cycling
358                 stop_cycling();
359                 handlerState = ERRTIME;//Display Error Message
360                 UARTprintf("\nMAXIMUM CYCLE TIME EXCEEDED!\n");
361                 if(control_connection)
362                     telnet_write("\nMAXIMUM CYCLE TIME EXCEEDED!\n");
363             }
364         }
365
366         //raise Flag for Display ReINIT every minute
367         g_bDispInit = 1;
368     }
369
370     if(clock_min == 60){
371         clock_hour++;
372         clock_min = 0;
373     }
374     if(clock_hour == 24){
375         clock_day++;
376         clock_hour = 0;
377     }
378
379     if((clock_month == 1) || (clock_month == 3) || (clock_month == 5) || (
380     clock_month == 7) || (clock_month == 8) || (clock_month == 10) || (
381     clock_month == 12)){
382         if(clock_day == 32) {
383             clock_month++;
384             clock_day = 1;
385         }
386     }
387
388     if((clock_month == 4) || (clock_month == 6) || (clock_month == 9) || (
389     clock_month == 11)){
390         if(clock_day == 31) {
```

```
386         clock_month++;
387         clock_day = 1;
388     }
389 }
390
391     if(clock_month == 2){
392         int d_temp = 29;
393         if(clock_year%4 == 0)
394             d_temp = 30;
395         if(clock_year%4 != 0)
396             d_temp = 29;
397         if(clock_day == d_temp) {
398             clock_month++;
399             clock_day = 1;
400         }
401     }
402
403     if(clock_month == 13){
404         clock_year++;
405         clock_month = 1;
406     }
407 }
408
409 //*****
410 //
411 // This function implements the cycling safety switch off, measurement continues
412 //
413 //*****
414 void stop_cycling(void)
415 {
416     power_relay_active = switch_power_relais(0); //Deactivate power relays
417     cycle_active = false; //Deactivate cycling
418     wait_start_time = 0; //reset cycling variables
419     max_time_counter = 0;
420     current_cycle_step = 1;
421 }
422 }
423
424
425 //*****
426 //
427 // This function implements the "start" command. It starts the measurement
428 // by activating Timer 0A.
429 //
430 //*****
431 int
432 Cmd_start(int argc, char *argv[])
433 {
434     int i = 0;
435
436     //Start cycling only if not already running
437     if(!cycle_active && !measurement_active){
438
439         //Generate Filename
440         sprintf(MEAS_FILE, "%02d%02d%02d%02d.txt", clock_month, clock_day, clock_hour
441             , clock_min);
442
443         //Generate header info
444         char header[64];
```

```

444     add_to_file(MEAS_FILE, "*****");
445
446     sprintf(header, "\nFilename: '%s'\nDate: %04d-%02d-%02d %02d:%02d:%02d",
MEAS_FILE, clock_year, clock_month, clock_day, clock_hour, clock_min,
clock_sec);
447     add_to_file(MEAS_FILE, header);
448
449     sprintf(header, "\nQuantity Cells: %02d\nCyclestep: %02d sec", config.
quantity_cells, config.cyclestep);
450     add_to_file(MEAS_FILE, header);
451
452     sprintf(header, "\nIP Address: %03d.%03d.%03d.%03d\nMeasuretime: %05d min",
config.ip_a, config.ip_b, config.ip_c, config.ip_d, config.measuretime);
453     add_to_file(MEAS_FILE, header);
454
455     sprintf(header, "\nMaximum cycle time: %05d min", config.max_cycle_time);
456     add_to_file(MEAS_FILE, header);
457
458     sprintf(header, "\nCell voltage limits: %05d mV , %05dmV", (int)(config.
min_voltage/1000), (int)(config.max_voltage/1000));
459     add_to_file(MEAS_FILE, header);
460
461     sprintf(header, "\nMaximum current: %05d mA", config.max_current);
462     add_to_file(MEAS_FILE, header);
463
464     sprintf(header, "\nMaximum cell temperature: %05d °C", (int)(config.max_temp/
10));
465     add_to_file(MEAS_FILE, header);
466
467     sprintf(header, "\nMaximum battery charge: %05d mAh", config.max_charge/3600);
468     add_to_file(MEAS_FILE, header);
469
470     sprintf(header, "\nCELL | ADC Gain | ADC Offset");
471     add_to_file(MEAS_FILE, header);
472
473     for(i = 1; i <= 12; i++){
474         sprintf(header, "\n%02d:   %03d   %08d   %08d", i, config.A[i],
config.B[i], config.C[i]);
475         add_to_file(MEAS_FILE, header);
476     }
477
478     sprintf(header, "\nCycle steps: %02d", config.step_quantity);
479     add_to_file(MEAS_FILE, header);
480
481     sprintf(header, "\nStepID   Steptype   Parameter   Relayselct");
482     add_to_file(MEAS_FILE, header);
483
484     for(i = 1; i <= 100; i++){
485         if(i <= config.step_quantity){
486             sprintf(header, "\n%02i   %-15s %05d   %01d", i, cycle_types[
config.cycle_steps[i].type - 1], config.cycle_steps[i].param, config.
cycle_steps[i].relay);
487             add_to_file(MEAS_FILE, header);
488         } else{
489             sprintf(header, "\n%02i   none           00000   0", i);
490             add_to_file(MEAS_FILE, header);
491         }
492     }
493

```

```
494
495     add_to_file(MEAS_FILE, "\n*****");
496     add_to_file(MEAS_FILE, "\nCE,YYYY,MM,DD,HH,MM,SS,VOL(uV),TEM,CUR(mA),R");
497     add_to_file(MEAS_FILE, "\n*****\n");
498
499     //Enable Timer0A and Cycling Mode
500     TimerEnable(TIMER0_BASE, TIMER_A);
501     cycle_active = true;
502     measurement_active = true;
503
504     //turn on power relay for first cycle step and turn on LED
505     current_cycle_step = 1;
506     power_relay_active = switch_power_relais(config.cycle_steps[1].relay);
507
508     // Enable Timer 3 for LED toggle every 500ms
509     TimerEnable(TIMER3_BASE, TIMER_A);
510
511     UARTprintf("\nMeasurement cycling started");
512     if(control_connection){
513         telnet_write("Measurement cycling started\n");
514     }
515
516     //Enable Timer2A for cycle control
517     TimerEnable(TIMER2_BASE, TIMER_A);
518 }
519 //
520 // Return success.
521 //
522 return(0);
523 }
524
525 //*****
526 //
527 // This function implements the "stop" command. It stops the measurement
528 // by deactivating Timer 0A and Timer 2A.
529 //
530 //*****
531 int
532 Cmd_stop(int argc, char *argv[])
533 {
534     int i = 0;
535     //Disable Timer0A and Timer2A
536     TimerDisable(TIMER0_BASE, TIMER_A);
537     TimerDisable(TIMER2_BASE, TIMER_A);
538
539     UARTprintf("\nMeasurement cycling stopped");
540     if(control_connection){
541         telnet_write("Measurement cycling stopped\n");
542     }
543
544     //Disable Cycling mode and deselect powerrelays
545     cycle_active = false;
546     measurement_active = false;
547
548     //Disable LED toggle and switch off LED
549     TimerDisable(TIMER3_BASE, TIMER_A);
550     GPIOPinWrite(GPIO_PORTJ_BASE, GPIO_PIN_4, 0x00);
551
552     //reset measurement and cycling values
```

```
553     wait_start_time = 0;
554     max_time_counter = 0;
555     timer2minute = 0;
556     current_cycle_step = 1;
557
558     gBat_charge = 0;
559     for(i = 1; i < 13; i++){
560         g_iCellVoltages[i]= 0;
561         g_iCellTemperature[i]= 0;
562     }
563     g_iCurrent = 0;
564
565
566     //switch off power relay
567     power_relay_active = switch_power_relais(0);
568
569     //Turn off Measurement-LED
570     GPIOWrite(GPIO_PORTJ_BASE, GPIO_PIN_5, 0x00);
571
572     //
573     // Return success.
574     //
575     return(0);
576 }
577
578
579
580
```

```
1  /*
2  * config.h
3  *
4  * Created on: 11.12.2013
5  * Author: Thomas W.
6  * Johannes R.
7  * modified 13.01.2014
8  */
9
10
11 #ifndef CONFIG_H_
12 #define CONFIG_H_
13
14 #include "config.h"
15
16 //defines for all the available step types
17 #define WAIT 1
18 #define CHARGE_CELLV 2
19 #define DISCHARGE_CELLV 3
20 #define CHARGE_BATV 4
21 #define DISCHARGE_BATV 5
22
23 //scruct defining a single cycle step
24 typedef struct
25 {
26     int type;
27     int param;
28     int relay;
29
30 } cycle_step_t;
31
32 // sizeof(config_t) must be an even number! Otherwise the program
33 // will fail to save and/or reload the configuration!
34 typedef struct
35 {
36     long quantity_cells;
37     long cyclestep;
38     int A[13];
39     int B[13];
40     int C[13];
41     int ip_a;
42     int ip_b;
43     int ip_c;
44     int ip_d;
45     int zerocurrentch1;
46     int zerocurrentch2;
47
48     int measuretime;
49     int max_cycle_time;
50
51     int step_quantity;
52     //includes all variables for cycling
53     cycle_step_t cycle_steps[101];
54
55     //LIMIT values
56     int max_current;
57     int min_voltage;
58     int max_voltage;
59     int max_temp;
```

```
60     int max_charge;
61
62 } config_t;
63
64
65 extern config_t config;
66
67 /*****
68 *
69 * Function Declarations
70 *
71 *****/
72 void config_read(void);
73 int config_write(void);
74 void init_config(void);
75
76 int config_cmd_line(int argc, char *argv[]);
77 int Cmd_config_exit(int argc, char *argv[]);
78 int Cmd_gain      (int argc, char *argv[]);
79 int Cmd_offset    (int argc, char *argv[]);
80 int Cmd_calibrate (int argc, char *argv[]);
81 int Cmd_print     (int argc, char *argv[]);
82 int Cmd_quantity  (int argc, char *argv[]);
83 int Cmd_cyclestep (int argc, char *argv[]);
84 int Cmd_relsel    (int argc, char *argv[]);
85 int Cmd_relqua    (int argc, char *argv[]);
86 int Cmd_meastime  (int argc, char *argv[]);
87 int Cmd_save      (int argc, char *argv[]);
88 int Cmd_ip        (int argc, char *argv[]);
89 int Cmd_set_clock (int argc, char *argv[]);
90 int Cmd_set_limits(int argc, char *argv[]);
91 int Cmd_set_current(int argc, char *argv[]);
92 int Cmd_max_time  (int argc, char *argv[]);
93 int Cmd_max_temp  (int argc, char *argv[]);
94 int Cmd_max_charge(int argc, char *argv[]);
95 int Cmd_load      (int argc, char *argv[]);
96
97 // Für die interne Nutzung
98 void config_erase(void);
99 void config_print_uart(void);
100 void config_write_struct(const char *conf_name, const char *conf_val);
101
102 void calibrate_adc(void);
103
104 #endif /* CONFIG_H_ */
105
106
```



```

1  /*
2  Project:                battery_cycling_sw_v4
3  File:                  config.c
4
5  Auhtor:                Thomas Wisnewski
6  Credits:               Matthias Schneider
7                        Tobias Steinmann
8                        Fabian Schwartau
9                        Johannes Roehn
10                       Martin Kusche
11                       Stellaris Ware
12
13  last modified:        2014/09/08
14
15  Project Status        Under Construction
16  Status:               running
17
18  CCS:                  5.5.1.00031
19  Stellarisware:        8555
20
21  Hardware:              Stellaris EKS-LM3S9B92 on Extension Board with
22                        16 Bit ADC AD7798, SD-Card, Reed-Relais Matrix,
23                        NTC-Connectors, MAX3232 and Suplly Circuits
24
25  Description:          Source Code for configure operations
26
27  */
28
29  /*****
30  *
31  * Includings
32  *
33  *****/
34  #include <stdio.h>
35  #include <stdlib.h>
36  #include <string.h>
37  #include "math.h"
38  #include "third_party/fatfs/src/ff.h"
39  #include "third_party/fatfs/src/diskio.h"
40  #include <utils/uartstdio.h>
41  #include <driverlib/ethernet.h>
42  #include <utils/lwiplib.h>
43  /*****
44  *
45  * Own Includings
46  *
47  *****/
48  #include "header/myadc.h"
49  #include "header/config.h"
50  #include "header/mysdcard.h"
51  #include "header/mycmdline.h"
52  #include "header/ethernet.h"
53  #include "header/control.h"
54  #include "header/relais.h"
55  #include "header/myadc.h"
56  #include "header/clocktimer.h"
57  #include "header/rtc.h"
58  #include "header/display.h"
59

```

```

60
61
62 // Define Name of Configurationfile
63 const char* CONFIG_FILE = "config.txt";
64
65
66 //*****
67 //
68 // Defines the size of the buffer that holds the input data.
69 //
70 //*****
71 #define CONF_BUF_SIZE 4096
72
73 //*****
74 //
75 // Defines the size of the buffer that holds the input data.
76 //
77 //*****
78 #define CONFIG_INPUT_DATA_SIZE 64
79
80 //*****
81 //
82 // A temporary data buffer used for input data
83 //
84 //*****
85 static char g_cTmpInputData[CONFIG_INPUT_DATA_SIZE];
86
87 //*****
88 //
89 // A global Flag initiating the configuration from sd card read
90 //
91 //*****
92 char g_ConfDone = 0;
93
94 //*****
95 //
96 // This is the table that holds the command names, implementing functions,
97 // and brief description.
98 //
99 //*****
100 tCmdLineEntry g_sConfigCmdTable[] =
101 {
102     { "help",      Cmd_help,      "      : Display list of commands" },
103     { "h",        Cmd_help,      "      : alias for help" },
104     { "?",        Cmd_help,      "      : alias for help" },
105     { "print",    Cmd_print,      "      : Print current Configuration" },
106     { "quantity", Cmd_quantity,   "      : Set quantity of cells (01 - 12)" },
107     { "cyclestep", Cmd_cyclestep, "      : Set measurement period in sec (0000 -
108     9999)" },
109     { "gain",     Cmd_gain,      "      : Set gain (eg. 'gain 01 76273500')" },
110     { "offset",   Cmd_offset,   "      : Set offset (eg. 'offset 01 -00100')" },
111     { "calibrate", Cmd_calibrate, "      : Calibrate current sensor to zero" },
112     { "ip",       Cmd_ip,       "      : Set IP address (eg. 'ip 192.168.000.128')"
113     },
114     { "relais",   Cmd_relais,   "      : Manually activates choosen powerrelais
115     (e.g. 'relais 1')"},
116     { "relsel",   Cmd_relsel,   "      : Set Relayselect (eg. 'relsel 01 wait 00001
117     1')"},
118     { "relqua",   Cmd_relqua,   "      : Set quantity of Relay switches (01 - 99)"}
119 }

```

```

115     { "meastime",  Cmd_meastime, " : Set time of full measurement and cycling
      procedure in min (eg. 'time 1440')"},
116     { "save",      Cmd_save,      " : Save configuration to SD-Card" },
117     { "clock",     Cmd_set_clock, " : Set the system clock, format: dd.mm.yyyy
      hh:mm (eg. 'clock 10.12.2013 13:45')" },
118     { "vlimits",  Cmd_set_limits, " : Set voltage min and max limits in mV (eg.
      'vlimits 500 4000')" },
119     { "maxcurr",  Cmd_set_current, " : Set absolute maximum current limit in mA
      (eg. 'maxcurrent 1500')" },
120     { "maxcycletime",Cmd_max_time, " : Set absolute maximum cycling time limit in
      min (eg. 'maxtime 1000')" },
121     { "maxtemp",  Cmd_max_temp,   " : Set absolute maximum temperature limit in
      °C (eg. 'maxtemp 50')" },
122     { "maxcharge", Cmd_max_charge, " : Set absolute maximum charge taken through
      the battery in mAh (eg. 'maxcharge 500')" },
123     { "load",     Cmd_load,       " : Load configuration from SD-Card and
      re-init" },
124     { "exit",     Cmd_config_exit," : Exit configuration operations" },
125     { 0, 0, 0 }
126 };
127
128 //holds the strings for the reisel comman0d
129 const char *cycle_types[] = {"wait","charge_cellV","discharge_cellV","charge_batV",
      "discharge_batV"};
130
131
132 //*****external variables*****
133 extern tCmdLineEntry g_sMainCmdTable;
134 extern tCmdLineEntry *g_psCmdTable;
135
136 // string for main location
137 extern const char *g_cMainLocalBuf;
138
139 // Global location buffer
140 extern char *g_cLocalBuf;
141
142 //define string for config location
143 const char *g_cConfigLocalBuf = "Config";
144
145 // String buffer for print operations to UART and Ethernet
146 extern char print_buffer[1024];
147
148 // TCP-Socket für die aktuelle Steuerungs-Verbindung
149 extern struct tcp_pcb* control_connection;
150
151 // MAC Adresse für weitere Verwendung im Programm
152 extern unsigned char pucMACArray[8];
153
154 //Flag zeigt an, ob Konfigurationsdateien eingelsen
155 extern char g_ConfDone;
156
157
158 //*****external variables*****
159 //Extern variables for Clock
160 //*****external variables*****
161 extern volatile unsigned long clock_msec;
162 extern volatile unsigned long clock_sec;
163 extern volatile unsigned long clock_min;
164 extern volatile unsigned long clock_hour;

```

```
165 extern volatile unsigned long clock_day;
166 extern volatile unsigned long clock_month;
167 extern volatile unsigned long clock_year;
168
169
170 /*
171  * Initialisieren der Konfiguration.
172  */
173 void init_config(void){
174
175     UARTprintf("Initializing Configuration:\n");
176
177     // set Command line pointer to the beginning of the Config command structure
178     g_psCmdTable = &g_sConfigCmdTable[0];
179     // set location buffer to Browser
180     g_cLocalBuf = (char*)g_cConfigLocalBuf;
181
182     config_read();
183
184     // set Command line pointer to the beginning of the main command structure
185     g_psCmdTable = &g_sMainCmdTable;
186     // set location buffer to main
187     g_cLocalBuf = (char*)g_cMainLocalBuf;
188
189     UARTprintf("Initializing Configuration...done\n");
190
191 }
192
193
194
195 /*
196  * Löschen der Konfiguration
197  */
198 void config_erase(void)
199 {
200     delete_file(CONFIG_FILE);
201     create_file(CONFIG_FILE);
202 }
203
204 /*
205  * Auslesen der Konfiguration.
206  */
207 void config_read(void)
208 {
209     char buffer[ CONF_BUF_SIZE ];
210     int i, err_flag = 0;
211
212     //Load default values
213     config.quantity_cells = 12;
214     config.cyclestep = 5;
215
216     config.A[0] = 0;
217     config.A[1] = 161;
218     config.A[2] = 156;
219     config.A[3] = 161;
220     config.A[4] = 161;
221     config.A[5] = 166;
222     config.A[6] = 159;
223     config.A[7] = 157;
```

```
224     config.A[8]  = 161;
225     config.A[9]  = 154;
226     config.A[10] = 161;
227     config.A[11] = 156;
228     config.A[12] = 161;
229
230     config.B[0]  = 0;
231     config.B[1]  = 88321;
232     config.B[2]  = 88062;
233     config.B[3]  = 88318;
234     config.B[4]  = 88264;
235     config.B[5]  = 88565;
236     config.B[6]  = 88225;
237     config.B[7]  = 88096;
238     config.B[8]  = 88265;
239     config.B[9]  = 87973;
240     config.B[10] = 88321;
241     config.B[11] = 88111;
242     config.B[12] = 88334;
243
244     config.C[0]  = 0;
245     config.C[1]  = 413468;
246     config.C[2]  = 415377;
247     config.C[3]  = 413559;
248     config.C[4]  = 414109;
249     config.C[5]  = 411739;
250     config.C[6]  = 414200;
251     config.C[7]  = 415176;
252     config.C[8]  = 413973;
253     config.C[9]  = 416040;
254     config.C[10] = 413468;
255     config.C[11] = 415067;
256     config.C[12] = 413393;
257
258     config.ip_a = 192;
259     config.ip_b = 168;
260     config.ip_c = 000;
261     config.ip_d = 128;
262
263     config.step_quantity = 1;
264
265     config.cycle_steps[0].type = 0;
266     config.cycle_steps[0].param = 0;
267     config.cycle_steps[0].relay = 0;
268     config.cycle_steps[1].type = WAIT;
269     config.cycle_steps[1].param = 0;
270     config.cycle_steps[1].relay = 0;
271     for(i = 2; i <= 100; i++){
272         config.cycle_steps[i] = (cycle_step_t) {0};
273     }
274
275     config.measuretime = 0;
276     config.max_cycle_time = 0;
277
278     config.max_current = 100;
279     config.min_voltage = 0;
280     config.max_voltage = 5000000;
281     config.max_temp = 300;
282     config.max_charge = 100 * 3600;
```

```
283
284 //If Error reading CONFIG_GILE, load default Values
285 if( read_into_buffer( CONFIG_FILE, buffer ) ) {
286
287     UARTprintf("\nERROR opening %s", CONFIG_FILE);
288     UARTprintf("\nLoading default Values\n\n");
289
290     g_ConfDone = 1;
291     config_print_uart();
292     return;
293 }
294
295
296 //Read config data from SD-Card
297 char *tmp1,*tmp2;
298 tmp1 = tmp2 = buffer;//set pointers to the start of the file
299
300 while(*tmp1){//parse till end of config file
301
302     if(*tmp1 == '\n'){//Line Feed reached, execute command
303
304         *tmp1 = 0;//terminate string
305
306         if(strlen(tmp2) != 0){//skip empty lines
307             if((*tmp2) == '/' && (*(tmp2 + 1)) == '/'){//Ignore comment lines
308                 else if(CmdLineProcess(tmp2) == CMDLINE_BAD_CMD){//process line and
309                     check for error
310                     UARTprintf("\nBad command in config file line: %s\nLoading
311                     default values!\n", tmp2);
312                     err_flag = 1;
313                     break;
314                 }
315             }
316
317             tmp2 = (tmp1 + 1);//next element of the file
318         }
319
320         tmp1++;//next character
321
322         if(*tmp1 == 0){//end of config file reached
323             if(strlen(tmp2) != 0){//skip empty lines
324                 if((*tmp2) == '/' && (*(tmp2 + 1)) == '/'){//Ignore comment lines
325                     else if(CmdLineProcess(tmp2) == CMDLINE_BAD_CMD){//execute last line
326                         of the file
327                         UARTprintf("\nBad command in config file line: %s\nLoading
328                         default values!\n", tmp2);
329                         err_flag = 1;
330                     }
331                 }
332             }
333         }
334
335         if(err_flag){
336
337             handlerState = ERROR;
338
339             //Load default values
340             config.quantity_cells = 12;
341             config.cyclestep = 5;
```

```
338
339     config.A[0] = 0;
340     config.A[1] = 161;
341     config.A[2] = 156;
342     config.A[3] = 161;
343     config.A[4] = 161;
344     config.A[5] = 166;
345     config.A[6] = 159;
346     config.A[7] = 157;
347     config.A[8] = 161;
348     config.A[9] = 154;
349     config.A[10] = 161;
350     config.A[11] = 156;
351     config.A[12] = 161;
352
353     config.B[0] = 0;
354     config.B[1] = 88321;
355     config.B[2] = 88062;
356     config.B[3] = 88318;
357     config.B[4] = 88264;
358     config.B[5] = 88565;
359     config.B[6] = 88225;
360     config.B[7] = 88096;
361     config.B[8] = 88265;
362     config.B[9] = 87973;
363     config.B[10] = 88321;
364     config.B[11] = 88111;
365     config.B[12] = 88334;
366
367     config.C[0] = 0;
368     config.C[1] = 413468;
369     config.C[2] = 415377;
370     config.C[3] = 413559;
371     config.C[4] = 414109;
372     config.C[5] = 411739;
373     config.C[6] = 414200;
374     config.C[7] = 415176;
375     config.C[8] = 413973;
376     config.C[9] = 416040;
377     config.C[10] = 413468;
378     config.C[11] = 415067;
379     config.C[12] = 413393;
380
381     config.ip_a = 192;
382     config.ip_b = 168;
383     config.ip_c = 000;
384     config.ip_d = 128;
385
386     config.step_quantity = 1;
387
388     config.cycle_steps[0].type = WAIT;
389     config.cycle_steps[0].param = 0;
390     config.cycle_steps[0].relay = 0;
391     config.cycle_steps[1].type = WAIT;
392     config.cycle_steps[1].param = 0;
393     config.cycle_steps[1].relay = 0;
394     for(i = 2; i <= 100; i++){
395         config.cycle_steps[i] = (cycle_step_t) {0};
396     }
```

```
397
398     config.measuretime = 0;
399     config.max_cycle_time = 0;
400
401     config.max_current = 100;
402     config.min_voltage = 0;
403     config.max_voltage = 5000000;
404     config.max_temp = 300;
405     config.max_charge = 100 * 3600;
406 }
407
408 g_ConfDone = 1;//Configuration done
409 config_print_uart();
410
411 return;
412 }
413
414
415 /*
416  * Schreiben der aktuellen Konfiguration in die config.txt (SD-Karte).
417  */
418 int config_write(void)
419 {
420     int i = 0;
421
422     delete_file(CONFIG_FILE);
423     create_file(CONFIG_FILE);
424
425     char write_quantity_cells[3];
426     sprintf(write_quantity_cells, "%02i", config.quantity_cells);
427     config_write_struct("quantity ", write_quantity_cells );
428
429     char write_cyclestep[5];
430     sprintf(write_cyclestep, "%04i", config.cyclestep);
431     config_write_struct("cyclestep ", write_cyclestep );
432
433     add_to_file(CONFIG_FILE, "\n");
434
435     char write_adc_A[32];
436     for(i = 1; i <= 12; i++){
437         sprintf(write_adc_A, "%02i %08d", i, config.A[i]);
438         config_write_struct("gain ", write_adc_A );
439     }
440
441     add_to_file(CONFIG_FILE, "\n");
442
443     char write_B[32];
444     for(i = 1; i <= 12; i++){
445         sprintf(write_B, "%02i %08d", i, config.B[i]);
446         config_write_struct("gain ", write_B );
447     }
448
449     add_to_file(CONFIG_FILE, "\n");
450
451     char write_adc_C[32];
452     for(i = 1; i <= 12; i++){
453         sprintf(write_adc_C, "%02i %06d ", i, config.C[i]);
454         config_write_struct("gain ", write_adc_C );
455     }
```



```
456
457     add_to_file(CONFIG_FILE, "\n");
458
459     char write_ip_address[48];
460     sprintf(write_ip_address, "%03d.%03d.%03d.%03d", config.ip_a, config.ip_b, config
461     .ip_c, config.ip_d);
462     config_write_struct("ip ", write_ip_address );
463
464     add_to_file(CONFIG_FILE, "\n");
465
466     char write_measure_time[32];
467     sprintf(write_measure_time, "%05d", config.measuretime);
468     config_write_struct("meastime ", write_measure_time);
469
470     sprintf(write_measure_time, "%d", config.max_cycle_time);
471     config_write_struct("maxcycletime ", write_measure_time);
472
473     add_to_file(CONFIG_FILE, "\n");
474
475     char write_limits[32];
476     sprintf(write_limits, "%d %d", config.min_voltage, config.max_voltage);
477     config_write_struct("vlimits ", write_limits);
478
479     sprintf(write_limits, "%d", config.max_current);
480     config_write_struct("maxcurr ", write_limits);
481
482     sprintf(write_limits, "%d", (int)(config.max_temp/10));
483     config_write_struct("maxtemp ", write_limits);
484
485     sprintf(write_limits, "%d", (int)(config.max_charge/3600));
486     config_write_struct("maxcharge ", write_limits);
487
488     char write_relay_control[32];
489     for(i = 1; i <= config.step_quantity; i++){
490         sprintf(write_relay_control, "%02i %s %05d %01d", i, cycle_types[config.
491         cycle_steps[i].type - 1], config.cycle_steps[i].param, config.cycle_steps
492         [i].relay);
493         config_write_struct("reisel ", write_relay_control);
494     }
495
496     return 1;
497 }
498
499 /*
500 * Hilfsfunktion zum strukturieren der Konfigurationsdatei
501 */
502 void config_write_struct(const char *conf_name, const char *conf_val){
503     add_to_file(CONFIG_FILE, conf_name);
504     add_to_file(CONFIG_FILE, conf_val);
505     add_to_file(CONFIG_FILE, "\n");
506 }
507
508 /*
509 * Ausgabe der Konfiguration ueber UART und Ethernet.
510 * Gibt tabellarisch alle Werte der aktuellen Konfiguration ueber
511 * die UART und ggf. vorhandene Ethernet Verbindung aus.
512 */
```

```

512 void config_print_uart(void)
513 {
514     int i = 0;
515
516     UARTprintf("\n Quantity_cells: %d Cells", config.quantity_cells);
517     UARTprintf("\n Cyclestep:      %d sec", config.cyclestep);
518     UARTprintf("\n IP Address:      %03d.%03d.%03d.%03d", config.ip_a, config.ip_b,
519               config.ip_c, config.ip_d);
519     UARTprintf("\n\n Cell |   ADC A   |   ADC B   |   ADC C   \n");
520
521     for(i = 1; i <= config.quantity_cells; i++){
522         UARTprintf("\n    %02d:    %03d    %08d    %08d", i, config.A[i], config.B
523                   [i], config.C[i]);
524     }
525
526     UARTprintf("\n\nMeasuretime (min): %d", config.measuretime);
527
528     UARTprintf("\n\nMaximum cycling time (min): %d", config.max_cycle_time);
529
530     UARTprintf("\n\nVoltage limits (mV): min:%d max:%d", (int)(config.min_voltage/
531               1000), (int)(config.max_voltage/1000));
532
533     UARTprintf("\n\nMaximum current (mA): %d", config.max_current);
534
535     UARTprintf("\n\nMaximum cell temperature (°C): %d", (int)(config.max_temp/10));
536
537     UARTprintf("\n\nMaximum battery charge (mAh): %d", config.max_charge/3600);
538
539     UARTprintf("\n\nCycle steps: %d", config.step_quantity);
540
541     UARTprintf("\n\nStepID      Steptype      Parameter  Relayselect");
542
543     for(i = 1; i <= config.step_quantity; i++){
544         sprintf(print_buffer, "\n%02i      %-15s %05d      %01d", i, cycle_types[
545               config.cycle_steps[i].type - 1], config.cycle_steps[i].param, config.
546               cycle_steps[i].relay);
547         UARTprintf(print_buffer);
548     }
549
550     UARTprintf("\n\n");
551
552     if(control_connection){
553         telnet_write("\n");
554         sprintf(print_buffer, " Quantity_cells: %d Cells\n", config.quantity_cells);
555         telnet_write(print_buffer);
556         sprintf(print_buffer, " Cyclestep:      %d sec\n", config.cyclestep);
557         telnet_write(print_buffer);
558         sprintf(print_buffer, " IP Address:      %03d.%03d.%03d.%03d\n", config.ip_a,
559               config.ip_b, config.ip_c, config.ip_d);
560         telnet_write(print_buffer);
561         telnet_write("\n");
562         sprintf(print_buffer, " Cell |   ADC Gain | ADC Offset\n");
563         telnet_write(print_buffer);
564         telnet_write("\n");
565         telnet_write("\n");

```

```
565     sprintf(print_buffer, "");
566     char buf[64];
567     for(i = 1; i <= config.quantity_cells; i++){
568         sprintf(buf, " %02d: %03d %08d %08d\n", i, config.A[i],
569             config.B[i], config.C[i]);
570         strcat(print_buffer, buf);
571     }
572     telnet_write(print_buffer);
573
574     telnet_write("\n");
575     telnet_write("\n");
576
577     sprintf(print_buffer, " Measuretime (min): %d\n", config.measuretime);
578     telnet_write(print_buffer);
579
580     sprintf(print_buffer, "\n\nMaximum cycling time (min): %d", config.
581         max_cycle_time);
582     telnet_write(print_buffer);
583
584     sprintf(print_buffer, "\n\nVoltage limits (mV): min:%d max:%d", (int)(
585         config.min_voltage/1000), (int)(config.max_voltage/1000));
586     telnet_write(print_buffer);
587
588     sprintf(print_buffer, "\n\nMaximum current (mA): %d", config.max_current);
589     telnet_write(print_buffer);
590
591     sprintf(print_buffer, "\n\nMaximum cell temperature (°C): %d", (int)(config.
592         max_temp/10));
593     telnet_write(print_buffer);
594
595     sprintf(print_buffer, "\n\nMaximum battery charge (mAh): %d", config.
596         max_charge/3600);
597     telnet_write(print_buffer);
598
599     telnet_write("\n");
600     telnet_write("\n");
601
602     sprintf(print_buffer, " Cyclesteps : %01d\n", config.step_quantity);
603     telnet_write(print_buffer);
604
605     telnet_write("\n");
606
607     sprintf(print_buffer, "\n\nStepID Steptype Parameter Relayslect");
608     telnet_write(print_buffer);
609
610     for(i = 1; i <= config.step_quantity; i++){
611         sprintf(print_buffer, "\n%02i %-15s %05d %01d", i,
612             cycle_types[config.cycle_steps[i].type - 1], config.cycle_steps[i].param,
613             config.cycle_steps[i].relay);
614         telnet_write(print_buffer);
615     }
616     telnet_write("\n");
617     telnet_write("\n");
618 }
```

```
617
618
619
620
621     }
622
623     //*****
624     //
625     // Implementation of an command line for configure operations based on stellarisware
626     // sd-card example
627     //
628     //*****
629     int config_cmd_line(int argc, char *argv[])
630     {
631         // set Command line pointer to the beginning of the Config command structure
632         g_psCmdTable = &g_sConfigCmdTable[0];
633
634         // set location buffer to Browser
635         g_cLocalBuf = (char*)g_cConfigLocalBuf;
636
637         return(0);
638     }
639
640     //*****
641     //
642     // Implementation of an command to exit to main command line entry
643     //
644     //*****
645     int Cmd_config_exit(int argc, char *argv[])
646     {
647         // set Command line pointer to the beginning of the main command structure
648         g_psCmdTable = &g_sMainCmdTable;
649
650         // set location buffer to main
651         g_cLocalBuf = (char*)g_cMainLocalBuf;
652
653         return(0);
654     }
655
656     //*****
657     //
658     // Implementation of an command to set the gain value
659     //
660     //*****
661     int Cmd_gain(int argc, char *argv[])
662     {
663
664         if(argc == 3){//takes only 2 parameters
665             int cell, gain;
666             //
667             // Copy the first input data into buffer.
668             //
669             strcpy(g_cTmpInputData, argv[1]);
670
671             cell = (int) strtol(g_cTmpInputData, (char **)NULL, 10);
672
673             if(cell > 0 && cell < 13){//check borders
674                 //
```

```

675         // Copy the second input data into buffer.
676         //
677         strcpy(g_cTmpInputData, argv[2]);
678
679         gain = (int) strtol(g_cTmpInputData, (char **)NULL, 10);
680
681         if(gain > 0){
682             //config.gain[cell] = gain;
683             return 0;//success
684         }
685     }
686 }
687 return -1;//Bad command
688 }
689
690 //*****
691 //
692 // Implementation of an command to set the offset value
693 //
694 //*****
695 int Cmd_offset(int argc, char *argv[])
696 {
697
698     if(argc == 3){//takes only 2 parameters
699         int cell;
700
701         //
702         // Copy the first input data into buffer.
703         //
704         strcpy(g_cTmpInputData, argv[1]);
705
706         //
707         // Assign cell
708         //
709         cell = (int) strtol(g_cTmpInputData, (char **)NULL, 10);
710
711         if(cell > 0 && cell < 13){//check borders
712             //
713             // Copy the second input data into buffer.
714             //
715             strcpy(g_cTmpInputData, argv[2]);
716
717
718             //
719             // Configure negative offset to assigned cell
720             //
721
722             if(g_cTmpInputData[0] == '-' ){
723                 //config.offset[cell] = (int) strtol(g_cTmpInputData + 1, (char
724                 **)NULL, 10);
725             }
726
727             //
728             // Configure positive offset to assigned cell
729             //
730             if(g_cTmpInputData[0] != '-' ){
731                 //config.offset[cell] = (int) strtol(g_cTmpInputData, (char **)NULL,
732                 10);
733             }

```

```

732
733         return(0);
734     }
735 }
736     return -1; //bad command
737 }
738
739 //*****
740 //
741 // Implementation of an command to autocalibrate hall sensor offset
742 //
743 //*****
744 int Cmd_calibrate(int argc, char *argv[])
745 {
746
747     //
748     // Calibrate and set offset for current
749     //
750     config.zerocurrentch1 = 0;
751     config.zerocurrentch2 = 0;
752
753     config.zerocurrentch1 = (32770 - adc_get_single_value_ch2());
754     config.zerocurrentch2 = (32770 - adc_get_single_value_ch3());
755
756
757     return(0);
758 }
759 }
760
761 //*****
762 //
763 // Implementation of an command to set the up-address
764 //
765 //*****
766 int Cmd_ip(int argc, char *argv[])
767 {
768     if(argc == 2){//takes only one parameter
769         char *tmp1,*tmp2, i;
770         int ip, flag = 0;
771         //
772         // Copy the first input data into buffer.
773         //
774         strcpy(g_cTmpInputData, argv[1]);
775
776         tmp1 = tmp2 = g_cTmpInputData;
777
778         for (i = 0; i < 3; i++){
779             while(*tmp1++ != '.');//look for the separating dot sign
780             *(tmp1 - 1) = 0;//write trailing string null
781             if(i == 0){
782                 ip = (int) strtol(tmp2, (char **)NULL, 10);
783                 if(ip >= 0 && ip <= 255)//check borders
784                     config.ip_a = ip;//first argument
785                 else {flag = 1;break;}
786             }else if(i == 1){
787                 ip = (int) strtol(tmp2, (char **)NULL, 10);
788                 if(ip >= 0 && ip <= 255)//check borders
789                     config.ip_b = ip;//second argument
790                 else {flag = 1;break;}

```

```

791         }else if(i == 2){
792             ip = (int) strtol(tmp2, (char **)NULL, 10);
793             if(ip >= 0 && ip <= 255)//check borders
794                 config.ip_c = ip;//third argument
795             else {flag = 1; break;}
796             ip = (int) strtol(tmp1, (char **)NULL, 10);
797             if(ip >= 0 && ip <= 255)//check borders
798                 config.ip_d = ip;//fourth argument
799             else {flag = 1;break;}
800         }
801         tmp2 = tmp1;
802     }
803
804     if(!flag){
805         if(g_ConfDone){
806             //REinit Ethernet connection
807             struct ip_addr local_addr;
808             IP4_ADDR(&local_addr,config.ip_d,config.ip_c,config.ip_b,config.ip_a);
809             lwIPNetworkConfigChange(local_addr.addr, g_ulNetMask, g_ulGWAddr,
810                 g_ulIPMode);//Change IP Address and restart network
811         }
812         return 0;//success
813     }
814     return -1;//Bad command
815 }
816
817 //*****
818 //
819 // Implementation of an command to print actual configuration to UART and Ethernet
820 //
821 //*****
822 int Cmd_print(int argc, char *argv[])
823 {
824     config_print_uart();
825     return(0);
826 }
827
828 //*****
829 //
830 // Implementation of an command to set the quantity of battery cells
831 //
832 //*****
833 int Cmd_quantity(int argc, char *argv[])
834 {
835
836     if(argc == 2){//check if only one command
837         //
838         // Copy the input data into buffer.
839         //
840         strcpy(g_cTmpInputData, argv[1]);
841         long data = (long) strtol(g_cTmpInputData, (char **)NULL, 10);
842
843         if(data >= 0 && data < 13){//check if in borders
844             config.quantity_cells = data;
845             return 0;//success
846         }
847     }
848     return -1;//return bad command

```

```
849 }
850
851
852 //*****
853 //
854 // Implementation of an command to set the time between measurment ("Cyclestep")
855 //
856 //*****
857 int Cmd_cyclestep(int argc, char *argv[])
858 {
859     if(argc == 2){
860         //
861         // Copy the input data into buffer.
862         //
863         strcpy(g_cTmpInputData, argv[1]);
864
865         long data = (long) strtol(g_cTmpInputData, (char **)NULL, 10);
866
867         if(data > 0 && data <= 85){//check borders
868             config.cyclestep = data;
869
870             if(g_ConfDone)
871                 reinit_timer0();//Reinit timer only if not in configuration from sd
            card file
872
873             return 0;//success
874         }
875     }
876     return -1; //Bad command
877 }
878
879 //*****
880 //
881 // Implementation of an command to set the measurement time
882 //
883 //*****
884 int Cmd_meastime(int argc, char *argv[])
885 {
886     if(argc == 2){
887         int time;
888         //
889         // Copy the input data into buffer.
890         //
891         strcpy(g_cTmpInputData, argv[1]);
892
893         time = (int) strtol(g_cTmpInputData, (char **)NULL, 10);
894         if(time > 0){
895             config.measuretime = time;
896             return 0;
897         }
898     }
899     return -1;
900 }
901 }
902
903 //*****
904 //
905 // Implementation of an command to set the quantity loadrelay switches
906 //
```



```

907 //*****
908 int Cmd_relqua(int argc, char *argv[])
909 {
910     if(argc == 2){
911         int step_qua;
912         //
913         // Copy the input data into buffer.
914         //
915         strcpy(g_cTmpInputData, argv[1]);
916
917         step_qua = (int) strtol(g_cTmpInputData, (char **)NULL, 10);
918         if(step_qua > 0 && step_qua <= config.step_quantity){
919             int i;
920             config.step_quantity = step_qua;
921             //set Relsel values more than actual relay quantity to zero
922             for(i = (config.step_quantity + 1); i < 101; i++){
923                 config.cycle_steps[i] = (cycle_step_t) {0};
924
925                 return 0;
926             }
927         }
928         return -1;
929     }
930
931 //*****
932 //
933 // Implementation of an command to set the selection of a loadrelay by given time
934 //
935 //*****
936 int Cmd_relsel(int argc, char *argv[])
937 {
938     if(argc == 5){//takes only 4 parameters
939         int stepId;
940
941         //
942         // Copy the first input data into buffer.
943         //
944         strcpy(g_cTmpInputData, argv[1]);
945
946         //
947         // Assign relayid
948         //
949         stepId = (int) strtol(g_cTmpInputData, (char **)NULL, 10);
950         if(stepId > 0 && (stepId <= config.step_quantity + 1)){
951             char type, flag = false;
952
953             //
954             // Copy the second input data into buffer.
955             //
956             strcpy(g_cTmpInputData, argv[2]);
957
958             for(type = 1; type < 6; type++){
959                 if(strcmp(cycle_types[type - 1], g_cTmpInputData) == 0){
960                     flag = true;
961                     break;
962                 }
963             }
964             if(flag){
965                 int param;

```

```

966
967 //
968 // Copy the third input data into buffer.
969 //
970 strcpy(g_cTmpInputData, argv[3]);
971
972 param = (int) strtol(g_cTmpInputData, (char **)NULL, 10);
973 if(param >= 0){
974     int relay;
975
976     if(type == WAIT)//check borders for each type
977         if(param > 99999)
978             return -1;
979     else if(type == CHARGE_CELLV)
980         if(param > 5000)
981             return -1;
982     else if(type == DISCHARGE_CELLV)
983         if(param > 5000)
984             return -1;
985     else if(type == CHARGE_BATV)
986         if(param > 60000)
987             return -1;
988     else if(type == DISCHARGE_BATV)
989         if(param > 60000)
990             return -1;
991
992 //
993 // Copy the fourth input data into buffer.
994 //
995 strcpy(g_cTmpInputData, argv[4]);
996 relay = (int) strtol(g_cTmpInputData, (char **)NULL, 10);
997
998 if(relay >= 0 && relay < 5){
999     config.cycle_steps[stepId].type = type;
1000     config.cycle_steps[stepId].param = param;//µV
1001     config.cycle_steps[stepId].relay = relay;
1002
1003     if(stepId == config.step_quantity + 1)
1004         config.step_quantity++;
1005
1006     return 0;//success
1007 }
1008
1009 }
1010 }
1011 }
1012 }
1013 return -1;
1014 }
1015
1016
1017 //*****
1018 //
1019 // Implementation of an command to save current configuration to SD-Card
1020 //
1021 //*****
1022 int Cmd_save(int argc, char *argv[])
1023 {
1024     config_write();

```

```

1025     return 0;
1026 }
1027
1028 //*****
1029 //
1030 // Implementation of an command to load the configuration file from SD-Card
1031 // and reinitialize
1032 //
1033 //*****
1034 int Cmd_load(int argc, char *argv[])
1035 {
1036     config_read();
1037     return 0;
1038 }
1039
1040 //*****
1041 //
1042 // Implementation of an command to set the current system clock and RTC
1043 //
1044 //*****
1045 int Cmd_set_clock(int argc, char *argv[])
1046 {
1047     if(argc == 3){//takes only 2 parameters
1048         strcpy(g_cTmpInputData, argv[1]);
1049         clock_day = 10 * (g_cTmpInputData[0] - '0') + (g_cTmpInputData[1] - '0') ;
1050
1051         clock_month = 10 * (g_cTmpInputData[3] - '0') + (g_cTmpInputData[4] - '0') ;
1052
1053         clock_year = 1000 * (g_cTmpInputData[6] - '0') + 100 * (g_cTmpInputData[7]
1054 - '0') + 10 * (g_cTmpInputData[8] - '0') + (g_cTmpInputData[9] - '0');
1055
1056         strcpy(g_cTmpInputData, argv[2]);
1057         clock_hour = 10 * (g_cTmpInputData[0] - '0') + (g_cTmpInputData[1] - '0') ;
1058
1059         clock_min = 10 * (g_cTmpInputData[3] - '0') + (g_cTmpInputData[4] - '0') ;
1060
1061         clock_sec = 0;
1062
1063         set_rtc_values(clock_year - 2000, clock_month, clock_day, clock_hour,
1064 clock_min, clock_sec);//Set Time in RTC
1065
1066     return 0;
1067 }
1068
1069 //*****
1070 //
1071 // Implementation of an command to set the minimum and maximum voltages
1072 //
1073 //*****
1074 int Cmd_set_limits (int argc, char *argv[]){
1075
1076     if(argc == 3){//takes only 2 parameters
1077         int min, max;
1078
1079         strcpy(g_cTmpInputData, argv[1]);
1080
1081         min = (int) strtol(g_cTmpInputData, (char **)NULL, 10);

```

```
1082
1083     strcpy(g_cTmpInputData, argv[2]);
1084
1085     max = (int) strtol(g_cTmpInputData, (char **)NULL, 10);
1086
1087     if(min >= 0 && min < max && max <= 5000){//check borders
1088
1089         config.min_voltage = min * 1000;//µV
1090         config.max_voltage = max * 1000;//µV
1091         return 0;//success
1092     }
1093 }
1094 return -1;//Bad command
1095 }
1096
1097 //*****
1098 //
1099 // Implementation of an command to set the absolute maximum current allowed
1100 //
1101 //*****
1102 int Cmd_set_current(int argc, char *argv[]){
1103
1104     if(argc == 2){//check if only one command
1105
1106         strcpy(g_cTmpInputData, argv[1]);
1107         int data = (int) strtol(g_cTmpInputData, (char **)NULL, 10);
1108
1109         if(data > 0 && data <= 500000){//check if in borders
1110             config.max_current = data;
1111             return 0;//success
1112         }
1113     }
1114     return -1;//return bad command
1115 }
1116
1117 //*****
1118 //
1119 // Implementation of an command to set the absolute maximum cycling time allowed
1120 //
1121 //*****
1122 int Cmd_max_time (int argc, char *argv[]){
1123
1124     if(argc == 2){//check if only one command
1125
1126         strcpy(g_cTmpInputData, argv[1]);
1127         int data = (int) strtol(g_cTmpInputData, (char **)NULL, 10);
1128
1129         if(data > 0 && data < 99999){//check if in borders
1130             config.max_cycle_time = data;
1131             return 0;//success
1132         }
1133     }
1134     return -1;//return bad command
1135 }
1136
1137 //*****
1138 //
1139 // Implementation of an command to set the absolute maximum temperature allowed
1140 //
```

```

1141 //*****
1142 int Cmd_max_temp (int argc, char *argv[]){
1143
1144     if(argc == 2){//check if only one command
1145
1146         strcpy(g_cTmpInputData, argv[1]);
1147         int data = (int) strtol(g_cTmpInputData, (char **)NULL, 10);
1148
1149         if(data >= 0 && data <= 150){//check if in borders
1150             config.max_temp = data * 10;
1151             return 0;//success
1152         }
1153     }
1154     return -1;//return bad command
1155 }
1156
1157
1158 //*****
1159 //
1160 // Implementation of an command to set the absolute maximum temperature allowed
1161 //
1162 //*****
1163 int Cmd_max_charge (int argc, char *argv[]){
1164
1165     if(argc == 2){//check if only one command
1166
1167         strcpy(g_cTmpInputData, argv[1]);
1168         int data = (int) strtol(g_cTmpInputData, (char **)NULL, 10);
1169
1170         if(data > 0){//check if in border
1171             config.max_charge = data * 3600;//saved in mAsec
1172             return 0;//success
1173         }
1174     }
1175     return -1;//return bad command
1176 }
1177
1178 //*****
1179 // Function used to calibrate channelwise 16-bit adc. Use debugger and
1180 // breakpoints. Values of ADC are written to adc.txt. Use two Voltages.
1181 // One low (ca. 300 mV) and one high (ca. 3.2V). Experience made with FLUKE 45
1182 //*****
1183 void calibrate_adc(void){
1184
1185     int i = 0;
1186     int j = 0;
1187     char buf[32];
1188
1189     delete_file("adc.txt");
1190     create_file("adc.txt");
1191
1192
1193     for(j = 1; j <= 12; j++){
1194
1195
1196         switch_relais(j);
1197         sprintf(buf, "\n CELL LOW %d\n", j);
1198         add_to_file("adc.txt", buf);
1199

```

```
1200     for(i=1 ; i<=20 ; i++){
1201
1202         sprintf(buf,"%d\n", adc_get_single_value());
1203         add_to_file("adc.txt", buf);
1204     }
1205     UARTprintf("\n%d LOW done",j);
1206     UARTprintf("\nnext");
1207
1208 }
1209 UARTprintf("\nALL LOW DONE!");
1210
1211 for(j = 1; j <= 12; j++){
1212
1213
1214     switch_relais(j);
1215     sprintf(buf,"\n CELL HIGH %d\n", j);
1216     add_to_file("adc.txt", buf);
1217
1218     for(i=1 ; i<=20 ; i++){
1219
1220         sprintf(buf,"%d\n", adc_get_single_value());
1221         add_to_file("adc.txt", buf);
1222         UARTprintf(buf);
1223     }
1224     UARTprintf("\n%d HIGH done",j);
1225     UARTprintf("\nnext");
1226
1227 }
1228 UARTprintf("\nALL HIGH DONE!");
1229
1230 }
1231
1232
1233
1234
```

```
1  /*
2  * control.h
3  *
4  *   Created on: 25.12.2011
5  *   Author: Fabian S.
6  *   Credits: Thomas W.
7  */
8
9  #ifndef CONTROL_H_
10 #define CONTROL_H_
11
12 #include "lwip/tcp.h"
13
14 /*****
15 *
16 * Function Declarations
17 *
18 *****/
19 void control_init(void);
20 err_t control_new_con(void* arg, struct tcp_pcb* newpcb, err_t err);
21 err_t control_rx(void* arg, struct tcp_pcb* tpcb, struct pbuf* p, err_t err);
22 void control_tick(unsigned char *data_check, unsigned long data_length);
23 void telnet_write(const void *data);
24 void telnet_immediate_write(const void *data);
25
26
27 typedef enum
28 {
29     MAIN,
30     BROWSER,
31     CONFIG
32 } control_state_t;
33
34
35
36
37 #endif /* CONTROL_H_ */
38
```

```
1  /*
2  Project:                battery_cycling_sw_v4
3  File:                  control.c
4
5  Auhtor:                Thomas Wisniewski
6  Credits:              Matthias Schneider
7                      Tobias Steinmann
8                      Fabian Schwartau
9                      Johannes Roehn
10                     Stellaris Ware
11
12  last modified:        2013/12/11
13
14  Project Status        Under Construction
15  Status:               running
16
17  CCS:                  5.5.1.00031
18  Stellarisware:        8555
19
20  Hardware:             Stellaris EKS-LM3S9B92 on Extension Board with
21                     16 Bit ADC AD7798, SD-Card, Reed-Relais Matrix,
22                     NTC-Connectors, MAX3232 and Suplly Circuits
23
24  Description:          Controlling TCP-link. Processing and
25                     execution of commands.
26  */
27
28
29  #include "header/control.h"
30  #include "inc/hw_types.h"
31  #include "utils/uartstdio.h"
32  #include <stdlib.h>
33  #include <string.h>
34  #include <stdio.h>
35  #include "header/mycmdline.h"
36
37
38  struct tcp_pcb* control_tcpb; // Server-Socket für die TCP-Verbindung
39  // Stream zur Speicherung aller erhaltenen Daten über den TCP-Socket
40
41  // TCP-Socket für die aktuelle Steuerungs-Verbindung
42  struct tcp_pcb* control_connection = (struct tcp_pcb*)NULL;
43
44  // Global location buffer
45  extern char *g_cLocalBuf;
46
47  //*****
48  //
49  // The buffer that holds the answer line.
50  //
51  //*****
52  char g_cNewConBuf[32];
53
54
55  /*
56  * Initialisierung der Kommunikation.
57  * Hier wird der Server-TCP-Socket und der UDP-Socket initialisiert.
58  * Zudem wird auch der FIFO für die Befehle initialisiert.
59  */
```



```
60 void control_init(void)
61 {
62     UARTprintf("  Initializing control...");
63
64     control_tpcb = tcp_new();
65     tcp_bind(control_tpcb, IP_ADDR_ANY, 56936);
66     control_tpcb = tcp_listen(control_tpcb);
67     tcp_accept(control_tpcb, &control_new_con);
68     UARTprintf("done\n");
69 }
70
71 /*
72  * "Interrupt" bei Erhalt einer neuen TCP-Verbindung.
73  * Diese Funktion wird vom lwIP-Stack ausgeführt, wenn eine
74  * neue TCP-Verbindung angefordert wird. Zunächst wird eine evtl.
75  * bestehende alte Verbindung getrennt. Anschließend wird die
76  * neue Verbindung angenommen.
77  */
78 err_t control_new_con(void* arg, struct tcp_pcb* newpcb, err_t err)
79 {
80     if(control_connection)
81         tcp_close(control_connection);
82     control_connection = newpcb;
83     tcp_accepted(newpcb);
84     tcp_recv(newpcb, &control_rx);
85     UARTprintf("New control connection established!\n");
86     if(control_connection){
87         telnet_write(" Enter Command (type <help> to see list of commands):\n");
88         sprintf(g_cNewConBuf, "%s: > \n", g_cLocalBuf);
89         telnet_write(g_cNewConBuf);
90     }
91     //
92     // Print a prompt to the console.
93     //
94     UARTprintf("\n Enter Command (type <help> to see list of commands):");
95     UARTprintf("\n%s: > ", g_cLocalBuf);
96     return ERR_OK;
97 }
98
99 /*
100  * "Interrupt" bei Erhalt von Daten über den TCP-Socket.
101  * Diese Funktion wird vom lwIP-Stack ausgeführt, wenn neue
102  * Daten über den TCP-Socket eingetroffen sind.
103  * Die Daten werden hier zunächst im FIFO zwischengespeichert.
104  * Anschließend wird die Funktion control_tick() ausgeführt, um
105  * die erhaltenen Daten auszuwerten.
106  */
107 err_t control_rx(void* arg, struct tcp_pcb* tpcb, struct pbuf* p, err_t err)
108 {
109
110     if(p == NULL)
111     {
112         UARTprintf("Control connection closed!\n");
113         control_connection = NULL;
114         return ERR_OK;
115     }
116
117     struct pbuf* current_p=p;
118
```

```
119
120     unsigned char* receive_data = (unsigned char*) current_p->payload;
121     unsigned long received_data_length = current_p->tot_len;
122
123
124     control_tick(receive_data, received_data_length);
125     tcp_recved(tpcb, p->tot_len);
126     pbuf_free(p);
127
128
129     return ERR_OK;
130 }
131
132 /*
133  * Auswertung der im FIFO enthaltenen Befehle.
134  * Es wird zunächst geprüft, ob eine vollständige Zeile
135  * im FIFO vorhanden ist. Wenn ja, wird diese an die Funktion
136  * Cmd_interprete() übergeben. Wenn nicht, beendet
137  * sich die Funktion einfach.
138  */
139 void control_tick(unsigned char *data_check, unsigned long data_length)
140 {
141     long i;
142     tBoolean hadCommand = true;
143     char g_cEthGetBuf[64] = {0};
144
145
146     while(hadCommand)
147     {
148
149         for(i = 0; i < data_length; i++)
150         {
151             char element = *data_check++;
152
153             if(element == '\n' || element == '\r' )
154             {
155
156                 // There is a new command, execute
157
158                 Cmd_interprete(g_cEthGetBuf);
159
160                 hadCommand = false;
161
162                 break;
163             }
164
165             g_cEthGetBuf[i] = element;
166         }
167     }
168 }
169
170 void telnet_write(const void *data){
171     tcp_write(control_connection, data, strlen(data), TCP_WRITE_FLAG_COPY |
172     TCP_WRITE_FLAG_MORE);
173 }
174
175 void telnet_immediate_write(const void *data){
176
```

```
177     if(tcp_write(control_connection, data, strlen(data),TCP_WRITE_FLAG_COPY |
178     TCP_WRITE_FLAG_MORE) != ERR_OK){
179         tcp_output(control_connection);//Clear queue
180
181         while(tcp_write(control_connection, data, strlen(data),TCP_WRITE_FLAG_COPY |
182         TCP_WRITE_FLAG_MORE)){//Retry sending till ERR_OK is returned
183             //tcp_output(control_connection);//Clear queue;#
184             //UARTprintf("\nRetry sending!");
185         }
186     }else;
187         tcp_output(control_connection);//Clear queue
188     }
189
190 }
```

```
1  /*
2  * discover.h
3  *
4  *   Created on: 16.07.2012
5  *   Author: Thomas W. / Fabian S. / Tobias S.
6  */
7
8  #ifndef DISCOVER_H_
9  #define DISCOVER_H_
10
11  /*****
12  *
13  * Function Declarations
14  *
15  *****/
16  void discover_init(void);
17  void discover_rx(void* arg, struct udp_pcb* upcb, struct pbuf* p, struct ip_addr*
18  addr, u16_t port);
19  void ipToString(char* string, unsigned long ip, int maxLen);
20  #endif /* DISCOVER_H_ */
21
```

```
1  /*
2  Project:                battery_cycling_sw_v4
3  File:                  discover.c
4
5  Auhtor:               Fabian Schwartau
6  Credits:              Thomas Wisniewski
7                      Matthias Schneider
8                      Tobias Steinmann
9                      Stellaris Ware
10
11 last modified:        2013/03/07
12
13 Project Status        Under Construction
14 Status:              running
15
16 CCS:                 5.5.1.00031
17 Stellarisware:       8555
18
19 Hardware:            Stellaris EKS-LM3S9B92 on Extension Board with
20                      16 Bit ADC AD7798, SD-Card, Reed-Relais Matrix,
21                      NTC-Connectors, MAX3232 and Suplly Circuits
22
23 Description:         Discover the Board via Ethernet Broadcast message
24                      by answer with IP-address-package
25 */
26
27
28
29
30 #include <string.h>
31 #include <stdio.h>
32 #include "utils/lwiplib.h"
33 #include "utils/uartstdio.h"
34 #include "inc/hw_ints.h"
35 #include "inc/hw_memmap.h"
36 #include "inc/hw_types.h"
37 #include "inc/hw_uart.h"
38 #include "inc/lm3s9b92.h"
39 #include "stdio.h"
40 #include "lwip/udp.h"
41
42
43
44 void discover_init(void);
45 void discover_rx(void* arg, struct udp_pcb* upcb, struct pbuf* p, struct ip_addr*
46 addr, u16_t port);
47 void ipToString(char* string, unsigned long ip, int maxLen);
48
49 // UDP-Socket für die UDP-Nachrichten
50 struct udp_pcb* g_upcb;
51
52 /*
53  * Initialisierung des UDP-Sockets.
54  */
55 void discover_init(void)
56 {
57     volatile unsigned long ulLoop;
58     UARTprintf(" Initializing discover...");
59     g_upcb = udp_new();
```

```

59     err_t error = udp_bind(g_upcb, IP_ADDR_ANY, 56936);
60     if(error != ERR_OK)
61     {
62         UARTprintf("failed: Unable to bind udp socket for discover: %d\n", error);
63         return;
64     }
65     udp_recv(g_upcb, &discover_rx, (void*)0);
66     UARTprintf("done\n");
67 }
68
69 /*
70  * "Interrupt" beim Erhalten eines neuen Pakets.
71  * Diese Funktion wird durch den lwIP-Stack ausgeführt, wenn ein
72  * neues UDP-Paket auf dem Socket g_upcb angekommen ist.
73  * Die Funktion antwortet jedem Paket mit der IP-Adresse des Moduls.
74  */
75 void discover_rx(void* arg, struct udp_pcb* upcb, struct pbuf* p, struct ip_addr*
addr, u16_t port)
76 {
77     char buffer[30];
78     UARTprintf("Got discovery packet:\n");
79     UARTprintf("  length: %d\n", p->len);
80     UARTprintf("  payload: %s\n", p->payload);
81
82
83
84     //udp_connect(g_upcb, addr, port);
85     ipToString(buffer, lwIPLocalIPAddrGet(), 29);
86     struct pbuf* ipPacket = pbuf_alloc(PBUF_TRANSPORT, strlen(buffer), PBUF_RAM);
87     strcpy((char*)ipPacket->payload, buffer);
88     udp_sendto(g_upcb, ipPacket, addr, port);
89
90
91     UARTprintf("  SRC IP: %d.%d.%d.%d\n", addr->addr & 0xff, (addr->addr >> 8) & 0xff
, (addr->addr >> 16) & 0xff, (addr->addr >> 24) & 0xff);
92     UARTprintf("  SRC Port: %d\n", port);
93     UARTprintf("  Answer sent\n");
94
95
96     /*UARTprintf("  SRC2 IP: %d.%d.%d.%d\n", upcb->remote_ip.addr & 0xff,
(upcb->remote_ip.addr >> 8) & 0xff, (upcb->remote_ip.addr >> 16) & 0xff,
(upcb->remote_ip.addr >> 24) & 0xff);
97     UARTprintf("  SRC2 Port: %d\n", upcb->remote_port);
98     UARTprintf("  DST IP: %d.%d.%d.%d\n", upcb->local_ip.addr & 0xff,
(upcb->local_ip.addr >> 8) & 0xff, (upcb->local_ip.addr >> 16) & 0xff,
(upcb->local_ip.addr >> 24) & 0xff);
99     UARTprintf("  DST Port: %d\n", upcb->local_port);*/
100     pbuf_free(p);
101     pbuf_free(ipPacket);
102 }
103
104 /*
105  * Funktion zur Konvertierung einer in einem unsigned long gespeicherten
106  * IP-Adresse in einen String.
107  */
108 void ipToString(char* string, unsigned long ip, int maxLen)
109 {
110     sprintf(string, "%d.%d.%d.%d", ip & 0xff, (ip >> 8) & 0xff, (ip >> 16) & 0xff, (
ip >> 24) & 0xff);

```

```
111 }  
112  
113
```

```
1  /*
2  * display.h
3  *
4  * Created on: 25.03.2013
5  * Author: Thomas W.
6  * Johannes R.
7  * modified: 13.01.2014
8  */
9
10 #ifndef DISPLAY_H_
11 #define DISPLAY_H_
12
13 #define LEDPORTCTRL GPIO_PORTH_BASE
14 #define LEDPORTDATA GPIO_PORTJ_BASE
15
16 #define RS GPIO_PIN_0
17 #define RW GPIO_PIN_1
18 #define E GPIO_PIN_2
19
20
21 #define D4 GPIO_PIN_0
22 #define D5 GPIO_PIN_1
23 #define D6 GPIO_PIN_2
24 #define D7 GPIO_PIN_3
25
26
27 // Displaymodes
28 typedef enum
29 {
30     ERROR,
31     ERRCURR,
32     ERRCHARGE,
33     ERRVOLT,
34     ERRTIME,
35     ERRTEMP,
36     START,
37     CLOCK,
38     MEAS,
39     MEASSTOP,
40     CELLA,
41     CELLB,
42     CELLC,
43     CELLD,
44     CURRENT,
45     IP,
46     CONF,
47     CURRSTEP
48 } display_handler_t;
49
50 // Instance of display mode
51 volatile display_handler_t handlerState;
52
53 /*****
54 *
55 * Function Declarations
56 *
57 *****/
58
59 void display_init(void);
```



```
60 void display_reinit(void);
61 void buttons_init(void);
62 void clear_display(void);
63 void write_to_display(char* inputText, unsigned char row, unsigned char col);
64 void set_position(unsigned char address);
65 void write_char(unsigned char inputData);
66 void LEDcommand(unsigned char command);
67
68 void GPIOD01Handler(void);
69 void GPIOF00Handler(void);
70 void GPIOC04Handler(void);
71 void GPIOH05Handler(void);
72
73
74 #endif /* DISPLAY_H_ */
75
```

```
1  /*
2  Project:                battery_cycling_sw_v4
3  File:                  display.c
4
5  Auhtor:                Thomas Wisniewski
6  Credits:               Matthias Schneider
7                        Tobias Steinmann
8                        Fabian Schwartau
9                        Johannes Roehn
10                       Stellaris Ware
11
12  last modified:         2014/01/13
13
14  Project Status         Under Construction
15  Status:                running
16
17  CCS:                   5.5.1.00031
18  Stellarisware:         8555
19
20  Hardware:              Stellaris EKS-LM3S9B92 on Extension Board with
21                        16 Bit ADC AD7798, SD-Card, Reed-Relais Matrix,
22                        NTC-Connectors, MAX3232 and Suplly Circuits
23
24  Description:           Source Code LED Display
25
26  */
27
28
29
30  /*****
31  *
32  * Own Includings
33  *
34  *****/
35
36  #include <utils/lwiplib.h>
37  #include "inc/hw_ints.h"
38  #include "inc/hw_memmap.h"
39  #include "inc/hw_types.h"
40  #include "driverlib/debug.h"
41  #include "driverlib/gpio.h"
42  #include "driverlib/interrupt.h"
43  #include "driverlib/pin_map.h"
44  #include "driverlib/rom.h"
45  #include "driverlib/sysctl.h"
46  #include "driverlib/uart.h"
47  #include "utils/uartstdio.h"
48  #include "driverlib/timer.h"
49  #include "header/display.h"
50  #include "stdio.h"
51  #include "header/config.h"
52  #include "header/mycmdline.h"
53
54
55
56  //*****
57  //Extern variables for Clock
58  //*****
59  extern volatile unsigned long clock_msec;
```

```
60 extern volatile unsigned long clock_sec;
61 extern volatile unsigned long clock_min;
62 extern volatile unsigned long clock_hour;
63 extern volatile unsigned long clock_day;
64 extern volatile unsigned long clock_month;
65 extern volatile unsigned long clock_year;
66
67 //*****
68 //
69 // Extern variables for measure data
70 //
71 //*****
72 extern volatile unsigned int g_iCellVoltages[];
73 extern volatile int g_iCellTemperature[];
74 extern volatile int g_iCurrent;
75 extern volatile int gBat_charge;
76
77 extern volatile unsigned long timer2minute;
78 extern volatile unsigned int cycle_active;
79 extern volatile unsigned int measurement_active;
80 extern volatile unsigned int current_cycle_step;
81 extern const char *cycle_types[];
82
83 void display_init(void)
84 {
85     UARTprintf("Initializing Display...");
86
87     //
88     // Enable the peripherals used by this example.
89     //
90     ROM_SysCtlPeripheralEnable(SYSCTL_PERIPH_GPIOH);
91     ROM_SysCtlPeripheralEnable(SYSCTL_PERIPH_GPIOJ);
92
93     GPIOPinTypeGPIOOutput(LEDPORTCTRL, RS | RW | E ); // set RS | R/W | E as digital
94     GPIOPinTypeGPIOOutput(LEDPORTDATA, D4 | D5 | D6 | D7); // set D4 | D5 | D6 | D7
95     as digital output
96
97     GPIOPadConfigSet(LEDPORTCTRL, RS | RW | E, GPIO_STRENGTH_8MA,
98     GPIO_PIN_TYPE_STD_WPU); //set outputs to max 8 mA for better safety
99     GPIOPadConfigSet(LEDPORTDATA, D4 | D5 | D6 | D7, GPIO_STRENGTH_8MA,
100     GPIO_PIN_TYPE_STD_WPU);
101
102     //*****
103     //Display Reset
104     GPIOPinWrite(LEDPORTCTRL, RS | RW | E, 0x0); // set RS | R/W | E to logic "0"
105     GPIOPinWrite(LEDPORTDATA, D4 | D5 | D6 | D7 , 0x0); // set D4 | D5 | D6 | D7 to
106     logic "0"
107
108     // ca. 20 ms delay für Display reset
109     unsigned long ul_delay_count = 200000;
110     while (ul_delay_count) ul_delay_count--;
111     //-----
112
113     //
114     //Function set: 8 bit Interface = 0x30
115     //
```

```
114     GPIOPinWrite(LEDPORTCTRL, E, E);           // Enable the Display
115     GPIOPinWrite(LEDPORTDATA, D4 | D5, 0x3);
116
117     // ca. 0.45 ms delay warten Enable High
118     ul_delay_count = 4500;
119     while (ul_delay_count) ul_delay_count--;
120
121     GPIOPinWrite(LEDPORTCTRL, E, 0x00);        // Disable the Display
122
123     GPIOPinWrite(LEDPORTDATA, D4 | D5, 0x0);    // Reset pins
124
125     // ca. 10 ms delay warten für nächsten Befehl
126     ul_delay_count = 100000;
127     while (ul_delay_count) ul_delay_count--;
128
129     //
130     //Function set: 8 bit Interf445ace = 0x30
131     //
132     GPIOPinWrite(LEDPORTCTRL, E, E);           // Enable the Display
133     GPIOPinWrite(LEDPORTDATA, D4 | D5, 0x3);
134
135     // ca. 0.45 ms delay warten Enable High
136     ul_delay_count = 4500;
137     while (ul_delay_count) ul_delay_count--;
138
139     GPIOPinWrite(LEDPORTCTRL, E, 0x00);        // Disable the Display
140
141     GPIOPinWrite(LEDPORTDATA, D4 | D5, 0x0);    // Reset pins
142
143     // ca. 5 ms delay warten für nächsten Befehl
144     ul_delay_count = 50000;
145     while (ul_delay_count) ul_delay_count--;
146
147
148     //
149     //Function set: 8 bit Interface = 0x30
150     //
151     GPIOPinWrite(LEDPORTCTRL, E, E);           // Enable the Display
152     GPIOPinWrite(LEDPORTDATA, D4 | D5, 0x3);
153
154     // ca. 0.45 ms delay warten Enable High
155     ul_delay_count = 4500;
156     while (ul_delay_count) ul_delay_count--;
157
158     GPIOPinWrite(LEDPORTCTRL, E, 0x00);        // Disable the Display
159
160     GPIOPinWrite(LEDPORTDATA, D4 | D5, 0x0);    // Reset pins
161
162     // ca. 2 ms delay warten für nächsten Befehl
163     ul_delay_count = 20000;
164     while (ul_delay_count) ul_delay_count--;
165
166
167
168     //
169     //Function set: 4 bit Interface = 0x20
170     //
171     GPIOPinWrite(LEDPORTCTRL, E, E);           // Enable the Display
172     GPIOPinWrite(LEDPORTDATA, D4 | D5, 0x2);
```

```
173
174 // ca. 0.45 ms delay warten Enable High
175 ul_delay_count = 4500;
176 while (ul_delay_count) ul_delay_count--;
177
178 GPIOPinWrite(LEDPORTCTRL, E, 0x00); // Disable the Display
179 GPIOPinWrite(LEDPORTDATA, D4 | D5, 0x0); // Reset pins
180
181 // ca. 1 ms delay warten für nächsten Befehl
182 ul_delay_count = 10000;
183 while (ul_delay_count) ul_delay_count--;
184
185 clear_display();
186
187 //Function set: 4 bit Interface, 2(4) rows, 5x7dot = 0x28
188 LEDcommand(0x28);
189 //Display on, cursor off, blink off = 0x0C
190 LEDcommand(0x0C);
191 //Entry Mode set: Increment, No shift = 0x06
192 LEDcommand(0x06);
193
194
195 //
196 // Enable Timer 1
197 //
198 TimerEnable(TIMER1_BASE, TIMER_A);
199
200
201 UARTprintf("done\n");
202 }
203
204 void display_reinit(void){
205
206 //*****
207 //Display Reset
208 GPIOPinWrite(LEDPORTCTRL, RS | RW | E, 0x0); // set RS | R/W | E to logic "0"
209 GPIOPinWrite(LEDPORTDATA, D4 | D5 | D6 | D7 , 0x0); // set D4 | D5 | D6 |
210 D7 to logic "0"
211
212 // ca. 20 ms delay für Display reset
213 unsigned long ul_delay_count = 200000;
214 while (ul_delay_count) ul_delay_count--;
215 //-----
216
217 //
218 //Function set: 8 bit Interface = 0x30
219 //
220 GPIOPinWrite(LEDPORTCTRL, E, E); // Enable the Display
221 GPIOPinWrite(LEDPORTDATA, D4 | D5, 0x3);
222
223 // ca. 0.45 ms delay warten Enable High
224 ul_delay_count = 4500;
225 while (ul_delay_count) ul_delay_count--;
226
227 GPIOPinWrite(LEDPORTCTRL, E, 0x00); // Disable the Display
228
229 GPIOPinWrite(LEDPORTDATA, D4 | D5, 0x0); // Reset pins
230
```

```
231 // ca. 10 ms delay warten für nächsten Befehl
232 ul_delay_count = 100000;
233 while (ul_delay_count) ul_delay_count--;
234
235 //
236 //Function set: 8 bit Interface = 0x30
237 //
238 GPIOPinWrite(LEDPORTCTRL, E, E); // Enable the Display
239 GPIOPinWrite(LEDPORTDATA, D4 | D5, 0x3);
240
241 // ca. 0.45 ms delay warten Enable High
242 ul_delay_count = 4500;
243 while (ul_delay_count) ul_delay_count--;
244
245 GPIOPinWrite(LEDPORTCTRL, E, 0x00); // Disable the Display
246
247 GPIOPinWrite(LEDPORTDATA, D4 | D5, 0x0); // Reset pins
248
249 // ca. 5 ms delay warten für nächsten Befehl
250 ul_delay_count = 50000;
251 while (ul_delay_count) ul_delay_count--;
252
253 //
254 //Function set: 8 bit Interface = 0x30
255 //
256 GPIOPinWrite(LEDPORTCTRL, E, E); // Enable the Display
257 GPIOPinWrite(LEDPORTDATA, D4 | D5, 0x3);
258
259 // ca. 0.45 ms delay warten Enable High
260 ul_delay_count = 4500;
261 while (ul_delay_count) ul_delay_count--;
262
263 GPIOPinWrite(LEDPORTCTRL, E, 0x00); // Disable the Display
264
265 GPIOPinWrite(LEDPORTDATA, D4 | D5, 0x0); // Reset pins
266
267 // ca. 2 ms delay warten für nächsten Befehl
268 ul_delay_count = 20000;
269 while (ul_delay_count) ul_delay_count--;
270
271 //
272 //Function set: 4 bit Interface = 0x20
273 //
274 GPIOPinWrite(LEDPORTCTRL, E, E); // Enable the Display
275 GPIOPinWrite(LEDPORTDATA, D4 | D5, 0x2);
276
277 // ca. 0.45 ms delay warten Enable High
278 ul_delay_count = 4500;
279 while (ul_delay_count) ul_delay_count--;
280
281 GPIOPinWrite(LEDPORTCTRL, E, 0x00); // Disable the Display
282 GPIOPinWrite(LEDPORTDATA, D4 | D5, 0x0); // Reset pins
283
284 // ca. 1 ms delay warten für nächsten Befehl
285 ul_delay_count = 10000;
286 while (ul_delay_count) ul_delay_count--;
287
288
289 clear_display();
```

```
290
291     //Function set: 4 bit Interface, 2(4) rows, 5x7dot = 0x28
292     LEDcommand(0x28);
293     //Display on, cursor off, blink off = 0x0C
294     LEDcommand(0x0C);
295     //Entry Mode set: Increment, No shift = 0x06
296     LEDcommand(0x06);
297 }
298
299
300 void buttons_init(void)
301 {
302     UARTprintf("Initializing Buttons...");
303
304     //
305     // Enable the GPIO that is used for the first push button (GPIOF_PIN0).
306     //
307     ROM_SysCtlPeripheralEnable(SYSCTL_PERIPH_GPIOF);
308     ROM_GPIOPinTypeGPIOInput(GPIO_PORTF_BASE, GPIO_PIN_0);
309     ROM_GIOPadConfigSet(GPIO_PORTF_BASE, GPIO_PIN_0, GPIO_STRENGTH_2MA,
310                        GPIO_PIN_TYPE_STD_WPU);
311
312     //
313     // Enable the GPIO that is used for the second push button (GPIOD_PIN1).
314     //
315     ROM_SysCtlPeripheralEnable(SYSCTL_PERIPH_GPIOD);
316     ROM_GPIOPinTypeGPIOInput(GPIO_PORTD_BASE, GPIO_PIN_1);
317     ROM_GIOPadConfigSet(GPIO_PORTD_BASE, GPIO_PIN_1, GPIO_STRENGTH_2MA,
318                        GPIO_PIN_TYPE_STD_WPU);
319
320     //
321     // Enable the GPIO that is used for the third push button (GPIOC_PIN4).
322     //
323     ROM_SysCtlPeripheralEnable(SYSCTL_PERIPH_GPIOC);
324     ROM_GPIOPinTypeGPIOInput(GPIO_PORTC_BASE, GPIO_PIN_4);
325     ROM_GIOPadConfigSet(GPIO_PORTC_BASE, GPIO_PIN_4, GPIO_STRENGTH_2MA,
326                        GPIO_PIN_TYPE_STD_WPU);
327
328
329     //
330     // Enable the GPIO that is used for the forth push button (GPIOH_PIN5).
331     //
332     ROM_SysCtlPeripheralEnable(SYSCTL_PERIPH_GPIOH);
333     ROM_GPIOPinTypeGPIOInput(GPIO_PORTH_BASE, GPIO_PIN_5);
334     ROM_GIOPadConfigSet(GPIO_PORTH_BASE, GPIO_PIN_5, GPIO_STRENGTH_2MA,
335                        GPIO_PIN_TYPE_STD_WPU);
336
337
338     //
339     // Enable interrupts
340     //
341     ROM_IntEnable(INT_GPIOF);
342     GPIOIntTypeSet(GPIO_PORTF_BASE,GPIO_PIN_0,GPIO_RISING_EDGE); //trigger on
    rising edge
343     GPIOPinIntEnable(GPIO_PORTF_BASE,GPIO_PIN_0); //enable interrupt on PF0
344
345     ROM_IntEnable(INT_GPIOD);
346     GPIOIntTypeSet(GPIO_PORTD_BASE,GPIO_PIN_1,GPIO_RISING_EDGE); //trigger on
    rising edge
```

```

347     GPIOPinIntEnable(GPIO_PORTD_BASE,GPIO_PIN_1); //enable interrupt on PD1
348
349     ROM_IntEnable(INT_GPIOC);
350     GPIOIntTypeSet(GPIO_PORTC_BASE,GPIO_PIN_4,GPIO_RISING_EDGE); //trigger on
    rising edge
351     GPIOPinIntEnable(GPIO_PORTC_BASE,GPIO_PIN_4); //enable interrupt on PC4
352
353     ROM_IntEnable(INT_GPIOH);
354     GPIOIntTypeSet(GPIO_PORTH_BASE,GPIO_PIN_5,GPIO_RISING_EDGE); //trigger on
    rising edge
355     GPIOPinIntEnable(GPIO_PORTH_BASE,GPIO_PIN_5); //enable interrupt on PC4
356
357     // Set statemachine to state Start
358     handlerState = START;
359     UARTprintf("done\n");
360 }
361
362 //*****
363 //
364 // This is the handler for the GPIO PORT F PIN 0 interrupt. (Button1)
365 //
366 //*****
367 void GPIOF00Handler(void){
368
369     //Disable Interrupts
370     TimerDisable(TIMER1_BASE, TIMER_A);
371     ROM_IntDisable(INT_GPIOF);
372     GPIOPinIntClear(GPIO_PORTF_BASE,GPIO_PIN_0);
373
374     clear_display();
375
376     // Switch state
377     if(handlerState == CELLA)
378         handlerState = CELLD;
379
380     else if(handlerState == CELLD)
381         handlerState = CELLC;
382
383     else if(handlerState == CELLC)
384         handlerState = CELLB;
385
386     else if(handlerState == CELLB)
387         handlerState = CELLA;
388
389     else if(handlerState == MEAS)
390         Cmd_interprete("start");
391
392     else if(handlerState == MEASSTOP){
393         Cmd_interprete("stop");
394         handlerState = MEAS;
395     }
396
397     //Enable Interrupts
398     ROM_IntEnable(INT_GPIOF);
399     TimerEnable(TIMER1_BASE, TIMER_A);
400 }
401
402 //*****
403 //

```



```
404 // This is the handler for the GPIO PORT D PIN 1 interrupt. (Button2)
405 //
406 //*****
407 void GPIOD01Handler(void){
408
409     //Disable Interrupts
410     TimerDisable(TIMER1_BASE, TIMER_A);
411     GPIOPinIntClear(GPIO_PORTD_BASE,GPIO_PIN_1);
412
413
414     clear_display();
415
416     // Switch state
417     switch(handlerState){
418         case ERROR: handlerState = START; break;
419         case ERRCURR: handlerState = START; break;
420         case ERRVOLT: handlerState = START; break;
421         case ERRTIME: handlerState = START; break;
422         case ERRTEMP: handlerState = START; break;
423         case ERRCHARGE:handlerState = START; break;
424         case START: handlerState = CLOCK; break;
425         case CLOCK: handlerState = MEAS; break;
426         case MEAS:
427         case MEASSTOP: if(cycle_active)
428                         handlerState = CURRSTEP;
429                         else
430                         handlerState = CELLA;
431                         break;
432         case CURRSTEP: handlerState = CELLA; break;
433         case CELLA: handlerState = CURRENT;
434         case CELLB: handlerState = CURRENT;
435         case CELLC: handlerState = CURRENT;
436         case CELLD: handlerState = CURRENT; break;
437         case CURRENT: handlerState = IP; break;
438         case IP: handlerState = CONF; break;
439         case CONF: handlerState = START; break;
440
441     }
442
443     //Enable Interrupts
444     TimerEnable(TIMER1_BASE, TIMER_A);
445 }
446
447
448 //*****
449 //
450 // This is the handler for the GPIO PORT C PIN 4 interrupt. (Button3)
451 //
452 //*****
453 void GPIOC04Handler(void){
454     //Disable Interrupts
455     TimerDisable(TIMER1_BASE, TIMER_A);
456     ROM_IntDisable(INT_GPIOC);
457     GPIOPinIntClear(GPIO_PORTC_BASE,GPIO_PIN_4);
458
459     clear_display();
460
461     // Switch state
462     if(handlerState == CELLA)
```

```
463     handlerState = CELLB;
464
465     else if(handlerState == CELLB)
466     handlerState = CELLC;
467
468     else if(handlerState == CELLC)
469     handlerState = CELLD;
470
471     else if(handlerState == CELLD)
472     handlerState = CELLA;
473
474     else if(handlerState == MEAS)
475     handlerState = MEASSTOP;
476
477     else if(handlerState == MEASSTOP)
478     handlerState = MEAS;
479
480     //Enable Interrupts
481     ROM_IntEnable(INT_GPIOC);
482     TimerEnable(TIMER1_BASE, TIMER_A);
483 }
484
485 //*****
486 //
487 // This is the handler for the GPIO PORT H PIN 5 interrupt. (Button4)
488 // NO FUNCTION YET!
489 //
490 //*****
491 void GPIOH05Handler(void){
492     //Disable Interrupts
493     TimerDisable(TIMER1_BASE, TIMER_A);
494     ROM_IntDisable(INT_GPIOH);
495     GPIOPinIntClear(GPIO_PORTH_BASE,GPIO_PIN_5);
496
497     clear_display();
498
499     //Enable Interrupts
500     ROM_IntEnable(INT_GPIOH);
501     TimerEnable(TIMER1_BASE, TIMER_A);
502 }
503
504
505 //*****
506 //
507 // The handler for the Timer1A interrupt.
508 // Refresh the Content of the LED-Display dependen on current state
509 //
510 //*****
511 void Timer1IntHandler(void){
512
513     unsigned long ulIPAddress;
514     char display_buffer[21];
515     int bat_voltage = 0;
516     int i = 0;
517
518
519     //Write content to Displays
520     switch(handlerState) {
521
```

```
522     case ERROR:
523
524         write_to_display("ERROR in config.txt!", 0, 0);
525         write_to_display("  default values  ", 1, 0);
526         write_to_display("    loaded      ", 2, 0);
527         write_to_display("***** CONTINUE ****", 3, 0);
528         break;
529
530     case ERRCHARGE:
531
532         write_to_display(" Cycling canceled! ", 0, 0);
533         write_to_display(" maximum charge  ", 1, 0);
534         write_to_display("    exceeded     ", 2, 0);
535         write_to_display("***** CONTINUE ****", 3, 0);
536         break;
537
538     case ERRCURR:
539
540         write_to_display(" Cycling canceled! ", 0, 0);
541         write_to_display(" maximum current  ", 1, 0);
542         write_to_display("    exceeded     ", 2, 0);
543         write_to_display("***** CONTINUE ****", 3, 0);
544         break;
545
546     case ERRVOLT:
547
548         write_to_display(" Cycling canceled! ", 0, 0);
549         write_to_display(" voltage limits  ", 1, 0);
550         write_to_display("    exceeded     ", 2, 0);
551         write_to_display("***** CONTINUE ****", 3, 0);
552         break;
553
554     case ERRTIME:
555
556         write_to_display(" Cycling finished! ", 0, 0);
557         write_to_display(" maximum cycle time ", 1, 0);
558         write_to_display("    reached        ", 2, 0);
559         write_to_display("***** CONTINUE ****", 3, 0);
560         break;
561
562     case ERRTEMP:
563
564         write_to_display(" Cycling canceled! ", 0, 0);
565         write_to_display("maximum temperature ", 1, 0);
566         write_to_display("    exceeded     ", 2, 0);
567         write_to_display("***** CONTINUE ****", 3, 0);
568         break;
569
570     case START:
571
572         write_to_display("*****", 0, 0);
573         write_to_display("*** Battery ***", 1, 0);
574         write_to_display("*** Cycle Machine ***", 2, 0);
575         write_to_display("***** MENU ****", 3, 0);
576         break;
577
578     case CLOCK:
579
580         sprintf(display_buffer, "          %02d:%02d:%02d          ", clock_hour,
```

```

        clock_min, clock_sec);
581     write_to_display(display_buffer, 0, 0);
582     sprintf(display_buffer, "      %02d.%02d.%04d      " , clock_day,
        clock_month, clock_year);
583     write_to_display(display_buffer, 1, 0);
584     write_to_display("      MENU      ", 3 ,0);
585     break;
586
587     case MEAS:
588
589         sprintf(display_buffer, "Measurement Cycling:");
590         write_to_display(display_buffer, 0, 0);
591
592         if(measurement_active && cycle_active)
593             sprintf(display_buffer, "active      active ");
594         else if(measurement_active && !cycle_active)
595             sprintf(display_buffer, "active      not act.");
596         else
597             sprintf(display_buffer, "not act.      not act.");
598         write_to_display(display_buffer, 1, 0);
599
600
601         write_to_display("START      MENU      STOP", 3 ,0);
602         break;
603
604     case MEASSTOP:
605
606         sprintf(display_buffer, "Measurement Cycling:");
607         write_to_display(display_buffer, 0, 0);
608
609         sprintf(display_buffer, "      Confirm STOP      ");
610
611         write_to_display(display_buffer, 1, 0);
612
613
614         write_to_display(" YES      MENU      NO ", 3 ,0);
615         break;
616
617     case CELLA:
618
619         for(i = 0; i <= 2; i++){
620             sprintf(display_buffer, "C%02d: %01d.%06dV %02d.%01dC", i+1,
                g_iCellVoltages[i]/1000000, g_iCellVoltages[i]%1000000
621 g_iCellTemperature[i]/10, g_iCellTemperature[i]%10);
622             write_to_display(display_buffer, i, 0);
623         }
624
625         write_to_display("<PREV      MENU      NEXT>", 3 ,0);
626         break;
627
628     case CELLB:
629
630         for(i = 3; i <= 5; i++){
631             sprintf(display_buffer, "C%02d: %01d.%06dV %02d.%01dC", i+1,
                g_iCellVoltages[i]/1000000, g_iCellVoltages[i]%1000000
632 g_iCellTemperature[i]/10, g_iCellTemperature[i]%10);
633             write_to_display(display_buffer, i-3, 0);

```

```
634         }
635
636         write_to_display("<PREV MENU NEXT>", 3 ,0);
637         break;
638
639     case CELLC:
640
641         for(i = 6; i <= 8; i++){
642             sprintf(display_buffer, "C%02d: %01d.%06dV %02d.%01dC", i+1,
643                 g_iCellVoltages[i]/1000000, g_iCellVoltages[i]%1000000
644                 , g_iCellTemperature[i]/10, g_iCellTemperature[i]%10);
645             write_to_display(display_buffer, i-6, 0);
646         }
647         write_to_display("<PREV MENU NEXT>", 3 ,0);
648         break;
649
650     case CELLD:
651
652         for(i = 9; i <= 11; i++){
653             sprintf(display_buffer, "C%02d: %01d.%06dV %02d.%01dC", i+1,
654                 g_iCellVoltages[i]/1000000, g_iCellVoltages[i]%1000000
655                 , g_iCellTemperature[i]/10, g_iCellTemperature[i]%10);
656             write_to_display(display_buffer, i-9, 0);
657         }
658         write_to_display("<PREV MENU NEXT>", 3 ,0);
659         break;
660
661     case CURRENT:{
662
663         bat_voltage = 0;
664         for(i = 0; i < config.quantity_cells; i++)//calculate battery voltage
665             bat_voltage += g_iCellVoltages[i];
666         bat_voltage /= 1000;//mV
667
668         sprintf(display_buffer, "Voltage: %02d.%03d V ",bat_voltage/1000,
669             bat_voltage%1000);
670         write_to_display(display_buffer, 0, 0);
671
672         if(g_iCurrent < 0)
673             sprintf(display_buffer, "Current: -%03d.%03d A ", abs(g_iCurrent/1000
674                 ), abs(g_iCurrent%1000));
675         else
676             sprintf(display_buffer, "Current: %03d.%03d A ", g_iCurrent/1000,
677                 g_iCurrent%1000);
678         write_to_display(display_buffer, 1, 0);
679
680         if(gBat_charge < 0)
681             sprintf(display_buffer, "Charge : -%03d.%03d Ah", abs(gBat_charge/
682                 3600000), abs((gBat_charge/3600)%1000));
683         else
684             sprintf(display_buffer, "Charge : %03d.%03d Ah", gBat_charge/3600000
685                 , (gBat_charge/3600)%1000);
686         write_to_display(display_buffer, 2, 0);
687
688         write_to_display("          MENU          ", 3 ,0);
```

```
684         break;
685     }
686     case IP:
687
688         sprintf(display_buffer, "    IP-Address:    ");
689         write_to_display(display_buffer, 0, 0);
690         ulIPAddress = lwIPLocalIPAddrGet();
691         sprintf(display_buffer, "    %03d.%03d.%03d.%03d    ", ulIPAddress & 0xff,
692             (ulIPAddress >> 8) & 0xff, (ulIPAddress >> 16) & 0xff,
693             (ulIPAddress >> 24) & 0xff);
694         write_to_display(display_buffer, 1, 0);
695         write_to_display("        MENU        ", 3, 0);
696         break;
697
698     case CONF:
699
700         sprintf(display_buffer, "Quantity cells:%02d    ", config.quantity_cells);
701         write_to_display(display_buffer, 0, 0);
702         sprintf(display_buffer, "Cyclestep(sec):%04d    ", config.cyclestep);
703         write_to_display(display_buffer, 1, 0);
704         if(config.measuretime > 0)
705             sprintf(display_buffer, "Time left(min):%05d    ", (config.measuretime
706                 - timer2minute));
707         else
708             sprintf(display_buffer, "Time left(min):  inf");
709         write_to_display(display_buffer, 2, 0);
710         write_to_display("        MENU        ", 3, 0);
711         break;
712
713     case CURRSTEP:
714
715         sprintf(display_buffer, "Current step %d/%d", current_cycle_step, config.
716             step_quantity);
717         write_to_display(display_buffer, 0, 0);
718         sprintf(display_buffer, "type %s"    , cycle_types[config.cycle_steps[
719             current_cycle_step].type - 1]);
720         write_to_display(display_buffer, 1, 0);
721         if(config.cycle_steps[current_cycle_step].type == 1)
722             sprintf(display_buffer, "%d min relay %d"    ,config.cycle_steps[
723                 current_cycle_step].param ,config.cycle_steps[current_cycle_step].
724                 relay);
725         else
726             sprintf(display_buffer, "%d mV relay %d"    ,config.cycle_steps[
727                 current_cycle_step].param ,config.cycle_steps[current_cycle_step].
728                 relay);
729         write_to_display(display_buffer, 2, 0);
730         write_to_display("        MENU        ", 3, 0);
731         break;
732     }
733
734     //
735     // Clear the timer interrupt.
736     //
737     TimerIntClear(TIMER1_BASE, TIMER_TIMA_TIMEOUT);
738 }
739
740 //*****
741 //
```

```

736 // Clear the LED-Display
737 //
738 //*****
739 void clear_display(void) {
740
741
742     LEDcommand(0x01);
743
744
745 }
746
747 //*****
748 //
749 // Write string to Display by row and column
750 //
751 //*****
752 void write_to_display(char* inputText, unsigned char row, unsigned char col) {
753     unsigned char address_d = 0; // address of the data in the screen.
754
755     //define address
756     switch(row)
757     {
758         case 0: address_d = 0x80 + col; // atzerth row
759         break;
760         case 1: address_d = 0xC0 + col; // at first row
761         break;
762         case 2: address_d = 0x94 + col; // at second row
763         break;
764         case 3: address_d = 0xD4 + col; // at third row
765         break;
766         default: address_d = 0x80 + col; // returns to first row if invalid
767         row number is detected
768         break;
769     }
770
771     //set position by address
772     set_position(address_d);
773
774     // Place a string, letter by letter.
775     while(*inputText)
776         write_char(*inputText++);
777 }
778 //*****
779 //
780 // Set the position by address
781 //
782 //*****
783 void set_position(unsigned char address) {
784
785     unsigned long ul_delay_count;
786
787     GPIOPinWrite(LEDPORTCTRL, E, E); // Enable the Display
788     GPIOPinWrite(LEDPORTDATA, D4 | D5 | D6 | D7 , (address & 0xf0) >> 4); //data
789
790     // ca. 1 µs delay warten Enable High
791     ul_delay_count = 4500;
792     while (ul_delay_count) ul_delay_count--;
793

```

```

794     GPIOPinWrite(LEDPORTCTRL, E, 0x00);           // Disable the Display
795     //10ns hold time
796     GPIOPinWrite(LEDPORTDATA, D4 | D5 | D6 | D7 , 0x00); // Reset pins
797
798
799     GPIOPinWrite(LEDPORTCTRL, E, E);             // Enable the Display
800     GPIOPinWrite(LEDPORTDATA, D4 | D5 | D6 | D7 , (address & 0x0f)); //data
801
802     // ca. 1 µs delay warten Enable High
803     ul_delay_count = 4500;
804     while (ul_delay_count) ul_delay_count--;
805
806     GPIOPinWrite(LEDPORTCTRL, E, 0x00);           // Disable the Display
807     //10ns hold time
808     GPIOPinWrite(LEDPORTDATA, D4 | D5 | D6 | D7 , 0x00); // Reset pins
809
810 }
811
812 //*****
813 //
814 // Write character to Display
815 //
816 //*****
817 void write_char(unsigned char inputData) {
818
819     unsigned long ul_delay_count;
820
821     GPIOPinWrite(LEDPORTCTRL, E | RS, 0x05);           // Enable the Display
and writeoperation
822     GPIOPinWrite(LEDPORTDATA, D4 | D5 | D6 | D7 , (inputData & 0xf0) >> 4); //data
823
824     // ca. 1 µs delay warten Enable High
825     ul_delay_count = 4500;
826     while (ul_delay_count) ul_delay_count--;
827
828     GPIOPinWrite(LEDPORTCTRL, E | RS, 0x00);           // Disable the Display
829     //10 ns hold time
830     GPIOPinWrite(LEDPORTDATA, D4 | D5 | D6 | D7 , 0x0); // Reset pins
831
832
833     GPIOPinWrite(LEDPORTCTRL, E | RS, 0x05);           // Enable the Display
and writeoperation
834     GPIOPinWrite(LEDPORTDATA, D4 | D5 | D6 | D7 , (inputData & 0x0f)); //data
835
836     // ca. 1 µs delay warten Enable High
837     ul_delay_count = 4500;
838     while (ul_delay_count) ul_delay_count--;
839
840     GPIOPinWrite(LEDPORTCTRL, E | RS, 0x00);           // Disable the Display
841     //10ns hold time
842     GPIOPinWrite(LEDPORTDATA, D4 | D5 | D6 | D7 , 0x0); // Reset pins
843
844 }
845
846 //*****
847 //
848 // Send Command to Display
849 //
850 //*****

```



```
851 void LEDcommand(unsigned char command){
852
853     unsigned long ul_delay_count;
854
855     GPIOPinWrite(LEDPORTCTRL, E, E);           // Enable the Display
856     GPIOPinWrite(LEDPORTDATA, D4 | D5 | D6 | D7 , (command & 0xf0) >> 4); //data
857
858     // ca. 1 µs delay warten Enable High
859     ul_delay_count = 4500;
860     while (ul_delay_count) ul_delay_count--;
861
862     GPIOPinWrite(LEDPORTCTRL, E, 0x00);       // Disable the Display
863     //10ns hold time
864     GPIOPinWrite(LEDPORTDATA, D4 | D5 | D6 | D7, 0x0); // Reset pins
865
866     // ca. 100 µs delay warten auf nächsten Befehl
867     ul_delay_count = 1000;
868     while (ul_delay_count) ul_delay_count--;
869
870
871     GPIOPinWrite(LEDPORTCTRL, E, E);           // Enable the Display
872     GPIOPinWrite(LEDPORTDATA, D4 | D5 | D6 | D7 , (command & 0x0f)); //data
873
874     // ca. 1 µs delay warten Enable High
875     ul_delay_count = 4500;
876     while (ul_delay_count) ul_delay_count--;
877
878     GPIOPinWrite(LEDPORTCTRL, E, 0x00);       // Disable the Display
879     //10ns hold time
880     GPIOPinWrite(LEDPORTDATA, D4 | D5 | D6 | D7, 0x0); // Reset pins
881
882     // ca. 1 ms delay warten auf nächsten Befehl
883     ul_delay_count = 10000;
884     while (ul_delay_count) ul_delay_count--;
885 }
886
887
888
```

```
1  /*
2   * ethernet.h
3   *
4   * Created on: 13.01.2014
5   * Author: Thomas W. / Tobias S. / Fabian S./ Johannes R.
6   */
7
8  #ifndef ETHERNET_H_
9  #define ETHERNET_H_
10
11  /*****
12   *
13   * Function Declarations
14   *
15   *****/
16  int init_ethernet(void);
17  void lwIPHostTimerHandler(void);
18
19  #define MACADDR 0x0010A7180EF5; //MAC: 00:10:A7:18:0E:F5
20
21
22  #endif /* ETHERNET_H_ */
23
```

```
1  /*
2  Project:                battery_cycling_sw_v4
3  File:                  ethernet.c
4
5  Auhtor:                Thomas Wisniewski
6  Credits:              Matthias Schneider
7                      Tobias Steinmann
8                      Fabian Schwartau
9                      Johannes Roehn
10                     Stellaris Ware
11
12  last modified:        2014/01/13
13
14  Project Status        Under Construction
15  Status:              running
16
17  CCS:                  5.5.1.00031
18  Stellarisware:        8555
19
20  Hardware:             Stellaris EKS-LM3S9B92 on Extension Board with
21                     16 Bit ADC AD7798, SD-Card, Reed-Relais Matrix,
22                     NTC-Connectors, MAX3232 and Suplly Circuits
23
24  Description:          Initialize Ethernet with lwip. Define IP-Address,
25                     call initialization of TCP and UDP.
26  */
27
28
29  /*****
30  *
31  * Includings
32  *
33  *****/
34  #include <utils/lwiplib.h>
35  #include <utils/uartstdio.h>
36  #include <utils/locator.h>
37  #include <inc/hw_types.h>
38  #include <inc/hw_ints.h>
39  #include <inc/hw_memmap.h>
40  #include <driverlib/rom.h>
41  #include <driverlib/sysctl.h>
42  #include <driverlib/gpio.h>
43  #include <driverlib/interrupt.h>
44  #include "driverlib/systick.h"
45  #include <lwip/ip_addr.h>
46  #include "stdio.h"
47  #include <inc/lm3s9b92.h>
48
49  /*****
50  *
51  * Own Includings
52  *
53  *****/
54  #include "header/control.h"
55  #include "header/discover.h"
56  #include "header/config.h"
57  #include "header/ethernet.h"
58
59  int ethernet_init(void);
```

```
60 void lwIPHostTimerHandler(void);
61
62 // Zur Anzeige einer Aktivität in der Konsole
63 static char g_pcTwirl[4] = { '\\', '|', '/', '-' };
64 static unsigned long g_ulTwirlPos = 0;
65
66 // TCP-Socket für die aktuelle Steuerungs-Verbindung
67 extern struct tcp_pcb* control_connection;
68
69 // Aktuelle IP Adresse
70 static unsigned long g_ulLastIPAddr = 0;
71
72 unsigned long ulUser0, ulUser1;
73
74 //MAC Adresse aus define auslesen DEBUG
75 unsigned long long macAddress = MACADDR;
76
77
78 // MAC Adresse für weitere Verwendung im Programm
79 unsigned char pucMACArray[8];
80
81
82 /*
83  * Initialize Ethernetfunction
84  */
85 int init_ethernet(void)
86 {
87     unsigned long ul_delay_count;
88
89     UARTprintf("Initializing Ethernet:\n");
90
91     SYSCTL_RCGC2_R |= SYSCTL_RCGC2_GPIOE;
92     volatile unsigned long ulLoop;
93     ulLoop = SYSCTL_RCGC2_R;
94
95     GPIO_PORTE_DIR_R = 0x00; // Auf Input setzen
96     GPIO_PORTE_DEN_R = 0xFF; // Einschalten der GPIOs
97     GPIO_PORTE_PUR_R = 0xFF; // Pull Ups aktivieren
98
99     // Einschalten und Resetten des Ethernet Controllers
100    ROM_SysCtlPeripheralEnable(SYSCTL_PERIPH_ETH);
101    ROM_SysCtlPeripheralReset(SYSCTL_PERIPH_ETH);
102
103
104    ROM_SysCtlPeripheralEnable(SYSCTL_PERIPH_GPIOF);
105    GPIOPinConfigure(GPIO_PF2_LED1);
106    GPIOPinConfigure(GPIO_PF3_LED0);
107    GPIOPinTypeEthernetLED(GPIO_PORTF_BASE, GPIO_PIN_2 | GPIO_PIN_3);
108
109    // // Lesen der MAC-Adresse aus den User-Registern
110    // // Diese scheint ab Werk programmiert zu sein
111    // ROM_FlashUserGet(&ulUser0, &ulUser1);
112    // if((ulUser0 == 0xffffffff) || (ulUser1 == 0xffffffff))
113    // {
114    //     // We should never get here. This is an error if the MAC address has
115    //     // not been programmed into the device. Exit the program
116    //     UARTprintf(" MAC Address Not Programmed!\n");
117    //     return 0;
118    // }
```

```

119 //
120 // // Umwandlung der 24/24 MAC Adresse aus dem NV RAM in eine 32/16 MAC
121 // // Adresse. Anschließend wird die MAC dem Ethernet Controller
122 // // übergeben
123 // pucMACArray[0] = ((ulUser0 >> 0) & 0xff);
124 // pucMACArray[1] = ((ulUser0 >> 8) & 0xff);
125 // pucMACArray[2] = ((ulUser0 >> 16) & 0xff);
126 // pucMACArray[3] = ((ulUser1 >> 0) & 0xff);
127 // pucMACArray[4] = ((ulUser1 >> 8) & 0xff);
128 // pucMACArray[5] = ((ulUser1 >> 16) & 0xff);
129
130 //Manuelles definieren der MAC Adresse als Locally Administered Address
131 pucMACArray[0] = ((macAddress >> 40) & 0xff);
132 pucMACArray[1] = ((macAddress >> 32) & 0xff);
133 pucMACArray[2] = ((macAddress >> 24) & 0xff);
134 pucMACArray[3] = ((macAddress >> 16) & 0xff);
135 pucMACArray[4] = ((macAddress >> 8) & 0xff);
136 pucMACArray[5] = ((macAddress >> 0) & 0xff);
137
138 // Initialisierung von lwIP, mit DHCP.
139 lwIPInit(pucMACArray, 0, 0, 0, IPADDR_USE_DHCP);
140
141 // Initialisierung von lwIP, mit statischer IP.
142 //unsigned long lowerIP = GPIO_PORTE_DATA_R;
143 //struct ip_addr local_addr;
144
145 //IP4_ADDR(&local_addr, config.ip_d, config.ip_c, config.ip_b, config.ip_a);
146 //lwIPInit(pucMACArray, local_addr.addr, 0xFFFFFFFF0, 0, IPADDR_USE_STATIC);
147
148 // Setup the device locator service
149 LocatorInit();
150 LocatorMACAddrSet(pucMACArray);
151 LocatorAppTitleSet("LM3S9D92 enet_lwip");
152
153 // ca. 30 ms delay for stabilize Ethernetconnection
154 ul_delay_count = 300000;
155 while (ul_delay_count) ul_delay_count--;
156 //-----
157
158 tcp_nagle_disable(control_connection);
159
160 return 1;
161 }
162
163 /*
164 * Timer Interrupt für Ethernet spezifische Aktionen.
165 * Hier wird u.a. erkannt, wenn eine neue IP-Adresse zugewiesen
166 * wurde. Die Neue IP wird dann über UART ausgegeben.
167 */
168 void lwIPHostTimerHandler(void)
169 {
170     unsigned long ulIPAddress;
171
172     // Get the local IP address.
173     ulIPAddress = lwIPLocalIPAddrGet();
174
175     // See if an IP address has been assigned.
176     if(ulIPAddress == 0)
177     {

```

```
178         // Draw a spinning line to indicate that the IP address is being
179         // discovered.
180
181         UARTprintf("\b%c", g_pcTwirl[g_ulTwirlPos]);
182
183         // Update the index into the twirl.
184         g_ulTwirlPos = (g_ulTwirlPos + 1) & 3;
185     }
186
187     // Check if IP address has changed, and display if it has
188     else if (ulIPAddress != g_ulLastIPAddr)
189     {
190         // Ausgabe der neuen MAC Adresse
191         lwIPLocalMACGet(pucMACArray);
192         UARTprintf("\n MAC: %x:%x:%x:%x:%x:%x\n", pucMACArray[0],
193             pucMACArray[1], pucMACArray[2], pucMACArray[3],
194             pucMACArray[4], pucMACArray[5]);
195
196         //
197         // Ausgabe der neuen IP Adresse
198         ulIPAddress = lwIPLocalIPAddrGet();
199         UARTprintf(" IP: %d.%d.%d.%d\n", ulIPAddress & 0xff,
200             (ulIPAddress >> 8) & 0xff, (ulIPAddress >> 16) & 0xff,
201             (ulIPAddress >> 24) & 0xff);
202
203         // Speichern der neuen IP-Adresse
204         g_ulLastIPAddr = ulIPAddress;
205
206         // Ausgabe der neuen Netzmaske
207         ulIPAddress = lwIPLocalNetMaskGet();
208         UARTprintf(" Netmask: %d.%d.%d.%d\n", ulIPAddress & 0xff,
209             (ulIPAddress >> 8) & 0xff, (ulIPAddress >> 16) & 0xff,
210             (ulIPAddress >> 24) & 0xff);
211
212         // Ausgabe der neuen Gateway Adresse
213         ulIPAddress = lwIPLocalGWAddrGet();
214         UARTprintf(" Gateway: %d.%d.%d.%d\n", ulIPAddress & 0xff,
215             (ulIPAddress >> 8) & 0xff, (ulIPAddress >> 16) & 0xff,
216             (ulIPAddress >> 24) & 0xff);
217
218         discover_init(); // Initialisierung des UDP Broadcast Dienstes
219         control_init(); // Initialisierung der TCP-Steuerung
220
221         UARTprintf("\nInitialization Ethernet...done\n\n");
222     }
223
224 }
225
226
```

```
1  /*
2   * led.h
3   *
4   * Created on: 03.06.2013
5   * Author: Thomas W.
6   */
7
8  #ifndef LED_H_
9  #define LED_H_
10
11  /*****
12   *
13   * Function Declarations
14   *
15   *****/
16  void led_init(void);
17
18
19
20 #endif /* LED_H_ */
21
```

```
1  /*
2  Project:                battery_cycling_sw_v4
3  File:                  led.c
4
5  Auhtor:                Thomas Wisnewski
6  Credits:
7
8  last modified:        2013/05/27
9
10 Project Status         Under Construction
11 Status:                running
12
13 CCS:                   5.5.1.00031
14 Stellarisware:        8555
15
16 Hardware:              Stellaris EKS-LM3S9B92 on Extension Board with
17                        16 Bit ADC AD7798, SD-Card, Reed-Relais Matrix,
18                        NTC-Connectors, MAX3232 and Suplly Circuits
19
20 Description:           Initialize GPIOs for Frontpanel LEDs
21
22 */
23
24 #include <string.h>
25 #include <stdarg.h>
26 #include <stdio.h>
27 #include "inc/hw_memmap.h"
28 #include "inc/hw_types.h"
29 #include "utils/uartstdio.h"
30 #include "utils/ustdlib.h"
31 #include "inc/hw_ints.h"
32 #include "inc/hw_types.h"
33 #include "inc/hw_uart.h"
34 #include "inc/hw_gpio.h"
35
36 #include "driverlib/uart.h"
37 #include <driverlib/gpio.h>
38
39
40 // Initialize GPIO-Ports for LED in Frontpanel
41 void led_init(void){
42     UARTprintf("Initializing Front LEDs...");
43
44     SysCtlPeripheralEnable(SYSCTL_PERIPH_GPIOJ); // enable peripheral
45     GPIOPinTypeGPIOOutput(GPIO_PORTJ_BASE, GPIO_PIN_4 | GPIO_PIN_5 | GPIO_PIN_6 |
46     GPIO_PIN_7 ); // set PJ4 to PJ7 as digital output
47     GPIOPadConfigSet(GPIO_PORTJ_BASE, GPIO_PIN_4 | GPIO_PIN_5 | GPIO_PIN_6 |
48     GPIO_PIN_7, GPIO_STRENGTH_8MA,
49     GPIO_PIN_TYPE_STD_WPD);
50     UARTprintf("done\n");
51 }
```



```
1 //*****
2 //
3 // lwipopts.h - Configuration file for lwIP
4 //
5 // Copyright (c) 2009-2011 Texas Instruments Incorporated. All rights reserved.
6 // Software License Agreement
7 //
8 // Texas Instruments (TI) is supplying this software for use solely and
9 // exclusively on TI's microcontroller products. The software is owned by
10 // TI and/or its suppliers, and is protected under applicable copyright
11 // laws. You may not combine this software with "viral" open-source
12 // software in order to form a larger program.
13 //
14 // THIS SOFTWARE IS PROVIDED "AS IS" AND WITH ALL FAULTS.
15 // NO WARRANTIES, WHETHER EXPRESS, IMPLIED OR STATUTORY, INCLUDING, BUT
16 // NOT LIMITED TO, IMPLIED WARRANTIES OF MERCHANTABILITY AND FITNESS FOR
17 // A PARTICULAR PURPOSE APPLY TO THIS SOFTWARE. TI SHALL NOT, UNDER ANY
18 // CIRCUMSTANCES, BE LIABLE FOR SPECIAL, INCIDENTAL, OR CONSEQUENTIAL
19 // DAMAGES, FOR ANY REASON WHATSOEVER.
20 //
21 // This is part of revision 8264 of the EK-LM3S9B92 Firmware Package.
22 //
23 //*****
24 //
25 // NOTE: This file has been derived from the lwIP/src/include/lwip/opt.h
26 // header file.
27 //
28 // For additional details, refer to the original "opt.h" file, and lwIP
29 // documentation.
30 //
31 //*****
32
33 #ifndef __LWIPOPTS_H__
34 #define __LWIPOPTS_H__
35
36 //*****
37 //
38 // ----- Stellaris / lwIP Port Options -----
39 //
40 //*****
41 #define HOST_TMR_INTERVAL 100 // default is 0
42 // #define DHCP_EXPIRE_TIMER_MSECS (60 * 1000)
43 // #define INCLUDE_HTTPD_SSI
44 // #define INCLUDE_HTTPD_CGI
45 #define DYNAMIC_HTTP_HEADERS
46 // #define INCLUDE_HTTPD_DEBUG
47
48 //*****
49 //
50 // ----- Platform specific locking -----
51 //
52 //*****
53 #define SYS_LIGHTWEIGHT_PROT 1 // default is 0
54 #define NO_SYS 1 // default is 0
55 // #define MEMCPY(dst,src,len) memcpy(dst,src,len)
56 // #define SMEMCPY(dst,src,len) memcpy(dst,src,len)
57
58 //*****
59 //
```

```

60 // ----- Memory options -----
61 //
62 //*****
63 // #define MEM_LIBC_MALLOC 0
64 #define MEM_ALIGNMENT 4 // default is 1
65 #define MEM_SIZE (22 * 1024) // default is 1600, was 16K
66 // #define MEMP_OVERFLOW_CHECK 0
67 // #define MEMP_SANITY_CHECK 0
68 // #define MEM_USE_POOLS 0
69 // #define MEMP_USE_CUSTOM_POOLS 0
70
71 //*****
72 //
73 // ----- Internal Memory Pool Sizes -----
74 //
75 //*****
76 #define MEMP_NUM_PBUF 24 // Default 16, was 16
77 // #define MEMP_NUM_RAW_PCB 4
78 // #define MEMP_NUM_UDP_PCB 4
79 #define MEMP_NUM_TCP_PCB 16 // Default 5, was 12
80 // #define MEMP_NUM_TCP_PCB_LISTEN 8
81 // #define MEMP_NUM_TCP_SEG 16
82 // #define MEMP_NUM_REASSDATA 5
83 // #define MEMP_NUM_ARP_QUEUE 30
84 // #define MEMP_NUM_IGMP_GROUP 8
85 // #define MEMP_NUM_SYS_TIMEOUT 3
86 // #define MEMP_NUM_NETBUF 2
87 // #define MEMP_NUM_NETCONN 4
88 // #define MEMP_NUM_TCPIP_MSG_API 8
89 // #define MEMP_NUM_TCPIP_MSG_INPKT 8
90 #define PBUF_POOL_SIZE 24 // Default 16, was 36
91
92 //*****
93 //
94 // ----- ARP options -----
95 //
96 //*****
97 // #define LWIP_ARP 1
98 // #define ARP_TABLE_SIZE 10
99 // #define ARP_QUEUEING 1
100 // #define ETHARP_TRUST_IP_MAC 1
101
102 //*****
103 //
104 // ----- IP options -----
105 //
106 //*****
107 // #define IP_FORWARD 0
108 // #define IP_OPTIONS_ALLOWED 1
109 #define IP_REASSEMBLY 0 // default is 1
110 #define IP_FRAG 0 // default is 1
111 // #define IP_REASS_MAXAGE 3
112 // #define IP_REASS_MAX_PBUFS 10
113 // #define IP_FRAG_USES_STATIC_BUF 1
114 // #define IP_FRAG_MAX_MTU 1500
115 // #define IP_DEFAULT_TTL 255
116
117 //*****
118 //

```

```
119 // ----- ICMP options -----
120 //
121 //*****
122 //define LWIP_ICMP 1
123 //define ICMP_TTL (IP_DEFAULT_TTL)
124
125 //*****
126 //
127 // ----- RAW options -----
128 //
129 //*****
130 //define LWIP_RAW 1
131 //define RAW_TTL (IP_DEFAULT_TTL)
132
133 //*****
134 //
135 // ----- DHCP options -----
136 //
137 //*****
138 #define LWIP_DHCP 1 // default is 0
139 //define DHCP_DOES_ARP_CHECK ((LWIP_DHCP) && (LWIP_ARP))
140
141 //*****
142 //
143 // ----- UPNP options -----
144 //
145 //*****
146 //define LWIP_UPNP 0
147
148 //*****
149 //
150 // ----- PTPD options -----
151 //
152 //*****
153 //define LWIP_PTPD 0
154
155 //*****
156 //
157 // ----- AUTOIP options -----
158 //
159 //*****
160 #define LWIP_AUTOIP 1 // default is 0
161 #define LWIP_DHCP_AUTOIP_COOP ((LWIP_DHCP) && (LWIP_AUTOIP))
162 // default is 0
163 #define LWIP_DHCP_AUTOIP_COOP_TRIES 5 // default is 9
164
165 //*****
166 //
167 // ----- SNMP options -----
168 //
169 //*****
170 //define LWIP_SNMP 0
171 //define SNMP_CONCURRENT_REQUESTS 1
172 //define SNMP_TRAP_DESTINATIONS 1
173 //define SNMP_PRIVATE_MIB 0
174 //define SNMP_SAFE_REQUESTS 1
175
176 //*****
177 //
```

```

178 // ----- IGMP options -----
179 //
180 //*****
181 //define LWIP_IGMP 0
182
183 //*****
184 //
185 // ----- DNS options -----
186 //
187 //*****
188 //define LWIP_DNS 0
189 //define DNS_TABLE_SIZE 4
190 //define DNS_MAX_NAME_LENGTH 256
191 //define DNS_MAX_SERVERS 2
192 //define DNS_DOES_NAME_CHECK 1
193 //define DNS_USES_STATIC_BUF 1
194 //define DNS_MSG_SIZE 512
195
196 //*****
197 //
198 // ----- UDP options -----
199 //
200 //*****
201 //define LWIP_UDP 1
202 //define LWIP_UDPLITE 0
203 //define UDP_TTL (IP_DEFAULT_TTL)
204
205 //*****
206 //
207 // ----- TCP options -----
208 //
209 //*****
210 //define LWIP_TCP 1
211 //define TCP_TTL (IP_DEFAULT_TTL)
212 #define TCP_WND 0xFFFF // default is 2048
213 //define TCP_WND 45 * TCP_MSS // default is 2048
214 //define TCP_MAXRTX 12
215 //define TCP_SYNMAXRTX 6
216 //define TCP_QUEUE_OOSEQ 1
217 #define TCP_MSS 1460
218 //define TCP_MSS 1400 // default is 128
219 //define TCP_CALCULATE_EFF_SEND_MSS 1
220 #define TCP_SND_BUF TCP_WND /* default is 256, was 6 */
221 //define TCP_SND_QUEUELEN 48
222 #define TCP_SND_QUEUELEN (6 * (TCP_SND_BUF/TCP_MSS))
223 //define TCP_SNDLOWAT (TCP_SND_BUF/2)
224 //define TCP_LISTEN_BACKLOG 0
225 //define TCP_DEFAULT_LISTEN_BACKLOG 0xff
226 //define TCP_OVERSIZE TCP_MSS
227
228
229 //*****
230 //
231 // ----- API options -----
232 //
233 //*****
234 //define LWIP_EVENT_API 0
235 //define LWIP_CALLBACK_API 1
236

```

```

237 //*****
238 //
239 // ----- Pbuf options -----
240 //
241 //*****
242 #define PBUF_LINK_HLEN          16          // default is 14
243 // #define PBUF_POOL_BUFSIZE    2048
244 #define PBUF_POOL_BUFSIZE      1024
245                                     // default is
                                     LWIP_MEM_ALIGN_SIZE(TCP_MSS+40+PBU
                                     F_LINK_HLEN) //256
246 #define ETH_PAD_SIZE           2          // default is 0
247
248 //*****
249 //
250 // ----- Network Interfaces options -----
251 //
252 //*****
253 // #define LWIP_NETIF_HOSTNAME    0
254 // #define LWIP_NETIF_API         0
255 // #define LWIP_NETIF_STATUS_CALLBACK 0
256 // #define LWIP_NETIF_LINK_CALLBACK 0
257 // #define LWIP_NETIF_HWADDRHINT 0
258
259 //*****
260 //
261 // ----- LOOPIF options -----
262 //
263 //*****
264 // #define LWIP_HAVE_LOOPIF       0
265 // #define LWIP_LOOPIF_MULTITHREADING 1
266
267 //*****
268 //
269 // ----- Thread options -----
270 //
271 //*****
272 // #define TCPIP_THREAD_NAME      "tcpip_thread"
273 // #define TCPIP_THREAD_STACKSIZE 0
274 // #define TCPIP_THREAD_PRIO      1
275 // #define TCPIP_MBOX_SIZE        0
276 // #define SLIPIF_THREAD_NAME     "slipif_loop"
277 // #define SLIPIF_THREAD_STACKSIZE 0
278 // #define SLIPIF_THREAD_PRIO    1
279 // #define PPP_THREAD_NAME        "pppMain"
280 // #define PPP_THREAD_STACKSIZE   0
281 // #define PPP_THREAD_PRIO        1
282 // #define DEFAULT_THREAD_NAME    "lwIP"
283 // #define DEFAULT_THREAD_STACKSIZE 0
284 // #define DEFAULT_THREAD_PRIO    1
285 // #define DEFAULT_RAW_RECVMBOX_SIZE 0
286 // #define DEFAULT_UDP_RECVMBOX_SIZE 0
287 // #define DEFAULT_TCP_RECVMBOX_SIZE 0
288 // #define DEFAULT_ACCEPTMBOX_SIZE 0
289
290 //*****
291 //
292 // ----- Sequential layer options -----
293 //

```

```
294 //*****
295 //define LWIP_TCPIP_CORE_LOCKING          0
296 #define LWIP_NETCONN                      0          // default is 1
297
298 //*****
299 //
300 // ----- Socket Options -----
301 //
302 //*****
303 #define LWIP_SOCKET                      0          // default is 1
304 //define LWIP_COMPAT_SOCKETS             1
305 //define LWIP_POSIX_SOCKETS_IO_NAMES     1
306 //define LWIP_TCP_KEEPALIVE              0
307 //define LWIP_SO_RCVTIMEO                0
308 //define LWIP_SO_RCVBUF                  0
309 //define SO_REUSE                         0
310
311 //*****
312 //
313 // ----- Statistics options -----
314 //
315 //*****
316 //define LWIP_STATS                      1
317 //define LWIP_STATS_DISPLAY              0
318 //define LINK_STATS                      1
319 //define ETHARP_STATS                    (LWIP_ARP)
320 //define IP_STATS                        1
321 //define IPFRAG_STATS                    (IP_REASSEMBLY || IP_FRAG)
322 //define ICMP_STATS                      1
323 //define IGMP_STATS                      (LWIP_IGMP)
324 //define UDP_STATS                      (LWIP_UDP)
325 //define TCP_STATS                      (LWIP_TCP)
326 //define MEM_STATS                      1
327 //define MEMP_STATS                      1
328 //define SYS_STATS                      1
329
330 //*****
331 //
332 // ----- PPP options -----
333 //
334 //*****
335 //define PPP_SUPPORT                     0
336 //define PPPOE_SUPPORT                   0
337 //define PPPOS_SUPPORT                   PPP_SUPPORT
338
339 #if PPP_SUPPORT
340 //define NUM_PPP                         1
341 //define PAP_SUPPORT                     0
342 //define CHAP_SUPPORT                    0
343 //define MSCHAP_SUPPORT                  0
344 //define CBCP_SUPPORT                    0
345 //define CCP_SUPPORT                     0
346 //define VJ_SUPPORT                      0
347 //define MD5_SUPPORT                     0
348 //define FSM_DEFTIMEOUT                   6
349 //define FSM_DEFMAXTERMREQS               2
350 //define FSM_DEFMAXCONFREQS              10
351 //define FSM_DEFMAXNAKLOOPS              5
352 //define UPAP_DEFTIMEOUT                  6
```

```

353  // #define UPAP_DEFRQTIME           30
354  // #define CHAP_DEFTIMEOUT         6
355  // #define CHAP_DEFTRANSMITS       10
356  // #define LCP_ECHOINTERVAL        0
357  // #define LCP_MAXECHOFAILS        3
358  // #define PPP_MAXIDLEFLAG         100
359
360  // #define PPP_MAXMTU               1500
361  // #define PPP_DEFMRU               296
362  #endif
363
364  // *****
365  //
366  // ----- checksum options -----
367  //
368  // *****
369  // #define CHECKSUM_GEN_IP           1
370  // #define CHECKSUM_GEN_UDP          1
371  // #define CHECKSUM_GEN_TCP          1
372  // #define CHECKSUM_CHECK_IP         1
373  // #define CHECKSUM_CHECK_UDP        1
374  // #define CHECKSUM_CHECK_TCP        1
375
376  // *****
377  //
378  // ----- Debugging options -----
379  //
380  // *****
381  #if 0
382  #define U8_F "c"
383  #define S8_F "c"
384  #define X8_F "x"
385  #define U16_F "u"
386  #define S16_F "d"
387  #define X16_F "x"
388  #define U32_F "u"
389  #define S32_F "d"
390  #define X32_F "x"
391  extern void UARTprintf(const char *pcString, ...);
392  #define LWIP_DEBUG
393  #endif
394
395  // #define LWIP_DBG_MIN_LEVEL         LWIP_DBG_LEVEL_OFF
396  #define LWIP_DBG_MIN_LEVEL         LWIP_DBG_LEVEL_OFF
397  // #define LWIP_DBG_MIN_LEVEL         LWIP_DBG_LEVEL_WARNING
398  // #define LWIP_DBG_MIN_LEVEL         LWIP_DBG_LEVEL_SERIOUS
399  // #define LWIP_DBG_MIN_LEVEL         LWIP_DBG_LEVEL_SEVERE
400
401  // #define LWIP_DBG_TYPES_ON         LWIP_DBG_ON
402  #define LWIP_DBG_TYPES_ON
403  (LWIP_DBG_ON|LWIP_DBG_TRACE|LWIP_DBG_STATE|LWIP_DBG_FRESH)
404
404  // #define ETHARP_DEBUG               LWIP_DBG_ON    // default is OFF
405  // #define NETIF_DEBUG               LWIP_DBG_ON    // default is OFF
406  // #define PBUF_DEBUG                 LWIP_DBG_OFF
407  // #define API_LIB_DEBUG              LWIP_DBG_OFF
408  // #define API_MSG_DEBUG              LWIP_DBG_OFF
409  // #define SOCKETS_DEBUG              LWIP_DBG_OFF
410  // #define ICMP_DEBUG                LWIP_DBG_OFF

```

```
411  // #define IGMP_DEBUG                LWIP_DBG_OFF
412  // #define INET_DEBUG                 LWIP_DBG_OFF
413  // #define IP_DEBUG                   LWIP_DBG_ON      // default is OFF
414  // #define IP_REASS_DEBUG              LWIP_DBG_OFF
415  // #define RAW_DEBUG                  LWIP_DBG_OFF
416  // #define MEM_DEBUG                  LWIP_DBG_OFF
417  // #define MEMP_DEBUG                 LWIP_DBG_OFF
418  // #define SYS_DEBUG                 LWIP_DBG_OFF
419  // #define TCP_DEBUG                  LWIP_DBG_OFF
420  // #define TCP_INPUT_DEBUG            LWIP_DBG_OFF
421  // #define TCP_FR_DEBUG               LWIP_DBG_OFF
422  // #define TCP_RTO_DEBUG              LWIP_DBG_OFF
423  // #define TCP_CWND_DEBUG             LWIP_DBG_OFF
424  // #define TCP_WND_DEBUG              LWIP_DBG_OFF
425  // #define TCP_OUTPUT_DEBUG           LWIP_DBG_OFF
426  // #define TCP_RST_DEBUG              LWIP_DBG_OFF
427  // #define TCP_QLEN_DEBUG             LWIP_DBG_OFF
428  // #define UDP_DEBUG                  LWIP_DBG_ON      // default is OFF
429  // #define TCPIP_DEBUG                LWIP_DBG_OFF
430  // #define PPP_DEBUG                  LWIP_DBG_OFF
431  // #define SLIP_DEBUG                 LWIP_DBG_OFF
432  // #define DHCP_DEBUG                 LWIP_DBG_ON      // default is OFF
433  // #define AUTOIP_DEBUG               LWIP_DBG_OFF
434  // #define SNMP_MSG_DEBUG             LWIP_DBG_OFF
435  // #define SNMP_MIB_DEBUG             LWIP_DBG_OFF
436  // #define DNS_DEBUG                  LWIP_DBG_OFF
437
438  #endif /* __LWIPOPTS_H__ */
439
```



```
1  /*
2  Project:                battery_cycling_sw_v4
3  File:                  main.c
4
5  Auhtor:                Thomas Wisnewski
6  Credits:              Matthias Schneider
7                      Tobias Steinmann
8                      Fabian Schwartau
9                      Johannes Roehn
10                     Stellaris Ware
11
12  last modified:        2014/01/08
13
14  Project Status        Under Construction
15  Status:              running
16
17  CCS:                  5.5.1.00031
18  Stellarisware:       8555
19
20  Hardware:             Stellaris EKS-LM3S9B92 on Extension Board with
21                     16 Bit ADC AD7798, SD-Card, Reed-Relais Matrix,
22                     NTC-Connectors, MAX3232 and Suplly Circuits
23
24  Description:          Main File for BATSEN Battery Cycling Machine
25  */
26
27
28
29  /*****
30  *
31  * Includings
32  *
33  *****/
34  #include "inc/hw_ints.h"
35  #include "inc/hw_memmap.h"
36  #include "inc/hw_types.h"
37  #include "driverlib/debug.h"
38  #include "driverlib/gpio.h"
39  #include "driverlib/interrupt.h"
40  #include "driverlib/pin_map.h"
41  #include "driverlib/rom.h"
42  #include "driverlib/sysctl.h"
43  #include "driverlib/uart.h"
44  #include "string.h"
45  #include <stdio.h>
46  #include <stdlib.h>
47
48
49
50  /*****
51  *
52  * Own Includings
53  *
54  *****/
55  #include "utils/uartstdio.h"
56  #include "driverlib/rom_map.h"
57  #include "header/myuart.h"
58  #include "header/mysdcard.h"
59  #include "header/myssi.h"
```

```
60 #include "header/myadc.h"
61 #include "header/relais.h"
62 #include "header/config.h"
63 #include "header/mycmdline.h"
64 #include "header/clocktimer.h"
65 #include "header/temperature.h"
66 #include "header/ethernet.h"
67 #include "header/control.h"
68 #include "header/mypwm.h"
69 #include "header/display.h"
70 #include "header/rtc.h"
71 #include "header/led.h"
72 #include "header/watchdog.h"
73 #include "driverlib/timer.h"
74 #include "utils/lwiplib.h"
75 #include "third_party/fatfs/src/ff.h"
76 #include "third_party/fatfs/src/diskio.h"
77
78 /*****
79 *
80 * Globals
81 *
82 *****/
83
84
85 //Variables for the cat command
86 int g_cat_argc;
87 char g_cat_argv[20], g_cat_flag = 0;
88
89 //Flag for Display ReINIT
90 volatile int g_bDispInit = 0;
91
92 // String buffer for print operations to UART and Ethernet
93 extern char print_buffer[];
94 // TCP-Socket für die aktuelle Steuerungs-Verbindung
95 extern struct tcp_pcb* control_connection;
96
97 extern char g_cAnsBuf[];
98
99 extern volatile tBoolean g_bFeedWatchdog;
100
101 // Instanz der Konfiguration
102 config_t config;
103
104 // Define global location buffer
105 char *g_cLocalBuf;
106
107 // Define Command line pointer
108 tCmdLineEntry *g_psCmdTable;
109
110 // Define string for main location
111 const char *g_cMainLocalBuf = "Main";
112
113 // define command set for main program
114 tCmdLineEntry g_sMainCmdTable[] =
115 {
116     { "help",    Cmd_help,          " : Display list of commands" },
117     { "h",       Cmd_help,          " : alias for help" },
118     { "?",      Cmd_help,          " : alias for help" },
```

```
119     { "browser",my_start_cmd_line,      ": SD-Card browser" },
120     { "config", config_cmd_line,        " : Configuration" },
121     { "alive",  Cmd_alive,              " : Check if Cycling is active" },
122     { "start",  Cmd_start,               " : Start measurement cycling" },
123     { "stop",   Cmd_stop,                " : Stop measurement cycling" },
124     { 0, 0, 0 }
125 };
126
127
128 void main(void) {
129
130     // Set the system clock to run at 50MHz from the PLL.
131     //
132     ROM_SysCtlClockSet(SYSCTL_SYSDIV_4 | SYSCTL_USE_PLL | SYSCTL_OSC_MAIN |
133                       SYSCTL_XTAL_16MHZ);
134
135
136     //
137     // Enable processor interrupts.
138     //
139     IntMasterEnable();
140
141     // set Command line pointer to the beginning of the main command structure
142     g_psCmdTable = &g_sMainCmdTable[0];
143
144     // set location buffer to main
145     g_cLocalBuf = (char*)g_cMainLocalBuf;
146
147
148     //initializing program
149     myUARTinit();
150     buttons_init();
151     ssil_init();
152     mysdcardinit();
153     init_config();
154     myadc_init();
155     init_ethernet();
156     led_init();
157     init_relais();
158     init_clock_timer();
159     rtc_init();
160     init_temperature();
161     pwm_init();
162     display_init();
163     watchdog_init();
164
165     //DEBUG INIT TRIGGER OUTPUT
166     //GPIOPinTypeGPIOOutput(GPIO_PORTA_BASE, GPIO_PIN_5);
167     //GPIOPinWrite(GPIO_PORTA_BASE, GPIO_PIN_5, 0);
168
169     //*****
170     //Set Priority of interrupts
171     //*****
172
173     //Systick 100Hz Timer for FATFs, Clock and Ethernet + Watchdog
174     ROM_IntPrioritySet(FAULT_SYSTICK, 0x00); //1st priority
175     ROM_IntPrioritySet(INT_WATCHDOG, 0x00); //1st priority
176
177     //UART
```

```

178     ROM_IntPrioritySet(INT_UART0,      0x20); //2nd priority
179     //Ethernet interrupt
180     ROM_IntPrioritySet(INT_ETH,        0x20); //2nd priority
181
182     //Cycle Control Timer
183     ROM_IntPrioritySet(INT_TIMER2A,    0x20); //2nd priority (SAFETY Reasons)
184     //Cycle LED periodic toggle Timer
185     ROM_IntPrioritySet(INT_TIMER3A,    0x20); //2nd priority
186
187     //Cycle Measurement Timer
188     ROM_IntPrioritySet(INT_TIMER0A,    0x40); //3rd priority
189     //ADC Temperature Interrupts
190     ROM_IntPrioritySet(INT_ADC0SS0,    0x40); //3rd priority
191     ROM_IntPrioritySet(INT_ADC1SS1,    0x40); //3rd priority
192
193
194     //Display timer
195     ROM_IntPrioritySet(INT_TIMER1A,    0x60); //4th priority
196     //Display buttons interrupts
197     ROM_IntPrioritySet(INT_GPIOC,      0x80); //5th priority
198     ROM_IntPrioritySet(INT_GPIOD,      0x80); //5th priority
199     ROM_IntPrioritySet(INT_GPIOF,      0x80); //5th priority
200
201     ROM_IntPrioritySet(INT_SYSCTL,      0xE0); //lowest priority
202
203     //*****
204
205
206     //
207     // Print a prompt to the console.
208     //
209     UARTprintf("\n\n\n");
210     UARTprintf("*****\n");
211     UARTprintf("***      Battery Cycle Machine      ***\n");
212     UARTprintf("*****\n");
213
214     UARTprintf("\n Enter Command (type <help> to see list of commands):");
215     UARTprintf("\n%s: > ", g_cLocalBuf);
216
217     //calibrate_adc();
218
219     //
220     // Loop forever
221     //
222     while (1){
223
224         //WATCHDOG FEED
225         g_bFeedWatchdog = true;//if not fed in the main loop watchdog will reset the
            system
226
227         //Check flag for the execution of the cat command
228         if(g_cat_flag){
229             FRESULT fresult;
230             unsigned short usBytesRead;
231
232             //
233             // Disable Timer 1 for Display INT
234             //
235             TimerDisable(TIMER1_BASE, TIMER_A);

```

```
236
237 //write message to display being disabled
238 write_to_display("    Display not    ", 0, 0);
239 write_to_display("  available during  ", 1, 0);
240 write_to_display("network transmission", 2, 0);
241 write_to_display("*****", 3, 0);
242
243
244 //
245 // First, check to make sure that the current path (CWD), plus
246 // the file name, plus a separator and trailing null, will all
247 // fit in the temporary buffer that will be used to hold the
248 // file name. The file name must be fully specified, with path,
249 // to FatFs.
250 //
251 if(strlen(g_cCwdBuf) + strlen(g_cat_argv) + 1 + 1 > sizeof(g_cTmpBuf))
252 {
253     sprintf(print_buffer, "Resulting path name is too long\n");
254
255     UARTprintf(print_buffer);
256
257     if(control_connection){
258         telnet_write(print_buffer);
259     }
260     //return(0);
261 } else {
262
263     //
264     // Copy the current path to the temporary buffer so it can be
265     // manipulated.
266     //
267     strcpy(g_cTmpBuf, g_cCwdBuf);
268
269     //
270     // If not already at the root level, then append a separator.
271     //
272     if(strcmp("/", g_cCwdBuf))
273     {
274         strcat(g_cTmpBuf, "/");
275     }
276
277     //
278     // Now finally, append the file name to result in a fully specified
279     // file.
280     //
281     strcat(g_cTmpBuf, g_cat_argv);
282
283     //
284     // Open the file for reading.
285     //
286     fresult = fopen(&g_sFileObject, g_cTmpBuf, FA_READ);
287
288     //
289     // If there was some problem opening the file, then return
290     // an error.
291     //
292     if(fresult != FR_OK)
293     {
294         //return(fresult);
295     }
```

```
293         } else {
294
295             //If Ethernet connected no output via UART
296             if(control_connection)
297                 UARTprintf("\nOutput only via connected Ethernet!\n");
298             //
299             // Enter a loop to repeatedly read data from the file and
300             // display it,
301             // until the end of the file is reached.
302             //
303             do{
304
305                 //WATCHDOG FEED
306                 g_bFeedWatchdog = true;
307
308                 //
309                 // Read a block of data from the file. Read as much as can
310                 // fit
311                 // in the temporary buffer, including a space for the
312                 // trailing null.
313                 //
314                 fresult = f_read(&g_sFileObject, g_cTmpBuf, sizeof(g_cTmpBuf)
315                 - 1,
316                                 &usBytesRead);
317
318                 //
319                 // If there was an error reading, then print a newline and
320                 // return the error to the user.
321                 //
322                 if(fresult != FR_OK)
323                 {
324                     sprintf(print_buffer, "\n");
325                     UARTprintf(print_buffer);
326                     if(control_connection){
327                         telnet_write(print_buffer);
328                     }
329                     //return(fresult);
330                     break;
331                 }
332
333                 //
334                 // Null terminate the last block that was read to make it a
335                 // null terminated string that can be used with printf.
336                 //
337                 g_cTmpBuf[usBytesRead] = 0;
338
339                 //
340                 // Print the last chunk of the file that was received.
341                 //
342                 sprintf(print_buffer, "%s", g_cTmpBuf);
343
344                 //Send data over Ethernet OR UART due to performance
345                 //optimization
346                 //Output over both interfaces slows down the Ethernet
347                 //connection
348                 if(control_connection){
349                     telnet_immediate_write(print_buffer);
350                 } else
351                     UARTprintf(print_buffer);
```

```
346
347         //
348         // Continue reading until less than the full number of bytes
349         // are
350         // read. That means the end of the buffer was reached.
351         //
352         } while(usBytesRead == sizeof(g_cTmpBuf) - 1);
353
354         if(control_connection){
355             telnet_immediate_write("\nEnd of file\n Enter Command (type
356             <help> to see list of commands):\n");
357             sprintf(g_cAnsBuf, "%s: > \n", g_cLocalBuf);
358             telnet_immediate_write(g_cAnsBuf);
359         }
360
361         //
362         // Print a prompt to the console.
363         //
364         UARTprintf("\nEnd of file");
365         UARTprintf("\n Enter Command (type <help> to see list of
366         commands):");
367         UARTprintf("\n%s: > ", g_cLocalBuf);
368     }
369     //Delete Flag
370     g_cat_flag = 0;
371
372     //
373     // Enable Timer 1 for Display INT
374     //
375     TimerEnable(TIMER1_BASE, TIMER_A);
376 }
377
378 //Re INIT Display every minute
379 if(g_bDispInit){
380     g_bDispInit = 0;
381     TimerDisable(TIMER1_BASE, TIMER_A);
382     display_reinit();
383     TimerEnable(TIMER1_BASE, TIMER_A);
384 }
385 }
386 }
387
388
389
```

```
1  /*
2   * myadc.h
3   *
4   *   Created on: 11.02.2013
5   *       Author: Thomas W.
6   */
7
8  #ifndef MAYADC_H_
9  #define MAYADC_H_
10
11  /*****
12   *
13   * Function Declarations
14   *
15   *****/
16  int myadc_init(void);
17  unsigned char adc_status(void);
18  unsigned short adc_read_config_reg(void);
19  unsigned char adc_write_read(unsigned char);
20  void adc_clear_fifo(void);
21  void adc_set_config_reg(unsigned short);
22  unsigned short adc_read_fs_reg(void);
23  unsigned short adc_read_offset_reg(void);
24  void adc_set_config_reg(unsigned short);
25  void adc_set_mode_reg(unsigned short);
26  void adc_set_fs_reg(unsigned short);
27  void adc_set_offset_reg(unsigned short);
28  unsigned short adc_read_data(void);
29
30
31  unsigned short adc_get_single_value(void);
32  unsigned short adc_get_single_value_ch2(void);
33  unsigned short adc_get_single_value_ch3(void);
34  int adc_get_current(void);
35  int adc_get_voltage(unsigned int);
36
37  #endif /* MAYADC_H_ */
38
```



```
1  /*
2  Project:          battery_cycling_sw_v4
3  File:            myadc.c
4
5  Auhtor:          Thomas Wisnewski
6  Credits:         Matthias Schneider
7                  Tobias Steinmann
8                  Fabian Schwartau
9                  Johannes Roehn
10                 Stellaris Ware
11
12  last modified:   2014/01/08
13
14  Project Status   Under Construction
15  Status:          running
16
17  CCS:             5.5.1.00031
18  Stellarisware:   8555
19
20  Hardware:        Stellaris EKS-LM3S9B92 on Extension Board with
21                  16 Bit ADC AD7798, SD-Card, Reed-Relais Matrix,
22                  NTC-Connectors, MAX3232 and Suplly Circuits
23
24  Description:     Source Code for AD7798 usage
25
26  */
27
28
29
30
31  /*****
32  *
33  * Includings
34  *
35  *****/
36  #include "driverlib/uart.h"
37  #include "utils/uartstdio.h"
38  #include "driverlib/rom_map.h"
39  #include "inc/hw_ints.h"
40  #include "inc/hw_memmap.h"
41  #include "driverlib/rom.h"
42  #include "driverlib/gpio.h"
43  #include "driverlib/pin_map.h"
44  #include "driverlib/sysctl.h"
45  #include "driverlib/ssi.h"
46  #include "inc/hw_ssi.h"
47
48  /*****
49  *
50  * Own Includings
51  *
52  *****/
53  #include "header/myadc.h"
54  #include "header/config.h"
55  #include "header/relais.h"
56  #include "header/myssi.h"
57
58  //*****
59  //
```

```
60 // A global data buffer used for actual Cell voltage
61 //
62 //*****
63 volatile unsigned int g_iCellVoltages[12] = {0};
64 volatile unsigned int g_iCurrent = 0;
65
66 // AD7798 initialization and configuration
67 int myadc_init(void)
68 {
69
70     UARTprintf("Initialization of external ADC...");
71     unsigned long ul_delay_count;
72
73     // SSI1 Fifo löschen
74     adc_clear_fifo();
75
76     // ADC reset
77     spiChipSelect(ADC);
78     SSIDataPut(SSI1_BASE, 0xFF);
79     SSIDataPut(SSI1_BASE, 0xFF);
80     SSIDataPut(SSI1_BASE, 0xFF);
81     SSIDataPut(SSI1_BASE, 0xFF);
82     spiChipSelect(NONE);
83
84     // ca. 50 ms delay für ADC reset
85     ul_delay_count = 1000000;
86     while (ul_delay_count) ul_delay_count--;
87     //-----
88
89     // Setzen des "configuration register"
90     // unipolar mode, gain = 1, buffered, noref = 0x1010
91     //adc_set_config_reg(0x1010);
92     // bipolar mode, gain = 1, buffered, noref = 0x0010
93     //adc_set_config_reg(0x0010);
94     // bipolar mode, gain = 1, unbuffered, noref = 0x0000
95     //adc_set_config_reg(0x0000);
96     // unipolar mode, gain = 1, unbuffered, noref = 0x1000
97     adc_set_config_reg(0x1000);
98
99     // In den "power down" Modus gehen, um das "mode register" zu ändern
100    adc_set_mode_reg(0x600A);
101    adc_set_offset_reg(0); // Initialisierung des "offset registers" mit 0
102    adc_set_fs_reg(0); // Initialisierung des "full scale registers" mit 0
103
104    // Prüfen, ob die Werte korrekt geschrieben wurden
105    if(adc_read_offset_reg() != 0)
106    {
107        UARTprintf("failed: offset calibration reset failed!\n");
108        return 0;
109    }
110    if(adc_read_fs_reg() != 0)
111    {
112        UARTprintf("failed: full scale calibration reset failed!\n");
113        return 0;
114    }
115
116    // Durchführung der internen Kalibrierung des ADCs
117    adc_set_mode_reg(0x800A); // Internal zero offset calibration
118    while((adc_status() & (1<<7)));
```

```

119     adc_set_mode_reg(0xA00A); // Internal full scale calibration
120     while((adc_status() & (1<<7)));
121
122     // Prüfen, ob die Kalibrierung erfolgreich war
123     // (sich die Werte geändert haben)
124     if(adc_read_offset_reg() == 0)
125     {
126         UARTprintf("failed: offset calibration failed!\n");
127         return 0;
128     }
129     if(adc_read_fs_reg() == 0)
130     {
131         UARTprintf("failed: full scale calibration failed!\n");
132         return 0;
133     }
134
135     //Calibrate HALL-Sensor to 0
136     config.zerocurrentch1 = 0;
137     config.zerocurrentch2 = 0;
138     config.zerocurrentch1 = (32770 - adc_get_single_value_ch2());
139     config.zerocurrentch2 = (32770 - adc_get_single_value_ch3());
140
141     UARTprintf("done.\n");
142     return 1;
143
144
145 }
146
147 // Get the voltage from the ADC
148 int adc_get_voltage(unsigned int choose)
149 {
150     unsigned long ul_delay_count;
151
152     switch_relais(choose);
153
154     // ca. 1 ms delay für ADC reset
155     ul_delay_count = 1000;
156     while (ul_delay_count) ul_delay_count--;
157     //-----
158
159
160     unsigned int output = (unsigned long long)adc_get_single_value();
161     unsigned int voltage = (output*config.B[choose] - output*output/1000*config.A[
162     choose])/1000 + config.C[choose];
163     switch_relais(0);
164
165     if(voltage <= config.C[choose] * 2){
166         voltage = 0;
167     }
168
169     g_iCellVoltages[choose - 1] = voltage;
170
171     return voltage;
172 }
173
174 // Get the current from the ADC
175 int adc_get_current(void){
176
177     long current = (unsigned long long)adc_get_single_value_ch2() * 76293945 /

```

```
1000000000 * 3745 / 100 - 93625;
177
178     if(abs(current) <= 115){
179         current = 0;
180     }
181
182     if(current <= -75000 || current >= 75000){
183         current = (unsigned long long)adc_get_single_value_ch3() * 76293945 /
184             1000000000 * 250 - 625000;
185
186         if(abs(current) <= 115){
187             current = 0;
188         }
189     }
190
191     g_iCurrent = (-1) * current;//positive current for charging, negative for
192     discharge
193
194     return (int)g_iCurrent;
195 }
196
197 // Get the value of the ADC Ch1
198 unsigned short adc_get_single_value(void)
199 {
200     unsigned short data;
201
202     // Configure unipolar mode, gain = 1, unbuffered, noref , CH1 = 0x1000
203     adc_set_config_reg(0x1000);
204
205     // set ADC to single conversion mode with f_ADC = 50 Hz = 0x2005
206     // set ADC to single conversion mode with f_ADC = 62 Hz = 0x2004
207     // set ADC to single conversion mode with f_ADC = 123 Hz = 0x2003
208     // set ADC to single conversion mode with f_ADC = 470 Hz = 0x2001
209     adc_set_mode_reg(0x2008);
210
211     //DEBUG TRIGGER switch off for measure
212     //GPIOPinWrite(GPIO_PORTA_BASE, GPIO_PIN_5, 0);
213
214     // wait for conversion to be done
215     while((adc_status() & (1<<7)));
216
217     data = (adc_read_data());
218
219     return data;
220 }
221
222 // Get the value of the ADC Ch2
223 unsigned short adc_get_single_value_ch2(void)
224 {
225     unsigned short data;
226
227     // Configure unipolar mode, gain = 1, unbuffered, noref , CH2 = 0x1001
228     adc_set_config_reg(0x1001);
229
230     // set ADC to single conversion mode with f_ADC = 123 Hz
231     adc_set_mode_reg(0x2003);
232
```

```
233     // wait for conversion to be done
234     while((adc_status() & (1<<7)));
235
236     data = (adc_read_data()) + config.zerocurrentch1;
237
238     return data;
239 }
240
241 // Get the value of the ADC Ch3
242 unsigned short adc_get_single_value_ch3(void)
243 {
244     unsigned short data;
245
246     // Configure unipolar mode, gain = 1, unbuffered, noref , CH3 = 0x1002
247     adc_set_config_reg(0x1002);
248
249     // set ADC to single conversion mode with f_ADC = 123 Hz
250     adc_set_mode_reg(0x2003);
251
252     // wait for conversion to be done
253     while((adc_status() & (1<<7)));
254
255     data = (adc_read_data()) + config.zerocurrentch2;
256
257     return data;
258 }
259
260 /*
261  * Auslesen des Konfigurations Registers des ADCs.
262  * Es werden hierfür zwei Bytes gelesen und anschließend
263  * zusammengesetzt.
264  */
265 unsigned short adc_read_config_reg(void)
266 {
267     unsigned short data;
268     spiChipSelect(ADC);
269     adc_write_read(0x50);
270     data = (adc_write_read(0x00))<<8;
271     data |= adc_write_read(0x00);
272     spiChipSelect(NONE);
273     return data;
274 }
275
276 /*
277  * Lesen des Status Registers vom ADC.
278  * Return: 1 Byte Status Register
279  */
280 unsigned char adc_status(void)
281 {
282     spiChipSelect(ADC);
283     adc_clear_fifo();
284     adc_write_read(0x40);
285     unsigned char status_reg = adc_write_read(0x00);
286
287     spiChipSelect(NONE);
288     return status_reg;
289 }
290
291 /*
```

```
292  * Schreib-, Leseoperation für den ADC über SSI
293  */
294  unsigned char adc_write_read(unsigned char data)
295  {
296
297      adc_clear_fifo();
298
299      unsigned long ans;
300      SSIDataPut(SSI1_BASE, data);
301      SSIDataGet(SSI1_BASE, &ans);
302
303      return (unsigned char)(ans&0xff);
304
305  }
306
307  /*
308  * Löschen des Hardware FIFOs vom SPI-Interface
309  */
310  void adc_clear_fifo(void)
311  {
312
313      unsigned long dummy;
314      while(SSIDataGetNonBlocking(SSI1_BASE, &dummy)); // clear the fifo
315
316  }
317
318  /*
319  * Auslesen des Fullscale Registers des ADC.
320  * Dieses ist zwei Bytes groß, die hier automatisch
321  * beide gelsen und zusammen gesetzt werden.
322  */
323  unsigned short adc_read_fs_reg(void)
324  {
325      unsigned short data;
326      spiChipSelect(ADC);
327      adc_write_read(0x78);
328      data = (adc_write_read(0x00))<<8;
329      data |= adc_write_read(0x00);
330      spiChipSelect(NONE);
331      return data;
332  }
333
334  /*
335  * Auslesen des Offsetregisters des ADC.
336  * Dieses ist zwei Bytes groß, die hier automatisch
337  * beide gelsen und zusammen gesetzt werden.
338  */
339  unsigned short adc_read_offset_reg(void)
340  {
341      unsigned short data;
342      spiChipSelect(ADC);
343      adc_write_read(0x70);
344      data = (adc_write_read(0x00))<<8;
345      data |= adc_write_read(0x00);
346      spiChipSelect(NONE);
347      return data;
348  }
349
350  /*
```

```
351  * Schreiben des Konfigurationsregisters
352  * Das Register ist 2 Bytes groß, es muss daher ein
353  * zwei Byte short Wert übergeben werden. Es erfolgt
354  * keine Prüfung.
355  */
356 void adc_set_config_reg(unsigned short value)
357 {
358     spiChipSelect(ADC);
359     adc_write_read(0x10);
360     adc_write_read((unsigned char) (value>>8));
361     adc_write_read((unsigned char) (value&0xff));
362     spiChipSelect(NONE);
363 }
364
365 /*
366  * Schreiben des Mode Registers.
367  * Das Register ist 2 Bytes groß, es muss daher ein
368  * zwei Byte short Wert übergeben werden. Es erfolgt
369  * keine Prüfung.
370  */
371 void adc_set_mode_reg(unsigned short value)
372 {
373     spiChipSelect(ADC);
374     adc_write_read(0x08);
375     adc_write_read((unsigned char) (value>>8));
376     adc_write_read((unsigned char) (value&0xff));
377     spiChipSelect(NONE);
378 }
379
380 /*
381  * Setzen des Fullscale Registers des ADC.
382  * Es erfolgt keine Prüfung!
383  */
384 void adc_set_fs_reg(unsigned short value)
385 {
386     spiChipSelect(ADC);
387     adc_write_read(0x38);
388     adc_write_read((unsigned char) (value>>8));
389     adc_write_read((unsigned char) (value));
390     spiChipSelect(NONE);
391 }
392
393 /*
394  * Setzen des Offsetregisters des ADC.
395  * Es erfolgt keine Prüfung!
396  */
397 void adc_set_offset_reg(unsigned short value)
398 {
399     spiChipSelect(ADC);
400     adc_write_read(0x30);
401     adc_write_read((unsigned char) (value>>8));
402     adc_write_read((unsigned char) (value));
403     spiChipSelect(NONE);
404 }
405
406 /*
407  * Auslesen der Daten vom ADC.
408  * Es werden hierfür zwei Bytes gelesen und anschließend
409  * zusammengesetzt. Diese Funktion wird nur intern
```

```
410     * verwendet!  
411     */  
412     unsigned short adc_read_data(void)  
413     {  
414         unsigned short data;  
415         spiChipSelect(ADC);  
416         adc_write_read(0x58);  
417         data = (adc_write_read(0x00))<<8;  
418         data |= adc_write_read(0x00);  
419         spiChipSelect(NONE);  
420         return data;  
421     }  
422
```



```
1  /*
2  * mycmdline.h
3  *
4  *   Created on: 20.02.2013
5  *       Author: Thomas W./Stellarisware
6  */
7
8
9
10
11 //*****
12 //
13 // cmdline.h - Prototypes for command line processing functions.
14 //
15 // Copyright (c) 2007-2012 Texas Instruments Incorporated. All rights reserved.
16 // Software License Agreement
17 //
18 // Texas Instruments (TI) is supplying this software for use solely and
19 // exclusively on TI's microcontroller products. The software is owned by
20 // TI and/or its suppliers, and is protected under applicable copyright
21 // laws. You may not combine this software with "viral" open-source
22 // software in order to form a larger program.
23 //
24 // THIS SOFTWARE IS PROVIDED "AS IS" AND WITH ALL FAULTS.
25 // NO WARRANTIES, WHETHER EXPRESS, IMPLIED OR STATUTORY, INCLUDING, BUT
26 // NOT LIMITED TO, IMPLIED WARRANTIES OF MERCHANTABILITY AND FITNESS FOR
27 // A PARTICULAR PURPOSE APPLY TO THIS SOFTWARE. TI SHALL NOT, UNDER ANY
28 // CIRCUMSTANCES, BE LIABLE FOR SPECIAL, INCIDENTAL, OR CONSEQUENTIAL
29 // DAMAGES, FOR ANY REASON WHATSOEVER.
30 //
31 // This is part of revision 8555 of the Stellaris Firmware Development Package.
32 //
33 //*****
34
35 #ifndef __CMDLINE_H__
36 #define __CMDLINE_H__
37
38 //*****
39 //
40 // If building with a C++ compiler, make all of the definitions in this header
41 // have a C binding.
42 //
43 //*****
44 #ifdef __cplusplus
45 extern "C"
46 {
47 #endif
48
49 //*****
50 //
51 //! \addtogroup cmdline_api
52 //! @{
53 //
54 //*****
55
56 //*****
57 //
58 //! Defines the value that is returned if the command is not found.
59 //
```

```
60  //*****
61  #define CMDLINE_BAD_CMD          (-1)
62
63  //*****
64  //
65  //! Defines the value that is returned if there are too many arguments.
66  //
67  //*****
68  #define CMDLINE_TOO_MANY_ARGS    (-2)
69
70  //*****
71  //
72  // Command line function callback type.
73  //
74  //*****
75  typedef int (*pfnCmdLine)(int argc, char *argv[]);
76
77  //*****
78  //
79  //! Structure for an entry in the command list table.
80  //
81  //*****
82  typedef struct
83  {
84      //
85      //! A pointer to a string containing the name of the command.
86      //
87      const char *pcCmd;
88
89      //
90      //! A function pointer to the implementation of the command.
91      //
92      pfnCmdLine pfnCmd;
93
94      //
95      //! A pointer to a string of brief help text for the command.
96      //
97      const char *pcHelp;
98  }
99  tCmdLineEntry;
100
101  //*****
102  //
103  //! This is the command table that must be provided by the application.
104  //
105  //*****
106  extern tCmdLineEntry g_sCmdTable[];
107
108  //*****
109  //
110  // Close the Doxygen group.
111  //! @}
112  //
113  //*****
114
115  //*****
116  //
117  // Prototypes for the APIs.
118  //
```

```
119  //*****
120  extern int CmdLineProcess(char *pcCmdLine);
121  void Cmd_interprete(char *g_cCmdBuf);
122  int Cmd_alive(int argc, char *argv[]);
123
124  //*****
125  //
126  // Mark the end of the C bindings section for C++ compilers.
127  //
128  //*****
129  #ifdef __cplusplus
130  }
131  #endif
132
133  #endif // __CMDLINE_H__
134
```

```
1  /*
2  Project:                battery_cycling_sw_v4
3  File:                  mycmdline.c
4
5  Auhtor:                Thomas Wisniewski
6  Credits:               Matthias Schneider
7                        Stellaris Ware
8
9  last modified:        2013/03/14
10
11 Project Status         Under Construction
12 Status:                running
13
14 CCS:                   5.5.1.00031
15 Stellarisware:        8555
16
17 Hardware:              Stellaris EKS-LM3S9B92 on Extension Board with
18                        16 Bit ADC AD7798, SD-Card, Reed-Relais Matrix,
19                        NTC-Connectors, MAX3232 and Suplly Circuits
20
21 Description:           Source File to implement a command line.
22                        Modified version of a stellarisware file.
23
24 */
25
26 //*****
27 //
28 // cmdline.c - Functions to help with processing command lines.
29 //
30 // Copyright (c) 2007-2012 Texas Instruments Incorporated. All rights reserved.
31 // Software License Agreement
32 //
33 // Texas Instruments (TI) is supplying this software for use solely and
34 // exclusively on TI's microcontroller products. The software is owned by
35 // TI and/or its suppliers, and is protected under applicable copyright
36 // laws. You may not combine this software with "viral" open-source
37 // software in order to form a larger program.
38 //
39 // THIS SOFTWARE IS PROVIDED "AS IS" AND WITH ALL FAULTS.
40 // NO WARRANTIES, WHETHER EXPRESS, IMPLIED OR STATUTORY, INCLUDING, BUT
41 // NOT LIMITED TO, IMPLIED WARRANTIES OF MERCHANTABILITY AND FITNESS FOR
42 // A PARTICULAR PURPOSE APPLY TO THIS SOFTWARE. TI SHALL NOT, UNDER ANY
43 // CIRCUMSTANCES, BE LIABLE FOR SPECIAL, INCIDENTAL, OR CONSEQUENTIAL
44 // DAMAGES, FOR ANY REASON WHATSOEVER.
45 //
46 // This is part of revision 8555 of the Stellaris Firmware Development Package.
47 //
48 //*****
49
50 //*****
51 //
52 //! \addtogroup cmdline_api
53 //! @{
54 //
55 //*****
56
57 #include <string.h>
58 #include "header/mycmdline.h"
59 #include "header/control.h"
```

```
60 #include "utils/uartstdio.h"
61 #include <stdio.h>
62
63 //*****
64 //
65 // Defines the maximum number of arguments that can be parsed.
66 //
67 //*****
68 #ifndef CMDLINE_MAX_ARGS
69 #define CMDLINE_MAX_ARGS      8
70 #endif
71
72 //*****
73 //
74 // Defines the size of the buffer that holds the command line.
75 //
76 //*****
77 #define CMD_BUF_SIZE      64
78
79 //*****
80 //
81 // The buffer that holds the command line.
82 //
83 //*****
84 char g_cCmdBuf[CMD_BUF_SIZE];
85
86 //*****
87 //
88 // The buffer that holds the answer line.
89 //
90 //*****
91 char g_cAnsBuf[CMD_BUF_SIZE];
92
93
94 // TCP-Socket für die aktuelle Steuerungs-Verbindung
95 extern struct tcp_pcb* control_connection;
96
97 extern volatile unsigned int cycle_active;
98
99 // Global location buffer
100 extern char *g_cLocalBuf;
101
102 //*****
103 //
104 //! Process a command line string into arguments and execute the command.
105 //!
106 //! \param pcCmdLine points to a string that contains a command line that was
107 //! obtained by an application by some means.
108 //!
109 //! This function will take the supplied command line string and break it up
110 //! into individual arguments. The first argument is treated as a command and
111 //! is searched for in the command table. If the command is found, then the
112 //! command function is called and all of the command line arguments are passed
113 //! in the normal argc, argv form.
114 //!
115 //! The command table is contained in an array named <tt>g_sCmdTable</tt> which
116 //! must be provided by the application.
117 //!
118 //! \return Returns \b CMDLINE_BAD_CMD if the command is not found,
```

```
119  //!< \b CMDLINE_TOO_MANY_ARGS if there are more arguments than can be parsed.
120  //!< Otherwise it returns the code that was returned by the command function.
121  //
122  //*****
123  int
124  CmdLineProcess(char *pcCmdLine)
125  {
126      static char *argv[CMDLINE_MAX_ARGS + 1];
127      char *pcChar;
128      int argc;
129      int bFindArg = 1;
130      tCmdLineEntry *pCmdEntry;
131      extern tCmdLineEntry *g_psCmdTable;
132
133      //
134      // Initialize the argument counter, and point to the beginning of the
135      // command line string.
136      //
137      argc = 0;
138      pcChar = pcCmdLine;
139
140      //
141      // Advance through the command line until a zero character is found.
142      //
143      while(*pcChar)
144      {
145          //
146          // If there is a space, then replace it with a zero, and set the flag
147          // to search for the next argument.
148          //
149          if(*pcChar == ' ')
150          {
151              *pcChar = 0;
152              bFindArg = 1;
153          }
154
155          //
156          // Otherwise it is not a space, so it must be a character that is part
157          // of an argument.
158          //
159          else
160          {
161              //
162              // If bFindArg is set, then that means we are looking for the start
163              // of the next argument.
164              //
165              if(bFindArg)
166              {
167
168                  if(argc < CMDLINE_MAX_ARGS)
169                  {
170                      argv[argc] = pcChar;
171                      argc++;
172                      bFindArg = 0;
173                  }
174
175                  //
176                  // The maximum number of arguments has been reached so return
177                  // the error.
```

```
178         //
179         else
180         {
181             return(CMDLINE_TOO_MANY_ARGS);
182         }
183     }
184 }
185
186 //
187 // Advance to the next character in the command line.
188 //
189 pcChar++;
190 }
191
192 //
193 // If one or more arguments was found, then process the command.
194 //
195 if(argc)
196 {
197     //
198     // Start at the beginning of the command table, to look for a matching
199     // command.
200     //
201     pCmdEntry = g_psCmdTable;
202
203     //
204     // Search through the command table until a null command string is
205     // found, which marks the end of the table.
206     //
207     while(pCmdEntry->pcCmd)
208     {
209         //
210         // If this command entry command string matches argv[0], then call
211         // the function for this command, passing the command line
212         // arguments.
213         //
214         if(!strcmp(argv[0], pCmdEntry->pcCmd))
215         {
216             return(pCmdEntry->pfnCmd(argc, argv));
217         }
218
219         //
220         // Not found, so advance to the next entry.
221         //
222         pCmdEntry++;
223     }
224 }
225
226 //
227 // Fall through to here means that no matching command was found, so return
228 // an error.
229 //
230 return(CMDLINE_BAD_CMD);
231 }
232
233 //*****
234 //
235 // Close the Doxygen group.
236 //! @}
```

```
237 //
238 //*****
239
240
241
242
243 //*****
244 //
245 // Function to interprete command. Check if command is valid and execute.
246 //
247 //*****
248 void Cmd_interprete(char *g_cCmdBuf){
249
250     int nStatus;
251
252     //
253     // Echo received command
254     //
255     UARTprintf("%s", g_cCmdBuf);
256     sprintf(g_cAnsBuf, "%s\n", g_cCmdBuf);
257     telnet_write(g_cAnsBuf);
258
259     //
260     // Pass the line from the user to the command processor.
261     // It will be parsed and valid commands executed.
262     //
263     nStatus = CmdLineProcess(g_cCmdBuf);
264
265     //
266     // Handle the case of bad command.
267     //
268     if(nStatus == CMDLINE_BAD_CMD)
269     {
270         UARTprintf("\n Bad command!");
271         if(control_connection){
272             sprintf(g_cAnsBuf, " Bad command!\n");
273             telnet_write(g_cAnsBuf);
274         }
275     }
276
277     //
278     // Handle the case of too many arguments.
279     //
280     else if(nStatus == CMDLINE_TOO_MANY_ARGS)
281     {
282         UARTprintf("\n Too many arguments for command processor!");
283         if(control_connection){
284             sprintf(g_cAnsBuf, " Too many arguments for command processor!\n");
285             telnet_write(g_cAnsBuf);
286         }
287     }
288
289     if(control_connection){
290         telnet_write(" Enter Command (type <help> to see list of commands):\n");
291         sprintf(g_cAnsBuf, "%s: > \n", g_cLocalBuf);
292         telnet_write(g_cAnsBuf);
293     }
294
295     //
```



```
296     // Print a prompt to the console.
297     //
298     UARTprintf("\n Enter Command (type <help> to see list of commands):");
299     UARTprintf("\n%s: > ", g_cLocalBuf);
300 }
301
302 //*****
303 //
304 // Command to check whetet Cycling mode is current active. Returns "YES" or "NO"
305 //
306 //*****
307 int
308 Cmd_alive(int argc, char *argv[])
309 {
310     if(cycle_active){
311         UARTprintf("\nYES");
312         if(control_connection)
313             telnet_write("YES\n");
314     }
315     else{
316         UARTprintf("\nNO");
317         if(control_connection)
318             telnet_write("NO\n");
319     }
320     //
321     // Return success.
322     //
323     return(0);
324 }
325
326
327
```

```
1  /*
2   * mypwm.h
3   *
4   * Created on: 22.03.2013
5   * Author: Thomas W.
6   */
7
8  #ifndef MYPWM_H_
9  #define MYPWM_H_
10
11  /*****
12   *
13   * Function Declarations
14   *
15   *****/
16  void pwm_init(void);
17
18  #endif /* MYPWM_H_ */
19
```

```
1  /*
2  Project:                battery_cycling_sw_v4
3  File:                  mypwm.c
4
5  Auhtor:                Thomas Wisniewski
6  Credits:              Matthias Schneider
7                       Tobias Steinmann
8                       Fabian Schwartau
9                       Stellaris Ware
10
11 last modified:         2013/03/27
12
13 Project Status        Under Construction
14 Status:               running
15
16 CCS:                  5.5.1.00031
17 Stellarisware:        8555
18
19 Hardware:             Stellaris EKS-LM3S9B92 on Extension Board with
20                       16 Bit ADC AD7798, SD-Card, Reed-Relais Matrix,
21                       NTC-Connectors, MAX3232 and Suplly Circuits
22
23 Description:          Source Code for pwm initalization for use LED
24                       display
25 */
26
27
28
29 /*****
30 *
31 * Own Includings
32 *
33 *****/
34
35
36 #include "inc/hw_ints.h"
37 #include "inc/hw_memmap.h"
38 #include "inc/hw_types.h"
39 #include "inc/hw_ssi.h"
40 #include "driverlib/debug.h"
41 #include "driverlib/gpio.h"
42 #include "driverlib/interrupt.h"
43 #include "driverlib/pin_map.h"
44 #include "driverlib/rom.h"
45 #include "driverlib/ssi.h"
46 #include "driverlib/sysctl.h"
47 #include "driverlib/uart.h"
48 #include "utils/uartstdio.h"
49 #include "driverlib/pwm.h"
50
51
52
53 //*****
54 //
55 // Initialize PWM for contrast setting of LED-Display
56 //
57 //*****
58 void pwm_init(void)
```

```
59  {
60
61     UARTprintf("Initializing PWM...");
62
63     unsigned long ulPeriod;
64     //
65     // Enable the peripherals used by this example.
66     //
67     ROM_SysCtlPeripheralEnable(SYSCTL_PERIPH_PWM);
68     ROM_SysCtlPeripheralEnable(SYSCTL_PERIPH_GPIOH);
69
70     //
71     // Set GPIO H6 as PWM pin. It is used to output the PWM4 signal.
72     //
73     GPIOPinConfigure(GPIO_PH6_PWM4);
74     ROM_GPIOPinTypePWM(GPIO_PORTH_BASE, GPIO_PIN_6);
75
76     //
77     // Compute the PWM period based on the system clock.
78     //
79     ulPeriod = ROM_SysCtlClockGet() / 440;
80
81     //
82     // Set the PWM period to 440 (A) Hz.
83     //
84     ROM_PWMGenConfigure(PWM0_BASE, PWM_GEN_2,
85                         PWM_GEN_MODE_UP_DOWN | PWM_GEN_MODE_NO_SYNC);
86     ROM_PWMGenPeriodSet(PWM0_BASE, PWM_GEN_2, ulPeriod);
87
88     //
89     // Set PWM4 to a duty cycle of 25%.
90     //
91     ROM_PWMPulseWidthSet(PWM0_BASE, PWM_OUT_4, ulPeriod / 600);
92     //ROM_PWMPulseWidthSet(PWM0_BASE, PWM_OUT_1, (ulPeriod * 3) / 4);
93
94     //
95     // Enable the PWM0 and PWM1 output signals.
96     //
97     ROM_PWMOutputState(PWM0_BASE, PWM_OUT_4_BIT, true);
98
99     //
100    // Enable the PWM generator.
101    //
102    ROM_PWMGenEnable(PWM0_BASE, PWM_GEN_2);
103
104    UARTprintf("done\n");
105 }
106
107
108
109
110
```

```
1  /*
2  * mysdcard.h
3  *
4  * Created on: 21.01.2013
5  * Author: Thomas W.
6  */
7
8  #ifndef MYSDCARD_H_
9  #define MYSDCARD_H_
10
11 #include "third_party/fatfs/src/ff.h"
12
13 /*****
14 *
15 * Function Declarations
16 *
17 *****/
18 int Cmd_cat(int argc, char *argv[]);
19 int Cmd_cd(int argc, char *argv[]);
20 int Cmd_help(int argc, char *argv[]);
21 int Cmd_reinit(int argc, char *argv[]);
22 int Cmd_ls(int argc, char *argv[]);
23 int Cmd_pwd(int argc, char *argv[]);
24 const char * StringFromFresult(FRESULT);
25 int Cmd_sdcard_exit(int argc, char *argv[]);
26
27
28 int add_to_file(const char *filename, const char *write_Buffer);
29 int delete_file(const char *filename);
30 int read_file(const char *filename);
31 int read_into_buffer(const char *filename, char *buffer);
32 int write_to_file(const char *filename, const char *write_Buffer);
33 int create_file(const char *filename);
34 void do_measure();
35
36 void SystickHandler(void);
37
38
39 void mysdcardinit(void);
40 int my_start_cmd_line(int argc, char *argv[]);
41 int Cmd_del(int argc, char *argv[]);
42 int Cmd_cre(int argc, char *argv[]);
43
44
45 /*****
46 //
47 // Defines the size of the buffers that hold the path, or temporary
48 // data from the SD card. There are two buffers allocated of this size.
49 // The buffer size must be large enough to hold the longest expected
50 // full path name, including the file name, and a trailing null character.
51 //
52 *****/
53 #define PATH_BUF_SIZE 80
54
55
56 /*****
57 //
58 // This buffer holds the full path to the current working directory.
59 // Initially it is root ("/").
```

```
60 //
61 //*****
62 static char g_cCwdBuf[PATH_BUF_SIZE] = "/";
63
64 //*****
65 //
66 // A temporary data buffer used when manipulating file paths, or reading data
67 // from the SD card.
68 //
69 //*****
70 static char g_cTmpBuf[PATH_BUF_SIZE];
71
72
73 //*****
74 //
75 // The following are data structures used by FatFs.
76 //
77 //*****
78 static FATFS g_sFatFs;
79 static DIR g_sDirObject;
80 static FILINFO g_sFileInfo;
81 static FIL g_sFileObject;
82
83
84
85 #endif /* MYSDCARD_H_ */
86
```

```
1  /*
2  Project:                battery_cycling_sw_v4
3  File:                  mysdcard.c
4
5  Auhtor:                Thomas Wisniewski
6  Credits:               Matthias Schneider
7                        Johannes Roehn
8                        Stellaris Ware
9
10 last modified:         2013/12/11
11
12 Project Status         Under Construction
13 Status:                running
14
15 CCS:                   5.5.1.00031
16 Stellarisware:         8555
17
18 Hardware:              Stellaris EKS-LM3S9B92 on Extension Board with
19                        16 Bit ADC AD7798, SD-Card, Reed-Relais Matrix,
20                        NTC-Connectors, MAX3232 and Suplly Circuits
21
22 Description:           Source Code for SDCard at SPI used with FatFs
23
24                        Mainly copied from ti stellarisware example:
25                        stellarisware/boards/ek-lm329b96/sdcard
26 */
27
28 /*****
29 *
30 * Original Stellaris Ware Includings
31 *
32 *****/
33
34 #include <string.h>
35 #include "inc/hw_memmap.h"
36 #include "inc/hw_types.h"
37 #include "inc/hw_ssi.h"
38 #include <inc/lm3s9b92.h>
39 #include "driverlib/gpio.h"
40 #include "driverlib/interrupt.h"
41 #include "driverlib/ssi.h"
42 #include "driverlib/sysctl.h"
43 #include "driverlib/systick.h"
44 #include <driverlib/gpio.h>
45 #include "driverlib/rom.h"
46 #include "driverlib/timer.h"
47 #include "header/mycmdline.h"
48 #include "utils/uartstdio.h"
49 #include "utils/ustdlib.h"
50 #include "third_party/fatfs/src/ff.h"
51 #include "third_party/fatfs/src/diskio.h"
52
53 /*****
54 *
55 * Own Includings
56 *
57 *****/
58
59 #include "header/mysdcard.h"
```

```
60 #include "header/myadc.h"
61 #include "header/temperature.h"
62 #include "header/clocktimer.h"
63 #include "header/config.h"
64 #include "header/control.h"
65 #include "header/display.h"
66 #include "header/relais.h"
67 #include "stdio.h"
68 #include "utils/lwiplib.h"
69 #include "header/myssi.h"
70
71
72 //*****
73 //Extern variables for Clock
74 //*****
75 extern volatile unsigned long clock_msec;
76 extern volatile unsigned long clock_sec;
77 extern volatile unsigned long clock_min;
78 extern volatile unsigned long clock_hour;
79 extern volatile unsigned long clock_day;
80 extern volatile unsigned long clock_month;
81 extern volatile unsigned long clock_year;
82
83 //*****
84 //Extern variable for current active power relay
85 //*****
86 extern volatile unsigned int power_relay_active;
87 extern volatile unsigned long timer2minute;
88 extern volatile unsigned int cycle_active;
89 extern volatile unsigned int measurement_active;
90 extern volatile unsigned int current_cycle_step;
91 extern volatile int gBat_charge;
92 //*****
93 //Extern variable for current, cell voltages and temperatures
94 //*****
95 extern volatile unsigned int g_iCurrent;
96 extern volatile unsigned int g_iCellVoltages[12];
97 extern volatile int g_iCellTemperature[12];
98
99 //Variables for cat command execution in main
100 extern int g_cat_argc;
101 extern char g_cat_argv[], g_cat_flag;
102
103 //Minute Counter for maximum Time
104 extern volatile int max_time_counter;
105
106 extern volatile unsigned int wait_start_time;
107
108 //*****
109 //Variable for filename for measurement saving
110 //*****
111 char MEAS_FILE[64];
112
113 /////*****
114 /////
115 ///// Defines the size of the buffers that hold the path, or temporary
116 ///// data from the SD card. There are two buffers allocated of this size.
117 ///// The buffer size must be large enough to hold the longest expected
118 ///// full path name, including the file name, and a trailing null character.
```



```

119  ///
120  ///*****
121  // #define PATH_BUF_SIZE    80
122
123
124  ///*****
125  ///
126  /// This buffer holds the full path to the current working directory.
127  /// Initially it is root ("/").
128  ///
129  ///*****
130  // static char g_cCwdBuf[PATH_BUF_SIZE] = "/";
131  //
132  ///*****
133  ///
134  /// A temporary data buffer used when manipulating file paths, or reading data
135  /// from the SD card.
136  ///
137  ///*****
138  // static char g_cTmpBuf[PATH_BUF_SIZE];
139  //
140  //
141  ///*****
142  ///
143  /// The following are data structures used by FatFs.
144  ///
145  ///*****
146  // static FATFS g_sFatFs;
147  // static DIR g_sDirObject;
148  // static FILINFO g_sFileInfo;
149  // static FIL g_sFileObject;
150
151
152  //*****
153  //
154  // A structure that holds a mapping between an FRESULT numerical code,
155  // and a string representation. FRESULT codes are returned from the FatFs
156  // FAT file system driver.
157  //
158  //*****
159  typedef struct
160  {
161      FRESULT fresult;
162      char *pcResultStr;
163  }
164  tFresultString;
165
166  //*****
167  //
168  // A macro to make it easy to add result codes to the table.
169  //
170  //*****
171  #define FRESULT_ENTRY(f)    { (f), (#f) }
172
173  //*****
174  //
175  // A table that holds a mapping between the numerical FRESULT code and
176  // it's name as a string. This is used for looking up error codes for
177  // printing to the console.

```

```

178 //
179 //*****
180 tFresultString g_sFresultStrings[] =
181 {
182     FRESULT_ENTRY(FR_OK),
183     FRESULT_ENTRY(FR_NOT_READY),
184     FRESULT_ENTRY(FR_NO_FILE),
185     FRESULT_ENTRY(FR_NO_PATH),
186     FRESULT_ENTRY(FR_INVALID_NAME),
187     FRESULT_ENTRY(FR_INVALID_DRIVE),
188     FRESULT_ENTRY(FR_DENIED),
189     FRESULT_ENTRY(FR_EXIST),
190     FRESULT_ENTRY(FR_RW_ERROR),
191     FRESULT_ENTRY(FR_WRITE_PROTECTED),
192     FRESULT_ENTRY(FR_NOT_ENABLED),
193     FRESULT_ENTRY(FR_NO_FILESYSTEM),
194     FRESULT_ENTRY(FR_INVALID_OBJECT),
195     FRESULT_ENTRY(FR_MKFS_ABORTED)
196 };
197
198 //*****
199 //
200 // A macro that holds the number of result codes.
201 //
202 //*****
203 #define NUM_FRESULT_CODES (sizeof(g_sFresultStrings) / sizeof(tFresultString))
204
205 //*****
206 //
207 // This function returns a string representation of an error code
208 // that was returned from a function call to FatFs. It can be used
209 // for printing human readable error messages.
210 //
211 //*****
212 const char *
213 StringFromFresult(FRESULT fresult)
214 {
215     unsigned int uIdx;
216
217     //
218     // Enter a loop to search the error code table for a matching
219     // error code.
220     //
221     for(uIdx = 0; uIdx < NUM_FRESULT_CODES; uIdx++)
222     {
223         //
224         // If a match is found, then return the string name of the
225         // error code.
226         //
227         if(g_sFresultStrings[uIdx].fresult == fresult)
228         {
229             return(g_sFresultStrings[uIdx].pcResultStr);
230         }
231     }
232
233     //
234     // At this point no matching code was found, so return a
235     // string indicating unknown error.
236     //

```

```

237     return("UNKNOWN ERROR CODE");
238 }
239
240
241 //*****
242 //
243 // This is the table that holds the command names, implementing functions,
244 // and brief description.
245 //
246 //*****
247 tCmdLineEntry g_sBrowserCmdTable[] =
248 {
249     { "help",    Cmd_help,    " : Display list of commands" },
250     { "h",      Cmd_help,    " : alias for help" },
251     { "?",      Cmd_help,    " : alias for help" },
252     { "reinit", Cmd_reinit,  ": Re initialize the SD-Card filesystem" },
253     { "ls",     Cmd_ls,      " : Display list of files" },
254     { "chdir",  Cmd_cd,     ": Change directory" },
255     { "cd",     Cmd_cd,     " : alias for chdir" },
256     { "pwd",    Cmd_pwd,    " : Show current working directory" },
257     { "cat",    Cmd_cat,    " : Show contents of a text file (use only in Idle
Mode)" },
258     { "cre",    Cmd_cre,    " : Create a file" },
259     { "del",    Cmd_del,    " : Delete a file" },
260     { "exit",   Cmd_sdcard_exit, " : Exit SD-Card browser" },
261     { 0, 0, 0 }
262 };
263
264 extern tCmdLineEntry g_sMainCmdTable;
265 extern tCmdLineEntry *g_psCmdTable;
266
267 // string for main location
268 extern const char *g_cMainLocalBuf;
269
270 // Global location buffer
271 extern char *g_cLocalBuf;
272
273 // TCP-Socket für die aktuelle Steuerungs-Verbindung
274 extern struct tcp_pcb* control_connection;
275
276 // String buffer for print operations to UART and Ethernet
277 char print_buffer[80];
278
279 //define string for SD-Card location
280 char *g_cSdLocalBuf = "SD-Card";
281
282
283 //*****
284 //
285 // This is the handler for this SysTick interrupt. FatFs requires a
286 // timer tick every 10 ms for internal timing purposes.
287 //
288 //*****
289 void
290 SysTickHandler(void)
291 {
292     //
293     // Call the FatFs tick timer.
294     //

```

```
295     TimerClock();
296     disk_timerproc();
297     lwIPTimer(10);
298
299 }
300
301 //*****
302 //
303 // This function implements the "re-init" command.
304 // The SD-Card filesystem will be reinitialized after plugging in the SD-Card
305 // while the system is running
306 //
307 //*****
308 int
309 Cmd_reinit(int argc, char *argv[])
310 {
311     mysdcardinit();
312     return 0;
313 }
314
315 //*****
316 //
317 // This function implements the "ls" command. It opens the current
318 // directory and enumerates through the contents, and prints a line for
319 // each item it finds. It shows details such as file attributes, time and
320 // date, and the file size, along with the name. It shows a summary of
321 // file sizes at the end along with free space.
322 //
323 //*****
324 int
325 Cmd_ls(int argc, char *argv[])
326 {
327
328     unsigned long ulTotalSize;
329     unsigned long ulFileCount;
330     unsigned long ulDirCount;
331     FRESULT fresult;
332     FATFS *pFatFs;
333
334     //
335     // Open the current directory for access.
336     //
337     fresult = f_opendir(&g_sDirObject, g_cCwdBuf);
338
339     //
340     // Check for error and return if there is a problem.
341     //
342     if(fresult != FR_OK)
343     {
344         return(fresult);
345     }
346
347     ulTotalSize = 0;
348     ulFileCount = 0;
349     ulDirCount = 0;
350
351     //
352     // Give an extra blank line before the listing.
353     //
```

```
354     UARTprintf("\n");
355
356     //
357     // Enter loop to enumerate through all directory entries.
358     //
359     for(;;)
360     {
361         //
362         // Read an entry from the directory.
363         //
364         fresult = f_readdir(&g_sDirObject, &g_sFileInfo);
365
366         //
367         // Check for error and return if there is a problem.
368         //
369         if(fresult != FR_OK)
370         {
371             sprintf(print_buffer, "Error at reading File System Entry ");
372
373             UARTprintf(print_buffer);           // debug information
374             if(control_connection){
375                 telnet_write(print_buffer);
376             }
377             return(fresult);
378         }
379
380         //
381         // If the file name is blank, then this is the end of the
382         // listing.
383         //
384         if(!g_sFileInfo.fname[0])
385         {
386             break;
387         }
388
389         //
390         // If the attribute is directory, then increment the directory count.
391         //
392         if(g_sFileInfo.fattrib & AM_DIR)
393         {
394             ulDirCount++;
395         }
396
397         //
398         // Otherwise, it is a file. Increment the file count, and
399         // add in the file size to the total.
400         //
401         else
402         {
403             ulFileCount++;
404             ulTotalSize += g_sFileInfo.fsize;
405         }
406
407         //
408         // Print the entry information on a single line with formatting
409         // to show the attributes, date, time, size, and name.
410         //
411         sprintf(print_buffer, "%c%c%c%c %u/%02u/%02u %02u:%02u %9u %s\n",
412                (g_sFileInfo.fattrib & AM_DIR) ? 'D' : '-',
```

```
413         (g_sFileInfo.fattrib & AM_RDO) ? 'R' : '-',
414         (g_sFileInfo.fattrib & AM_HID) ? 'H' : '-',
415         (g_sFileInfo.fattrib & AM_SYS) ? 'S' : '-',
416         (g_sFileInfo.fattrib & AM_ARC) ? 'A' : '-',
417         (g_sFileInfo.fdate >> 9) + 1980,
418         (g_sFileInfo.fdate >> 5) & 15,
419         g_sFileInfo.fdate & 31,
420         (g_sFileInfo.ftime >> 11),
421         (g_sFileInfo.ftime >> 5) & 63,
422         g_sFileInfo.fsize,
423         g_sFileInfo.fname);
424
425     UARTprintf(print_buffer);
426     if(control_connection){
427         telnet_write(print_buffer);
428     }
429 } // endfor
430
431 //
432 // Print summary lines showing the file, dir, and size totals.
433 //
434 sprintf(print_buffer, "\n%4u File(s),%10u bytes total\n%4u Dir(s)",
435         ulFileCount, ulTotalSize, ulDirCount);
436 UARTprintf(print_buffer);
437 if(control_connection){
438     telnet_write(print_buffer);
439 }
440 //
441 // Get the free space.
442 //
443 fresult = f_getfree("/", &ulTotalSize, &pFatFs);
444
445 //
446 // Check for error and return if there is a problem.
447 //
448 if(fresult != FR_OK)
449 {
450     //UARTprintf(" Error at the end of the line "); // debug information
451     return(fresult);
452 }
453
454 //
455 // Display the amount of free space that was calculated.
456 //
457 sprintf(print_buffer, ", %10uK bytes free\n", ulTotalSize * pFatFs->sects_clust /
458         2);
459
460 UARTprintf(print_buffer);
461 if(control_connection){
462     telnet_write(print_buffer);
463 }
464
465 //
466 // Made it to here, return with no errors.
467 //
468 return(0);
469 }
470
```

```

471  //*****
472  //
473  // This function implements the "cd" command. It takes an argument
474  // that specifies the directory to make the current working directory.
475  // Path separators must use a forward slash "/". The argument to cd
476  // can be one of the following:
477  // * root ("/")
478  // * a fully specified path ("/my/path/to/mydir")
479  // * a single directory name that is in the current directory ("mydir")
480  // * parent directory ("..")
481  //
482  // It does not understand relative paths, so dont try something like this:
483  // ("../my/new/path")
484  //
485  // Once the new directory is specified, it attempts to open the directory
486  // to make sure it exists. If the new path is opened successfully, then
487  // the current working directory (cwd) is changed to the new path.
488  //
489  //*****
490  int
491  Cmd_cd(int argc, char *argv[])
492  {
493      unsigned int uIdx;
494      FRESULT fresult;
495
496      //
497      // Copy the current working path into a temporary buffer so
498      // it can be manipulated.
499      //
500      strcpy(g_cTmpBuf, g_cCwdBuf);
501
502      //
503      // If the first character is /, then this is a fully specified
504      // path, and it should just be used as-is.
505      //
506      if(argv[1][0] == '/')
507      {
508          //
509          // Make sure the new path is not bigger than the cwd buffer.
510          //
511          if(strlen(argv[1]) + 1 > sizeof(g_cCwdBuf))
512          {
513              sprintf(print_buffer, "Resulting path name is too long\n");
514
515              UARTprintf(print_buffer);
516              if(control_connection){
517                  telnet_write(print_buffer);
518              }
519              return(0);
520          }
521
522          //
523          // If the new path name (in argv[1]) is not too long, then
524          // copy it into the temporary buffer so it can be checked.
525          //
526          else
527          {
528              strncpy(g_cTmpBuf, argv[1], sizeof(g_cTmpBuf));
529          }

```

```
530     }
531
532     //
533     // If the argument is .. then attempt to remove the lowest level
534     // on the CWD.
535     //
536     else if(!strcmp(argv[1], ".."))
537     {
538         //
539         // Get the index to the last character in the current path.
540         //
541         uIdx = strlen(g_cTmpBuf) - 1;
542
543         //
544         // Back up from the end of the path name until a separator (/)
545         // is found, or until we bump up to the start of the path.
546         //
547         while((g_cTmpBuf[uIdx] != '/') && (uIdx > 1))
548         {
549             //
550             // Back up one character.
551             //
552             uIdx--;
553         }
554
555         //
556         // Now we are either at the lowest level separator in the
557         // current path, or at the beginning of the string (root).
558         // So set the new end of string here, effectively removing
559         // that last part of the path.
560         //
561         g_cTmpBuf[uIdx] = 0;
562     }
563
564     //
565     // Otherwise this is just a normal path name from the current
566     // directory, and it needs to be appended to the current path.
567     //
568     else
569     {
570         //
571         // Test to make sure that when the new additional path is
572         // added on to the current path, there is room in the buffer
573         // for the full new path. It needs to include a new separator,
574         // and a trailing null character.
575         //
576         if(strlen(g_cTmpBuf) + strlen(argv[1]) + 1 + 1 > sizeof(g_cCwdBuf))
577         {
578             sprintf(print_buffer, "Resulting path name is too long\n");
579
580             UARTprintf(print_buffer);
581
582             if(control_connection){
583                 telnet_write(print_buffer);
584             }
585             return(0);
586         }
587
588         //
```



```
589         // The new path is okay, so add the separator and then append
590         // the new directory to the path.
591         //
592         else
593         {
594             //
595             // If not already at the root level, then append a /
596             //
597             if(strcmp(g_cTmpBuf, "/"))
598             {
599                 strcat(g_cTmpBuf, "/");
600             }
601
602             //
603             // Append the new directory to the path.
604             //
605             strcat(g_cTmpBuf, argv[1]);
606         }
607     }
608
609     //
610     // At this point, a candidate new directory path is in chTmpBuf.
611     // Try to open it to make sure it is valid.
612     //
613     fresult = f_opendir(&g_sDirObject, g_cTmpBuf);
614
615     //
616     // If it cant be opened, then it is a bad path. Inform
617     // user and return.
618     //
619     if(fresult != FR_OK)
620     {
621         sprintf(print_buffer, "cd: %s\n", g_cTmpBuf);
622
623         UARTprintf(print_buffer);
624
625         if(control_connection){
626             telnet_write(print_buffer);
627         }
628         return(fresult);
629     }
630
631     //
632     // Otherwise, it is a valid new path, so copy it into the CWD.
633     //
634     else
635     {
636         strncpy(g_cCwdBuf, g_cTmpBuf, sizeof(g_cCwdBuf));
637     }
638
639
640     //
641     // Return success.
642     //
643     return(0);
644 }
645
646 //*****
647 //
```

```
648 // This function implements the "pwd" command. It simply prints the
649 // current working directory.
650 //
651 //*****
652 int
653 Cmd_pwd(int argc, char *argv[])
654 {
655
656     //
657     // Print the CWD to the console.
658     //
659     sprintf(print_buffer, "%s\n", g_cCwdBuf);
660
661     UARTprintf(print_buffer);
662
663     if(control_connection){
664         telnet_write(print_buffer);
665     }
666
667
668     //
669     // Return success.
670     //
671     return(0);
672 }
673
674 //*****
675 //
676 // This function implements the "cat" command. It reads the contents of
677 // a file and prints it to the console. This should only be used on
678 // text files. If it is used on a binary file, then a bunch of garbage
679 // is likely to be printed on the console.
680 //
681 //*****
682 int
683 Cmd_cat(int argc, char *argv[])
684 {
685     //set flag for execution in main loop
686     g_cat_flag = 1;
687
688     //hand over argc and argv
689     g_cat_argc = argc;
690     strcpy(g_cat_argv, argv[1]);
691
692     //
693     // Return success.
694     //
695     return(0);
696 }
697
698 //*****
699 //
700 // This function implements the "del" command. It deletes a file
701 //
702 //*****
703 int
704 Cmd_del(int argc, char *argv[])
705 {
706
```

```
707     FRESULT fresult;
708
709     //
710     // First, check to make sure that the current path (CWD), plus
711     // the file name, plus a separator and trailing null, will all
712     // fit in the temporary buffer that will be used to hold the
713     // file name. The file name must be fully specified, with path,
714     // to FatFs.
715     //
716     if(strlen(g_cCwdBuf) + strlen(argv[1]) + 1 + 1 > sizeof(g_cTmpBuf))
717     {
718         sprintf(print_buffer, "Resulting path name is too long\n");
719
720         UARTprintf(print_buffer);
721
722         if(control_connection){
723             telnet_write(print_buffer);
724         }
725         return(0);
726     }
727
728     //
729     // Copy the current path to the temporary buffer so it can be manipulated.
730     //
731     strcpy(g_cTmpBuf, g_cCwdBuf);
732
733     //
734     // If not already at the root level, then append a separator.
735     //
736     if(strcmp("/", g_cCwdBuf))
737     {
738         strcat(g_cTmpBuf, "/");
739     }
740
741     //
742     // Now finally, append the file name to result in a fully specified file.
743     //
744     strcat(g_cTmpBuf, argv[1]);
745
746     //
747     // Delete File
748     //
749     fresult = f_unlink(g_cTmpBuf);
750
751     //
752     // Check if operation succeeded
753     //
754
755     if(fresult != FR_OK)
756     {
757         return(fresult);
758     }
759
760
761
762     //
763     // Return success.
764     //
765     return(0);
```

```
766
767 }
768
769 //*****
770 //
771 // This function implements the "cre" command. It creates a file
772 //
773 //*****
774 int
775 Cmd_cre(int argc, char *argv[])
776 {
777
778     FRESULT fresult;
779     FIL fnew;      /* new file object */
780
781     //
782     // First, check to make sure that the current path (CWD), plus
783     // the file name, plus a separator and trailing null, will all
784     // fit in the temporary buffer that will be used to hold the
785     // file name. The file name must be fully specified, with path,
786     // to FatFs.
787     //
788     if(strlen(g_cCwdBuf) + strlen(argv[1]) + 1 + 1 > sizeof(g_cTmpBuf))
789     {
790         sprintf(print_buffer, "Resulting path name is too long\n");
791
792         UARTprintf(print_buffer);
793
794         if(control_connection){
795             telnet_write(print_buffer);
796         }
797         return(0);
798     }
799
800     //
801     // Copy the current path to the temporary buffer so it can be manipulated.
802     //
803     strcpy(g_cTmpBuf, g_cCwdBuf);
804
805     //
806     // If not already at the root level, then append a separator.
807     //
808     if(strcmp("/", g_cCwdBuf))
809     {
810         strcat(g_cTmpBuf, "/");
811     }
812
813     //
814     // Now finally, append the file name to result in a fully specified file.
815     //
816     strcat(g_cTmpBuf, argv[1]);
817
818     //
819     // Create the File
820     //
821     fresult = f_open(&fnew, argv[1], FA_CREATE_ALWAYS | FA_WRITE );
822
823     //
824     // Check if creation succeeded
```

```
825     //
826
827     if(fresult != FR_OK)
828     {
829         return(fresult);
830     }
831
832     /* Close opened files */
833     f_close(&fnew);
834
835
836     //
837     // Return success.
838     //
839     return(0);
840
841 }
842
843 //*****
844 //
845 // This function implements the "help" command. It prints a simple list
846 // of the available commands with a brief description.
847 //
848 //*****
849 int
850 Cmd_help(int argc, char *argv[])
851 {
852
853     tCmdLineEntry *pEntry;
854
855     //
856     // Print some header text.
857     //
858
859     UARTprintf("\nAvailable commands\n");
860     UARTprintf("-----\n");
861
862     if(control_connection){
863         telnet_write("Available commands\n");
864         telnet_write("-----\n");
865     }
866
867     //
868     // Point at the beginning of the command table.
869     //
870     pEntry = g_psCmdTable;
871
872     //
873     // Enter a loop to read each entry from the command table. The
874     // end of the table has been reached when the command name is NULL.
875     //
876     while (pEntry->pcCmd)
877     {
878         //
879         // Print the command name and the brief description.
880         //
881         sprintf(print_buffer, "%s\n", pEntry->pcCmd, pEntry->pcHelp);
882
883         UARTprintf(print_buffer);
```

```
884         if(control_connection){
885             telnet_write(print_buffer);
886         }
887
888         //
889         // Advance to the next entry in the table.
890         //
891         pEntry++;
892     }
893
894
895     //
896     // Return success.
897     //
898     return(0);
899 }
900
901 int Cmd_sdcard_exit(int argc, char *argv[])
902 {
903
904     // set Command line pointer to the beginning of the main command structure
905     g_psCmdTable = &g_sMainCmdTable;
906
907     // set location buffer to main
908     g_cLocalBuf = (char*)g_cMainLocalBuf;
909
910     return(0);
911 }
912
913 //*****
914 //
915 // This is the table that holds the command names, implementing functions,
916 // and brief description.
917 //
918 //*****
919 //extern tCmdLineEntry g_sCmdTable[];
920
921
922 //*****
923 //
924 // Own Initialization of SSI0, SysTick, FatFs and SDcard
925 //
926 //*****
927
928 void mysdcardinit(void)
929 {
930
931     // variable for FatFs results
932     FRESULT fresult = FR_NOT_READY;
933
934     UARTprintf("SD card initialization...");
935
936     // Configure SysTick for a 100Hz interrupt. The FatFs driver
937     // wants a 10 ms tick.
938
939     SysTickPeriodSet(SysCtlClockGet() / 100);
940     SysTickEnable();
941     SysTickIntEnable();
942
```

```
943     fresult = f_mount(0, &g_sFatFs);
944
945     if(fresult != FR_OK)
946     {
947         UARTprintf("f_mount error: %s\n", StringFromFresult(fresult));
948     }
949     // debugging stuff
950     //else
951     //{
952     //     UARTprintf(" f_mount successful\n");
953     //}
954
955     // reset status flag
956     fresult = FR_NOT_READY;
957
958     // Open the current directory for access.
959     fresult = f_opendir(&g_sDirObject, g_cCwdBuf);
960
961     // Check for error and return if there is a problem.
962     if(fresult != FR_OK)
963     {
964         UARTprintf(" f_opendir error: %s\n", StringFromFresult(fresult));
965     }
966     else
967     {
968         UARTprintf("done.\n");
969     }
970     // debugging stuff
971     //else
972     //{
973     //     UARTprintf(" f_opendir successful\n");
974     //}
975 }
976
977
978
979
980
981 //*****
982 //
983 // This function implements the "read_File" command. It reads the contents of
984 // a file and prints it to the console. This should only be used on
985 // text files. If it is used on a binary file, then a bunch of garbage
986 // is likely to be printed on the console.
987 //
988 //*****
989 int read_file(const char *filename)
990 {
991
992     FRESULT fresult;
993     unsigned short usBytesRead;
994
995     //
996     // First, check to make sure that the current path (CWD), plus
997     // the file name, plus a separator and trailing null, will all
998     // fit in the temporary buffer that will be used to hold the
999     // file name. The file name must be fully specified, with path,
1000     // to FatFs.
1001     //
```

```
1002     if(strlen(g_cCwdBuf) + strlen(filename) + 1 + 1 > sizeof(g_cTmpBuf))
1003     {
1004         UARTprintf("Resulting path name is too long\n");
1005         return(0);
1006     }
1007
1008     //
1009     // Copy the current path to the temporary buffer so it can be manipulated.
1010     //
1011     strcpy(g_cTmpBuf, g_cCwdBuf);
1012
1013     //
1014     // If not already at the root level, then append a separator.
1015     //
1016     if(strcmp("/", g_cCwdBuf))
1017     {
1018         strcat(g_cTmpBuf, "/");
1019     }
1020
1021     //
1022     // Now finally, append the file name to result in a fully specified file.
1023     //
1024     strcat(g_cTmpBuf, filename);
1025
1026     //
1027     // Open the file for reading.
1028     //
1029     fresult = f_open(&g_sFileObject, g_cTmpBuf, FA_READ);
1030
1031     //
1032     // If there was some problem opening the file, then return
1033     // an error.
1034     //
1035     if(fresult != FR_OK)
1036     {
1037         return(fresult);
1038     }
1039
1040     //
1041     // Enter a loop to repeatedly read data from the file and display it,
1042     // until the end of the file is reached.
1043     //
1044     do
1045     {
1046         //
1047         // Read a block of data from the file. Read as much as can fit
1048         // in the temporary buffer, including a space for the trailing null.
1049         //
1050         fresult = f_read(&g_sFileObject, g_cTmpBuf, sizeof(g_cTmpBuf) - 1,
1051             &usBytesRead);
1052
1053         //
1054         // If there was an error reading, then print a newline and
1055         // return the error to the user.
1056         //
1057         if(fresult != FR_OK)
1058         {
1059             UARTprintf("\n");
1060             return(fresult);

```



```
1061     }
1062
1063     //
1064     // Null terminate the last block that was read to make it a
1065     // null terminated string that can be used with printf.
1066     //
1067     g_cTmpBuf[usBytesRead] = 0;
1068
1069     //
1070     // Print the last chunk of the file that was received.
1071     //
1072
1073     UARTprintf("%s", g_cTmpBuf);
1074
1075
1076     //
1077     // Wait for the UART transmit buffer to empty.
1078     //
1079
1080     #if defined(UART_BUFFERED)
1081         UARTFlushTx(false);
1082     #endif
1083
1084     //
1085     // Continue reading until less than the full number of bytes are
1086     // read. That means the end of the buffer was reached.
1087     //
1088     }
1089     while(usBytesRead == sizeof(g_cTmpBuf) - 1);
1090
1091     /* Close opened files */
1092     f_close(&g_sFileObject);
1093
1094
1095     //
1096     // Return success.
1097     //
1098     return(0);
1099 }
1100
1101 //*****
1102 //
1103 // This function implements the "read_config" command. It reads the contents of
1104 // a file and prints it to the console. This should only be used on
1105 // text files. If it is used on a binary file, then a bunch of garbage
1106 // is likely to be printed on the console.
1107 //
1108 //*****
1109 int read_into_buffer(const char *filename, char *buffer)
1110 {
1111
1112     FRESULT result;
1113     unsigned short usBytesRead;
1114
1115     //
1116     // First, check to make sure that the current path (CWD), plus
1117     // the file name, plus a separator and trailing null, will all
1118     // fit in the temporary buffer that will be used to hold the
1119     // file name. The file name must be fully specified, with path,
```

```
1120 // to FatFs.
1121 //
1122 if(strlen(g_cCwdBuf) + strlen(filename) + 1 + 1 > sizeof(g_cTmpBuf))
1123 {
1124     UARTprintf("Resulting path name is too long\n");
1125     return(0);
1126 }
1127 //
1128 //
1129 // Copy the current path to the temporary buffer so it can be manipulated.
1130 //
1131 strcpy(g_cTmpBuf, g_cCwdBuf);
1132 //
1133 //
1134 // If not already at the root level, then append a separator.
1135 //
1136 if(strcmp("/", g_cCwdBuf))
1137 {
1138     strcat(g_cTmpBuf, "/");
1139 }
1140 //
1141 //
1142 // Now finally, append the file name to result in a fully specified file.
1143 //
1144 strcat(g_cTmpBuf, filename);
1145 //
1146 //
1147 // Open the file for reading.
1148 //
1149 fresult = f_open(&g_sFileObject, g_cTmpBuf, FA_READ);
1150 //
1151 //
1152 // If there was some problem opening the file, then return
1153 // an error.
1154 //
1155 if(fresult != FR_OK)
1156 {
1157     return(fresult);
1158 }
1159 //
1160 //
1161 // Enter a loop to repeatedly read data from the file and display it,
1162 // until the end of the file is reached.
1163 //
1164 char *p = buffer;
1165 do
1166 {
1167     //
1168     // Read a block of data from the file. Read as much as can fit
1169     // in the temporary buffer, including a space for the trailing null.
1170     //
1171     fresult = f_read(&g_sFileObject, p, sizeof(p) - 1,
1172                    &usBytesRead);
1173 //
1174 //
1175 // If there was an error reading, then print a newline and
1176 // return the error to the user.
1177 //
1178 if(fresult != FR_OK)
```

```
1179     {
1180         UARTprintf("\n");
1181         return(fresult);
1182     }
1183
1184     //
1185     // Null terminate the last block that was read to make it a
1186     // null terminated string that can be used with printf.
1187     //
1188     p[usBytesRead] = 0;
1189
1190     //
1191     // Print the last chunk of the file that was received.
1192     //
1193     //UARTprintf("%s", p);
1194     p += usBytesRead;
1195
1196     //
1197     // Wait for the UART transmit buffer to empty.
1198     //
1199     #if defined(UART_BUFFERED)
1200         UARTFlushTx(false);
1201     #endif
1202
1203     //
1204     // Continue reading until less than the full number of bytes are
1205     // read. That means the end of the buffer was reached.
1206     //
1207     }
1208     while(usBytesRead == sizeof(p) - 1);
1209
1210     /* Close opened files */
1211     fresult = f_close(&g_sFileObject);
1212
1213     if(fresult != FR_OK)
1214     {
1215         return(fresult);
1216     }
1217
1218     //
1219     // Return success.
1220     //
1221     return (0);
1222 }
1223
1224
1225
1226
1227 //
1228 // This function implements the "delete_File" command.
1229 // It simply delete a file on the SD Card, selected with its filename
1230 //
1231 int delete_file(const char *filename){
1232
1233     FRESULT fresult;
1234
1235     //
1236     // First, check to make sure that the current path (CWD), plus
```

```
1238     // the file name, plus a separator and trailing null, will all
1239     // fit in the temporary buffer that will be used to hold the
1240     // file name. The file name must be fully specified, with path,
1241     // to FatFs.
1242     //
1243     if(strlen(g_cCwdBuf) + strlen(filename) + 1 + 1 > sizeof(g_cTmpBuf))
1244     {
1245         UARTprintf("Resulting path name is too long\n");
1246         return(0);
1247     }
1248     //
1249     // Copy the current path to the temporary buffer so it can be manipulated.
1250     //
1251     strcpy(g_cTmpBuf, g_cCwdBuf);
1252     //
1253     // If not already at the root level, then append a separator.
1254     //
1255     if(strcmp("/", g_cCwdBuf))
1256     {
1257         strcat(g_cTmpBuf, "/");
1258     }
1259     //
1260     // Now finally, append the file name to result in a fully specified file.
1261     //
1262     strcat(g_cTmpBuf, filename);
1263     //
1264     // Wait for the UART transmit buffer to empty.
1265     //
1266     #if defined(UART_BUFFERED)
1267     UARTFlushTx(false);
1268     #endif
1269     //
1270     // Delete File
1271     //
1272     fresult = f_unlink(g_cTmpBuf);
1273     //
1274     // Check if operation succeeded
1275     //
1276     if(fresult != FR_OK)
1277     {
1278         return(fresult);
1279     }
1280     //
1281     // Return success.
1282     //
1283     return(0);
1284 }
```

```
1297
1298
1299 //*****
1300 //
1301 // This function implements the "write_to_file" command. It overrides the content of
1302 // a file with new input.
1303 //
1304 //*****
1305
1306 int write_to_file(const char *filename, const char *write_Buffer){
1307
1308
1309     FIL fnew;      /* new file object */
1310     FRESULT fresult;
1311     unsigned short bw = 0;
1312
1313
1314     //
1315     // First, check to make sure that the current path (CWD), plus
1316     // the file name, plus a separator and trailing null, will all
1317     // fit in the temporary buffer that will be used to hold the
1318     // file name. The file name must be fully specified, with path,
1319     // to FatFs.
1320     //
1321     if(strlen(g_cCwdBuf) + strlen(filename) + 1 + 1 > sizeof(g_cTmpBuf))
1322     {
1323         UARTprintf("Resulting path name is too long\n");
1324         return(0);
1325     }
1326
1327     //
1328     // Copy the current path to the temporary buffer so it can be manipulated.
1329     //
1330     strcpy(g_cTmpBuf, g_cCwdBuf);
1331
1332     //
1333     // If not already at the root level, then append a separator.
1334     //
1335     if(strcmp("/", g_cCwdBuf))
1336     {
1337         strcat(g_cTmpBuf, "/");
1338     }
1339
1340     //
1341     // Now finally, append the file name to result in a fully specified file.
1342     //
1343     strcat(g_cTmpBuf, filename);
1344
1345     //
1346     // Wait for the UART transmit buffer to empty.
1347     //
1348     #if defined(UART_BUFFERED)
1349         UARTFlushTx(false);
1350     #endif
1351
1352
1353     //
1354     // Create File
1355     //
```

```
1356
1357     fresult = f_open(&fnew, g_cTmpBuf, FA_CREATE_ALWAYS | FA_WRITE | FA_READ);
1358
1359
1360
1361     if(fresult != FR_OK)
1362     {
1363         return(fresult);
1364     }
1365
1366
1367
1368     fresult = f_write(&fnew, write_Buffer, strlen(write_Buffer), &bw );
1369
1370     if(fresult != FR_OK)
1371     {
1372         return(fresult);
1373     }
1374
1375
1376     /* Close opened files */
1377     f_close(&fnew);
1378
1379
1380     //
1381     // Return success.
1382     //
1383     return(0);
1384
1385 }
1386
1387
1388 //*****
1389 //
1390 // This function implements the "add_to_file" command. It appends new input to
1391 // an existing file, selected by its filename. If file not exists, file is being
1392 // created.
1393 //
1394 //*****
1395 int add_to_file(const char *filename, const char *write_Buffer){
1396
1397
1398     FIL fnew;      /* new file object */
1399     FRESULT fresult;
1400     unsigned short bw = 0;
1401
1402
1403     //
1404     // First, check to make sure that the current path (CWD), plus
1405     // the file name, plus a separator and trailing null, will all
1406     // fit in the temporary buffer that will be used to hold the
1407     // file name. The file name must be fully specified, with path,
1408     // to FatFs.
1409     //
1410     if(strlen(g_cCwdBuf) + strlen(filename) + 1 + 1 > sizeof(g_cTmpBuf))
1411     {
1412         UARTprintf("Resulting path name is too long\n");
1413         return(0);

```

```
1414     }
1415
1416     //
1417     // Copy the current path to the temporary buffer so it can be manipulated.
1418     //
1419     strcpy(g_cTmpBuf, g_cCwdBuf);
1420
1421     //
1422     // If not already at the root level, then append a separator.
1423     //
1424     if(strcmp("/", g_cCwdBuf))
1425     {
1426         strcat(g_cTmpBuf, "/");
1427     }
1428
1429     //
1430     // Now finally, append the file name to result in a fully specified file.
1431     //
1432     strcat(g_cTmpBuf, filename);
1433
1434     //
1435     // Wait for the UART transmit buffer to empty.
1436     //
1437     #if defined(UART_BUFFERED)
1438         UARTFlushTx(false);
1439     #endif
1440
1441
1442     //
1443     // Open/Create File
1444     //
1445
1446     fresult = f_open(&fnew, g_cTmpBuf, FA_OPEN_ALWAYS | FA_WRITE |FA_READ);
1447
1448     if(fresult != FR_OK)
1449     {
1450         return(fresult);
1451     }
1452
1453     // Set Pointer to end of File
1454     f_lseek(&fnew, fnew.fsize);
1455
1456     // Write String to end of File
1457     fresult = f_write(&fnew, write_Buffer, strlen(write_Buffer), &bw );
1458     if(fresult != FR_OK)
1459     {
1460         return(fresult);
1461     }
1462
1463     /* Close opened files */
1464     f_close(&fnew);
1465
1466
1467     //
1468     // Return success.
1469     //
1470     return(0);
1471
1472
```

```
1473     }
1474
1475     //*****
1476     //
1477     // This function implements the "create_file" command. It creates a file on
1478     // the current working directory with specified filename.
1479     //
1480     //*****
1481
1482     int create_file(const char *filename)
1483     {
1484
1485
1486         FIL fnew;      /* new file object */
1487         FRESULT fresult;
1488
1489         //
1490         // First, check to make sure that the current path (CWD), plus
1491         // the file name, plus a separator and trailing null, will all
1492         // fit in the temporary buffer that will be used to hold the
1493         // file name. The file name must be fully specified, with path,
1494         // to FatFs.
1495         //
1496         if(strlen(g_cCwdBuf) + strlen(filename) + 1 + 1 > sizeof(g_cTmpBuf))
1497         {
1498             UARTprintf("Resulting path name is too long\n");
1499             return(0);
1500         }
1501
1502         //
1503         // Copy the current path to the temporary buffer so it can be manipulated.
1504         //
1505         strcpy(g_cTmpBuf, g_cCwdBuf);
1506
1507         //
1508         // If not already at the root level, then append a separator.
1509         //
1510         if(strcmp("/", g_cCwdBuf))
1511         {
1512             strcat(g_cTmpBuf, "/");
1513         }
1514
1515         //
1516         // Now finally, append the file name to result in a fully specified file.
1517         //
1518         strcat(g_cTmpBuf, filename);
1519
1520         //
1521         // Wait for the UART transmit buffer to empty.
1522         //
1523         #if defined(UART_BUFFERED)
1524             UARTFlushTx(false);
1525         #endif
1526
1527
1528         //
1529         // Create the File
1530         //
1531         fresult = f_open(&fnew, filename, FA_CREATE_ALWAYS | FA_WRITE );
```



```
1532
1533 //
1534 // Check if creation succeeded
1535 //
1536
1537 if(fresult != FR_OK)
1538 {
1539     return(fresult);
1540 }
1541
1542 /* Close opened files */
1543 f_close(&fnew);
1544
1545
1546 //
1547 // Return success.
1548 //
1549     return(0);
1550 }
1551
1552
1553
1554
1555 //*****
1556 //
1557 // Own variation of sdcard.c main function from stellarisware to implement an
1558 // command line based file explorer for browsing the SD Card
1559 //
1560 //*****
1561
1562 int my_start_cmd_line(int argc, char *argv[])
1563 {
1564     // set Command line pointer to the beginning of the SD-Card/Browser command
1565     // structure
1566     g_psCmdTable = &g_sBrowserCmdTable[0];
1567
1568     sprintf(g_cSdLocalBuf, "SD-Card: %s>", g_cCwdBuf);
1569
1570     // set location buffer to Browser
1571     g_cLocalBuf = (char*)g_cSdLocalBuf;
1572
1573     return(0);
1574 }
1575 //*****
1576 //
1577 // Main function for measurement of voltages, current and temperature. Multiplex
1578 // all relevant cells (depended on configuration) and write data to LogFile on
1579 // SD-Card.
1580 //
1581 //*****
1582 void do_measure() {
1583
1584     //*****
1585     // Use this commented version if current is needed measured with every cellvoltage
1586     //*****
1587     // unsigned int i = 0;
1588     // char buf[64];
1589     // //UARTprintf("\n");
```

```

1590 // for (i=1; i <= config.quantity_cells; i++){
1591 //     sprintf(buf,
1592 // "%02d,%04d,%02d,%02d,%02d,%02d,%02d,uV,%07d,C,%03d,mA,%07d,%01d\n"
1593 //     , i, clock_year, clock_month, clock_day, clock_hour,
1594 //     clock_min, clock_sec
1595 //     ,adc_get_voltage(i), get_temperature(i),
1596 //     adc_get_current(), power_relay_active);
1597 //
1598 //     //UARTprintf(buf);
1599 //     add_to_file(MEAS_FILE, buf);
1600 //
1601 //     if(control_connection){
1602 //         telnet_write(buf);
1603 //     }
1604 // }
1605 //*****
1606
1607 int i = 0;
1608 char buf[64];
1609
1610 UARTprintf("\n");
1611 //Turn on Measure-LED
1612 GPIOPinWrite(GPIO_PORTJ_BASE, GPIO_PIN_5, GPIO_PIN_5);
1613
1614 //reset serial interface of the ADC
1615 spiChipSelect(ADC);
1616 SSIDataPut(SSI1_BASE, 0xFF);
1617 SSIDataPut(SSI1_BASE, 0xFF);
1618 SSIDataPut(SSI1_BASE, 0xFF);
1619 SSIDataPut(SSI1_BASE, 0xFF);
1620 spiChipSelect(NONE);
1621
1622 adc_get_current();//measure current and load into global variable
1623
1624 if(cycle_active){//check current limit if cycling is active
1625     if(abs(g_iCurrent) > config.max_current){//Check if current doesnt exceed
1626         limit
1627         //Stop cycling immediately but continue measurement
1628         stop_cycling();
1629
1630         handlerState = ERRCURR;//Display error message
1631         UARTprintf("\nMAXIMUM CURRENT EXCEEDED!\n");
1632         if(control_connection){
1633             telnet_write("\nMAXIMUM CURRENT EXCEEDED!\n");
1634         }
1635     } else if(abs(gBat_charge += (g_iCurrent*config.cyclestep)) > config.
1636     max_charge){//check if charge limit exceeded (mAsec)
1637         //Stop cycling immediately but continue measurement
1638         stop_cycling();
1639
1640         handlerState = ERRCHARGE;//Display error message
1641         UARTprintf("\nMAXIMUM CHARGE EXCEEDED!\n");
1642         if(control_connection){
1643             telnet_write("\nMAXIMUM CHARGE EXCEEDED!\n");
1644         }
1645     }
1646 }

```

```

1644 //Get all the values
1645 for (i = 1; i <= config.quantity_cells; i++){
1646     if(measurement_active){
1647         //save measurements in global variable
1648         adc_get_voltage(i);
1649         get_temperature(i);
1650
1651         sprintf(buf, "%02d,%04d,%02d,%02d,%02d,%02d,%02d,%07d,%03d,%07d,%01d\n"
1652                 , i, clock_year, clock_month, clock_day,
1653                 clock_hour, clock_min, clock_sec
1654                 ,g_iCellVoltages[i-1], g_iCellTemperature[i-1]
1655                 ], g_iCurrent, power_relay_active);
1656
1657         //save the values
1658         add_to_file(MEAS_FILE, buf);
1659         UARTprintf(buf);
1660         if(control_connection){
1661             telnet_write(buf);
1662         }
1663
1664         if(cycle_active){//check voltage and temperature limits and stop cycling
1665             if(g_iCellVoltages[i-1] < config.min_voltage || g_iCellVoltages[i-1]
1666                 > config.max_voltage){//Check for Voltage and Temperature limits
1667                 //Stop cycling immediately continue measurement
1668                 stop_cycling();
1669
1670                 handlerState = ERRVOLT;//Display message
1671                 UARTprintf("\nVOLTAGE LIMITS EXCEEDED!\n");
1672                 if(control_connection){
1673                     telnet_write("\nVOLTAGE LIMITS EXCEEDED!\n");
1674                 }
1675             }else if(g_iCellTemperature[i-1] > config.max_temp){
1676                 //Stop cycling immediately continue measurement
1677                 stop_cycling();
1678
1679                 handlerState = ERRTEMP;//Display message
1680                 UARTprintf("\nTEMPERATURE LIMIT EXCEEDED!\n");
1681                 if(control_connection){
1682                     telnet_write("\nTEMPERATURE LIMIT EXCEEDED!\n");
1683                 }
1684             }
1685         }
1686     }
1687 }
1688 //Turn off Measure-LED
1689 GPIOPinWrite(GPIO_PORTJ_BASE, GPIO_PIN_5, 0x00);
1690
1691 if(cycle_active)
1692     UARTprintf("Cycling active, step %d of %d running\n", current_cycle_step,
1693               config.step_quantity);
1694 else
1695     UARTprintf("Cycling not active\n");

```

```
1  /*
2  * myssi.h
3  *
4  * Created on: 26.05.2013
5  * Author: Thomas W.
6  */
7
8  #ifndef MYSSI_H_
9  #define MYSSI_H_
10
11
12
13  // SPI chip selects
14  typedef enum
15  {
16      ADC,
17      SD,
18      NONE
19  }
20  spi_cs_t;
21
22  /*****
23  *
24  * Function Declarations
25  *
26  *****/
27  void ssil_init(void);
28  void spiChipSelect(spi_cs_t chip);
29
30  #endif /* MYSSI_H_ */
31
```

```
1  /*
2  Project:                battery_cycling_sw_v4
3  File:                  my_ssi.c
4
5  Auhtor:                Thomas Wisnewski
6  Credits:               Matthias Schneider
7                        Tobias Steinmann
8                        Fabian Schwartau
9                        Stellaris Ware
10
11 last modified:         2013/05/26
12
13 Project Status         Under Construction
14 Status:                running
15
16 CCS:                   5.5.1.00031
17 Stellarisware:         8555
18
19 Hardware:              Stellaris EKS-LM3S9B92 on Extension Board with
20                        16 Bit ADC AD7798, SD-Card, Reed-Relais Matrix,
21                        NTC-Connectors, MAX3232 and Suplly Circuits
22
23 Description:           Source Code for ssi1 initalization for use with
24                        SD Card and 16-bit ADC
25 */
26
27
28
29 /*****
30 *
31 * Own Includings
32 *
33 *****/
34
35
36 #include "inc/hw_ints.h"
37 #include "inc/hw_memmap.h"
38 #include "inc/hw_types.h"
39 #include "inc/hw_ssi.h"
40 #include "driverlib/debug.h"
41 #include "driverlib/gpio.h"
42 #include "driverlib/interrupt.h"
43 #include "driverlib/pin_map.h"
44 #include "driverlib/rom.h"
45 #include "driverlib/ssi.h"
46 #include "driverlib/sysctl.h"
47 #include "driverlib/uart.h"
48 #include "utils/uartstdio.h"
49 #include "header/myssi.h"
50 #include "third_party/fatfs/src/diskio.h"
51
52
53
54
55 //*****
56 //
57 // Initialize SSI1-Interface
58 //
```

```

59  //*****
60  void ssil_init(void)
61  {
62      // Output
63      UARTprintf("Initializing SS1...");
64      // enable SS1
65      SysCtlPeripheralEnable(SYSCTL_PERIPH_SS1);
66      // enable GPIO Port F
67      SysCtlPeripheralEnable(SYSCTL_PERIPH_GPIOA);
68      SysCtlPeripheralEnable(SYSCTL_PERIPH_GPIOE);
69      SysCtlPeripheralEnable(SYSCTL_PERIPH_GPIOF);
70      // Den Takt auf 1MHz stellen (hier ist noch Luft nach oben)
71      SSISysCtlClockSet(SYSCTL_CLOCK_SS1_BASE, SysCtlClockGet(), SSI_FRF_MOTO_MODE_3,
72      SSI_MODE_MASTER, 2000000, 8); // ADC=SSI_FRF_MOTO_MODE_3
73      // Pin Configuration
74      GPIOPinConfigure(GPIO_PE0_SSI1CLK);
75      GPIOPinConfigure(GPIO_PF4_SSI1RX);
76      GPIOPinConfigure(GPIO_PF5_SSI1TX);
77      GPIOPinTypeSSI(GPIO_PORTF_BASE, GPIO_PIN_4 | GPIO_PIN_5);
78      GPIOPinTypeSSI(GPIO_PORTE_BASE, GPIO_PIN_0);
79      // Einschalten des SPI Interfaces
80      SSIEnable(SSI1_BASE);
81
82      //Configure Pins for Chipselect
83      GPIOPinTypeGPIOOutput(GPIO_PORTA_BASE, GPIO_PIN_3); // set PA3 as digital output
84      "SS1_CS_SD"
85      GPIOPinTypeGPIOOutput(GPIO_PORTE_BASE, GPIO_PIN_1); // set PE1 as digital output
86      "SS1_CS_ADC"
87
88      ROM_GPIOPinWrite(GPIO_PORTA_BASE, GPIO_PIN_3, GPIO_PIN_3); //deselect SS1_CS_SD
89      ROM_GPIOPinWrite(GPIO_PORTE_BASE, GPIO_PIN_1, GPIO_PIN_1); //deselect SS1_CS_ADC
90
91      // Output
92      UARTprintf("done.\n");
93  }
94  /**
95  * Steuerung der SPI Chip Selects fuer ADC und SD
96  */
97  void spiChipSelect(spi_cs_t chip){
98
99      switch (chip) {
100         case ADC:
101
102             GPIOPinTypeGPIOOutput(GPIO_PORTE_BASE, GPIO_PIN_1); // set PE1 as
103             digital output "SS1_CS_ADC"
104
105             SSIDisable(SSI1_BASE);
106
107             // Den Takt auf 4MHz stellen (hier ist noch Luft nach oben)
108             SSISysCtlClockSet(SYSCTL_CLOCK_SS1_BASE, SysCtlClockGet(), SSI_FRF_MOTO_MODE_3,
109             SSI_MODE_MASTER, 4000000, 8); // ADC=SSI_FRF_MOTO_MODE_3
110
111             SSIEnable(SSI1_BASE);
112
113             ROM_GPIOPinWrite(GPIO_PORTE_BASE, GPIO_PIN_1, 0x00); //select

```

```
        SSI_CS_ADC
113
114
115         break;
116
117
118     case SD:
119
120         //SD-Card automaticly sets CS in own sourcefiles!
121
122         break;
123
124     case NONE:
125
126         GPIOPinWrite(GPIO_PORTE_BASE, GPIO_PIN_1, GPIO_PIN_1); //deselect
        SSI_CS_ADC
127
128         SSIDisable(SSI1_BASE);
129
130         // Den Takt auf 12,5MHz stellen (max)
131         SSIConfigSetExpClk(SSI1_BASE, SysCtlClockGet(), SSI_FRF_MOTO_MODE_0,
        SSI_MODE_MASTER, 12500000, 8); // ADC=SSI_FRF_MOTO_MODE_3
132
133         SSIEnable(SSI1_BASE);
134
135         break;
136     }
137 }
138
139
140
141
```

```
1  /*
2   * myuart.h
3   *
4   * Created on: 17.01.2013
5   * Author: Thomas W.
6   */
7
8  #ifndef MYUART_H_
9  #define MYUART_H_
10
11
12  /*****
13   *
14   * Function Declarations
15   *
16   *****/
17  void myUARTinit(void);
18  void UART0IntHandler(void);
19  int myUARTgets(char *pcBuf, unsigned long ulLen);
20
21
22  #endif /* MYUART_H_ */
23
```



```
1  /*
2  Project:                battery_cycling_sw_v4
3  File:                  myuart.c
4
5  Auhtor:                Thomas Wisnewski
6  Credits:               Matthias Schneider
7                        Tobias Steinmann
8                        Fabian Schwartau
9                        Stellaris Ware
10
11 last modified:         2013/05/26
12
13 Project Status         Under Construction
14 Status:                running
15
16 CCS:                   5.5.1.00031
17 Stellarisware:         8555
18
19 Hardware:              Stellaris EKS-LM3S9B92 on Extension Board with
20                        16 Bit ADC AD7798, SD-Card, Reed-Relais Matrix,
21                        NTC-Connectors, MAX3232 and Suplly Circuits
22
23 Description:           Source Code for UART0 Initialization for use with
24                        UARTStdio.h and UARTprintf()
25
26 */
27
28
29
30 /*****
31 *
32 *   Includings
33 *
34 *****/
35
36 #include "driverlib/uart.h"
37 #include "driverlib/interrupt.h"
38 #include "header/myuart.h"
39 #include "utils/uartstdio.h"
40 #include "driverlib/rom_map.h"
41 #include "inc/hw_ints.h"
42 #include "inc/hw_memmap.h"
43 #include "inc/hw_uart.h"
44 #include "driverlib/rom.h"
45 #include "driverlib/gpio.h"
46 #include "driverlib/pin_map.h"
47 #include "driverlib/sysctl.h"
48 #include "header/mycmdline.h"
49 #include "string.h"
50
51
52 //*****
53 //
54 // Defines the size of the buffer that holds the command line.
55 //
56 //*****
57 #define UART_BUF_SIZE    64
58
59 //*****
```

```

60 // Boolean for fully received uart commands
61 //*****
62 tBoolean received = false;
63
64 //*****
65 //
66 // The buffer that holds the command line.
67 //
68 //*****
69 char g_cUartBuf[UART_BUF_SIZE];
70
71 //*****
72 // index for g_cUartBuf[] loop
73 //*****
74 int i = 0;
75
76 //*****
77 //
78 // Initialize UART0
79 //
80 //*****
81 void myUARTinit(void)
82 {
83     //Enable Peripheral
84     SysCtlPeripheralEnable(SYSCTL_PERIPH_GPIOA);
85     GPIOPinConfigure(GPIO_PA0_U0RX);
86     GPIOPinConfigure(GPIO_PA1_U0TX);
87     ROM_GPIOPinTypeUART(GPIO_PORTA_BASE, GPIO_PIN_0 | GPIO_PIN_1);
88     UARTStdioInit(0);
89
90
91     //Enable Interrupts
92     ROM_UARTEnable(UART0_BASE);
93     ROM_IntEnable(INT_UART0);
94     ROM_UARTIntEnable(UART0_BASE, UART_INT_RX | UART_INT_RT);
95
96
97     UARTprintf("\n\nInitializing UART0...done.\n");
98 }
99
100
101 //*****
102 //
103 // The UART interrupt handler.
104 //
105 //*****
106
107 void UART0IntHandler(void)
108 {
109     unsigned long ulStatus;
110     long c;
111
112     //
113     // Get the interrupt status.
114     //
115     ulStatus = UARTIntStatus(UART0_BASE, true);
116
117     //
118     // Clear the asserted interrupts.

```

```
119     //
120     UARTIntClear(UART0_BASE, ulStatus);
121
122     //
123     // Loop while there are characters in the receive FIFO.
124     //
125     while(UARTCharsAvail(UART0_BASE)){
126         c = UARTCharGetNonBlocking(UART0_BASE);
127
128         if(c != -1){
129             if(c == 10){
130                 if(g_cUartBuf[i-1] == 13){
131                     g_cUartBuf[i - 1] = 0;
132                 }
133                 received = true;
134                 i = 0;
135                 break;
136             }
137             else{
138                 g_cUartBuf[i] = (char) c;
139                 i++;
140             }
141         }
142     }
143
144     //
145     // If command fully received, interpret it and execute. Reset for next command.
146     //
147     if(received){
148         Cmd_interprete(g_cUartBuf);
149         received = false;
150         memset(g_cUartBuf,0,UART_BUF_SIZE);
151     }
152
153 }
154
155
```

```
1  /*
2  * relais.h
3  *
4  * Created on: 15.07.2012
5  * Author: Thomas W.
6  */
7
8  #ifndef RELAIS_H_
9  #define RELAIS_H_
10
11  /*****
12  *
13  * Function Declarations
14  *
15  *****/
16  void init_relais(void);
17  void switch_relais(int choose);
18  int switch_power_relais(int choose);
19  int Cmd_relais(int argc, char *argv[]);
20
21
22
23 #endif /* RELAIS_H_ */
24
```

```
1  /*
2  Project:                battery_cycling_sw_v4
3  File:                  relais.c
4
5  Auhtor:                Thomas Wisnewski
6  Credits:               Stellaris Ware
7
8  last modified:         2013/05/27
9
10 Project Status         Under Construction
11 Status:                running
12
13 CCS:                   5.5.1.00031
14 Stellarisware:         8555
15
16 Hardware:              Stellaris EKS-LM3S9B92 on Extension Board with
17                        16 Bit ADC AD7798, SD-Card, Reed-Relais Matrix,
18                        NTC-Connectors, MAX3232 and Suplly Circuits
19
20 Description:           Source Code for controlling installed relais
21
22 */
23
24 /*****
25 *
26 *   Includings
27 *
28 *****/
29 #include <string.h>
30 #include <stdarg.h>
31 #include <stdio.h>
32 #include <stdlib.h>
33 #include "inc/hw_memmap.h"
34 #include "inc/hw_types.h"
35 #include "utils/uartstdio.h"
36 #include "utils/ustdlib.h"
37 #include "inc/hw_ints.h"
38 #include "inc/hw_types.h"
39 #include "inc/hw_uart.h"
40 #include <inc/hw_ssi.h>
41 #include "inc/hw_gpio.h"
42 #include "driverlib/debug.h"
43 #include "driverlib/interrupt.h"
44 #include "driverlib/rom.h"
45 #include "driverlib/rom_map.h"
46 #include "driverlib/sysctl.h"
47 #include "driverlib/uart.h"
48 #include <driverlib/ssi.h>
49 #include <driverlib/gpio.h>
50 #include <driverlib/sysctl.h>
51
52 /*****
53 *
54 *   Own Includings
55 *
56 *****/
57 #include "header/relais.h"
58 #include "header/control.h"
59 #include "header/config.h"
```

```
60
61 extern volatile unsigned int power_relay_active;
62
63 // TCP-Socket für die aktuelle Steuerungs-Verbindung
64 extern struct tcp_pcb* control_connection;
65
66 //*****
67 //
68 // Defines the size of the buffer that holds the input data.
69 //
70 //*****
71 #define RELAIS_INPUT_DATA_SIZE 64
72
73 //*****
74 //
75 // A temporary data buffer used for input data
76 //
77 //*****
78 static char g_cTmpInpData[RELAIS_INPUT_DATA_SIZE];
79
80
81 //*****
82 //
83 // Initialize GPIO ports for relay-mux and powerrelays
84 //
85 //*****
86 void init_relais(void)
87 {
88
89     UARTprintf("Initializing Relais...");
90
91     //Enable Peripheral for Relais-Mux
92     SysCtlPeripheralEnable(SYSCTL_PERIPH_GPIOB); // enable peripheral
93     SysCtlPeripheralEnable(SYSCTL_PERIPH_GPIOH); // enable peripheral
94
95     //Enable Peripheral for Relais on power section
96     SysCtlPeripheralEnable(SYSCTL_PERIPH_GPIOG); // enable peripheral
97     SysCtlPeripheralEnable(SYSCTL_PERIPH_GPIOC); // enable peripheral
98
99     // //Unlock PB7 for changing from NMI-Mode
100 //
101 // //
102 // // Unlock access to the commit register
103 // //
104 // HWREG(GPIO_PORTB_BASE + GPIO_O_LOCK) = GPIO_LOCK_KEY_DD;
105 //
106 // //
107 // // Set the commit register for PB7 to allow changing the function
108 // //
109 // HWREG(GPIO_PORTB_BASE + GPIO_O_CR) = 0x80;
110 //
111 // //
112 // // Enable the alternate function for PB7 (NMI)
113 // //
114 // HWREG(GPIO_PORTB_BASE + GPIO_O_AFSEL) |= 0x80;
115 //
116 // //
117 // // Turn on the digital enable for PB7
118 // //
```

```
119 // HWREG(GPIO_PORTB_BASE + GPIO_O_DEN) |= 0x80;
120
121
122 GPIOPinTypeGPIOOutput(GPIO_PORTB_BASE, GPIO_PIN_2 | GPIO_PIN_3 ); // set PB2 and
PB3 as digital output
123 GPIOPinTypeGPIOOutput(GPIO_PORTH_BASE, GPIO_PIN_3 | GPIO_PIN_4 | GPIO_PIN_7); //
set PH3, PH4 and PH7 as digital output
124 GPIOPinTypeGPIOOutput(GPIO_PORTC_BASE, GPIO_PIN_5 | GPIO_PIN_6 | GPIO_PIN_7); //
set PC5, PC6 and PC7 as digital output
125 GPIOPinTypeGPIOOutput(GPIO_PORTG_BASE, GPIO_PIN_7); // set PG7 as digital output
126
127 GPIOPinWrite(GPIO_PORTB_BASE, GPIO_PIN_2 | GPIO_PIN_3, 0x00); // set PB2 and PB3
to logic "0"
128 GPIOPinWrite(GPIO_PORTH_BASE, GPIO_PIN_3 | GPIO_PIN_4 | GPIO_PIN_7, 0x00); //
set PH3, PH4 and PH7 to logic "0"
129
130 GPIOPinWrite(GPIO_PORTC_BASE, GPIO_PIN_5 | GPIO_PIN_6 | GPIO_PIN_7, 0x00); //
set PC5, PC6 and PC7 to logic "0"
131 GPIOPinWrite(GPIO_PORTG_BASE, GPIO_PIN_7, GPIO_PIN_7); // set PG7 to logic "1"
"Strobe"
132
133 //Switch off all relays
134 switch_relais(0);
135 switch_power_relais(0);
136
137 UARTprintf("done\n");
138 }
139
140 //*****
141 //
142 // Function for switching relays-mux
143 //
144 //*****
145 void switch_relais(int choose)
146 {
147
148     GPIOPinWrite(GPIO_PORTH_BASE, GPIO_PIN_7, GPIO_PIN_7); // set PB7 (Enable)
to logic "1"
149
150
151     switch(choose){
152
153     case 0:
154
155         GPIOPinWrite(GPIO_PORTB_BASE, GPIO_PIN_2, 0x00);
156         GPIOPinWrite(GPIO_PORTB_BASE, GPIO_PIN_3, 0x00);
157         GPIOPinWrite(GPIO_PORTH_BASE, GPIO_PIN_3, 0x00);
158         GPIOPinWrite(GPIO_PORTH_BASE, GPIO_PIN_4, 0x00);
159
160     break;
161
162
163
164     case 1:
165
166         GPIOPinWrite(GPIO_PORTB_BASE, GPIO_PIN_2, 0x00);
167         GPIOPinWrite(GPIO_PORTB_BASE, GPIO_PIN_3, 0x00);
168         GPIOPinWrite(GPIO_PORTH_BASE, GPIO_PIN_3, 0x00);
169         GPIOPinWrite(GPIO_PORTH_BASE, GPIO_PIN_4, 0x00);
```

```
170         GPIOPinWrite(GPIO_PORTH_BASE, GPIO_PIN_7, 0x00); // set PB7 (Enable) to
           logic "0"
171
172     break;
173
174     case 2:
175
176         GPIOPinWrite(GPIO_PORTB_BASE, GPIO_PIN_2, GPIO_PIN_2);
177         GPIOPinWrite(GPIO_PORTB_BASE, GPIO_PIN_3, 0x00);
178         GPIOPinWrite(GPIO_PORTH_BASE, GPIO_PIN_3, 0x00);
179         GPIOPinWrite(GPIO_PORTH_BASE, GPIO_PIN_4, 0x00);
180         GPIOPinWrite(GPIO_PORTH_BASE, GPIO_PIN_7, 0x00); // set PB7 (Enable) to
           logic "0"
181
182     break;
183
184     case 3:
185
186         GPIOPinWrite(GPIO_PORTB_BASE, GPIO_PIN_2, 0x00);
187         GPIOPinWrite(GPIO_PORTB_BASE, GPIO_PIN_3, GPIO_PIN_3);
188         GPIOPinWrite(GPIO_PORTH_BASE, GPIO_PIN_3, 0x00);
189         GPIOPinWrite(GPIO_PORTH_BASE, GPIO_PIN_4, 0x00);
190         GPIOPinWrite(GPIO_PORTH_BASE, GPIO_PIN_7, 0x00); // set PB7 (Enable) to
           logic "0"
191
192     break;
193
194     case 4:
195
196         GPIOPinWrite(GPIO_PORTB_BASE, GPIO_PIN_2, GPIO_PIN_2);
197         GPIOPinWrite(GPIO_PORTB_BASE, GPIO_PIN_3, GPIO_PIN_3);
198         GPIOPinWrite(GPIO_PORTH_BASE, GPIO_PIN_3, 0x00);
199         GPIOPinWrite(GPIO_PORTH_BASE, GPIO_PIN_4, 0x00);
200         GPIOPinWrite(GPIO_PORTH_BASE, GPIO_PIN_7, 0x00); // set PB7 (Enable) to
           logic "0"
201
202     break;
203
204     case 5:
205
206         GPIOPinWrite(GPIO_PORTB_BASE, GPIO_PIN_2, 0x00);
207         GPIOPinWrite(GPIO_PORTB_BASE, GPIO_PIN_3, 0x00);
208         GPIOPinWrite(GPIO_PORTH_BASE, GPIO_PIN_3, GPIO_PIN_3);
209         GPIOPinWrite(GPIO_PORTH_BASE, GPIO_PIN_4, 0x00);
210         GPIOPinWrite(GPIO_PORTH_BASE, GPIO_PIN_7, 0x00); // set PB7 (Enable) to
           logic "0"
211
212     break;
213
214     case 6:
215
216         GPIOPinWrite(GPIO_PORTB_BASE, GPIO_PIN_2, GPIO_PIN_2);
217         GPIOPinWrite(GPIO_PORTB_BASE, GPIO_PIN_3, 0x00);
218         GPIOPinWrite(GPIO_PORTH_BASE, GPIO_PIN_3, GPIO_PIN_3);
219         GPIOPinWrite(GPIO_PORTH_BASE, GPIO_PIN_4, 0x00);
220         GPIOPinWrite(GPIO_PORTH_BASE, GPIO_PIN_7, 0x00); // set PB7 (Enable) to
           logic "0"
221
222     break;
```



```
223
224     case 7:
225
226         GPIOPinWrite(GPIO_PORTB_BASE, GPIO_PIN_2, 0x00);
227         GPIOPinWrite(GPIO_PORTB_BASE, GPIO_PIN_3, GPIO_PIN_3);
228         GPIOPinWrite(GPIO_PORTH_BASE, GPIO_PIN_3, GPIO_PIN_3);
229         GPIOPinWrite(GPIO_PORTH_BASE, GPIO_PIN_4, 0x00);
230         GPIOPinWrite(GPIO_PORTH_BASE, GPIO_PIN_7, 0x00); // set PB7 (Enable) to
                logic "0"
231
232     break;
233
234     case 8:
235
236         GPIOPinWrite(GPIO_PORTB_BASE, GPIO_PIN_2, GPIO_PIN_2);
237         GPIOPinWrite(GPIO_PORTB_BASE, GPIO_PIN_3, GPIO_PIN_3);
238         GPIOPinWrite(GPIO_PORTH_BASE, GPIO_PIN_3, GPIO_PIN_3);
239         GPIOPinWrite(GPIO_PORTH_BASE, GPIO_PIN_4, 0x00);
240         GPIOPinWrite(GPIO_PORTH_BASE, GPIO_PIN_7, 0x00); // set PB7 (Enable) to
                logic "0"
241
242     break;
243
244     case 9:
245
246         GPIOPinWrite(GPIO_PORTB_BASE, GPIO_PIN_2, 0x00);
247         GPIOPinWrite(GPIO_PORTB_BASE, GPIO_PIN_3, 0x00);
248         GPIOPinWrite(GPIO_PORTH_BASE, GPIO_PIN_3, 0x00);
249         GPIOPinWrite(GPIO_PORTH_BASE, GPIO_PIN_4, GPIO_PIN_4);
250         GPIOPinWrite(GPIO_PORTH_BASE, GPIO_PIN_7, 0x00); // set PB7 (Enable) to
                logic "0"
251
252     break;
253
254     case 10:
255
256         GPIOPinWrite(GPIO_PORTB_BASE, GPIO_PIN_2, GPIO_PIN_2);
257         GPIOPinWrite(GPIO_PORTB_BASE, GPIO_PIN_3, 0x00);
258         GPIOPinWrite(GPIO_PORTH_BASE, GPIO_PIN_3, 0x00);
259         GPIOPinWrite(GPIO_PORTH_BASE, GPIO_PIN_4, GPIO_PIN_4);
260         GPIOPinWrite(GPIO_PORTH_BASE, GPIO_PIN_7, 0x00); // set PB7 (Enable) to
                logic "0"
261
262     break;
263
264     case 11:
265
266         GPIOPinWrite(GPIO_PORTB_BASE, GPIO_PIN_2, 0x00);
267         GPIOPinWrite(GPIO_PORTB_BASE, GPIO_PIN_3, GPIO_PIN_3);
268         GPIOPinWrite(GPIO_PORTH_BASE, GPIO_PIN_3, 0x00);
269         GPIOPinWrite(GPIO_PORTH_BASE, GPIO_PIN_4, GPIO_PIN_4);
270         GPIOPinWrite(GPIO_PORTH_BASE, GPIO_PIN_7, 0x00); // set PB7 (Enable) to
                logic "0"
271
272     break;
273
274     case 12:
275
276         GPIOPinWrite(GPIO_PORTB_BASE, GPIO_PIN_2, GPIO_PIN_2);
```

```
277         GPIOPinWrite(GPIO_PORTB_BASE, GPIO_PIN_3, GPIO_PIN_3);
278         GPIOPinWrite(GPIO_PORTH_BASE, GPIO_PIN_3, 0x00);
279         GPIOPinWrite(GPIO_PORTH_BASE, GPIO_PIN_4, GPIO_PIN_4);
280         GPIOPinWrite(GPIO_PORTH_BASE, GPIO_PIN_7, 0x00); // set PB7 (Enable) to
                logic "0"
281
282         break;
283
284         default:
285
286             GPIOPinWrite(GPIO_PORTB_BASE, GPIO_PIN_2, 0x00);
287             GPIOPinWrite(GPIO_PORTB_BASE, GPIO_PIN_3, 0x00);
288             GPIOPinWrite(GPIO_PORTH_BASE, GPIO_PIN_3, 0x00);
289             GPIOPinWrite(GPIO_PORTH_BASE, GPIO_PIN_4, 0x00);
290
291
292         break;
293     }
294
295
296
297
298 }
299
300
301 //*****
302 //
303 // Function for switching powerrelay
304 //
305 //*****
306 int switch_power_relais(int choose)
307 {
308     int active;
309     unsigned long ul_delay_count;
310
311     switch(choose){
312
313     case 0:
314
315         GPIOPinWrite(GPIO_PORTC_BASE, GPIO_PIN_5, 0x00);
316         GPIOPinWrite(GPIO_PORTC_BASE, GPIO_PIN_6, 0x00);
317         GPIOPinWrite(GPIO_PORTC_BASE, GPIO_PIN_7, 0x00);
318         active = 0;
319
320     break;
321
322     case 1:
323
324         GPIOPinWrite(GPIO_PORTC_BASE, GPIO_PIN_5, 0x00);
325         GPIOPinWrite(GPIO_PORTC_BASE, GPIO_PIN_6, 0x00);
326         GPIOPinWrite(GPIO_PORTC_BASE, GPIO_PIN_7, GPIO_PIN_7);
327         active = 1;
328     break;
329
330     case 2:
331
332         GPIOPinWrite(GPIO_PORTC_BASE, GPIO_PIN_5, 0x00);
333         GPIOPinWrite(GPIO_PORTC_BASE, GPIO_PIN_6, GPIO_PIN_6);
334         GPIOPinWrite(GPIO_PORTC_BASE, GPIO_PIN_7, 0x00);
```

```

335         active = 2;
336     break;
337
338     case 3:
339
340         GPIOPinWrite(GPIO_PORTC_BASE, GPIO_PIN_5, 0x00);
341         GPIOPinWrite(GPIO_PORTC_BASE, GPIO_PIN_6, GPIO_PIN_6);
342         GPIOPinWrite(GPIO_PORTC_BASE, GPIO_PIN_7, GPIO_PIN_7);
343         active = 3;
344     break;
345
346     case 4:
347
348         GPIOPinWrite(GPIO_PORTC_BASE, GPIO_PIN_5, GPIO_PIN_5);
349         GPIOPinWrite(GPIO_PORTC_BASE, GPIO_PIN_6, 0x00);
350         GPIOPinWrite(GPIO_PORTC_BASE, GPIO_PIN_7, 0x00);
351         active = 4;
352     break;
353
354     default:
355
356         GPIOPinWrite(GPIO_PORTC_BASE, GPIO_PIN_5, 0x00);
357         GPIOPinWrite(GPIO_PORTC_BASE, GPIO_PIN_6, 0x00);
358         GPIOPinWrite(GPIO_PORTC_BASE, GPIO_PIN_7, 0x00);
359         active = 0;
360     break;
361
362 }
363
364 GPIOPinWrite(GPIO_PORTG_BASE, GPIO_PIN_7, 0x00); // set PG7 (Strobe) to
365 logic "0"
366 // ca. 10 ms delay
367 ul_delay_count = 100000;
368 while (ul_delay_count) ul_delay_count--;
369 //-----
370 GPIOPinWrite(GPIO_PORTG_BASE, GPIO_PIN_7, GPIO_PIN_7); // set PG7 (Strobe)
371 to logic "1"
372 // ca. 10 ms delay
373 ul_delay_count = 100000;
374 while (ul_delay_count) ul_delay_count--;
375 //-----
376 if(active)//switch the current active LED
377     GPIOPinWrite(GPIO_PORTJ_BASE, GPIO_PIN_7,  GPIO_PIN_7);
378 else
379     GPIOPinWrite(GPIO_PORTJ_BASE, GPIO_PIN_7,  0);
380
381 return active;
382 }
383
384 //*****
385 // This function implements the "Relais" command. It activates ONE chosen power relais
386 //
387 //*****
388 int
389 Cmd_relais(int argc, char *argv[])
390 {
391     char buf[32];

```

```
392
393     if(argc == 2){
394         int relais;
395
396         //
397         // Copy the first input data into buffer.
398         //
399         strcpy(g_cTmpInpData, argv[1]);
400
401         relais = (int) strtol(g_cTmpInpData, (char **)NULL, 10);
402
403         if(relais >= 0 && relais <= 4){
404
405             power_relay_active = switch_power_relais(relais);
406
407             UARTprintf("\nRelais %02d activated", power_relay_active);
408             if(control_connection){
409                 sprintf(buf, "Relais %02d activated\n", power_relay_active);
410                 telnet_write(buf);
411             }
412
413             //
414             // Return success.
415             //
416             return 0;
417         }
418     }
419     return -1;//Bad command
420 }
421
```

```
1  /*
2   * rtc.h
3   *
4   * Created on: 03.06.2013
5   * Author: Thomas W.
6   */
7
8  #ifndef RTC_H_
9  #define RTC_H_
10
11  /*****
12   *
13   * Function Declarations
14   *
15   *****/
16  void rtc_init(void);
17  void set_clock_values(void);
18  void set_rtc_values(unsigned int year, unsigned int month, unsigned int day, unsigned
    int hour, unsigned int min, unsigned int sec );
19
20 #endif /* RTC_H_ */
21
```

```
1  /*
2  Project:                battery_cycling_sw_v4
3  File:                  rtc.c
4
5  Auhtor:                Thomas Wisnewski
6                        Johannes Roehn
7  Credits:              Stellaris Ware
8
9  last modified:         2013/12/11
10
11 Project Status         Under Construction
12 Status:                running
13
14 CCS:                   5.5.1.00031
15 Stellarisware:         8555
16
17 Hardware:              Stellaris EKS-IM3S9B92 on Extension Board with
18                        16 Bit ADC AD7798, SD-Card, Reed-Relais Matrix,
19                        NTC-Connectors, MAX3232 and Suplly Circuits
20
21 Description:           Source Code extern RTC-Clock
22
23 */
24
25 /*****
26 *
27 *   Includings
28 *
29 *****/
30 #include "inc/hw_types.h"
31 #include "driverlib/sysctl.h"
32 #include "inc/hw_i2c.h"
33 #include "driverlib/i2c.h"
34 #include "inc/hw_memmap.h"
35 #include "driverlib/gpio.h"
36 #include "driverlib/rom.h"
37 #include "utils/uartstdio.h"
38 #include "header/rtc.h"
39
40
41 /*****
42 //Extern variables for Clock
43 *****/
44 extern volatile unsigned long clock_msec;
45 extern volatile unsigned long clock_sec;
46 extern volatile unsigned long clock_min;
47 extern volatile unsigned long clock_hour;
48 extern volatile unsigned long clock_day;
49 extern volatile unsigned long clock_month;
50 extern volatile unsigned long clock_year;
51
52 /*****
53 //
54 // Initialize RTC-Clock and setup systemclok by values from RTC
55 //
56 *****/
57 void rtc_init(void) {
58
59
```

```
60     UARTprintf("Initializing RTC...");
61
62     //Enable peripherals
63     ROM_SysCtlPeripheralEnable(SYSCTL_PERIPH_GPIOA);
64     ROM_SysCtlPeripheralEnable(SYSCTL_PERIPH_I2C1);
65
66     GPIOPinConfigure(GPIO_PA6_I2C1SCL);
67     GPIOPinConfigure(GPIO_PA7_I2C1SDA);
68     ROM_GPIOPinTypeI2C(GPIO_PORTA_BASE, GPIO_PIN_6 | GPIO_PIN_7);
69
70     ROM_I2CMasterInitExpClk(I2C1_MASTER_BASE, SysCtlClockGet(), false);
71     //InitializeMasterandSlave
72
73     set_clock_values(); //Read clock values from RTC
74
75
76     UARTprintf("done\n");
77
78 }
79
80
81 //
82 // Function for setting clock values from rtc. Called once while Initializing on
83 // startup.
84 void set_clock_values(void) {
85
86     unsigned char adc_dat;
87
88
89
90     //Set year
91     I2CMasterSlaveAddrSet(I2C1_MASTER_BASE, 0x68, false);
92
93     I2CMasterDataPut(I2C1_MASTER_BASE, 0x06); // location address
94     I2CMasterControl(I2C1_MASTER_BASE, I2C_MASTER_CMD_SINGLE_SEND);
95     while(I2CMasterBusy(I2C1_MASTER_BASE)); // wait till transferring
96
97     I2CMasterSlaveAddrSet(I2C1_MASTER_BASE, 0x68, true);
98     while(I2CMasterBusy(I2C1_MASTER_BASE));
99
100    I2CMasterControl(I2C1_MASTER_BASE, I2C_MASTER_CMD_SINGLE_RECEIVE);
101    while(I2CMasterBusy(I2C1_MASTER_BASE));
102
103    adc_dat=I2CMasterDataGet(I2C1_MASTER_BASE);
104    while(I2CMasterBusy(I2C1_MASTER_BASE));
105
106    clock_year = ((adc_dat >> 4) & 0x0F) * 10 + (adc_dat & 0x0F) + 2000;
107
108
109    //Set month
110    I2CMasterSlaveAddrSet(I2C1_MASTER_BASE, 0x68, false);
111
112    I2CMasterDataPut(I2C1_MASTER_BASE, 0x05); // location address
113    I2CMasterControl(I2C1_MASTER_BASE, I2C_MASTER_CMD_SINGLE_SEND);
114    while(I2CMasterBusy(I2C1_MASTER_BASE)); // wait till transferring
115
116    I2CMasterSlaveAddrSet(I2C1_MASTER_BASE, 0x68, true);
```

```
117     while(I2CMasterBusy(I2C1_MASTER_BASE));
118
119     I2CMasterControl(I2C1_MASTER_BASE, I2C_MASTER_CMD_SINGLE_RECEIVE);
120     while(I2CMasterBusy(I2C1_MASTER_BASE));
121
122     adc_dat=I2CMasterDataGet(I2C1_MASTER_BASE);
123     while(I2CMasterBusy(I2C1_MASTER_BASE));
124
125     clock_month = ((adc_dat >> 4) & 0x01) * 10 + (adc_dat & 0x0F);
126
127     //Set date
128     I2CMasterSlaveAddrSet(I2C1_MASTER_BASE, 0x68, false);
129
130     I2CMasterDataPut(I2C1_MASTER_BASE,0x04); // location address
131     I2CMasterControl(I2C1_MASTER_BASE, I2C_MASTER_CMD_SINGLE_SEND);
132     while(I2CMasterBusy(I2C1_MASTER_BASE)); // wait till transferring
133
134     I2CMasterSlaveAddrSet(I2C1_MASTER_BASE, 0x68, true);
135     while(I2CMasterBusy(I2C1_MASTER_BASE));
136
137     I2CMasterControl(I2C1_MASTER_BASE, I2C_MASTER_CMD_SINGLE_RECEIVE);
138     while(I2CMasterBusy(I2C1_MASTER_BASE));
139
140     adc_dat=I2CMasterDataGet(I2C1_MASTER_BASE);
141     while(I2CMasterBusy(I2C1_MASTER_BASE));
142
143     clock_day = ((adc_dat >> 4) & 0x03) * 10 + (adc_dat & 0x0f);
144
145     //Set hour
146     I2CMasterSlaveAddrSet(I2C1_MASTER_BASE, 0x68, false);
147
148     I2CMasterDataPut(I2C1_MASTER_BASE,0x02); // location address
149     I2CMasterControl(I2C1_MASTER_BASE, I2C_MASTER_CMD_SINGLE_SEND);
150     while(I2CMasterBusy(I2C1_MASTER_BASE)); // wait till transferring
151
152     I2CMasterSlaveAddrSet(I2C1_MASTER_BASE, 0x68, true);
153     while(I2CMasterBusy(I2C1_MASTER_BASE));
154
155     I2CMasterControl(I2C1_MASTER_BASE, I2C_MASTER_CMD_SINGLE_RECEIVE);
156     while(I2CMasterBusy(I2C1_MASTER_BASE));
157
158     adc_dat=I2CMasterDataGet(I2C1_MASTER_BASE);
159     while(I2CMasterBusy(I2C1_MASTER_BASE));
160
161     clock_hour = ((adc_dat >> 4) & 0x03) * 10 + (adc_dat & 0x0f);
162
163     //Set minute
164     I2CMasterSlaveAddrSet(I2C1_MASTER_BASE, 0x68, false);
165
166     I2CMasterDataPut(I2C1_MASTER_BASE,0x01); // location address
167     I2CMasterControl(I2C1_MASTER_BASE, I2C_MASTER_CMD_SINGLE_SEND);
168     while(I2CMasterBusy(I2C1_MASTER_BASE)); // wait till transferring
169
170     I2CMasterSlaveAddrSet(I2C1_MASTER_BASE, 0x68, true);
171     while(I2CMasterBusy(I2C1_MASTER_BASE));
172
173     I2CMasterControl(I2C1_MASTER_BASE, I2C_MASTER_CMD_SINGLE_RECEIVE);
174     while(I2CMasterBusy(I2C1_MASTER_BASE));
175
```



```

176     adc_dat=I2CMasterDataGet(I2C1_MASTER_BASE);
177     while(I2CMasterBusy(I2C1_MASTER_BASE));
178
179     clock_min = ((adc_dat >> 4) & 0x07) * 10 + (adc_dat & 0x0f);
180
181     //Set second
182     I2CMasterSlaveAddrSet(I2C1_MASTER_BASE, 0x68, false);
183
184     I2CMasterDataPut(I2C1_MASTER_BASE,0x00); // location address
185     I2CMasterControl(I2C1_MASTER_BASE, I2C_MASTER_CMD_SINGLE_SEND);
186     while(I2CMasterBusy(I2C1_MASTER_BASE)); // wait till transferring
187
188     I2CMasterSlaveAddrSet(I2C1_MASTER_BASE, 0x68, true);
189     while(I2CMasterBusy(I2C1_MASTER_BASE));
190
191     I2CMasterControl(I2C1_MASTER_BASE, I2C_MASTER_CMD_SINGLE_RECEIVE);
192     while(I2CMasterBusy(I2C1_MASTER_BASE));
193
194     adc_dat=I2CMasterDataGet(I2C1_MASTER_BASE);
195     while(I2CMasterBusy(I2C1_MASTER_BASE));
196
197     clock_sec = ((adc_dat >> 4) & 0x07) * 10 + (adc_dat & 0x0F);
198
199 }
200
201 //
202 // Function for setting values in rtc.
203 //
204 void set_rtc_values(unsigned int year, unsigned int month, unsigned int day, unsigned
    int hour, unsigned int min, unsigned int sec ){
205
206     unsigned char val;
207
208     I2CMasterSlaveAddrSet(I2C1_MASTER_BASE, 0x68, false);
209
210     I2CMasterDataPut(I2C1_MASTER_BASE,0x06); // location address
211     I2CMasterControl(I2C1_MASTER_BASE, I2C_MASTER_CMD_BURST_SEND_START);
212     while(I2CMasterBusy(I2C1_MASTER_BASE)); // wait till transferring
213
214     val = ( (((unsigned char) ((year - (year % 10))/10) << 4)) & 0xF0) | (((unsigned
        char) (year % 10))) & 0x0F ); //BCD representation of the value to be written
215     I2CMasterDataPut(I2C1_MASTER_BASE, val); // location address
216     I2CMasterControl(I2C1_MASTER_BASE, I2C_MASTER_CMD_BURST_SEND_FINISH);
217     while(I2CMasterBusy(I2C1_MASTER_BASE)); // wait till transferring
218
219     I2CMasterSlaveAddrSet(I2C1_MASTER_BASE, 0x68, false);
220
221     I2CMasterDataPut(I2C1_MASTER_BASE,0x05); // location address
222     I2CMasterControl(I2C1_MASTER_BASE, I2C_MASTER_CMD_BURST_SEND_START);
223     while(I2CMasterBusy(I2C1_MASTER_BASE)); // wait till transferring
224
225     val = ( (((unsigned char) ((month - (month % 10))/10) << 4)) & 0x10) | (((
        unsigned char) (month % 10))) & 0x0F ); //BCD representation of the value to be
        written
226     I2CMasterDataPut(I2C1_MASTER_BASE, val); // location address
227     I2CMasterControl(I2C1_MASTER_BASE, I2C_MASTER_CMD_BURST_SEND_FINISH);
228     while(I2CMasterBusy(I2C1_MASTER_BASE)); // wait till transferring
229
230     I2CMasterSlaveAddrSet(I2C1_MASTER_BASE, 0x68, false);

```

```
231
232     I2CMasterDataPut(I2C1_MASTER_BASE,0x04); // location address
233     I2CMasterControl(I2C1_MASTER_BASE, I2C_MASTER_CMD_BURST_SEND_START);
234     while(I2CMasterBusy(I2C1_MASTER_BASE)); // wait till transferring
235
236     val = ( (((unsigned char) (((day - (day % 10))/10) << 4)) & 0x30) | (((unsigned
237     char) (day % 10))) & 0x0F ); //BCD representation of the value to be written
238     I2CMasterDataPut(I2C1_MASTER_BASE, val); // location address
239     I2CMasterControl(I2C1_MASTER_BASE, I2C_MASTER_CMD_BURST_SEND_FINISH);
240     while(I2CMasterBusy(I2C1_MASTER_BASE)); // wait till transferring
241
242     I2CMasterSlaveAddrSet(I2C1_MASTER_BASE, 0x68, false);
243
244     I2CMasterDataPut(I2C1_MASTER_BASE,0x02); // location address
245     I2CMasterControl(I2C1_MASTER_BASE, I2C_MASTER_CMD_BURST_SEND_START);
246     while(I2CMasterBusy(I2C1_MASTER_BASE)); // wait till transferring
247
248     val = ( (((unsigned char) ((hour - (hour % 10))/10) << 4)) & 0x30) | (((unsigned
249     char) (hour % 10))) & 0x0F ); //BCD representation of the value to be written
250     I2CMasterDataPut(I2C1_MASTER_BASE, val); // location address
251     I2CMasterControl(I2C1_MASTER_BASE, I2C_MASTER_CMD_BURST_SEND_FINISH);
252     while(I2CMasterBusy(I2C1_MASTER_BASE)); // wait till transferring
253
254     I2CMasterSlaveAddrSet(I2C1_MASTER_BASE, 0x68, false);
255
256     I2CMasterDataPut(I2C1_MASTER_BASE,0x01); // location address
257     I2CMasterControl(I2C1_MASTER_BASE, I2C_MASTER_CMD_BURST_SEND_START);
258     while(I2CMasterBusy(I2C1_MASTER_BASE)); // wait till transferring
259
260     val = ( (((unsigned char) ((min - (min % 10))/10) << 4)) & 0x70) | (((unsigned
261     char) (min % 10))) & 0x0F ); //BCD representation of the value to be written
262     I2CMasterDataPut(I2C1_MASTER_BASE, val); // location address
263     I2CMasterControl(I2C1_MASTER_BASE, I2C_MASTER_CMD_BURST_SEND_FINISH);
264     while(I2CMasterBusy(I2C1_MASTER_BASE)); // wait till transferring
265
266     I2CMasterSlaveAddrSet(I2C1_MASTER_BASE, 0x68, false);
267
268     I2CMasterDataPut(I2C1_MASTER_BASE,0x00); // location address
269     I2CMasterControl(I2C1_MASTER_BASE, I2C_MASTER_CMD_BURST_SEND_START);
270     while(I2CMasterBusy(I2C1_MASTER_BASE)); // wait till transferring
271
272     val = ( (((unsigned char) ((sec - (sec % 10))/10) << 4)) & 0x70) | (((unsigned
273     char) (sec % 10))) & 0x0F ); //BCD representation of the value to be written
274     I2CMasterDataPut(I2C1_MASTER_BASE, val); // location address
275     I2CMasterControl(I2C1_MASTER_BASE, I2C_MASTER_CMD_BURST_SEND_FINISH);
276     while(I2CMasterBusy(I2C1_MASTER_BASE)); // wait till transferring
277 }
```

```
1  /*
2  Project:                battery_cycling_sw_v4
3  File:                  startup_ccs.c
4
5  Auhtor:                Thomas Wisnewski
6  Credits:               Stellaris Ware
7
8  last modified:        2013/02/05
9
10 Project Status         Under Construction
11 tatus:                 running
12
13 CCS:                   5.5.1.00031
14 Stellarisware:         8555
15
16 Hardware:              Stellaris EKS-LM3S9B92 on Extension Board with
17                        16 Bit ADC AD7798, SD-Card, Reed-Relais Matrix,
18                        NTC-Connectors, MAX3232 and Suplly Circuits
19
20 Description:           Startup Configuration for CCS, mainly defining
21                        the ISRs
22
23                        originating from stellaris ware at:
24                        boards/ek-lm3s9b92/uart_echo
25 */
26 #include "inc/hw_memmap.h"
27 #include "inc/hw_types.h"
28 #include "driverlib/gpio.h"
29 #include "header/mycmdline.h"
30 #include "header/clocktimer.h"
31
32 //*****
33 //
34 // startup_ccs.c - Startup code for use with TI's Code Composer Studio.
35 //
36 // Copyright (c) 2009-2012 Texas Instruments Incorporated. All rights reserved.
37 // Software License Agreement
38 //
39 // Texas Instruments (TI) is supplying this software for use solely and
40 // exclusively on TI's microcontroller products. The software is owned by
41 // TI and/or its suppliers, and is protected under applicable copyright
42 // laws. You may not combine this software with "viral" open-source
43 // software in order to form a larger program.
44 //
45 // THIS SOFTWARE IS PROVIDED "AS IS" AND WITH ALL FAULTS.
46 // NO WARRANTIES, WHETHER EXPRESS, IMPLIED OR STATUTORY, INCLUDING, BUT
47 // NOT LIMITED TO, IMPLIED WARRANTIES OF MERCHANTABILITY AND FITNESS FOR
48 // A PARTICULAR PURPOSE APPLY TO THIS SOFTWARE. TI SHALL NOT, UNDER ANY
49 // CIRCUMSTANCES, BE LIABLE FOR SPECIAL, INCIDENTAL, OR CONSEQUENTIAL
50 // DAMAGES, FOR ANY REASON WHATSOEVER.
51 //
52 // This is part of revision 8555 of the EK-LM3S9B92 Firmware Package.
53 //
54 //*****
55 //
56 // Forward declaration of the default fault handlers.
57 //
58 //*****
```

```

59 void ResetISR(void);
60 static void NmiISR(void);
61 static void FaultISR(void);
62 static void IntDefaultHandler(void);
63 extern void UARTStdioIntHandler(void);
64 extern void SysTickHandler(void);
65
66
67 //*****
68 //
69 // External declaration for the reset handler that is to be called when the
70 // processor is started
71 //
72 //*****
73 extern void _c_int00(void);
74
75 //*****
76 //
77 // Linker variable that marks the top of the stack.
78 //
79 //*****
80 extern unsigned long __STACK_TOP;
81
82 //*****
83 //
84 // External declaration for the interrupt handler used by the application.
85 //
86 //*****
87 extern void UARTIntHandler(void);
88 extern void Timer0IntHandler(void);
89 extern void Timer1IntHandler(void);
90 extern void Timer2IntHandler(void);
91 extern void Timer3IntHandler(void);
92 extern void ADC0Handler(void);
93 extern void ADC1Handler(void);
94 extern void lwIPEthernetIntHandler(void);
95 extern void UART0IntHandler(void);
96
97 extern void GPIOD01Handler(void);
98 extern void GPIOF00Handler(void);
99 extern void GPIOC04Handler(void);
100 extern void GPIOH05Handler(void);
101 extern void watchdog_int_handler(void);
102
103 //*****
104 //
105 // The vector table. Note that the proper constructs must be placed on this to
106 // ensure that it ends up at physical address 0x0000.0000 or at the start of
107 // the program if located at a start address other than 0.
108 //
109 //*****
110 #pragma DATA_SECTION(g_pfnVectors, ".intvecs")
111 void (* const g_pfnVectors[]) (void) =
112 {
113     (void (*)(void)) ((unsigned long)&__STACK_TOP),
114     // The initial stack pointer
115     ResetISR, // The reset handler
116     NmiISR, // The NMI handler
117     FaultISR, // The hard fault handler

```

```
118     IntDefaultHandler,           // The MPU fault handler
119     IntDefaultHandler,           // The bus fault handler
120     IntDefaultHandler,           // The usage fault handler
121     0,                            // Reserved
122     0,                            // Reserved
123     0,                            // Reserved
124     0,                            // Reserved
125     IntDefaultHandler,           // SVCcall handler
126     IntDefaultHandler,           // Debug monitor handler
127     0,                            // Reserved
128     IntDefaultHandler,           // The PendSV handler
129     SysTickHandler,              // The SysTick handler
130     IntDefaultHandler,           // GPIO Port A
131     IntDefaultHandler,           // GPIO Port B
132     GPIOC04Handler,              // GPIO Port C
133     GPIOD01Handler,              // GPIO Port D
134     IntDefaultHandler,           // GPIO Port E
135     UART0IntHandler,             // UART0 Rx and Tx
136     //UARTStdioIntHandler,       // UART0 Rx and Tx
137     IntDefaultHandler,           // UART1 Rx and Tx
138     IntDefaultHandler,           // SSI0 Rx and Tx
139     IntDefaultHandler,           // I2C0 Master and Slave
140     IntDefaultHandler,           // PWM Fault
141     IntDefaultHandler,           // PWM Generator 0
142     IntDefaultHandler,           // PWM Generator 1
143     IntDefaultHandler,           // PWM Generator 2
144     IntDefaultHandler,           // Quadrature Encoder 0
145     ADC0Handler,                 // ADC Sequence 0
146     IntDefaultHandler,           // ADC Sequence 1
147     IntDefaultHandler,           // ADC Sequence 2
148     IntDefaultHandler,           // ADC Sequence 3
149     //IntDefaultHandler,         // Watchdog timer
150     watchdog_int_handler,        // Watchdog timer
151     Timer0IntHandler,            // Timer 0 subtimer A
152     IntDefaultHandler,           // Timer 0 subtimer B
153     Timer1IntHandler,            // Timer 1 subtimer A
154     IntDefaultHandler,           // Timer 1 subtimer B
155     Timer2IntHandler,            // Timer 2 subtimer A
156     IntDefaultHandler,           // Timer 2 subtimer B
157     IntDefaultHandler,           // Analog Comparator 0
158     IntDefaultHandler,           // Analog Comparator 1
159     IntDefaultHandler,           // Analog Comparator 2
160     IntDefaultHandler,           // System Control (PLL, OSC, BO)
161     IntDefaultHandler,           // FLASH Control
162     GPIOF00Handler,              // GPIO Port F
163     IntDefaultHandler,           // GPIO Port G
164     GPIOH05Handler,              // GPIO Port H
165     IntDefaultHandler,           // UART2 Rx and Tx
166     IntDefaultHandler,           // SSI1 Rx and Tx
167     Timer3IntHandler,            // Timer 3 subtimer A
168     IntDefaultHandler,           // Timer 3 subtimer B
169     IntDefaultHandler,           // I2C1 Master and Slave
170     IntDefaultHandler,           // Quadrature Encoder 1
171     IntDefaultHandler,           // CAN0
172     IntDefaultHandler,           // CAN1
173     IntDefaultHandler,           // CAN2
174     lwIPEthernetIntHandler,      // Ethernet
175     IntDefaultHandler,           // Hibernate
176     IntDefaultHandler,           // USB0
```

```

177     IntDefaultHandler,           // PWM Generator 3
178     IntDefaultHandler,           // uDMA Software Transfer
179     IntDefaultHandler,           // uDMA Error
180     IntDefaultHandler,           // ADC1 Sequence 0
181     ADC1Handler,                 // ADC1 Sequence 1
182     IntDefaultHandler,           // ADC1 Sequence 2
183     IntDefaultHandler,           // ADC1 Sequence 3
184     IntDefaultHandler,           // I2S0
185     IntDefaultHandler,           // External Bus Interface 0
186     IntDefaultHandler           // GPIO Port J
187 };
188
189 //*****
190 //
191 // This is the code that gets called when the processor first starts execution
192 // following a reset event. Only the absolutely necessary set is performed,
193 // after which the application supplied entry() routine is called. Any fancy
194 // actions (such as making decisions based on the reset cause register, and
195 // resetting the bits in that register) are left solely in the hands of the
196 // application.
197 //
198 //*****
199 void
200 ResetISR(void)
201 {
202     //
203     // Jump to the CCS C initialization routine.
204     //
205     __asm("    .global _c_int00\n"
206           "    b.w    _c_int00");
207 }
208
209 //*****
210 //
211 // This is the code that gets called when the processor receives a NMI. This
212 // simply enters an infinite loop, preserving the system state for examination
213 // by a debugger.
214 //
215 //*****
216 static void
217 NmiSR(void)
218 {
219     //
220     // Enter an infinite loop.
221     //
222     while(1)
223     {
224     }
225 }
226
227 //*****
228 //
229 // This is the code that gets called when the processor receives a fault
230 // interrupt. This simply enters an infinite loop, preserving the system state
231 // for examination by a debugger.
232 //
233 //*****
234 static void
235 FaultISR(void)

```

```
236 {
237     unsigned long ul_delay_count;
238     GPIOWrite(GPIO_PORTJ_BASE, GPIO_PIN_4, 0x00);
239
240     Cmd_stop(0,0);
241     //
242     // Enter an infinite loop.
243     //
244     while(1)
245     {
246
247         GPIOWrite(GPIO_PORTJ_BASE, GPIO_PIN_6, ~GPIOWrite(GPIO_PORTJ_BASE,
248             GPIO_PIN_6));
249
250         // ca. 0,5 s delay
251         ul_delay_count = 5000000;
252         while (ul_delay_count) ul_delay_count--;
253         //-----
254     }
255 }
256
257 //*****
258 //
259 // This is the code that gets called when the processor receives an unexpected
260 // interrupt. This simply enters an infinite loop, preserving the system state
261 // for examination by a debugger.
262 //
263 //*****
264 static void
265 IntDefaultHandler(void)
266 {
267     //
268     // Go into an infinite loop.
269     //
270     while(1)
271     {
272     }
273 }
274
```

```
1  /*
2  * temperature.h
3  *
4  * Created on: 06.03.2013
5  * Author: Thomas W.
6  */
7
8  #ifndef TEMPERATURE_H_
9  #define TEMPERATURE_H_
10
11  /*****
12  *
13  * Function Declarations
14  *
15  *****/
16  void init_temperature(void);
17  int get_temperature(int chose);
18
19
20 #endif /* TEMPERATURE_H_ */
21
```



```
1  /*
2  Project:                battery_cycling_sw_v4
3  File:                  main.c
4
5  Auhtor:                Thomas Wisniewski
6  Credits:              Matthias Schneider
7                      Tobias Steinmann
8                      Fabian Schwartau
9                      Stellaris Ware
10
11 last modified:         2013/05/28
12
13 Project Status         Under Construction
14 Status:               running
15
16 CCS:                  5.5.1.00031
17 Stellarisware:        8555
18
19 Hardware:             Stellaris EKS-LM3S9B92 on Extension Board with
20                      16 Bit ADC AD7798, SD-Card, Reed-Relais Matrix,
21                      NTC-Connectors, MAX3232 and Suplly Circuits
22
23 Description:          Code for initializing intern ADCs for
24 temperature measurement
25 */
26
27 /*****
28 *
29 *   Includings
30 *
31 *****/
32 #include "driverlib/rom.h"
33 #include "third_party/fatfs/src/ff.h"
34 #include "third_party/fatfs/src/diskio.h"
35 #include "inc/hw_ints.h"
36 #include "inc/hw_memmap.h"
37 #include "inc/hw_types.h"
38 #include "driverlib/adc.h"
39 #include "driverlib/debug.h"
40 #include "driverlib/gpio.h"
41 #include "driverlib/interrupt.h"
42 #include "driverlib/pin_map.h"
43 #include "driverlib/rom.h"
44 #include "driverlib/sysctl.h"
45 #include "driverlib/timer.h"
46 #include <stdio.h>
47 #include "utils/uartstdio.h"
48 #include "math.h"
49
50
51
52 //*****
53 //
54 // A global data buffer used for actual Cell temperature
55 //
56 //*****
57 volatile int g_iCellTemperature[12] = {0};
58
```

```

59 //Buffer for ADC-Samples
60 unsigned long g_pulData0[8];
61 unsigned long g_pulData1[4];
62
63 /*****
64 *
65 *   Initialize internal ADCs for Temperature sensors
66 *
67 *****/
68 void init_temperature() {
69
70     UARTprintf("Initializing internal ADC...");
71
72     //enable Peripheral
73     ROM_SysCtlPeripheralEnable(SYSCTL_PERIPH_ADC0);
74     ROM_SysCtlPeripheralEnable(SYSCTL_PERIPH_ADC1);
75
76     ROM_SysCtlPeripheralEnable(SYSCTL_PERIPH_GPIOE);
77     ROM_SysCtlPeripheralEnable(SYSCTL_PERIPH_GPIOD);
78     ROM_SysCtlPeripheralEnable(SYSCTL_PERIPH_GPIOB);
79
80     ROM_GPIOPinTypeADC(GPIO_PORTE_BASE, GPIO_PIN_2 | GPIO_PIN_3 | GPIO_PIN_4 |
81     GPIO_PIN_5 | GPIO_PIN_6 | GPIO_PIN_7);
82     ROM_GPIOPinTypeADC(GPIO_PORTD_BASE, GPIO_PIN_4 | GPIO_PIN_5 | GPIO_PIN_6 |
83     GPIO_PIN_7);
84     ROM_GPIOPinTypeADC(GPIO_PORTB_BASE, GPIO_PIN_4 | GPIO_PIN_5);
85
86     // Set Speed to 500.000 Samples per Second (up to 1MSPS)
87     ROM_SysCtlADCSpeedSet(SYSCTL_ADCSPEED_500KSPS);
88
89     //
90     // Configure the ADCs.
91     //
92     ADCSequenceConfigure(ADC0_BASE, 0, ADC_TRIGGER_TIMER, 0);
93     ADCSequenceStepConfigure(ADC0_BASE, 0, 0, ADC_CTL_CH0);
94     ADCSequenceStepConfigure(ADC0_BASE, 0, 1, ADC_CTL_CH1);
95     ADCSequenceStepConfigure(ADC0_BASE, 0, 2, ADC_CTL_CH2);
96     ADCSequenceStepConfigure(ADC0_BASE, 0, 3, ADC_CTL_CH3);
97     ADCSequenceStepConfigure(ADC0_BASE, 0, 4, ADC_CTL_CH8);
98     ADCSequenceStepConfigure(ADC0_BASE, 0, 5, ADC_CTL_CH9);
99     ADCSequenceStepConfigure(ADC0_BASE, 0, 6, ADC_CTL_CH11);
100    ADCSequenceStepConfigure(ADC0_BASE, 0, 7, ADC_CTL_CH10 | ADC_CTL_IE | ADC_CTL_END
101    );
102
103    ADCSequenceConfigure(ADC1_BASE, 1, ADC_TRIGGER_TIMER, 1);
104    ADCSequenceStepConfigure(ADC1_BASE, 1, 0, ADC_CTL_CH4);
105    ADCSequenceStepConfigure(ADC1_BASE, 1, 1, ADC_CTL_CH5);
106    ADCSequenceStepConfigure(ADC1_BASE, 1, 2, ADC_CTL_CH6);
107    ADCSequenceStepConfigure(ADC1_BASE, 1, 3, ADC_CTL_CH7 | ADC_CTL_IE | ADC_CTL_END);
108
109    ADCSequenceEnable(ADC0_BASE, 0);
110    ADCSequenceEnable(ADC1_BASE, 1);
111
112    //
113    // Clear out the FIFO (not really important for this exercise)
114    //
115    ROM_ADCSequenceDataGet(ADC0_BASE, 0, g_pulData0);
116    ROM_ADCSequenceDataGet(ADC1_BASE, 1, g_pulData1);

```

```
115     //
116     // Clear the interrupt status (again, not too important)
117     //
118     ROM_ADCIntClear(ADC0_BASE, 0);
119     ROM_ADCIntClear(ADC1_BASE, 1);
120
121     //
122     // Allow the ADC sequencer in both ADCs to generate interrupts
123     // for SS0
124     //
125     ROM_ADCIntEnable(ADC0_BASE, 0);
126     ROM_ADCIntEnable(ADC1_BASE, 1);
127
128     //
129     // Get the NVIC to generate the appropriate interrupts for the
130     // interrupt handlers as spec'd in the vector table (see startup_*.c)
131     //
132     ROM_IntEnable(INT_ADCOSS0);
133     ROM_IntEnable(INT_ADC1SS1);
134
135     UARTprintf("done\n");
136
137 }
138
139
140 /*****
141 *
142 *   Get the temperature from global buffer
143 *
144 *****/
145 int get_temperature(int choose)
146 {
147     int temperature;
148
149     if((choose >= 0) && (choose <= 8)){
150         temperature = (3988 * 298 / ( 3988 + log(10000.0 * 1024.0 / g_pulData0[
151             choose - 1] / 10000 - 1 ) * 298) - 273) * 10;
152     }
153
154     if((choose >= 9) && (choose <= 12)){
155         temperature = (3988 * 298 / ( 3988 + log(10000.0 * 1024.0 / g_pulData1[
156             choose - 9] / 10000 - 1 ) * 298) - 273) * 10;
157     }
158
159     if(temperature == 2147483647){
160         g_iCellTemperature[choose-1] = 0;
161         temperature = 0;
162     }else
163         g_iCellTemperature[choose-1] = temperature;
164
165     return temperature;
166 }
167 //
168 // The ADC unit 0 interrupt handler
169 //
170 void
171 ADC0Handler(void)
```

```
172  {
173      ROM_ADCIntClear(ADC0_BASE, 0);
174      //write adc-values to global buffer
175      ROM_ADCSequenceDataGet(ADC0_BASE, 0, g_pulData0);
176  }
177
178
179  //
180  // The ADC unit 1 interrupt handler
181  //
182  void
183  ADC1Handler(void)
184  {
185      ROM_ADCIntClear(ADC1_BASE, 1);
186      //write adc-values to global buffer
187      ROM_ADCSequenceDataGet(ADC1_BASE, 1, g_pulData1);
188  }
189
190
191
```

```
1  /*
2   * watchdog.h
3   *
4   * Created on: 17.12.2013
5   * Author: Johannes
6   */
7
8  #ifndef WATCHDOG_H_
9  #define WATCHDOG_H_
10
11 void watchdog_init(void);
12 void watchdog_int_handler(void);
13
14 #endif /* WATCHDOG_H_ */
15
```

```

1  /*
2  Project:                battery_cycling_sw_v4
3  File:                  watchdog.c
4
5  Auhtor:                Johannes Roehn
6
7
8  last modified:        2013/12/17
9
10 Project Status        Under Construction
11 Status:               running
12
13 CCS:                  5.5.1.00031
14 Stellarisware:        8555
15
16 Hardware:             Stellaris EKS-LM3S9B92 on Extension Board with
17                       16 Bit ADC AD7798, SD-Card, Reed-Relais Matrix,
18                       NTC-Connectors, MAX3232 and Suplly Circuits
19
20 Description:          Code for initializing watchdog and interrupt
21                       handler
22 */
23 /*****
24 *
25 * Own Includings
26 *
27 *****/
28 #include "header/watchdog.h"
29 #include "driverlib/rom.h"
30 #include "driverlib/sysctl.h"
31 #include "inc/hw_memmap.h"
32 #include "inc/hw_ints.h"
33 #include "header/relais.h"
34 #include "utils/uartstdio.h"
35 #include "header/mysdcard.h"
36
37 //*****
38 //Extern variable for name of file for measurment saving
39 //*****
40 extern char MEAS_FILE[128];
41
42 extern volatile unsigned int measurement_active;
43
44 //*****
45 //
46 // Flag to tell the watchdog interrupt handler whether or not to clear the
47 // interrupt (feed the watchdog).
48 //
49 //*****
50 volatile tBoolean g_bFeedWatchdog = true;
51
52
53
54 void watchdog_init(void) {
55
56     /* Enable the peripherals used by this example. */
57     ROM_SysCtlPeripheralEnable(SYSCTL_PERIPH_WDOG0);
58

```

```
59     //
60     // Enable the watchdog interrupt.
61     //
62     ROM_IntEnable(INT_WATCHDOG);
63
64     /* Set the period of the watchdog timer. */
65     ROM_WatchdogReloadSet(WATCHDOG0_BASE, SysCtlClockGet() * 10); //called every 5
        seconds
66
67     /* Enable reset generation from the watchdog timer. */
68     ROM_WatchdogResetEnable(WATCHDOG0_BASE);
69
70     /* Enable the watchdog timer. */
71     ROM_WatchdogEnable(WATCHDOG0_BASE);
72
73     ROM_WatchdogLock(WATCHDOG0_BASE); //Lock the watchdog registers
74
75     ROM_WatchdogStallEnable(WATCHDOG0_BASE);
76 }
77
78
79 void watchdog_int_handler(void) {
80
81     if(g_bFeedWatchdog){ //feed the watchdog if variable is set in main loop
82         g_bFeedWatchdog = false;
83         ROM_WatchdogIntClear(WATCHDOG0_BASE);
84     }else{
85         //system will be restarted, switch off all relays
86         switch_power_relais(0);
87         switch_relais(0);
88         UARTprintf("WATCHDOG FAIL!\nSYSTEM RESET!\n");
89         if(measurement_active)
90             add_to_file(MEAS_FILE, "\nWATCHDOG FAIL!\nSYSTEM RESET!\n");
91     }
92 }
93
```

Versicherung über die Selbstständigkeit

Hiermit versichere ich, dass ich die vorliegende Arbeit im Sinne der Prüfungsordnung nach §16(5) APSO-TI-BM ohne fremde Hilfe selbstständig verfasst und nur die angegebenen Hilfsmittel benutzt habe. Wörtlich oder dem Sinn nach aus anderen Werken entnommene Stellen habe ich unter Angabe der Quellen kenntlich gemacht.

Hamburg, 10. September 2014

Ort, Datum

Unterschrift